



**FAKULTA  
APLIKOVANÝCH VĚD  
ZÁPADOČESKÉ  
UNIVERZITY  
V PLZNI**

## **Bakalářská práce**

Akademický rok 2017/2018

**Metody odhadu charakteristických čísel procesu z omezených  
experimentálních dat**

Vedoucí: Ing. Martin Čech, Ph.D.

Vypracoval: Lukáš Dostálek – A15B0245P

## Čestné prohlášení

Předkládám tímto k posouzení a obhajobě bakalářskou práci zpracovanou na závěr studia na Fakultě aplikovaných věd Západočeské univerzity v Plzni.

Prohlašuji, že jsem bakalářskou práci vypracoval samostatně a výhradně s použitím odborné literatury a pramenů, jejichž úplný seznam je její součástí.

V Plzni dne .....

.....

## **Poděkování**

Tímto bych chtěl poděkovat panu Ing. Martinovi Čechovi, Ph.D. za odborné vedení této práce a za čas strávený na nemalém množství konzultací. Zvláště bych chtěl ocenit přátelský a trpělivý přístup, díky čemuž se podařilo eliminovat případné vzniknuvší komplikace.

## **Anotace**

Cílem této práce je analýza metod, které vedou na odhad charakteristických čísel, jimiž lze aproximovat skutečný systém. Pomocí momentové metody bude vygenerována rozsáhlá testovací množina, sloužící k ohodnocení kvality identifikace napříč několika identifikovanými strukturami, vstupními signály a sadou testovacích monotónních systémů. Následně bude diskutován vliv šumu na kvalitu identifikace. Součástí práce je též řešený příklad, který podchycuje základy identifikace systémů pomocí identifikačního toolboxu v prostředí MATLAB.

**Klíčová slova:** Identifikace systémů, MATLAB, Simulink, System Identification Toolbox, charakteristická čísla, experimentální data, vliv šumu

## **Abstract**

The aim of this work is to analyze methods leading up to characteristic numbers estimation. The real system can be approached due to this numbers. We will generate large test set based on the moments method to rate identification quality. For the set of systems there will be tested some of identification structures and input signals. Also the noise influence will be discussed. Part of this work provides an outline how to identify systems in MATLAB by System Identification Toolbox.

**Key words:** System identification, MATLAB, Simulink, System Identification Toolbox, characteristic numbers, experimental data, noise influence

## Obsah

1	Úvod .....	3
1.1	Motivace .....	3
1.2	Obecný úvod .....	3
2	Úvod do identifikace systémů .....	4
2.1	Identifikace systémů .....	4
2.1.1	Porovnání s matematicko-fyzikálním modelováním .....	4
2.1.2	Iterativní postup identifikace .....	5
2.1.3	Formy identifikovaných systémů .....	5
3	Metody popisu systémů omezenou množinou char. čísel .....	8
3.1	Grafické metody .....	8
3.1.1	Aproximace soustavou prvního řádu bez dopravního zpoždění .....	8
3.1.2	Aproximace soustavou prvního řádu s dopravním zpožděním .....	10
3.1.3	Přehled metod aproximace vyššího řádu .....	11
3.2	Momentová metoda .....	12
4	Vliv šumu na měřené signály .....	13
4.1	Úvod do zpracování signálů .....	13
4.1.1	Spektrum signálu .....	14
4.1.2	Charakteristika šumu .....	14
5	Možnosti odhadu charakteristických čísel v prostředí MATLAB .....	14
5.1	System Identification Toolbox .....	14
5.1.1	Příklad identifikace .....	15
5.1.2	Porovnání charakteristických čísel .....	19
6	Testování kvality identifikace .....	22
6.1	Nastavení solveru a signálů .....	23
6.2	Generování systémů .....	25

6.3	Reprezentace dat.....	28
6.4	Použité funkce .....	29
6.4.1	charCisla() .....	29
6.4.2	pridejSum() .....	30
6.5	Výpočet odchytky.....	32
6.6	Identifikované struktury .....	32
6.7	Iterace programu .....	34
6.8	Vyhodnocení.....	35
7	Závěr.....	37
	Seznam obrázků .....	38
	Seznam tabulek .....	38
	Seznam literatury .....	40
	Přílohy A – VO podle úrovně šumu .....	41
	Přílohy B – VO podmnožin systémů .....	42
	Přílohy C – tabulky charakteristických čísel .....	44

# 1 Úvod

## 1.1 Motivace

V oblasti řízení procesů existuje mnoho přístupů k návrhu vhodné struktury regulátoru a samotných návrhových metod, které obecně vedou k nalezení jeho optimálních parametrů. Klíčovým prvkem, na jehož základě lze zvolit vhodnou metodu návrhu regulátoru, je bezpochyby charakter řízeného systému, jehož přenosová funkce je ne vždy předem známá, spíše naopak. Proto je potřeba nejprve systém identifikovat za pomoci vhodně zvolené struktury, která bude v dostatečné míře popisovat daný systém a vhodnou metodou určit její parametry. Sada takto odhadnutých parametrů na základě vstupně výstupních dat je pak nazývána charakteristickými čísly. Cílem je nalézt optimální omezenou množinu parametrů, která by v dostatečné míře určila neznámý systém na základě vstupních a výstupních dat.

## 1.2 Obecný úvod

Cílem této práce je vytvořit interaktivní modul pro sběr dat, vypovídajících o kvalitě identifikace monotónních systémů. Nejprve bude osvětlena problematika identifikačního procesu a popsány nejběžnější struktury pro identifikaci. Následně budou pomocí řešených příkladů demonstrovány možnosti identifikace systémů v prostředí MATLAB a výpočet charakteristických čísel momentovou metodou, na jejímž principu bude implementováno hodnotící kritérium kvality identifikace. Testování proběhne napříč sadou testovacích systémů s monotónní přechodovou charakteristikou, několika identifikovanými strukturami, budícími signály a úrovněmi zašumění výstupních dat. Získané výsledky budou dále systematicky rozděleny do menších celků, které zajistí jejich snazší vyhodnocení. Diskutován bude také vliv šumu na kvalitu identifikace.

## **2 Úvod do identifikace systémů**

Aby byl čtenáři usnadněn pohled na problematiku odhadu charakteristických čísel, budou v následující kapitole vysvětleny některé základní pojmy a rozebrán iterativní postup identifikace systému, jehož součástí je právě odhad parametrů modelu.

### **2.1 Identifikace systémů**

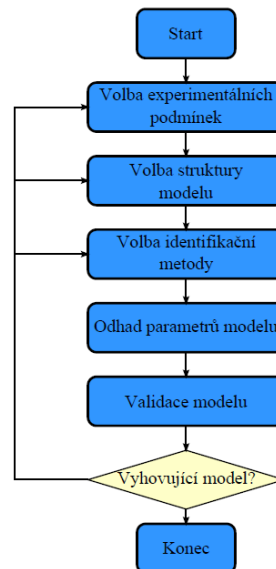
Identifikace systémů je jedním ze dvou přístupů, jak získat matematický model systému. Cílem je nalézt model, který bude sloužit obecně pro predikci výstupů systému. Druhým přístupem je pak matematicko-fyzikální modelování. Přístup identifikace se využívá převážně v případech, kdy je tvorba modelu založená na matematicko-fyzikálním modelování příliš složitá, a nelze tak model jednoznačně odvodit nebo by jeho návrh vedl na složitý výpočet. Jistým způsobem je jednodušší navrhnout model pomocí identifikace, neboť není potřeba jakákoliv apriorní znalost chování systému nebo znalost zákonů, které v systému platí. Výsledný model je určen pouze na základě vstupně-výstupních experimentálních dat, ovšem jeho kvalitu ovlivní také volba vhodné struktury a výběr identifikační metody. Na druhou stranu identifikační metody mohou být časově náročnější a je třeba si uvědomit, že takto získaný model je značně omezený. Parametry modelu, které jsou identifikací získány, neodpovídají reálným parametrům systému a nenesou skutečný (např. fyzikální) význam. Platnost takového modelu je pouze lokální, vymezená rozsahem experimentálních dat, na jejichž základě byl model pořízen. [1]

#### **2.1.1 Porovnání s matematicko-fyzikálním modelováním**

Na druhé straně existuje matematicko-fyzikální modelování, využívající platných zákonností v systému (fyzikální, ekonomické, atd.), díky kterým je možné sestavit diferenciální rovnice a navrhnout model, který odpovídá realitě. Takto navržený model má globální platnost (často však nelineární charakter) a jeho parametry korespondují se skutečnými parametry systému – to umožňuje i analýzu vlivu parametrů na chování systému. [1]



## 2.1.2 Iterativní postup identifikace



Obrázek č. 1 Iterační postup identifikace [1]

Pokud je opuštěna myšlenka, že lze dosáhnout (za pomoci matematicko-fyzikálního modelování) „skutečného systému“, který by umožňoval detailní teoretickou a simulační analýzu a nabýval globální platnosti, přikročí se k hledání nejlepší aproximace systému. Na *Obrázku č. 1* je znázorněno schéma iteračního postupu identifikace, ze kterého je patrné, jak důležitou roli pro úspěšnou validaci hraje nejen správná volba identifikační metody nebo struktury modelu, ale i volba experimentálních podmínek. Právě správná volba budícího signálu může sehrát důležitou roli, a přispět do konečného procenta výsledku validace.

Vztahům mezi volbou budících signálů, výběrem vhodné struktury modelu a výpočtem charakteristických čísel se bude věnovat převážná část této práce.

## 2.1.3 Formy identifikovaných systémů

Aby bylo dosaženo optimální identifikace, je klíčové zvolit správnou strukturu modelu systému. Každá navržená struktura má svůj set parametrů, kterými je model jednoznačně popsán. Není-li tento set (resp. tato struktura) dostatečně bohatý na to, aby podchytil dynamiku systému, je velice pravděpodobné, že nebude existovat žádná kombinace těchto

parametrů, která by vyhovovala validaci. Do určité míry platí, že čím složitější bude mít model strukturu, tím bude dosaženo dokonalejší shody s reálným systémem. Nevýhodou těchto složitých struktur je křehkost jejich parametrů, které při provedení více experimentů mohou nabývat vždy trochu jiných hodnot. Jednoduché struktury jsou v tomto smyslu robustní, je však potřeba zvolit určitý minimální řád struktury. Někdy však nemusí být důraz kladený na přesnost identifikace tím hlavním aspektem, a byl by zde složitý a zdlouhavý výpočet parametrů náročné struktury přímo nežádoucí.

Pro výběr vhodné struktury je třeba využít své znalosti o charakteru systému a určit stupeň přesnosti, který bude na modelu požadován. Neexistují-li žádné apriorní informace, lze systému porozumět provedením různých experimentů. Není-li si uživatel zcela jist, jakou strukturu použít, pomůže začít od nejjednodušších struktur s jedním pólem. Postupným zvyšováním řádu systému pak bude vytvářet stále složitější strukturu, dokud nebude dosaženo uspokojivé shody při validaci. [2]

### **2.1.3.1 FOPDT**

FOPDT (First Order Plus Dead Time) model je jedna z nejjednodušších struktur užívaná při identifikaci systémů s monotónní přechodovou charakteristikou. Jedná se o systém prvního řádu se statickým zesílením  $K$ , časovou konstantou  $\tau$  a aproximací dopravního zpoždění  $e^{-\theta s}$ .

$$G(s) = \frac{Ke^{-\theta s}}{\tau s \pm 1} \quad (1)$$

Tento model umožňuje aproximovat monotónní charakteristiku systému a díky dopravnímu zpoždění je jím možné proložit systémy vyššího řádu.

Znaménko '+' je použito pro znázornění stabilního procesu a znaménko '-' pro proces nestabilní. Časová konstanta  $\tau$  jdoucí do nekonečna pak z procesu ve tvaru (1) vytvoří proces s integračním charakterem. [8]

### 2.1.3.2 SOPDT

SOPDT (Second Order Plus Dead Time) model je model systému druhého řádu s dopravním zpožděním, zesílením a dvěma póly. Nabývat však může několika tvarů.

$$G_1(s) = \frac{Ke^{-\theta s}}{(\tau_1 s + 1)(\tau_2 s + 1)} \quad (2)$$

je model, který je oproti modelu prvního řádu rozšířen o jednu časovou konstantu.

Jedná se o nejpoužívanější strukturu v oblasti identifikace systémů. Typické odezvy systému druhého řádu poskytují bohaté dynamické informace, a tyto systémy mohou být dobře modelovány a identifikovány. [2, 3]

Pro speciální případ, kdy jsou časové konstanty  $\tau_1$  a  $\tau_2$  shodné, lze přenos (2) přepsat do tvaru

$$G_2(s) = \frac{Ke^{-\theta s}}{(\tau s + 1)^2} \quad (3)$$

Obě tyto struktury modelují systém, který je stabilní. Obecný stabilní SOPDT systém pak nabývá tvaru

$$G_2(s) = \frac{Ke^{-\theta s}}{a_2 s^2 + a_1 s + 1} \quad (4)$$

s kladnými reálnými koeficienty  $K$ ,  $a_1$ ,  $a_2$ . Obecný SOPDT systém je zobrazen v následujícím vztahu:

$$G_2(s) = \frac{Ke^{-\theta s}}{\tau_p^2 s^2 + 2\xi\tau_p s + 1} \quad (5)$$

kde  $\xi$  se ve stabilních systémech obvykle nazývá koeficient tlumení a  $\tau_p$  je časová konstanta rovna převrácené hodnotě úhlové frekvence. [8]

Nejsou-li předchozí zmíněné struktury pro potřebu identifikace dostačující, musí být přikročeno k ještě složitější struktuře, a to k modelu systému vyššího řádu, který lze také rozšířit o dopravní zpoždění – **Higher-order linear model with time delay**, popsany ve tvaru

$$G_n(s) = \frac{b_m s^m + b_{m-1} s^{m-1} + \dots + b_1 s + b_0}{a_n s^n + a_{n-1} s^{n-1} + \dots + a_1 s + 1} e^{-\theta s}, \quad (6)$$

kde  $b_0$  značí statické zesílení systému a platí, že ve jmenovateli se nachází polynom vyššího řádu;  $n > m$ . [8]

### **3 Metody popisu systémů omezenou množinou char. čísel**

Jak bylo již zmíněno, důležitými kritérii v procesu identifikace jsou bezpochyby přesnost identifikace a rychlost výpočtu, které se však vzájemně ovlivňují. Je-li zvolena složitá struktura modelu, vzroste doba potřebná pro dílčí výpočty. Aby bylo dosaženo co největší efektivity, je potřeba nalézt vhodný kompromis mezi těmito dvěma kritérii. Velkou roli hraje doba výpočtu zejména tehdy, pokud je identifikace součástí real-time řídicího systému, např. pro odhad změn dynamiky systému, průběžné ohodnocování kvality regulace, atd. Pro popis systému je zvolena množina charakteristických čísel, kterými je jednoznačně určen. Kontrolou změnou těchto parametrů pak lze optimalizovat dosavadní výsledky.

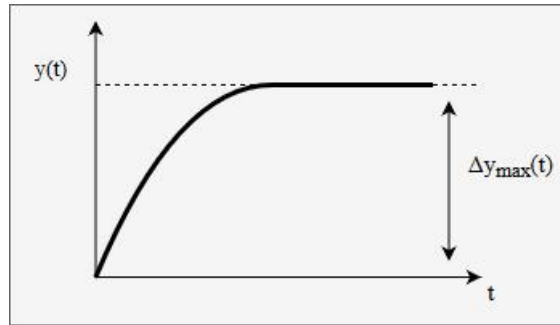
#### **3.1 Grafické metody**

Nejjednodušším řešením, které vyžaduje minimální výpočetní zátěž, je použití vhodné grafické metody. Samotná charakteristická čísla nebo parametry potřebné k jejich výpočtu lze odečíst z grafu přechodové charakteristiky. Následným dosazením čísel do předepsané struktury dostáváme aproximaci hledaného systému.

Grafické metody a jejich aplikace nejsou hlavním předmětem této práce, a nebudou tedy podrobně studovány. Pro ilustraci bude znázorněn příklad monotónní přechodové charakteristiky bez dopravního zpoždění a jeho rozšíření o dopravní zpoždění.

##### **3.1.1 Aproximace soustavou prvního řádu bez dopravního zpoždění**

Aproximaci tohoto typu lze použít jen v případě, že prodleva v čase  $t = 0$  je velmi malá, reálně neobsahuje žádné dopravní zpoždění (*Obrázek č. 2*). [4]



Obrázek č. 2 Přechodová charakteristika systému prvního řádu

Takovýto systém je popsán strukturou ve tvaru

$$P(s) = \frac{K}{Ts+1} \quad (7)$$

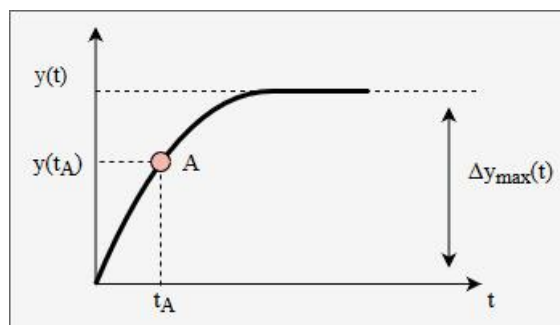
s časovou konstantou  $T$ , zesílením  $K$  a přechodovou funkcí

$$h(t) = K \left(1 - e^{-\frac{t}{T}}\right). \quad (8)$$

Je-li k vybuzení systému a k následnému získání přechodové charakteristiky použit jednotkový skok, odpovídá hodnota parametru  $K$  přímo naměřené hodnotě  $\Delta y_{\max}(t)$ . Pokud byl k vybuzení použit jiný vstupní signál než  $u(t) = 1$ , je potřeba zesílení spočítat jako podíl změny výstupního signálu  $\Delta y = \Delta y(\infty) - \Delta y(0)$  ke změně vstupu  $\Delta u(t)$ : [4]

$$K = \frac{\Delta y(\infty) - \Delta y(0)}{\Delta u(t)}. \quad (9)$$

Pro výpočet časové konstanty  $T$  je potřeba umístit na křivku přechodové charakteristiky libovolný bod a jeho souřadnice dosadit do vzorce.



Obrázek č. 3 Volba pomocného bodu

Nechť libovolný bod A má souřadnice  $[t_A, y(t_A)]$ . Za předpokladu, že  $u(t) = 1$ , pro tento bod dosazením do rovnice (8) platí: [4]

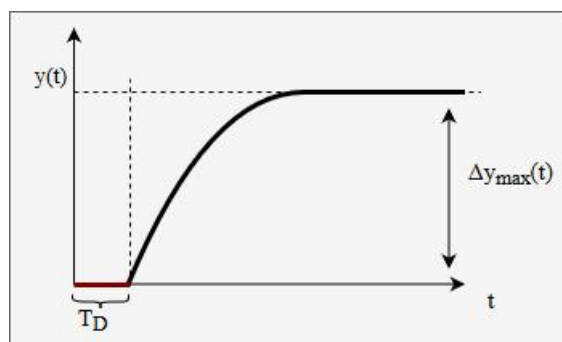
$$y(t_A) = \Delta y_{\max}(t) \left(1 - e^{-\frac{t_A}{T}}\right) \quad (10)$$

a časová konstanta je pak vyjádřena následujícím vzorcem:

$$T = - \frac{t_A}{\ln\left(1 - \frac{y(t_A)}{\Delta y_{\max}(t)}\right)} \quad (11)$$

### 3.1.2 Aproximace soustavou prvního řádu s dopravním zpožděním

Výpočet v předchozím příkladu lze použít jen v ideálním případě, kdy systém reaguje na změnu vstupu okamžitě. V praxi je však potřeba počítat s prodlevou, kterou lze modelovat jako dopravní zpoždění systému.



Obrázek č. 4 Přechodová charakteristika systému prvního řádu s dopravním zpožděním

Rozšířením modelu (7) vznikne nový model ve tvaru:

$$P(s) = \frac{K}{Ts+1} e^{-T_D s} \quad (12)$$

se stejnými parametry  $K$ ,  $T$ , jako v případě nezpožděného systému, a dopravním zpožděním  $e^{-T_D s}$  s parametrem  $T_D$ . Přechodová charakteristika se v tomto případě nijak neliší, je však potřeba dodefinovat ji na intervalu  $(0, T_D)$ , kde je pro jednotkový skok nulová.

$$h(t) = \begin{cases} 0, & \text{pro } t < T_D \\ K \left(1 - e^{-\frac{t}{T}}\right), & \text{pro } t \geq T_D \end{cases} \quad (13)$$

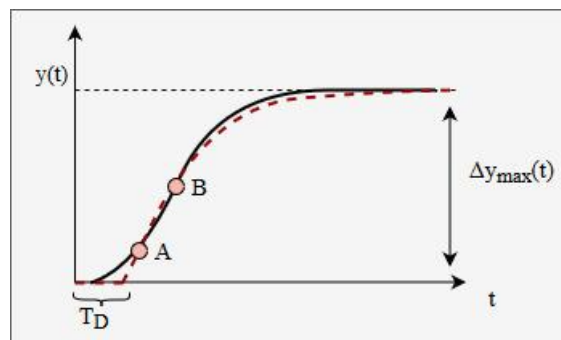
Parametr  $T_D$  je známý parametr, který lze odečíst přímo z grafu přechodové charakteristiky. Zesílení  $K$  je spočteno stejným způsobem z rovnice (9), jako v předchozím případě, a pro časovou konstantu  $T$  platí:

$$T = - \frac{T_D - t_A}{\ln\left(1 - \frac{y(t_A)}{\Delta y_{\max}(t)}\right)}. \quad (14)$$

### 3.1.3 Přehled metod aproximace vyššího řádu

#### a) Modelem systému prvního řádu s dopravním zpožděním

Systémy vyššího řádu lze poměrně jednoduše aproximovat modelem systému prvního řádu s dopravním zpožděním. Na přechodové charakteristice systému vyššího řádu jsou zvoleny dva body, kterými bude výsledná přechodová charakteristika spočteného modelu procházet (Obrázek č. 5). Každý z obou bodů by měl ležet na opačné straně od inflexního bodu přechodové charakteristiky systému vyššího řádu. Takové rozmístění zajistí, že aproximovaná křivka bude dobře odpovídat původní charakteristice na co nejširším rozsahu. [4, 6]



Obrázek č. 5 Aproximace přechodové charakteristiky systému vyššího řádu charakteristikou prvního řádu s dopravním zpožděním

Pro popis aproximované charakteristiky na intervalu  $[T_D, \infty)$  platí rovnice (10), ze které jsou dosazením bodů A a B získány dvě rovnice, jejichž vydělením a úpravou je získán vztah pro dopravní zpoždění. Pro časovou konstantu platí vztah (14). [4]

#### b) Metoda prof. Strejce

Dalším způsobem, jak identifikovat systémy vyššího řádu, je metoda prof. Strejce, která je rovněž založena na odečtení některých parametrů z grafu. Jedná se o tabulkovou metodu,

kde na základě vypočítaných konstant a požadavku na řád modelu jsou odečítány z tabulky koeficientů parametry, kterými je model určen.

Model může nabývat tvaru:

$$P(s) = \frac{K}{(Ts+1)^n} e^{-T_D s} \quad (15)$$

s n-počtem stejných časových konstant, statickým zesílením a dopravním zpožděním, nebo obdobného tvaru, ovšem druhého řádu s dvěma různými časovými konstantami  $T_1, T_2$ :

$$P(s) = \frac{K}{(T_1 s + 1)(T_2 s + 1)} e^{-T_D s}. \quad (16)$$

Výběr je proveden účelově na základě spočteného parametru  $\tau_u$ , jehož výpočet, včetně dalšího postupu, je shrnut v článku [6], který odkazuje na původní práci profesora Strejce.

### 3.2 Momentová metoda

Na rozdíl od výše uvedených, je tato metoda rize výpočetní. Charakteristická čísla vypočtená touto metodou jsou lineární kombinací momentů zkoumaného systému. Pro přechod mezi čísly a momenty existuje přesně definovaný vztah a jejich sekvencí je možné jednoznačně určit přenosovou funkci  $P(s)$ . Čím vyšší má charakteristické číslo index, tím menší má vliv na konečný tvar systému. [7]

$$P(s) = m_0 \left( 1 - m_1 s + \frac{1}{2!} m_2 s^2 - \dots \right) \quad (17)$$

Pro obecnou přenosovou funkci stabilního systému ve tvaru

$$P(s) = K \frac{\prod_{i=1}^m (\theta_i s + 1)^{m_i}}{\prod_{i=1}^n (\tau_i s + 1)^{n_i}} \quad (18)$$

lze získat hodnotu charakteristických čísel výpočtem z časových konstant  $\theta$  a  $\tau$  tohoto systému. Pro daný systém je jeho prvních  $n$  charakteristických čísel označeno  $\sigma_0, \sigma_1, \sigma_2, \dots, \sigma_n$ . Nulté charakteristické číslo  $\sigma_0$  je pak rovno zesílení systému. Pro další postup budou potřeba pouze první tři charakteristická čísla.

$$\sigma_0 = K,$$

$$\sigma_1 = \sum_{i=1}^n n_i \tau_i - \sum_{i=1}^m m_i \theta_i, \quad (19)$$



$$\sigma_2 = \sum_{i=1}^n n_i \tau_i^2 - \sum_{i=1}^m m_i \theta_i^2,$$

...

Pro speciální případ, kdy je přenosová funkce ve tvaru

$$P(s) = \frac{K}{\prod_{i=1}^p (\tau_i s + a)^{n_i}}, \quad (20)$$

jsou první tři charakteristická čísla nazývána  $\kappa$ ,  $\mu$ ,  $\sigma^2$  a platí:

$$K = \kappa, \quad \sum_{i=1}^p n_i \tau_i = \mu, \quad \sum_{i=1}^p n_i \tau_i^2 = \sigma^2. \quad [7] \quad (21)$$

Obsahuje-li systém dopravní zpoždění ve tvaru  $e^{-Ds}$ , pro jeho charakteristické číslo  $\sigma_1$  platí:

$$\sigma_1 = \sum_{i=1}^n n_i \tau_i - \sum_{i=1}^m m_i \theta_i + D. \quad (22)$$

Pro ostatní charakteristická čísla lze použít vztah (19).

## 4 Vliv šumu na měřené signály

### 4.1 Úvod do zpracování signálů

Signál je veličina nesoucí specifickou informaci. V případě reálného signálu se jedná o skutečnou fyzikální veličinu, jakou je například elektrické napětí. Tyto reálné signály je však obtížné popsat, a využívá se proto aproximujícího modelu (abstraktní signál). Obecné signály lze dělit na spojité a diskrétní v čase i amplitudě. Podle typu můžeme dále signály rozdělit na deterministické a stochastické. Deterministický signál lze popsat jednou rovnicí, výjimečně tabulkou nebo grafem, což vede na jeho snazší zpracování. Užitečný signál je zpravidla deterministický. Na rozdíl od deterministického, stochastický signál rovnicí popsat nelze. K jeho popisu se využívá sada parametrů, například statistické hodnoty (střední hodnota, rozptyl) nebo rozdělení hustoty pravděpodobnosti. Stochastický signál je zpravidla šum v užitečném signálu. Pronikáním těchto šumů na výstup systému a jejich šířením systémem se zabývá šumová analýza. V rámci šumové analýzy jsou vstupní signály považovány za bezšumové. [9, 10]

### 4.1.1 Spektrum signálu

Spektrum signálu je zobrazení signálu s frekvenční závislostí. Pro výpočet spektra (převod signálu z časově závislého na frekvenčně závislý) se využívá přímé Fourierovy transformace. Opačný proces se nazývá rekonstrukce signálu. [9]

Podle tvaru spektra lze určit typ šumu:

- bílý šum – obsahuje všechny frekvence a nabývá rovnoměrné výkonové hustoty spektra
- náhodný šum – jde o nezávislý šum, obvykle elektrický nebo akustický signál, ve kterém jsou rovnoměrně zastoupeny všechny frekvence [11]
- Gaussov šum – jde o závislý šum, jehož rozložení závisí na Gaussově funkci

Pro spektrum spojitého signálu šumu platí, že je rovněž spojitý. [9]

### 4.1.2 Charakteristika šumu

Šum je neperiodický signál, náhodně se měnící v čase se stálými statistickými vlastnostmi. K jeho popisu lze v neposední řadě využít spektrální charakteristiky, které jsou v čase relativně stálé a dobře měřitelné. Lze z nich odvodit výkon šumu a z výkonu efektivní hodnotu. [10]

## 5 Možnosti odhadu charakteristických čísel v prostředí MATLAB

Důležitou roli v rámci odhadu charakteristických čísel v MATLABu hraje System Identification Toolbox – uživatelsky přívětivé grafické rozhraní. Jeho největší předností je intuitivní ovládání a široká škála možností, kterou poskytuje. MATLAB jako skriptovací programovací jazyk umožňuje také tvorbu skriptů, interagujících s prostředím Simulink, které simuluje dynamické systémy pomocí funkčních bloků. Je tak možné naprogramovat jakoukoliv výpočetní nebo grafickou metodu jako skript nebo funkci na výpočet charakteristických čísel.

### 5.1 System Identification Toolbox

System Identification Toolbox slouží k identifikaci systémů na základě naměřených vstupně-výstupních dat a požadavků na jeho strukturu. Další funkce, kterými tento toolbox disponuje, jsou například analýza výchozích dat, validace přesnosti identifikace nebo odhad parametrů

modelu online. Samotná identifikace spočívá v odhadu parametrů modelu, jehož strukturu včetně dopravního zpoždění si zvolí uživatel na základě určité heuristiky, využívá se zde tedy principu gray box. Pokud není zpoždění definováno uživatelem, bude identifikováno automaticky, je-li potřeba. Identifikovat lze lineární modely, například ve formě přenosové funkce nebo stavové reprezentace, i modely nelineární, například ve formě nelineárního ARX (Autoregressive with exogenous terms) modelu. [2]

Není-li uživatel jednoznačně přesvědčen, zda je zvolená struktura tou nejvhodnější, je možné navrhnout více modelů a po validaci vybrat ten, který bude nejvíce odpovídat výchozím datům. Doporučená shoda modelu s výchozími daty je alespoň 80 procent.

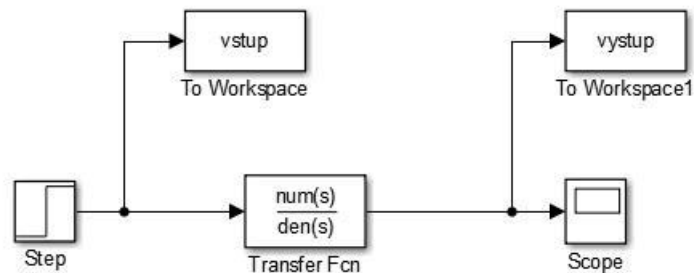
Následující kapitola bude sloužit jako uživatelská příručka pro obsluhu výše popsaného Toolboxu. Bude zde navržen jednoduchý systém, jehož pomocí se vygenerují vstupně-výstupní data. Na základě těchto dat bude provedena identifikace. Jelikož je systém předem známý, nebude obtížné provést zpětnou kontrolu, jak moc se oba systémy liší.

### 5.1.1 Příklad identifikace

Jako první nadefinujeme přenos systému, pomocí kterého pořídíme vstupně-výstupní data určená k identifikaci. Zvolíme například systém druhého řádu s jednou nulou a dvěma póly. V tomto případě se jedná o stabilní kmitavý systém.

$$F(s) = \frac{2s+0.5}{s^2+0.8s+0.6} \quad (23)$$

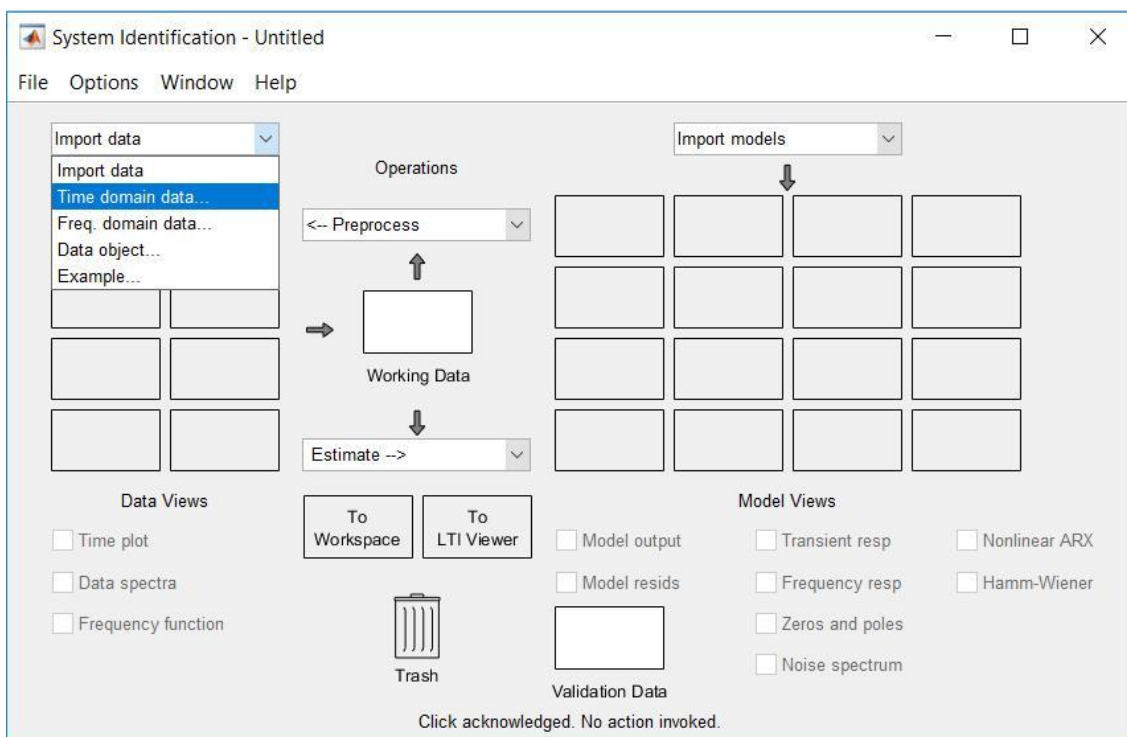
Dále v prostředí Simulink vytvoříme blokové schéma (Obrázek č. 6) , které bude generovat vstupní a výstupní data s periodou vzorkování  $T = 0.01$ . Jako vstup byl použit jednotkový skok, výstupem je odezva systému, viz (23), na tento vstup. Pomocí funkčního bloku ToWorkspace jsme schopni tato data předat na sdílenou pracovní plochu (Workspace), která je společná pro Simulink, MATLAB i vnořené aplikace MATLABu, jakou je právě System Identification Toolbox.



Obrázek č. 6 Generátor vstupně-výstupních dat

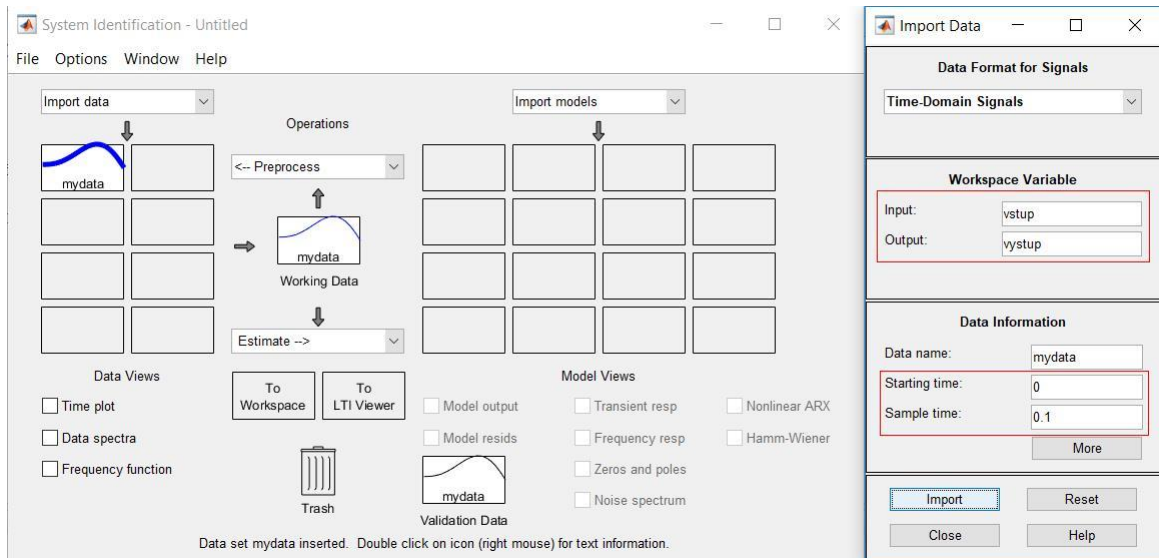
### 5.1.1.1 Identifikace v System Identification Toolbox

Data generovaná pomocí schématu na Obrázku č. 6 reflektují časovou odezvu systému, tudíž pro import dat do identifikačního prostředí vybereme možnost „Time domain data“. Dále je možné importovat data z frekvenční oblasti, nebo ucelené datové objekty.

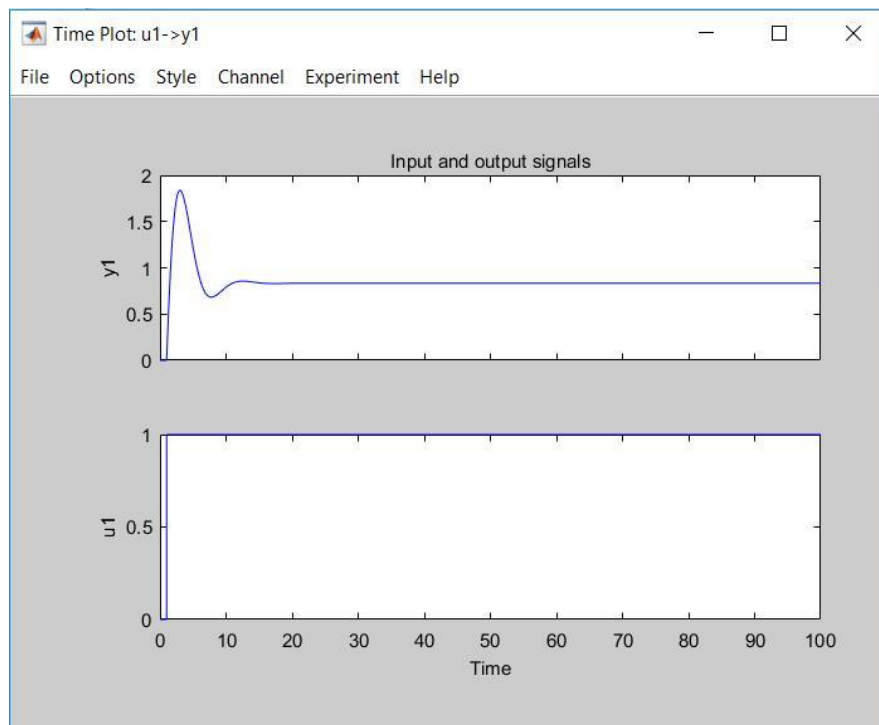


Obrázek č. 7 Výběr charakteru importovaných dat

Po rozkliknutí konkrétní volby, je potřeba vyplnit doplňující vlastnosti dat. Názvy, pod kterými máme data uložena ve Workspace, vyplníme do příslušných polí – Input, Output. Dále je potřeba nastavit čas pro první vzorek a periodu vzorkování, se kterou byla data pořízena (Obrázek č. 8). Po kliknutí na tlačítko Import se data nahrají do levého sloupce identifikačního toolboxu a jsou připravena k identifikaci, nebo předzpracování.

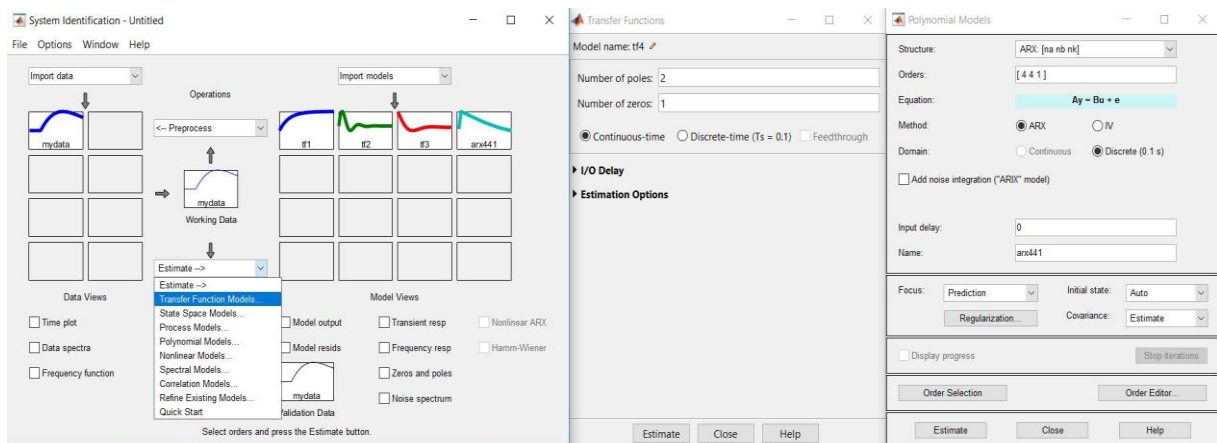


Obrázek č. 8 Nastavení importovaných dat



Obrázek č. 9 Časový průběh dat

V následujícím kroku vybereme formu, ve které chceme získat identifikovaný systém. System Identification Toolbox nabízí řadu těchto možností. V našem případě použijeme formu přenosové funkce a pro představu identifikujeme také model ve formě dynamického modelu ARX podílem polynomů (Obrázek č. 10).



Obrázek č. 10 Nastavení identifikovaného modelu

Opět se otevře rozhraní pro bližší nastavení modelu, který chceme identifikovat. Pro přenosovou funkci je to zejména počet nul a pólů, pro ARX model to jsou stupně polynomů. Výsledné modely můžeme pozorovat v pravé části identifikačního toolboxu. Na základě stejných vstupně-výstupných dat jsme tedy vytvořili čtyři rozdílné modely, které nyní podrobíme validaci.

### Modely:

tf1 – přenosová funkce s jedním pólem a jednou nulou

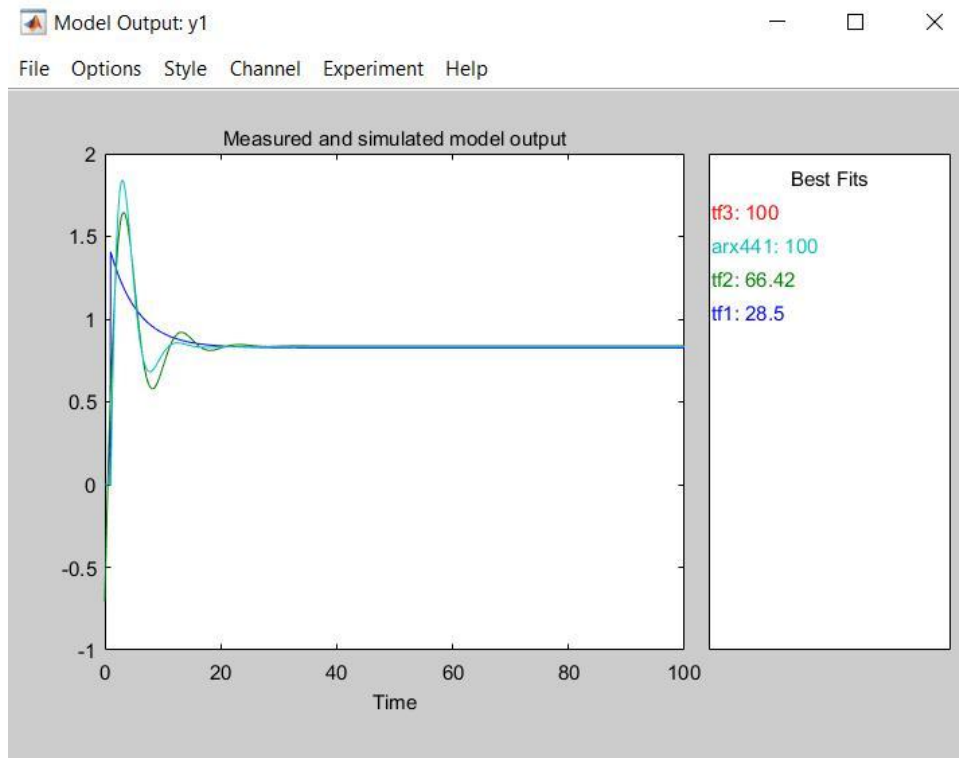
tf2 – přenosová funkce se dvěma póly bez nuly

tf3 – přenosová funkce se dvěma póly a jednou nulou

arx441 – ARX model se stupni polynomů  $a_n = 4$ ,  $b_n = 4$

Pro každý z těchto modelů máme navíc k dispozici náhled na jeho přechodovou charakteristiku, frekvenční charakteristiku, škálu zašumění a rozmístění nul a pólů (GMK – Geometrické místo kořenů).

Konečná validace spočívá v porovnání výstupů všech modelů se skutečným výstupem identifikovaného systému na základě známého vstupu. V praxi je vhodné použít pro validaci jiná data, než ta, která byla použita k odhadu parametrů. Pro náš případ postačí porovnat výstupy modelů s naměřeným výstupem (Obrázek č. 11).



Obrázek č. 11 Validace modelů

Je patrné, že nejlepší shodu poskytuje model ve tvaru přenosové funkce se dvěma póly a jednou nulou, což jsme mohli předpokládat ještě před validací, neboť odpovídá tvaru výchozího systému. Stejnou shodu, rovněž stoprocentní, poskytuje model založený na ARX struktuře s podílem polynomů čtvrtého řádu. Pokud bychom navrhli více modelů s touto strukturou, mohli bychom zjistit, že pro dokonalou identifikaci by stačily i polynomy s nižším řádem. Nejhorších výsledků nabývá systém prvního řádu, který není schopen dostatečně podchytit dynamiku identifikovaného systému.

### 5.1.2 Porovnání charakteristických čísel

Nyní provedeme stejnou proceduru, avšak pro systém, který nebude kmitavý, nýbrž monotónní. Z fyzikální podstaty je takový systém pro nás přirozenější (např. regulace teploty,

tlaku, průtoku,...), a rovněž se budeme těmito systémy zabývat v rámci širšího testování v další části této práce. Na rozdíl od předchozího příkladu budeme identifikované systémy hodnotit podle odchylky jejich charakteristických čísel, za použití momentové metody, popsané v kapitole 3.2, a vztahu (19) pro obecný systém. Identifikované formy byly zvoleny následovně:

proc1 – FOPDT ve tvaru (1)

proc2 – SOPDT ve tvaru (2)

proc3 – dvě časové konstanty bez dopravního zpoždění

proc4 – tři časové konstanty bez dopravního zpoždění

$$F(s) = \frac{s + 0.5}{3s^2 + 4s + 1}$$

$$proc1(s) = \frac{0.4992}{(1.9209s + 1)}$$

$$proc2(s) = \frac{0.4994}{(2.0336s + 1)(0.0004s + 1)}$$

$$proc3(s) = \frac{0.49928}{(1.9615s + 1)(0.0020s + 1)}$$

$$proc4(s) = \frac{0.4998}{(2.1806s + 1)(2.2424s + 1)(0.0004s + 1)}$$

Aby bylo možné tuto metodu použít, je potřeba převést přenosovou funkci  $F(s)$  do vhodného tvaru – (18).

$$F(s) = \frac{s + 0.5}{3s^2 + 4s + 1} = \frac{0.5(2s + 1)}{3(s - s_1)(s - s_2)} = \frac{0.5(2s + 1)}{3(-s_1)(-s_2)\left(\frac{s}{-s_1} + 1\right)\left(\frac{s}{-s_2} + 1\right)}$$

Nyní vyřešíme kvadratickou rovnici ve jmenovateli a dosadíme za kořeny  $s_1, s_2$ .

$$3s^2 + 4s + 1 = 0 \Rightarrow s_1 = -\frac{1}{3}, s_2 = -1$$

$$F(s) = \frac{0.5(2s+1)}{3\left(-\frac{1}{3}\right)(-1)(3s+1)(s+1)} = \frac{0.5(2s+1)}{(3s+1)(s+1)}$$

$$K = 0.5, \theta_1 = 2, \tau_1 = 3, \tau_2 = 1$$

Dosazením do vztahu (19) získáme první tři charakteristická čísla pro systém  $F(s)$ :



$$\sigma_0 = 0.5$$

$$\sigma_1 = 3 + 1 - 2 = 2$$

$$\sigma_2 = 3^2 + 1^2 - 2^2 = 6$$

Obdobně bychom postupovali pro ostatní systémy proc1, proc2, proc3 a proc4. Porovnání s identifikovanými modely je možné pozorovat v *Tabulce č. 1*. Hodnoty nejbližší skutečným jsou zvýrazněny zelenou barvou.

Tabulka č. 1 Porovnání char. čísel (T=0.01s)

System	$\sigma_0$	$\sigma_1$	$\sigma_2$	Validace (Toolbox)
F	0.5000	2.0000	6.0000	-
proc1	0.4992	1.9209	3.6889	94.33 %
proc2	0.4994	2.0340	4.1355	93.61 %
proc3	0.4993	1.9635	3.8473	94.14 %
Proc4	0.4998	4.4233	9.7832	85.97 %

Obecně je možné říci, že stoprocentní validační shoda nemusí vést na identickou hodnotu charakteristických čísel. Dále se potvrdila teze, že nelze kvalitu identifikace posuzovat na základě jednoho charakteristického čísla, ale je potřeba nahlížet na celý set, neboť vypočtená hodnota  $\sigma_0$  je přijatelná pro všechny identifikované systémy.

V *Tabulce č. 2* je možné pozorovat, jakým způsobem se změni charakteristická čísla identifikovaných systémů, je-li zvolena jiná hodnota vzorkování. Konkrétně bylo pořízeno desetkrát více vzorků, s periodou vzorkování  $T = 0.001s$ . Zelenou barvou jsou zvýrazněna čísla, pro která se odchylka od očekávané hodnoty zmenšila, červeně jsou pak podbarveny hodnoty s nárůstem v odchylce.

Tabulka č. 2 Porovnání char. čísel (T=0.001s)

System	$\sigma_0$	$\sigma_1$	$\sigma_2$	Validace (Toolbox)
F	0.5000	2.0000	6.0000	-
proc1	0.4992	1.9207	3.6889	94.32 %
proc2	0.4991	1.8812	3.5383	93.88 %
proc3	0.4991	1.8627	3.4698	94.11 %
Proc4	0.5000	4.0071	10.0002	82.19 %

Výsledek testování je takový, že podrobnější vzorkování nepřinese zpřesnění charakteristických čísel napříč všemi strukturami. Zpravidla dochází ke zpřesňování v rámci shodné identifikované a výchozí struktury nebo jí podobných. Naopak u odlišných struktur, zejména obsahujících mnoho parametrů, je výsledek zcela opačný, což tato konkrétní tabulka příliš nepotvrzuje. Určování modelu s velkým množstvím parametrů je daleko citlivější na vznik případných chyb, v důsledku jednoho špatně odhadnutého parametru. Vždy je potřeba nalézt rozumnou periodu, velké množství dat s malou periodou je vhodné před vstupem do identifikační procedury převzorkovat.

## 6 Testování kvality identifikace

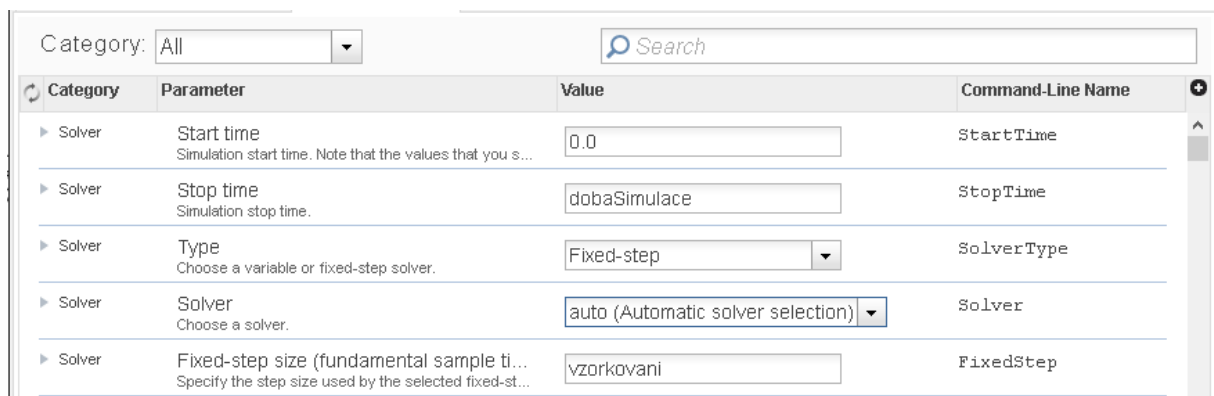
Jak již bylo zmíněno v kapitole 2, identifikace systémů je proces, který je závislý na mnoha faktorech. Proces identifikace nemůže být triviálně zobecněn a nelze pro všechny případy uvažovat stejnou identifikační metodu nebo stejnou identifikovanou formu. Velkou roli hraje systém, jehož pomocí byla vygenerována vstupně-výstupní data. Nejen tomuto problému se bude věnovat tato kapitola, ve které bude popsán navržený experiment, zkoumající vliv budícího signálu a výběr identifikované formy na kvalitu identifikace.

Cílem našeho testování bylo vytvořit interaktivní modul, který by sloužil k uchování informací o kvalitě identifikace napříč spektrem monotónních stabilních systémů, jejichž popis bude podrobněji rozebrán v další části této práce. Pro každý tento systém jsou pak generována výstupní data, na základě zvolených vstupních signálů. Takto pořízená vstupně-výstupní data nám umožňují identifikovat nový systém, jehož odchylku od výchozího systému

charakterizujeme odchylkou charakteristických čísel identifikovaného systému od výchozího. Pro výpočet charakteristických čísel byla implementována momentová metoda, popsaná v kapitole 3. Modul společně se všemi simulačními soubory byl navržen pro programové prostředí MATLAB.

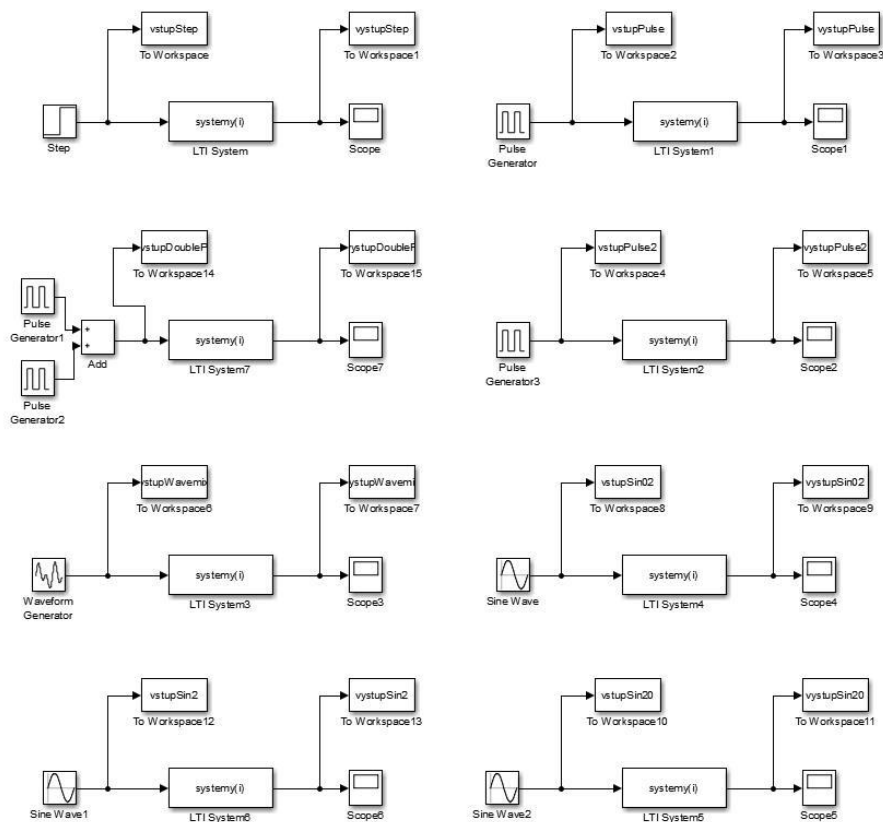
## 6.1 Nastavení solveru a signálů

Nejdůležitějším parametrem, který bylo potřeba nastavit v solveru prostředí SIMULINK, byla perioda vzorkování, se kterou budou pořízena vstupní a výstupní vektory dat. Jak již bylo dokázáno v předchozí kapitole, drobnější vzorkování není vždy výhodným řešením, a proto byla zvolena fixní hodnota periody vzorkování. Jelikož testování probíhá na množině testovacích systémů normalizovaných v čase, je možné pro všechny systémy použít jednu hodnotu periody vzorkování  $T = 0.01$ . Ačkoli fixní krok vzorkování přinese řadu “zbytečných” vzorků, a naopak ve velmi dynamických částech signálu může být vzorků nedostatek, bylo toto nastavení provedeno účelově, jelikož identifikační metoda `procest()` vyžaduje vektory vzorků s fixní periodou vzorkování.



Obrázek č. 12 Nastavení solveru

Délka simulace byla zvolena 50 sekund s počáteční hodnotou v nule, typ řešiče (solveru) byl ponechán automatický, což je defaultní nastavení prostředí SIMULINK.



**Obrázek č. 13 Model získávání vstupně-výstupních dat**

Základ simulace tvoří osm vstupních signálů, pro který každý je spočtena vlastní tabulka s charakteristickými čísly. Zvoleny byly následující signály s různým nastavením: Step, Pulse, Waveform Generator a Sinus. Pořízená výstupní data jsou dále zašuměna na úrovni 5 %, 10 % a 20 %, což nám umožní porovnat, do jaké míry má na odchylku charakteristických čísel vliv šum a do jaké proces identifikace.

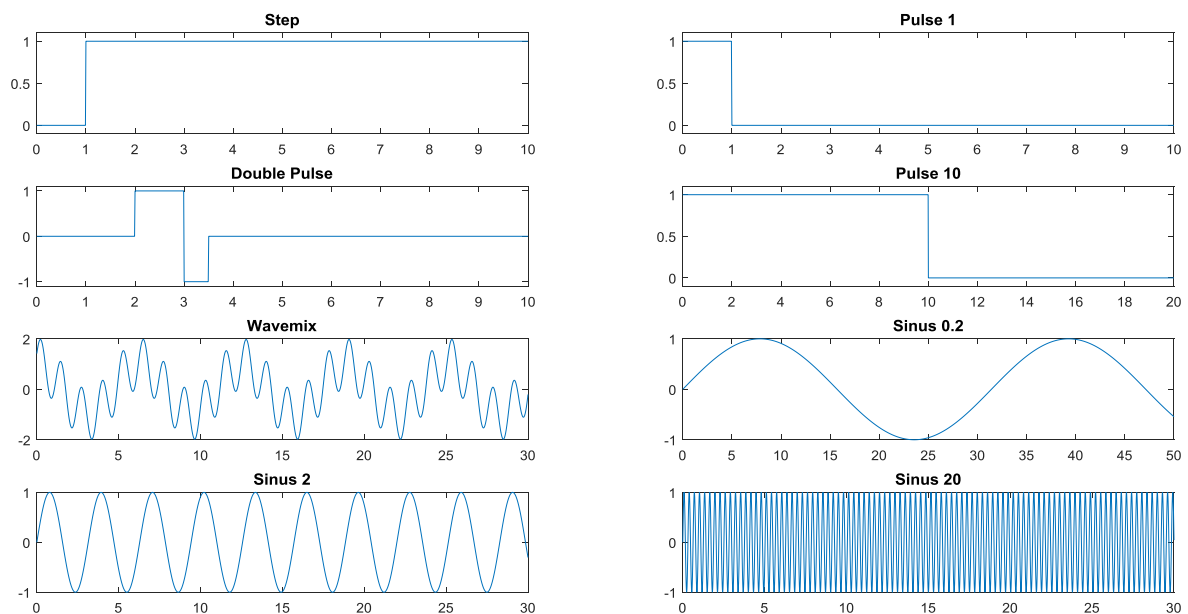
Na *Obrázku č. 14* lze pozorovat průběh všech použitých vstupních signálů. Finální hodnota signálu Step je nastavena na hodnotu 1, s časem skoku v jedné vteřině.

Pro signál Pulse byly zvoleny různé šířky pulzu s amplitudou rovno jedné – v případě jednoduchého pulzu se jedná o šířky 1, při které odezva systému nedosáhne maximální amplitudy, a 10, což se projeví jako dvojitý jednotkový skok, při kterém se výstupní signál nejprve ustálí na hodnotě 1 a následovně opět klesne na nulu. V případě dvojitého pulzu se jedná o přímý sled dvou pulzů s opačnou amplitudou a šířkou prvního pulzu 1, šířkou druhého pulzu 0.5.

Signál, který vznikl pomocí simulačního bloku Waveform Generátor (dále jen Wavemix), je složeninou posunutých signálů sinus s různou amplitudou (A), frekvencí (F) a fází (P) ve tvaru  $\sin(A, F, P)$  s následujícími složkami:

- $\sin(4, 1, 0)$
- $\sin(2, \sin(2, 3, 1), 2)$
- $\sin(\sin(2, 3, 1), 2, 1)$

Posledním použitým signálem je sinus s frekvencí 0.2rad/s, 2rad/s a 20rad/s.



Obrázek č. 14 Vstupní signály

## 6.2 Generování systémů

Pořízené přenosové funkce systémů jsou generovány tak, že obsahují pouze zesílení v čitateli a jmenovatel je pak tvořen rozkladem na časové konstanty, viz vzorec (20). Výpočet je založen na znalosti charakteristických čísel  $\kappa, \mu, \sigma^2$ , které byly pro zjednodušení zvoleny následovně.

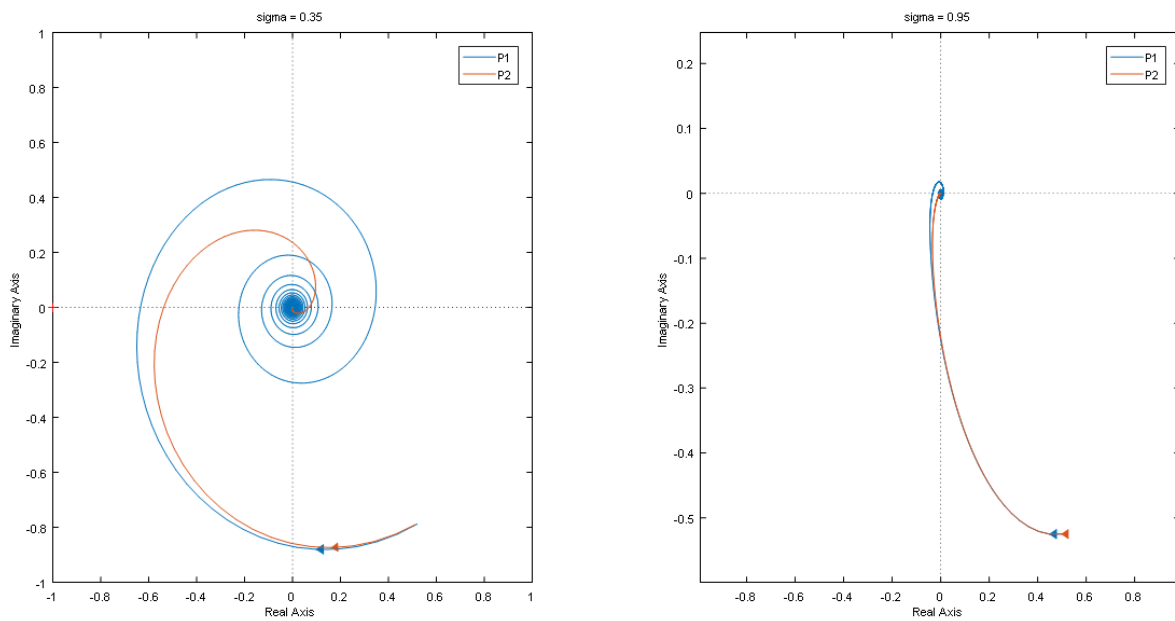
$\kappa$  – fixní hodnota 1

$\mu$  – fixní hodnota 1

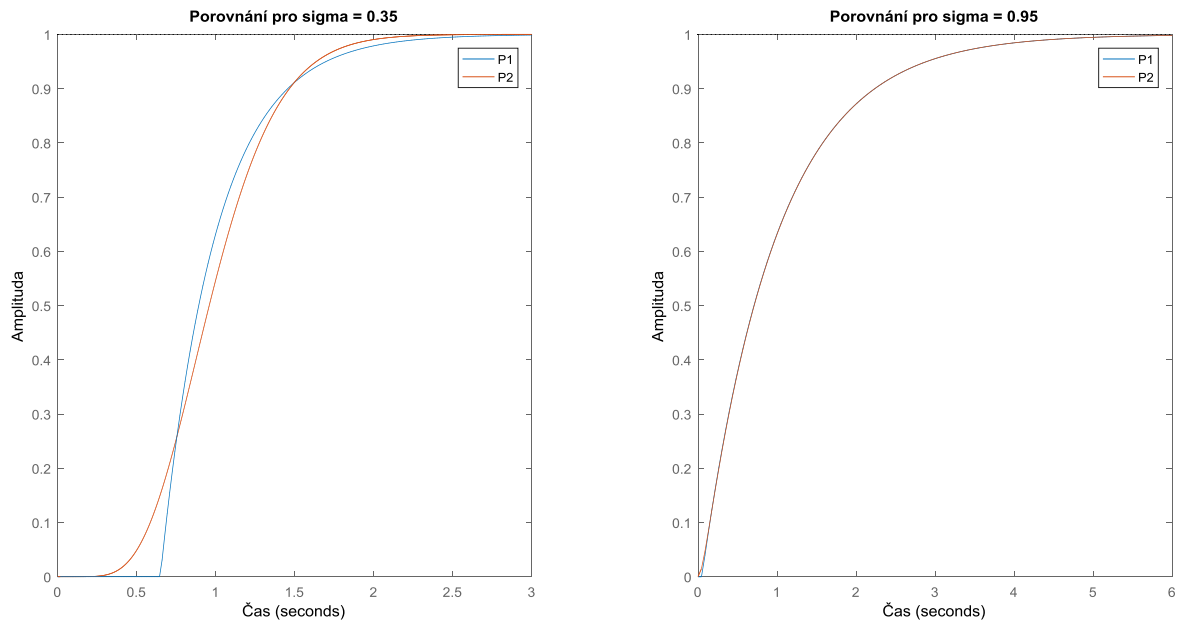
$\sigma$  - interval (0.35, 0.95) s krokem 0.05

Vektor hodnot sigma tedy nabývá třinácti hodnot. Pro každou tuto hodnotu spočteme dva hraniční systémy, jejichž význam ve frekvenční oblasti je znázorněn na Obrázku č. 15. Jedná se o systémy zaobalující množinový model všech systémů, které vyhovují zadaným podmínkám.

Ačkoli při porovnání v časové oblasti (*Obrázek č. 16*) se zdá průběh obou hraničních systémů téměř shodný, shoda v časové oblasti neznamena nutnou shodu ve frekvenční oblasti, jak lze pozorovat právě z průběhu Nyquistovy křivky (*Obrázek č. 15*). Hraniční systémy P1 a P2 jsou dva odlišné systémy s odlišnými vlastnostmi.

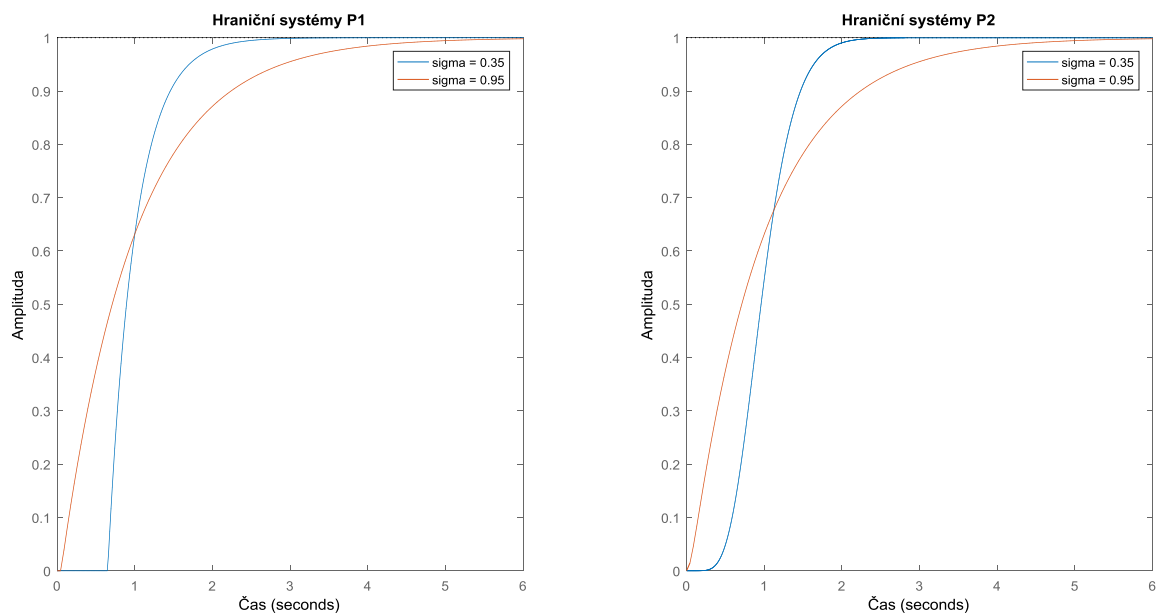


**Obrázek č. 15** Porovnání hraničních systémů ve frekvenční oblasti



Obrázek č. 16 Porovnání hraničních systémů v časové oblasti

Jak je možné pozorovat na *Obrázku č. 16*, je-li  $\sigma$  zvoleno blízko hodnoty nula, blíží se přenosová funkce takto spočteného systému přenosové funkci systému s dopravním zpožděním. Naopak, pro hodnotu jedna jde o nezpožděný systém blízký prvnímu řádu, tedy s jednou dominantní časovou konstantou.



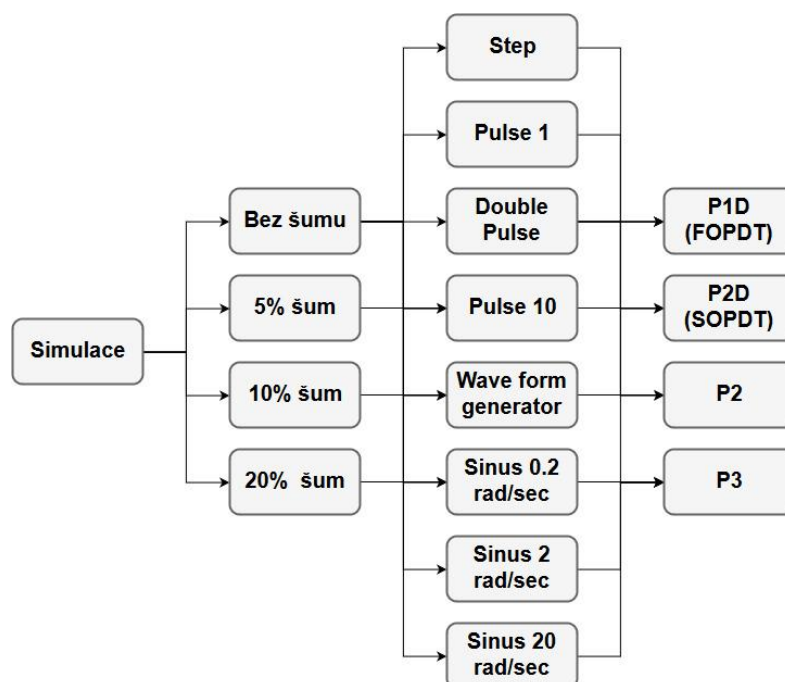
Obrázek č. 17 Porovnání hraničních systémů pro různou hodnotu sigma

Z Obrázku č. 17 je patrné, že v případě hraničního systému P1 jde o systém prvního řádu s dopravním zpožděním, které se zmenšuje s rostoucím parametrem sigma. Druhý hraniční systém P2 reprezentuje systém vyššího řádu.

### 6.3 Reprezentace dat

Pro uchování velkého množství dat bylo potřeba navrhnout strukturu, která by nevyžadovala fundamentální úpravy, zapříčiněné změnou některého parametru simulace – počet testovaných signálů, počet vrstev zašumění nebo počet identifikovaných struktur. Jelikož jsou charakteristická čísla  $\kappa, \mu, \sigma^2$  jednoho systému reprezentována jako tříprvkový vektor a součástí výsledných tabulek jsou rovněž popisky pro snadnější orientaci, byl zde použit datový typ cell array, který umožňuje v každé buňce uchovávat jiný datový typ, včetně sebe samotného, čímž mohla být navržena složitější struktura založená na datovém typu cell array.

Vytvořením prázdné tabulky pro každou vrstvu struktury bylo možné efektivně zkonstruovat celé datové úložiště, jehož rozměry jsou dány výše zmíněnými zvolenými parametry (např. počet signálů). V tomto případě se jedná o 4 simulace, 8 vstupních signálů a 4 identifikované formy, jejichž přesné schéma je znázorněno na Obrázku č. 18.



Obrázek č. 18 Schéma datového úložiště



Atomická tabulka, tabulka charakteristických čísel, která je spočtena pro každý signál v každé simulaci, nese záznam o všech systémech, které byly vygenerovány, tj. 26 systémů pro 13 hodnot sigma (viz kapitola Generování systémů). Jsou zde uložena spočtená charakteristická čísla výchozího systému a dále charakteristická čísla všech identifikovaných systémů – ve formě FOPDT, SOPDT, druhý řád se dvěma časovými konstantami, třetí řád se třemi časovými konstantami. Na konci tabulky lze pozorovat odchylku jednotlivých charakteristických čísel těchto identifikovaných systémů od skutečné hodnoty a jejich váženou odchylku.

Tabulka jedné simulace pak uchovává tabulku charakteristických čísel pro všechny testovací signály a následně je vše zastřešeno tabulkou Simulace, obsahující veškeré tabulky simulací.

## 6.4 Použité funkce

Pro opakující se sekvence kódu byly vytvořeny následující funkce. Jedná se o funkci `charCisla()`, která počítá charakteristická čísla systému, a funkci `pridejSum()`, díky které je možné přidat do vektoru dat náhodný šum, odpovídající jejich procentuální hodnotě.

### 6.4.1 `charCisla()`

Tato funkce je implementací momentové metody, popsané v kapitole 3. Jejím výstupem je vektor charakteristických čísel  $[\sigma_0, \sigma_1, \sigma_2]$ , vstupem do funkce je systém ve tvaru přenosové funkce  $F$  a jeho dopravní zpoždění  $D$ .

Příklad použití:

$$[\sigma_0, \sigma_1, \sigma_2] = \text{charCisla}(F, D)$$

V první řadě je potřeba převést systém do požadovaného tvaru, je tedy potřeba získat hodnoty časových konstant systému. Tyto časové konstanty jsou získány prostřednictvím kořenů vyplývajících z řešení polynomů v čitateli a ve jmenovateli přenosové funkce  $F$ .

Pokud systém neobsahuje žádné nuly, nebude obsahovat ani žádné časové konstanty v čitateli, a výpočet charakteristických čísel bude probíhat na základě vztahu (21). Hodnotu nultého charakteristického čísla  $\sigma_0$  lze získat vydělením hodnoty čitatele zápornými hodnotami všech kořenů jmenovatele a koeficientem u nejvyšší mocniny polynomu určující

jmenovatel.  $\sigma_1$  je pak dáno součtem časových konstant ve jmenovateli, což je ekvivalentní součtu záporných převrácených hodnot kořenů jmenovatele a obdobně je určena hodnota charakteristického čísla  $\sigma_2$ , které je dáno součtem druhých mocnin těchto časových konstant.

V případě, že se jedná o systém obsahující nuly, je podle obecného vztahu (19) potřeba brát v potaz existenci časových konstant v čitateli. Postup je rozšířen o výpočet kořenů polynomu určující čísel, jejichž zápornou hodnotou a koeficientem u nejvyšší mocniny tohoto polynomu je dále násobena hodnota charakteristického čísla  $\sigma_0$ . Od hodnot  $\sigma_1$ , respektive  $\sigma_2$ , jsou dále odečítány záporné převrácené hodnoty kořenů čitatele, respektive jejich druhé mocniny.

Pro charakteristické číslo  $\sigma_1$  v obou případech platí, že jeho konečná hodnota je rovna součtu hodnot dopravního zpoždění systému D a základní hodnotě  $\sigma_1$  dané výše popsaným postupem.

## 6.4.2 pridejSum()

Jak již bylo zmíněno, simulace probíhají nezávisle pro více vstupních signálů, z čehož vyplývá existence vícero vstupních i výstupních vektorů, které je potřeba ukládat. Pro reprezentaci byl opět zvolen datový typ cell array, v tomto případě obsahující osm vektorů dat.

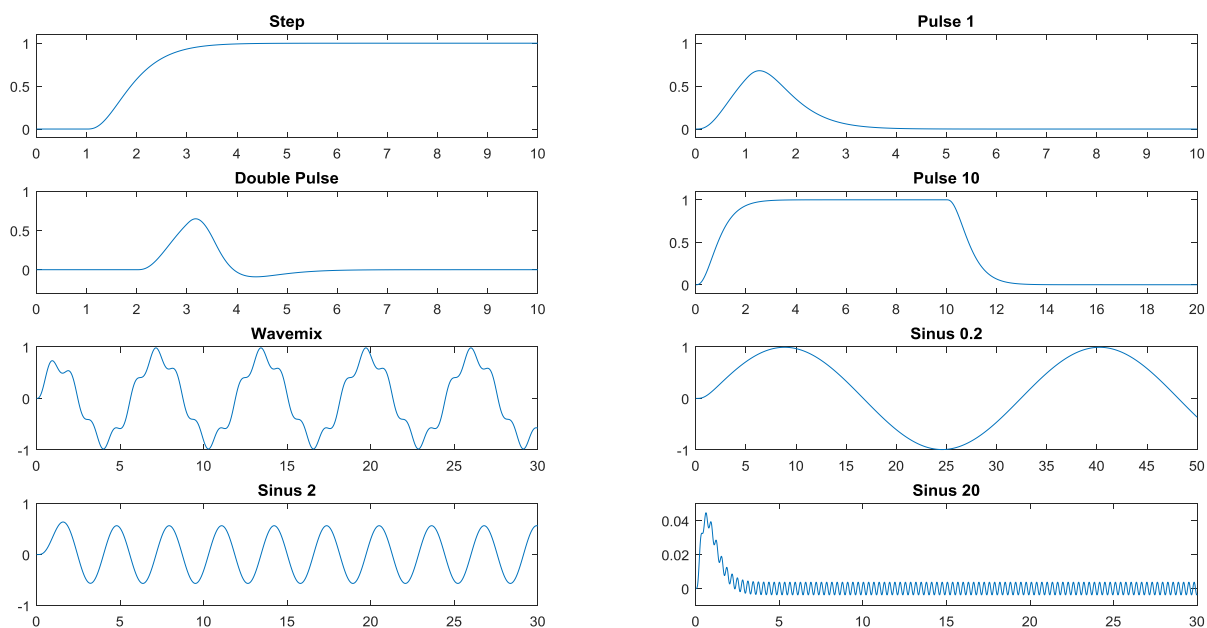
Aby bylo možné pořídit zašuměná výstupní data pro všechny signály naráz, byla vytvořena funkce `pridejSum()`, která zajistí průchod celým polem a vrátí nové pole zašuměných výstupních signálů. Procentuální míra šumu je jeden ze dvou parametrů této funkce, druhým je pole vektorů dat, která jsou určena k zašumění.

Příklad použití:

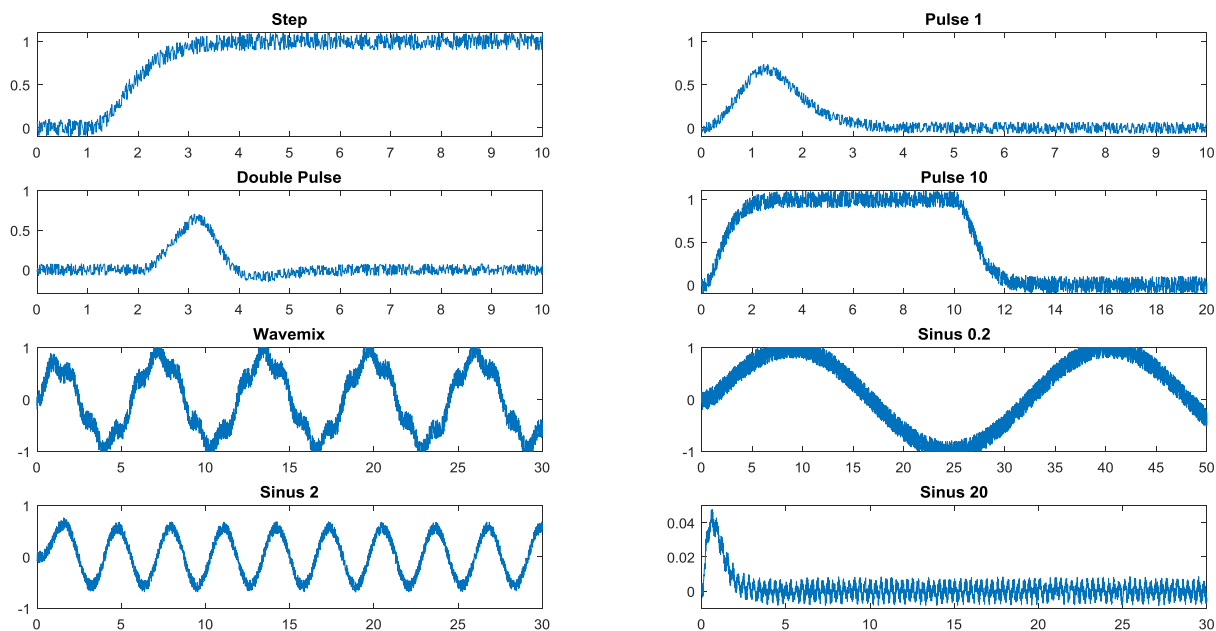
$$[\text{zašuměnáData}] = \text{pridejSum}(\text{Data}, \text{procentoŠumu})$$

Procento šumu je číslo  $\geq 0$ , pro které platí, že  $\text{procentoŠumu} = 0.01$  znamená jednaprocentní šum přidaný do signálu. Výsledná hodnota šumu pak závisí na amplitudě signálu, která je spočtena jako rozdíl maximální a minimální hodnoty z vektoru.

Na *Obrázku č. 19* a *20* lze pozorovat rozdíl mezi nezašuměnými a zašuměnými výstupy jednoho z testovacích systémů.



**Obrázek č. 19** Nezašuměné výstupy systémů



**Obrázek č. 20** Výstupy s 10% šumem

## 6.5 Výpočet odchylky

Hodnotícím kritériem, podle kterého bude dále posuzována kvalita identifikací, bude v rámci tohoto testování odchylka charakteristických čísel. Jelikož je uchována informace o skutečných charakteristických číslech výchozích systémů, spočteme celkovou odchylku pro jedno charakteristické číslo v rámci jedné identifikované struktury a jednoho signálu jako součet druhých mocnin odchylek tohoto čísla identifikovaného systému od výchozího napříč celou sadou testovacích systémů. Odchylky pro všechna charakteristická čísla tedy opět tvoří tříprvkový vektor -  $[\sigma_{o0}, \sigma_{o1}, \sigma_{o2}]$

Pro konkrétnější představu o celkové odchylce bude zaveden pojem vážená odchylka, kterou lze spočítat lineární kombinací odchylek jednotlivých charakteristických čísel. Podle platné definice lze systém popsat součtem členů obsahujících momenty tohoto systému, viz (17). Na základě tohoto vztahu a faktu, že  $k$ -té charakteristické číslo  $\sigma_k$  je rovněž určeno  $k$ -tým momentem systému  $m_k$ , lze tvrdit, že s rostoucím indexem  $k$  klesá význam těchto momentů a charakteristických čísel.

Vážená odchylka bude počítána následovně:

$$VO = k_0\sigma_{o0} + k_1\sigma_{o1} + k_2\sigma_{o2}; k_{0,1,2} > 0 \quad (24)$$

Otázkou však zůstává, jakým způsobem zvolit nastavení koeficientů  $k_0, k_1$  a  $k_2$ , aby nedošlo k umělému zvýhodnění či znevýhodnění některého z charakteristických čísel. Jednou z možností je kopírovat koeficienty Taylorova polynomu, které rovněž figurují ve vztahu (17). Zvolena však nakonec byla méně radikální varianta, která ovšem vystihuje podstatu menší váhy výše indexovaného charakteristického čísla:

$$k_0 = 1$$

$$k_1 = \frac{1}{2}$$

$$k_2 = \frac{1}{3}$$

## 6.6 Identifikované struktury

Tato část práce slouží ke stručnému představení forem, ve kterých bude probíhat identifikace testovacích systémů. Aby byla zaručena stabilita a fyzikální podstata

identifikovaných systémů, jsou nastaveny podmínky pro jejich parametry. Ve skriptu je identifikace realizována pomocí funkce `procest()`, jejímiž parametry jsou speciálně upravená data (viz funkce `iddata()` [2]) a informace o identifikované struktuře, včetně podmínek na její parametry.

- P1D (FOPDT) – viz (1)

Tato struktura je popsána parametry  $K_p$  a  $T_{p1}$ , jejichž hodnoty z výše uvedených důvodů nesmějí být záporná čísla.

```
type1 = 'P1D';  
initSys1 = idproc(type1);  
initSys1.Structure.Kp.Minimum = 0;  
initSys1.Structure.Tp1.Minimum = 0;
```

Obrázek č. 21 Nastavení parametrů struktury P1D

Analogicky budou nastaveny i parametry pro ostatní struktury.

- P2D (SOPDT) – viz (2)

Struktura SOPDT je určena parametry  $K_p$ ,  $T_{p1}$  a  $T_{p2}$ .

```
type2 = 'P2D';  
initSys2 = idproc(type2);  
initSys2.Structure.Kp.Minimum = 0;  
initSys2.Structure.Tp1.Minimum = 0;  
initSys2.Structure.Tp2.Minimum = 0;
```

Obrázek č. 22 Nastavení parametrů struktury P2D

- P2

Jedná se o podobnou strukturu formě SOPDT, ovšem bez dopravního zpoždění.

Struktura P2 je určena parametry  $K_p$ ,  $T_{p1}$  a  $T_{p2}$ .

$$G(s) = \frac{K}{(\tau_1 s + 1)(\tau_2 s + 1)} \quad (25)$$

```

type3 = 'P2';
initSys3 = idproc(type3);
initSys3.Structure.Kp.Minimum = 0;
initSys3.Structure.Tp1.Minimum = 0;
initSys3.Structure.Tp2.Minimum = 0;

```

Obrázek č. 23 Nastavení parametrů struktury P2

- P3

Jedná se o strukturu se třemi časovými konstantami bez dopravního zpoždění.

Určujícími parametry jsou  $K_p$ ,  $T_{p1}$ ,  $T_{p2}$  a  $T_{p3}$ .

$$G(s) = \frac{K}{(\tau_1 s + 1)(\tau_2 s + 1)(\tau_3 s + 1)} \quad (26)$$

```

type4 = 'P3';
initSys4 = idproc(type4);
initSys4.Structure.Kp.Minimum = 0;
initSys4.Structure.Tp1.Minimum = 0;
initSys4.Structure.Tp2.Minimum = 0;
initSys4.Structure.Tp3.Minimum = 0;

```

Obrázek č. 24 Nastavení parametrů struktury P3

## 6.7 Iterace programu

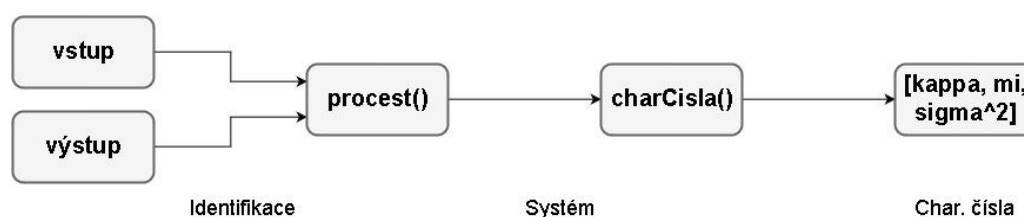
Jak vyplývá ze schématu datového úložiště (Obrázek č. 18), při celkovém počtu 8 testovacích signálů a 4 simulací, disponuje úložiště 32 tabulkami, obsahujícími charakteristická čísla identifikovaných struktur P1D, P2D, P2, P3.

Po průchodu jednou iterací programu je vyplněn jeden řádek ve všech těchto tabulkách, tzn. jsou získána charakteristická čísla pro všechny identifikované formy pro všechny vstupní signály napříč všemi simulacemi pro jeden testovací systém. Celkový počet iterací je pak roven počtu testovacích systémů.

Tento postup byl navržen tak, aby docházelo k minimálnímu počtu simulování vstupně-výstupních dat, protože jak proces simulování, tak proces identifikace, který bude dále

popsán, jsou časově náročné operace. Doba potřebná k výpočtu dat pro zaplnění celého úložiště při tomto postupu je zhruba jedna a půl hodiny.

V prvním kroku iterace je odsimulováno schéma, zobrazené na *Obrázku č. 13* a vytvořena pole vstupů a výstupů. Dále jsou pomocí funkce `pridejSum()` vygenerována pole zašuměných výstupů. Pro všechny vstupně-výstupní dvojice jsou dále identifikovány systémy, jejichž charakteristická čísla jsou spočítána pomocí funkce `charCisla()` a uložena na odpovídající místo do úložiště.



Obrázek č. 25 Schéma iterativního procesu

## 6.8 Vyhodnocení

Nyní budou shrnuty základní poznatky, které vyplynuly z našeho testování. Veškeré uvedené výsledky, které zde budou uvedeny a diskutovány, jsou platné pro nastavení signálů, solveru a koeficientů pro výpočet vážené odchylky v takové podobě, jak bylo popsáno výše.

Vzhledem k velkému množství pořízených dat proběhne vyhodnocení na základě více tabulek, kde každá vnáší jiný pohled na získané výsledky. Zvlášť budou diskutovány výsledky pro nezašuměná data, dále bude věnován zvláštní pohled na identifikace v rámci hraničních systémů P1 a P2 a v neposlední řadě bude diskutován vliv hodnoty sigma na kvalitu identifikace. Systémy pomyslně rozdělíme na dvě, pokud možno, stejně velké skupiny podle parametru sigma. V tomto případě, kdy sigma nabývá třinácti hodnot, bude první skupinu tvořit 14 systémů (2 hraniční pro každé sigma) a druhou skupinu zbylých 12, dále značeny jako “systémy 1. poloviny” a “systémy 2. poloviny”.

*Tabulky č. 12-43* jsou atomické tabulky tvořící datové úložiště. Kromě charakteristických čísel identifikovaných systémů jsou zde uloženy vypočtené odchylky pro systémy 1. a 2. poloviny, pro hraniční systémy P1 a P2 a celková odchylka pro celou sadu testovacích systémů. Pro všechny zmíněné podmnožiny systémů je spočtena také vážená odchylka, která bude hlavním hodnotícím kritériem kvality identifikace.

Porovnáme-li mezi sebou nejprve identifikované struktury, je zřejmé, že nejnižších odchylek dosahují struktury P1D a P2D, a to i v případě přítomnosti nižších hodnot šumu. V případě 20% zašumění je struktura P1D bezkonkurenčně nejlepší, a lze ji tak prohlásit za nejlépe aproximující robustní model napříč sadou testovacích systémů. Struktura P2 nevykazuje vyloženě vysoké odchylky, avšak každá úroveň šumu navíc znamená rapidní nárůst v odchylce pro tuto strukturu. Struktura P3 opět potvrdila tezi, že s vyšším počtem parametrů určených k identifikaci může snáze dojít k větším nepřesnostem, což potvrzují suverénně nejvyšší hodnoty odchylek (*Tabulky č. 3-6*).

Nyní se zaměříme na porovnání v rámci vstupních signálů. Budeme-li uvažovat pouze nezašuměné signály (*Tabulka č. 3*), lze za vhodné signály prohlásit Step, Wavemix a signály založené na pulzech. Sinusové signály, zejména pak sinus s frekvencí 2rad/s a 20rad/s, vykazují vysoké odchylky téměř pro všechny identifikované struktury. Za povšimnutí ovšem stojí pravý dolní roh tabulky, kde spojení „nejhorší“ identifikované struktury a „nejhorších“ budících signálů neposkytuje až tak velké odchylky, spíše naopak. Jako vůbec nejlepší se jeví signály Pulse s šířkou pulzu 1 i 10 a signál Step. Největší robustnost vůči šumu vykazuje právě signál Pulse 10, který se strukturou P2D pro nezašuměná data identifikuje systémy s vůbec nejmenší celkovou odchylkou 7.4415e-03.

Všechny zmíněné informace pak zastřešuje *Tabulka č. 7*, ve které je možné dohledat vážené odchylky napříč strukturami, signály i mírou zašumění. Ve stejné formě pak jsou i *Tabulky č. 8-11*, které nesou informaci o odchylkách charakteristických čísel pro výše zmíněné podmnožiny testovacích systémů. Při pohledu do těchto tabulek je zřejmé, že vážené odchylky se zvětšují pro nižší hodnotu parametru sigma a rovněž pro hraniční systémy P2 je hodnota odchylek vyšší, což se jeví jako rozumný výsledek, vezmeme-li v úvahu, že se jedná o zpožděné systémy vyššího řádu, kdežto pro vyšší hodnoty sigma a hraniční systémy P1 se jedná téměř o systémy prvního řádu bez dopravního zpoždění.



## 7 Závěr

V úvodu této práce je vysvětlena problematika identifikace systémů a jsou zde uvedeny nejběžnější identifikované struktury a popsány jejich parametry. Pomocí dvou řešených příkladů byla představena možnost identifikace systémů pomocí identifikačního toolboxu v prostředí MATLAB a analytický výpočet charakteristických čísel systému ve tvaru přenosové funkce za použití momentové metody. V druhé polovině této práce byl navržen experiment, který na základě charakteristických čísel systému poskytuje komplexní informace o kvalitě identifikace tohoto systému na základě omezených vstupně-výstupních dat.

Výsledkem tohoto testování je objemné množství dat, které je platné pro zvolené nastavení solveru Simulinku a nastavení budících signálů (viz kapitola 6.1). Dosažené výsledky jsou diskutovány na základě více nezávislých pohledů (viz kapitola 6.8) a zobrazeny v přehledových tabulkách, které jsou k nahlédnutí v přílohách tohoto dokumentu.

Na základě vážených odchylek charakteristických čísel identifikovaných systémů se podařilo rozdělit budící signály a identifikované formy na vhodnější a méně vhodné. Vhodným rozšířením tohoto experimentu by mohlo být testování pro více budících signálů nebo pokus o ideální nastavení koeficientů rovnice pro výpočet vážené odchylky.

## Seznam obrázků

OBRÁZEK Č. 1 ITERAČNÍ POSTUP IDENTIFIKACE .....	5
OBRÁZEK Č. 2 PŘECHODOVÁ CHARAKTERISTIKA SYSTÉMU PRVNÍHO ŘÁDU.....	9
OBRÁZEK Č. 3 VOLBA POMOCNÉHO BODU.....	9
OBRÁZEK Č. 4 PŘECHODOVÁ CHARAKTERISTIKA SYSTÉMU PRVNÍHO ŘÁDU S DOPRAVNÍM ZPOŽDĚNÍM.....	10
OBRÁZEK Č. 5 APROXIMACE PŘECHODOVÉ CHARAKTERISTIKY SYSTÉMU VYŠŠÍHO ŘÁDU CHARAKTERISTIKOU PRVNÍHO ŘÁDU S DOPRAVNÍM ZPOŽDĚNÍM .....	11
OBRÁZEK Č. 6 GENERÁTOR VSTUPNĚ-VÝSTUPNÍCH DAT.....	16
OBRÁZEK Č. 7 VÝBĚR CHARAKTERU IMPORTOVANÝCH DAT.....	16
OBRÁZEK Č. 8 NASTAVENÍ IMPORTOVANÝCH DAT .....	17
OBRÁZEK Č. 9 ČASOVÝ PRŮBĚH DAT.....	17
OBRÁZEK Č. 10 NASTAVENÍ IDENTIFIKOVANÉHO MODELU .....	18
OBRÁZEK Č. 11 VALIDACE MODELŮ .....	19
OBRÁZEK Č. 12 NASTAVENÍ SOLVERU.....	23
OBRÁZEK Č. 13 MODEL ZÍSKÁVÁNÍ VSTUPNĚ-VÝSTUPNÍCH DAT.....	24
OBRÁZEK Č. 14 VSTUPNÍ SIGNÁLY .....	25
OBRÁZEK Č. 15 POROVNÁNÍ HRANIČNÍCH SYSTÉMŮ VE FREKVENČNÍ OBLASTI .....	26
OBRÁZEK Č. 16 POROVNÁNÍ HRANIČNÍCH SYSTÉMŮ V ČASOVÉ OBLASTI.....	27
OBRÁZEK Č. 17 POROVNÁNÍ HRANIČNÍCH SYSTÉMŮ PRO RŮZNOU HODNOTU SIGMA.....	27
OBRÁZEK Č. 18 SCHÉMA DATOVÉHO ÚLOŽIŠTĚ.....	28
OBRÁZEK Č. 19 NEZAŠUMĚNÉ VÝSTUPY SYSTÉMŮ .....	31
OBRÁZEK Č. 20 VÝSTUPY S 10% ŠUMEM.....	31
OBRÁZEK Č. 21 NASTAVENÍ PARAMETRŮ STRUKTURY P1D .....	33
OBRÁZEK Č. 22 NASTAVENÍ PARAMETRŮ STRUKTURY P2D .....	33
OBRÁZEK Č. 23 NASTAVENÍ PARAMETRŮ STRUKTURY P2 .....	34
OBRÁZEK Č. 24 NASTAVENÍ PARAMETRŮ STRUKTURY P3 .....	34
OBRÁZEK Č. 25 SCHÉMA ITERATIVNÍHO PROCESU .....	35

## Seznam tabulek

TABULKA Č. 1 POROVNÁNÍ CHAR. ČÍSEL (T=0.01s).....	21
TABULKA Č. 2 POROVNÁNÍ CHAR. ČÍSEL (T=0.001s).....	22
TABULKA Č. 3 VÁŽENÉ ODCHYLKY (BEZ ŠUMU) .....	41
TABULKA Č. 4 VÁŽENÉ ODCHYLKY (5% ŠUM) .....	41
TABULKA Č. 5 VÁŽENÉ ODCHYLKY (10% ŠUM) .....	41

TABULKA Č. 6 VÁŽENÉ ODCHYLKY (20% ŠUM) .....	42
TABULKA Č. 7 VÁŽENÉ ODCHYLKY (VŠE) .....	42
TABULKA Č. 8 VÁŽENÉ ODCHYLKY (1. POL.) .....	43
TABULKA Č. 9 VÁŽENÉ ODCHYLKY (2. POL.) .....	43
TABULKA Č. 10 VÁŽENÉ ODCHYLKY (HRANIČNÍ SYSTÉMY P1) .....	44
TABULKA Č. 11 VÁŽENÉ ODCHYLKY (HRANIČNÍ SYSTÉMY P2) .....	44
TABULKA Č. 12 CHARAKTERISTICKÁ ČÍSLA PRO SIGNÁL STEP BEZ ŠUMU .....	44
TABULKA Č. 13 CHARAKTERISTICKÁ ČÍSLA PRO SIGNÁL PULSE1 BEZ ŠUMU .....	45
TABULKA Č. 14 CHARAKTERISTICKÁ ČÍSLA PRO SIGNÁL DOUBLE PULSE BEZ ŠUMU .....	46
TABULKA Č. 15 CHARAKTERISTICKÁ ČÍSLA PRO SIGNÁL PULSE10 BEZ ŠUMU .....	47
TABULKA Č. 16 CHARAKTERISTICKÁ ČÍSLA PRO SIGNÁL WAVEMIX BEZ ŠUMU .....	48
TABULKA Č. 17 CHARAKTERISTICKÁ ČÍSLA PRO SIGNÁL SINUS02 BEZ ŠUMU .....	49
TABULKA Č. 18 CHARAKTERISTICKÁ ČÍSLA PRO SIGNÁL SINUS2 BEZ ŠUMU .....	49
TABULKA Č. 19 CHARAKTERISTICKÁ ČÍSLA PRO SIGNÁL SINUS20 BEZ ŠUMU .....	50
TABULKA Č. 20 CHARAKTERISTICKÁ ČÍSLA PRO SIGNÁL STEP S 5% ŠUMEM .....	51
TABULKA Č. 21 CHARAKTERISTICKÁ ČÍSLA PRO SIGNÁL PULSE1 S 5% ŠUMEM .....	52
TABULKA Č. 22 CHARAKTERISTICKÁ ČÍSLA PRO SIGNÁL DOUBLE PULSE S 5% ŠUMEM .....	53
TABULKA Č. 23 CHARAKTERISTICKÁ ČÍSLA PRO SIGNÁL PULSE10 S 5% ŠUMEM .....	54
TABULKA Č. 24 CHARAKTERISTICKÁ ČÍSLA PRO SIGNÁL WAVEMIX S 5% ŠUMEM .....	54
TABULKA Č. 25 CHARAKTERISTICKÁ ČÍSLA PRO SIGNÁL SINUS02 S 5% ŠUMEM .....	55
TABULKA Č. 26 CHARAKTERISTICKÁ ČÍSLA PRO SIGNÁL SINUS2 S 5% ŠUMEM .....	56
TABULKA Č. 27 CHARAKTERISTICKÁ ČÍSLA PRO SIGNÁL SINUS20 S 5% ŠUMEM .....	57
TABULKA Č. 28 CHARAKTERISTICKÁ ČÍSLA PRO SIGNÁL STEP S 10% ŠUMEM .....	58
TABULKA Č. 29 CHARAKTERISTICKÁ ČÍSLA PRO SIGNÁL PULSE1 S 10% ŠUMEM .....	59
TABULKA Č. 30 CHARAKTERISTICKÁ ČÍSLA PRO SIGNÁL DOUBLE PULSE S 10% ŠUMEM .....	60
TABULKA Č. 31 CHARAKTERISTICKÁ ČÍSLA PRO SIGNÁL PULSE10 S 10% ŠUMEM .....	60
TABULKA Č. 32 CHARAKTERISTICKÁ ČÍSLA PRO SIGNÁL WAVEMIX S 10% ŠUMEM .....	61
TABULKA Č. 33 CHARAKTERISTICKÁ ČÍSLA PRO SIGNÁL SINUS02 S 10% ŠUMEM .....	62
TABULKA Č. 34 CHARAKTERISTICKÁ ČÍSLA PRO SIGNÁL SINUS2 S 10% ŠUMEM .....	63
TABULKA Č. 35 CHARAKTERISTICKÁ ČÍSLA PRO SIGNÁL SINUS20 S 10% ŠUMEM .....	64
TABULKA Č. 36 CHARAKTERISTICKÁ ČÍSLA PRO SIGNÁL STEP S 20% ŠUMEM .....	65
TABULKA Č. 37 CHARAKTERISTICKÁ ČÍSLA PRO SIGNÁL PULSE1 S 20% ŠUMEM .....	65
TABULKA Č. 38 CHARAKTERISTICKÁ ČÍSLA PRO SIGNÁL DOUBLE PULSE S 20% ŠUMEM .....	66
TABULKA Č. 39 CHARAKTERISTICKÁ ČÍSLA PRO SIGNÁL PULSE10 S 20% ŠUMEM .....	67
TABULKA Č. 40 CHARAKTERISTICKÁ ČÍSLA PRO SIGNÁL WAVEMIX S 20% ŠUMEM .....	68
TABULKA Č. 41 CHARAKTERISTICKÁ ČÍSLA PRO SIGNÁL SINUS02 S 20% ŠUMEM .....	69
TABULKA Č. 42 CHARAKTERISTICKÁ ČÍSLA PRO SIGNÁL SINUS2 S 20% ŠUMEM .....	70
TABULKA Č. 43 CHARAKTERISTICKÁ ČÍSLA PRO SIGNÁL SINUS20 S 20% ŠUMEM .....	71

## Seznam literatury

- [1] Ivo Punčochář. Učební text k předmětu Základy identifikace systémů, detekce chyb. 2016
- [2] MATLAB – oficiální stránky: <https://www.mathworks.com/products/matlab.html>
- [3] Ling Xu, Feng Ding, Yanjun Liu, Junhong Li and Jing Chen. Parameter identification method for process control systems based on the Newton iterativ. May 28-31, 2017
- [4] Návod pro používání grafických metod identifikace systémů – dostupný na: [http://195.178.94.43/CAAC\\_PHP/CAAC/cesky/identifikace/apr\\_1r/apr\\_1r.php](http://195.178.94.43/CAAC_PHP/CAAC/cesky/identifikace/apr_1r/apr_1r.php) (první řád)
- [5] Návod pro používání grafických metod identifikace systémů – dostupný na: [http://195.178.94.43/CAAC\\_PHP/CAAC/cesky/identifikace/apr\\_svr/apr\\_svr.php](http://195.178.94.43/CAAC_PHP/CAAC/cesky/identifikace/apr_svr/apr_svr.php) (vyšší řád)
- [6] Aproximace přechodových charakteristik metodou profesora Strejce. 10. 2000: Metoda profesora Strejce.pdf
- [7] Schlegel Miloš, Mertl Jiří. Process Identification For Automatic Tuning Of Industrial Controllers. June 7 – 10, 2010
- [8] Tao Liu, Qing-Guo Wang, Hsiao-Ping Huang. A tutorial review on process identification from step or relay. 2013
- [9] Karel Horák. Úvod do zpracování signálů. Department of Control and Instrumentation Faculty of Electrical Engineering and Communication Brno University of Technology
- [10] Elektronický prospekt o šumech v rezistorech: pro\_studenty8.pdf
- [11] Definice náhodného šumu:  
<https://www.merriam-webster.com/dictionary/random%20noise>

## Přílohy A – VO podle úrovně šumu

Tabulka č. 3 Vážené odchylky (bez šumu)

Bez šumu	P1D	P2D	P2	P3
Step	5,0179E-02	1,4483E-02	6,3479E-01	9,7287E-01
Pulse 1	1,4796E-01	2,3520E-02	2,9680E+00	1,9638E+00
DoublePulse	6,1956E-01	2,1579E-01	2,3250E+00	1,6662E+22
Pulse 10	3,7835E-02	7,4415E-03	3,8883E-01	1,0185E+01
Wavemix	4,7791E-01	3,9099E-01	2,1236E+01	8,4895E-01
Sin 0.2	2,9612E-02	2,0808E+00	7,7571E-01	1,4263E+23
Sin 2	3,3628E-01	1,2823E+26	4,0261E+26	4,7372E-01
Sin 20	1,1351E+02	2,5590E+19	2,0119E+16	1,5543E+01

Tabulka č. 4 Vážené odchylky (5% šum)

5% šum	P1D	P2D	P2	P3
Step	4,9612E-02	2,4116E+02	2,2050E+21	6,0769E+24
Pulse 1	1,5913E-01	1,7488E-02	2,5787E+00	2,4661E+03
DoublePulse	5,7969E-01	1,9020E+00	6,7320E+00	1,5163E+05
Pulse 10	3,9779E-02	4,5165E+05	4,6844E-01	5,5518E+04
Wavemix	4,8515E-01	1,0048E+00	5,3261E+22	1,2071E+16
Sin 0.2	4,6924E+08	3,5517E+04	1,3037E+00	2,0335E+28
Sin 2	3,2022E-01	4,5351E+06	1,3718E+02	5,5569E+15
Sin 20	4,1287E+15	1,5349E+18	1,6667E+16	4,1695E+16

Tabulka č. 5 Vážené odchylky (10% šum)

10% šum	P1D	P2D	P2	P3
Step	5,5560E-02	8,5907E+02	3,3357E+15	2,2965E+19
Pulse 1	1,6176E-01	1,5947E-01	2,8781E+00	3,5173E+02
DoublePulse	6,4527E-01	1,7834E-01	2,7898E+14	3,5924E+04
Pulse 10	3,9561E-02	1,5151E+00	7,4186E-01	6,2946E+03
Wavemix	4,6902E-01	8,3739E-01	4,5494E+22	2,0720E+16
Sin 0.2	1,4909E+13	8,9657E+03	1,6497E+31	1,5335E+16
Sin 2	3,3213E+00	4,0168E+07	1,2445E+02	1,4385E+22
Sin 20	2,0621E+15	1,1462E+16	2,6684E+16	4,3114E+16

Tabulka č. 6 Vážené odchylky (20% šum)

20% šum	P1D	P2D	P2	P3
Step	6,1779E-02	4,1061E+00	3,3333E+15	3,3333E+15
Pulse 1	1,8690E-01	2,8281E+21	3,7875E+00	1,2625E+33
DoublePulse	2,2131E+00	2,8765E+14	8,2205E+25	4,8880E+28
Pulse 10	5,8844E-02	1,9780E+03	6,5522E+00	6,6381E+03
Wavemix	1,2216E+00	2,3502E-01	1,2965E+01	4,2021E+15
Sin 0.2	1,7432E+00	4,3478E+05	1,4917E+00	1,1683E+17
Sin 2	1,8495E+00	3,3121E+15	1,2603E+01	9,6211E+15
Sin 20	2,4284E+03	8,4860E+15	1,1897E+20	3,9240E+29

## Přílohy B – VO podmnožin systémů

Tabulka č. 7 Vážené odchylky (vše)

Vše	Step	Pulse 1	Double Pulse	Pulse 10	Wavemix	Sin 0.2	Sin 2	Sin 20
P1D	5,0179E-02	1,4796E-01	6,1956E-01	3,7835E-02	4,7791E-01	2,9612E-02	3,3628E-01	1,1351E+02
P1D 5% šum	4,9612E-02	1,5913E-01	5,7969E-01	3,9779E-02	4,8515E-01	4,6924E+08	3,2022E-01	4,1287E+15
P1D 10% šum	5,5560E-02	1,6176E-01	6,4527E-01	3,9561E-02	4,6902E-01	1,4909E+13	3,3213E+00	2,0621E+15
P1D 20% šum	6,1779E-02	1,8690E-01	2,2131E+00	5,8844E-02	1,2216E+00	1,7432E+00	1,8495E+00	2,4284E+03
P2D	1,4483E-02	2,3520E-02	2,1579E-01	7,4415E-03	3,9099E-01	2,0808E+00	1,2823E+26	2,5590E+19
P2D 5% šum	2,4116E+02	1,7488E-02	1,9020E+00	4,5165E+05	1,0048E+00	3,5517E+04	4,5351E+06	1,5349E+18
P2D 10% šum	8,5907E+02	1,5947E-01	1,7834E-01	1,5151E+00	8,3739E-01	8,9657E+03	4,0168E+07	1,1462E+16
P2D 20% šum	4,1061E+00	2,8281E+21	2,8765E+14	1,9780E+03	2,3502E-01	4,3478E+05	3,3121E+15	8,4860E+15
P2	6,3479E-01	2,9680E+00	2,3250E+00	3,8883E-01	2,1236E+01	7,7571E-01	4,0261E+26	2,0119E+16
P2 5% šum	2,2050E+21	2,5787E+00	6,7320E+00	4,6844E-01	5,3261E+22	1,3037E+00	1,3718E+02	1,6667E+16
P2 10% šum	3,3357E+15	2,8781E+00	2,7898E+14	7,4186E-01	4,5494E+22	1,6497E+31	1,2445E+02	2,6684E+16
P2 20% šum	3,3333E+15	3,7875E+00	8,2205E+25	6,5522E+00	1,2965E+01	1,4917E+00	1,2603E+01	1,1897E+20
P3	9,7287E-01	1,9638E+00	1,6662E+22	1,0185E+01	8,4895E-01	1,4263E+23	4,7372E-01	1,5543E+01
P3 5% šum	6,0769E+24	2,4661E+03	1,5163E+05	5,5518E+04	1,2071E+16	2,0335E+28	5,5569E+15	4,1695E+16
P3 10% šum	2,2965E+19	3,5173E+02	3,5924E+04	6,2946E+03	2,0720E+16	1,5335E+16	1,4385E+22	4,3114E+16
P3 20% šum	3,3333E+15	1,2625E+33	4,8880E+28	6,6381E+03	4,2021E+15	1,1683E+17	9,6211E+15	3,9240E+29

**Tabulka č. 8 Vážené odchylky (1. pol.)**

1. pol	Step	Pulse 1	DoublePulse	Pulse 10	Wavemix	Sin 0.2	Sin 2	Sin 20
P1D	3,2637E-02	9,3314E-02	3,6736E-01	2,5437E-02	2,9236E-01	2,9266E-02	2,6941E-01	6,0179E+01
P1D 5% šum	3,0518E-02	9,5061E-02	3,4752E-01	2,7092E-02	2,9379E-01	2,4300E-02	2,4320E-01	4,1287E+15
P1D 10% šum	3,1351E-02	9,1604E-02	3,7064E-01	2,7691E-02	2,8590E-01	1,4909E+13	3,2108E+00	2,0621E+15
P1D 20% šum	3,0771E-02	1,0525E-01	1,9323E+00	2,9872E-02	3,1802E-01	3,9623E-01	1,6975E+00	2,4136E+03
P2D	1,4408E-02	2,3501E-02	2,1579E-01	7,4404E-03	3,9099E-01	2,0449E+00	1,2823E+26	2,5590E+19
P2D 5% šum	1,7442E-02	1,6200E-02	1,9006E+00	4,5165E+05	6,3589E-01	1,0283E-01	4,5351E+06	3,7531E+13
P2D 10% šum	8,5906E+02	4,3399E-02	1,6761E-01	2,3003E-02	4,4816E-02	8,9645E+03	2,9708E+06	7,3458E+15
P2D 20% šum	4,0849E+00	2,8281E+21	2,8765E+14	1,4377E+02	4,2080E-02	1,8885E+03	1,6038E+06	9,5314E+14
P2	6,3110E-01	2,9052E+00	2,2813E+00	3,8659E-01	2,1229E+01	7,7547E-01	4,0261E+26	1,6617E+16
P2 5% šum	9,3457E-01	2,5181E+00	6,6831E+00	4,5033E-01	1,1070E+01	1,2711E+00	1,2720E+02	1,3333E+16
P2 10% šum	9,5962E-01	2,8167E+00	2,7898E+14	6,2821E-01	4,5494E+22	3,8468E+10	1,1184E+02	1,3350E+16
P2 20% šum	3,3333E+15	3,7152E+00	8,2205E+25	3,0638E-01	1,1839E+01	1,2923E+00	7,1901E+00	1,3333E+16
P3	9,6900E-01	1,9465E+00	2,3030E+00	7,8031E-01	8,4427E-01	1,4263E+23	4,6581E-01	1,0836E+01
P3 5% šum	6,0769E+24	3,6811E+02	1,5163E+05	1,3495E+01	5,4047E+15	2,0335E+28	1,8121E+15	2,4967E+16
P3 10% šum	2,2965E+19	2,6453E+02	3,5923E+04	6,2944E+03	1,0720E+16	6,1740E+13	1,4385E+22	1,5059E+16
P3 20% šum	1,4251E+01	1,2625E+33	4,5407E+26	4,7107E+03	4,1613E+15	1,7096E+12	6,5258E+15	7,0014E+15

**Tabulka č. 9 Vážené odchylky (2. pol.)**

2. pol	Step	Pulse 1	DoublePulse	Pulse 10	Wavemix	Sin 0.2	Sin 2	Sin 20
P1D	1,7542E-02	5,4649E-02	2,5220E-01	1,2398E-02	1,8555E-01	3,4607E-04	6,6868E-02	5,3327E+01
P1D 5% šum	1,9094E-02	6,4068E-02	2,3217E-01	1,2688E-02	1,9136E-01	4,6924E+08	7,7023E-02	1,0545E+01
P1D 10% šum	2,4209E-02	7,0154E-02	2,7463E-01	1,1870E-02	1,8312E-01	2,9964E-01	1,1046E-01	1,5224E+01
P1D 20% šum	3,1008E-02	8,1656E-02	2,8084E-01	2,8972E-02	9,0357E-01	1,3470E+00	1,5204E-01	1,4822E+01
P2D	7,4989E-05	1,8741E-05	6,8612E-08	1,0721E-06	3,6297E-07	3,5877E-02	1,4835E+05	1,5916E+14
P2D 5% šum	2,4114E+02	1,2883E-03	1,4563E-03	6,9763E-04	3,6891E-01	3,5516E+04	7,5540E+00	1,5349E+18
P2D 10% šum	8,9597E-03	1,1607E-01	1,0734E-02	1,4921E+00	7,9257E-01	1,2210E+00	3,7198E+07	4,1163E+15
P2D 20% šum	2,1214E-02	1,9608E-02	8,5151E+04	1,8342E+03	1,9294E-01	4,3289E+05	3,3121E+15	7,5329E+15
P2	3,6888E-03	6,2742E-02	4,3682E-02	2,2402E-03	7,8069E-03	2,3931E-04	3,5755E-02	3,5028E+15
P2 5% šum	2,2050E+21	6,0584E-02	4,8941E-02	1,8116E-02	5,3261E+22	3,2600E-02	9,9787E+00	3,3333E+15
P2 10% šum	3,3357E+15	6,1376E-02	6,4579E-02	1,1364E-01	8,9240E-03	1,6497E+31	1,2610E+01	1,3333E+16
P2 20% šum	1,8479E-02	7,2244E-02	4,1949E-01	6,2458E+00	1,1262E+00	1,9936E-01	5,4133E+00	1,1896E+20
P3	3,8694E-03	1,7290E-02	1,6662E+22	9,4050E+00	4,6855E-03	1,4879E-03	7,9083E-03	4,7063E+00
P3 5% šum	1,6633E+03	2,0980E+03	3,2197E-01	5,5504E+04	6,6667E+15	1,2679E+19	3,7447E+15	1,6728E+16
P3 10% šum	3,1252E+00	8,7199E+01	1,1642E+00	2,3343E-01	1,0000E+16	1,5273E+16	1,8739E+14	2,8054E+16
P3 20% šum	3,3333E+15	7,6046E+01	4,8426E+28	1,9274E+03	4,0793E+13	1,1683E+17	3,0953E+15	3,9240E+29

**Tabulka č. 10 Vážené odchylky (Hraniční systémy P1)**

P1	Step	Pulse 1	DoublePulse	Pulse 10	Wavemix	Sin 0.2	Sin 2	Sin 20
P1D	1,6201E-04	4,6999E-05	2,6439E-13	4,1237E-06	4,9942E-07	5,1977E-03	8,2616E-02	4,6710E+01
P1D 5% šum	9,2820E-04	6,8824E-04	1,0432E-03	3,2540E-04	2,0220E-04	2,3053E-02	7,2411E-02	7,9435E+00
P1D 10% šum	3,1199E-03	3,9817E-03	5,7648E-03	6,8599E-04	7,5920E-04	1,4909E+13	1,5771E+00	7,2212E+00
P1D 20% šum	9,4887E-03	9,2530E-03	1,4986E+00	5,1983E-03	4,1755E-03	9,4099E-01	1,5913E-01	1,1607E+01
P2D	1,6187E-04	4,6631E-05	1,2022E-02	4,0055E-06	3,6755E-06	1,7293E-04	1,2823E+26	6,8258E+15
P2D 5% šum	2,4114E+02	8,3992E-04	1,8046E+00	4,5165E+05	1,6536E-01	3,5516E+04	1,6997E+06	1,5349E+18
P2D 10% šum	4,2023E-03	7,8508E-02	6,1361E-03	1,4887E+00	5,9537E-01	2,3133E+02	6,4553E+05	3,3684E+15
P2D 20% šum	1,5184E-02	1,3947E-02	2,8765E+14	2,7914E-03	7,6106E-02	1,8893E+03	3,3121E+15	3,3333E+15
P2	3,4407E-01	1,6972E+00	1,1521E+00	1,4966E-01	1,7474E+01	3,6535E-01	4,0261E+26	3,3335E+15
P2 5% šum	2,2050E+21	1,6346E+00	5,5016E+00	1,7055E-01	6,7348E+00	7,8884E-01	1,3990E+01	3,3333E+15
P2 10% šum	3,3357E+15	1,6592E+00	2,7898E+14	2,5938E-01	4,5494E+22	1,6497E+31	1,1212E+02	1,3350E+16
P2 20% šum	3,3333E+15	1,6111E+00	8,2205E+25	1,6481E-01	4,6951E+00	6,3784E-01	5,8913E+00	1,4535E+01
P3	3,9251E-01	1,1277E+00	1,6662E+22	9,8220E+00	3,3210E-01	1,4263E+23	1,8944E-01	1,1884E+01
P3 5% šum	3,6550E+02	2,0077E+03	1,5155E+05	5,5063E+04	5,4047E+15	2,0335E+28	3,6084E+15	3,0128E+16
P3 10% šum	2,2965E+19	3,4026E+02	4,7925E+00	5,9583E+03	4,7953E+15	1,4971E+16	3,9812E+03	2,9638E+16
P3 20% šum	3,9156E-01	1,2625E+33	1,9136E+08	4,7100E+03	8,6873E+14	1,7096E+12	2,6055E+15	1,2941E+09

**Tabulka č. 11 Vážené odchylky (Hraniční systémy P2)**

P2	Step	Pulse 1	DoublePulse	Pulse 10	Wavemix	Sin 0.2	Sin 2	Sin 20
P1D	5,0017E-02	1,4792E-01	6,1956E-01	3,7831E-02	4,7790E-01	2,4415E-02	2,5366E-01	6,6796E+01
P1D 5% šum	4,8684E-02	1,5844E-01	5,7865E-01	3,9454E-02	4,8495E-01	4,6924E+08	2,4781E-01	4,1287E+15
P1D 10% šum	5,2440E-02	1,5778E-01	6,3951E-01	3,8875E-02	4,6826E-01	3,4476E-01	1,7441E+00	2,0621E+15
P1D 20% šum	5,2290E-02	1,7765E-01	7,1450E-01	5,3645E-02	1,2174E+00	8,0221E-01	1,6904E+00	2,4168E+03
P2D	1,4321E-02	2,3473E-02	2,0376E-01	7,4375E-03	3,9099E-01	2,0806E+00	2,7817E+06	2,5584E+19
P2D 5% šum	1,8376E-02	1,6648E-02	9,7440E-02	2,4545E-02	8,3944E-01	3,7600E-01	2,8354E+06	7,5445E+12
P2D 10% šum	8,5906E+02	8,0958E-02	1,7221E-01	2,6389E-02	2,4202E-01	8,7344E+03	3,9523E+07	8,0936E+15
P2D 20% šum	4,0909E+00	2,8281E+21	1,2227E+00	1,9780E+03	1,5892E-01	4,3289E+05	1,4675E+06	5,1527E+15
P2	2,9072E-01	1,2708E+00	1,1729E+00	2,3917E-01	3,7621E+00	4,1036E-01	1,2059E+02	1,6786E+16
P2 5% šum	4,7604E-01	9,4402E-01	1,2305E+00	2,9789E-01	5,3261E+22	5,1489E-01	1,2319E+02	1,3333E+16
P2 10% šum	3,2408E-01	1,2188E+00	1,0997E+01	4,8247E-01	2,2861E+00	3,8468E+10	1,2332E+01	1,3333E+16
P2 20% šum	2,1007E-01	2,1763E+00	1,3324E+16	6,3874E+00	8,2697E+00	8,5387E-01	6,7121E+00	1,1897E+20
P3	5,8035E-01	8,3606E-01	8,6640E-01	3,6339E-01	5,1685E-01	2,2022E-01	2,8428E-01	3,6589E+00
P3 5% šum	6,0769E+24	4,5841E+02	7,3848E+01	4,5493E+02	6,6667E+15	1,2680E+19	1,9485E+15	1,1567E+16
P3 10% šum	8,3726E+02	1,1471E+01	3,5919E+04	3,3636E+02	1,5924E+16	3,6421E+14	1,4385E+22	1,3476E+16
P3 20% šum	3,3333E+15	3,8096E+04	4,8880E+28	1,9281E+03	3,3333E+15	1,1683E+17	7,0156E+15	3,9240E+29

## Přílohy C – tabulky charakteristických čísel

**Tabulka č. 12 Charakteristická čísla pro signál Step bez šumu**

sigma	F	P1D	P2D	P2	P3
0,35	'[1.0000e+00, 1.0000e+00, 1.2250e-01]'	'[1.0000e+00, 9.9501e-01, 1.2250e-01]'	'[1.0000e+00, 9.9502e-01, 1.2250e-01]'	'[1.0002e+00, 9.9023e-01, 4.9028e-01]'	'[1.0017e+00, 1.4014e+00, 7.2490e-01]'
0,35	'[1.0000e+00, 1.0000e+00, 1.2250e-01]'	'[1.0037e+00, 1.0425e+00, 1.7959e-01]'	'[1.0007e+00, 1.0341e+00, 1.5307e-01]'	'[1.0019e+00, 1.0451e+00, 5.4611e-01]'	'[1.0009e+00, 1.4770e+00, 8.1176e-01]'
0,40	'[1.0000e+00, 1.0000e+00, 1.6000e-01]'	'[1.0000e+00, 9.9501e-01, 1.6000e-01]'	'[1.0000e+00, 9.9502e-01, 1.6000e-01]'	'[9.7446e-01, 1.3092e+00, 8.6142e-01]'	'[1.0108e+00, 1.0145e+00, 5.1458e-01]'
0,40	'[1.0000e+00, 1.0000e+00, 1.6000e-01]'	'[1.0040e+00, 1.0455e+00, 2.3028e-01]'	'[9.9744e-01, 1.0516e+00, 2.4137e-01]'	'[9.8221e-01, 1.2175e+00, 7.4113e-01]'	'[1.0006e+00, 1.3739e+00, 6.9705e-01]'
0,45	'[1.0000e+00, 1.0000e+00, 2.0250e-01]'	'[1.0000e+00, 9.9501e-01, 2.0250e-01]'	'[1.0000e+00, 9.9502e-01, 2.0250e-01]'	'[9.9868e-01, 1.0615e+00, 5.6341e-01]'	'[1.0011e+00, 1.2270e+00, 5.6310e-01]'
0,45	'[1.0000e+00, 1.0000e+00, 2.0250e-01]'	'[1.0044e+00, 1.0479e+00, 2.9137e-01]'	'[9.9747e-01, 1.0516e+00, 3.0152e-01]'	'[1.0103e+00, 1.0364e+00, 5.3717e-01]'	'[1.0003e+00, 1.2826e+00, 6.0395e-01]'



0,50	'[1.0000e+00, 1.0000e+00, 2.5000e-01]'	'[1.0000e+00, 9.9501e-01, 2.5000e-01]'	'[1.0000e+00, 9.9500e-01, 2.5000e-01]'	'[1.0071e+00, 9.9939e-01, 4.9988e-01]'	'[1.0009e+00, 1.1654e+00, 5.2434e-01]'
0,50	'[1.0000e+00, 1.0000e+00, 2.5000e-01]'	'[1.0046e+00, 1.0498e+00, 3.5371e-01]'	'[1.0004e+00, 1.0387e+00, 2.9778e-01]'	'[1.0017e+00, 1.0219e+00, 5.2217e-01]'	'[1.0002e+00, 1.1972e+00, 5.2383e-01]'
0,55	'[1.0000e+00, 1.0000e+00, 3.0250e-01]'	'[1.0000e+00, 9.9501e-01, 3.0250e-01]'	'[1.0000e+00, 9.9502e-01, 3.0250e-01]'	'[1.0052e+00, 9.8083e-01, 4.8217e-01]'	'[1.0008e+00, 1.1166e+00, 5.0673e-01]'
0,55	'[1.0000e+00, 1.0000e+00, 3.0250e-01]'	'[1.0047e+00, 1.0481e+00, 4.2129e-01]'	'[1.0006e+00, 1.0252e+00, 3.3849e-01]'	'[1.0049e+00, 1.0285e+00, 5.3246e-01]'	'[1.0000e+00, 1.0483e+00, 3.9565e-01]'
0,60	'[1.0000e+00, 1.0000e+00, 3.6000e-01]'	'[1.0000e+00, 9.9501e-01, 3.6000e-01]'	'[1.0000e+00, 9.9500e-01, 3.6000e-01]'	'[1.0027e+00, 9.6922e-01, 4.6969e-01]'	'[1.0006e+00, 1.0829e+00, 5.1133e-01]'
0,60	'[1.0000e+00, 1.0000e+00, 3.6000e-01]'	'[1.0047e+00, 1.0470e+00, 4.8749e-01]'	'[9.9933e-01, 1.0481e+00, 4.2876e-01]'	'[1.0012e+00, 1.0223e+00, 5.2276e-01]'	'[1.0000e+00, 1.0000e+00, 3.6000e-01]'
0,65	'[1.0000e+00, 1.0000e+00, 4.2250e-01]'	'[1.0000e+00, 9.9501e-01, 4.2250e-01]'	'[1.0000e+00, 9.9500e-01, 4.2250e-01]'	'[1.0007e+00, 9.6400e-01, 4.6464e-01]'	'[1.0005e+00, 1.0543e+00, 5.2991e-01]'
0,65	'[1.0000e+00, 1.0000e+00, 4.2250e-01]'	'[1.0045e+00, 1.0433e+00, 5.5468e-01]'	'[1.0002e+00, 1.0060e+00, 4.3060e-01]'	'[1.0011e+00, 1.0163e+00, 5.1652e-01]'	'[1.0000e+00, 1.0000e+00, 4.2250e-01]'
0,70	'[1.0000e+00, 1.0000e+00, 4.9000e-01]'	'[1.0000e+00, 9.9501e-01, 4.9000e-01]'	'[1.0000e+00, 9.9502e-01, 4.9000e-01]'	'[9.9833e-01, 9.5640e-01, 4.5735e-01]'	'[1.0003e+00, 1.0351e+00, 5.6454e-01]'
0,70	'[1.0000e+00, 1.0000e+00, 4.9000e-01]'	'[1.0047e+00, 1.0446e+00, 6.3913e-01]'	'[1.0000e+00, 1.0004e+00, 4.9053e-01]'	'[1.0001e+00, 1.0052e+00, 5.0545e-01]'	'[1.0000e+00, 1.0000e+00, 4.9000e-01]'
0,75	'[1.0000e+00, 1.0000e+00, 5.6250e-01]'	'[1.0000e+00, 9.9501e-01, 5.6250e-01]'	'[1.0000e+00, 9.9501e-01, 5.6250e-01]'	'[9.9818e-01, 9.6325e-01, 5.1961e-01]'	'[1.0002e+00, 1.0189e+00, 6.1077e-01]'
0,75	'[1.0000e+00, 1.0000e+00, 5.6250e-01]'	'[1.0037e+00, 1.0350e+00, 6.8306e-01]'	'[1.0000e+00, 1.0000e+00, 5.6250e-01]'	'[1.0000e+00, 1.0000e+00, 5.6250e-01]'	'[1.0000e+00, 1.0002e+00, 5.6276e-01]'
0,80	'[1.0000e+00, 1.0000e+00, 6.4000e-01]'	'[1.0000e+00, 9.9501e-01, 6.4000e-01]'	'[1.0000e+00, 9.9500e-01, 6.4000e-01]'	'[9.9877e-01, 9.7382e-01, 6.1043e-01]'	'[1.0001e+00, 1.0097e+00, 6.6954e-01]'
0,80	'[1.0000e+00, 1.0000e+00, 6.4000e-01]'	'[1.0025e+00, 1.0238e+00, 7.2067e-01]'	'[1.0000e+00, 1.0000e+00, 6.4000e-01]'	'[1.0000e+00, 1.0000e+00, 6.4000e-01]'	'[1.0000e+00, 1.0001e+00, 6.4022e-01]'
0,85	'[1.0000e+00, 1.0000e+00, 7.2250e-01]'	'[1.0000e+00, 9.9500e-01, 7.2250e-01]'	'[1.0000e+00, 9.9500e-01, 7.2250e-01]'	'[9.9927e-01, 9.8262e-01, 7.0467e-01]'	'[1.0001e+00, 1.0019e+00, 7.3805e-01]'
0,85	'[1.0000e+00, 1.0000e+00, 7.2250e-01]'	'[1.0015e+00, 1.0142e+00, 7.7133e-01]'	'[1.0000e+00, 1.0000e+00, 7.2250e-01]'	'[1.0000e+00, 1.0000e+00, 7.2250e-01]'	'[1.0000e+00, 1.0001e+00, 7.2273e-01]'
0,90	'[1.0000e+00, 1.0000e+00, 8.1000e-01]'	'[1.0000e+00, 9.9500e-01, 8.1000e-01]'	'[1.0000e+00, 9.9500e-01, 8.1000e-01]'	'[9.9966e-01, 9.8935e-01, 8.0162e-01]'	'[1.0000e+00, 9.9844e-01, 8.1653e-01]'
0,90	'[1.0000e+00, 1.0000e+00, 8.1000e-01]'	'[1.0007e+00, 1.0069e+00, 8.3252e-01]'	'[1.0000e+00, 1.0000e+00, 8.1000e-01]'	'[1.0000e+00, 1.0000e+00, 8.1000e-01]'	'[1.0000e+00, 1.0001e+00, 8.1022e-01]'
0,95	'[1.0000e+00, 1.0000e+00, 9.0250e-01]'	'[1.0000e+00, 9.9500e-01, 9.0250e-01]'	'[1.0000e+00, 9.9500e-01, 9.0250e-01]'	'[9.9992e-01, 9.9365e-01, 9.0044e-01]'	'[1.0000e+00, 9.959e-01, 9.0389e-01]'
0,95	'[1.0000e+00, 1.0000e+00, 9.0250e-01]'	'[1.0002e+00, 1.0018e+00, 9.0908e-01]'	'[1.0000e+00, 1.0000e+00, 9.0250e-01]'	'[1.0000e+00, 1.0000e+00, 9.0250e-01]'	'[1.0000e+00, 1.0001e+00, 9.0261e-01]'
odch 1 pro sigma <=0.65	'[0.0000e+00, 0.0000e+00, 0.0000e+00]'	'[1.3398e-04, 1.5214e-02, 7.4688e-02]'	'[1.4412e-05, 1.1632e-02, 2.5732e-02]'	'[1.1963e-03, 1.5483e-01, 1.6575e+00]'	'[1.2380e-04, 7.5217e-01, 1.7784e+00]'
odch 2 pro sigma >0.65	'[0.0000e+00, 0.0000e+00, 0.0000e+00]'	'[4.5096e-05, 4.1829e-03, 4.6217e-02]'	'[6.1119e-12, 1.4979e-04, 2.7640e-07]'	'[8.3190e-06, 4.4205e-03, 4.4106e-03]'	'[1.9286e-07, 1.7085e-03, 9.0449e-03]'
Celková odchyška	'[0.0000e+00, 0.0000e+00, 0.0000e+00]'	'[1.7908e-04, 1.9397e-02, 1.2091e-01]'	'[1.4412e-05, 1.1782e-02, 2.5732e-02]'	'[1.2046e-03, 1.5925e-01, 1.6619e+00]'	'[1.2399e-04, 7.5388e-01, 1.7874e+00]'
Vážená odchyška 1.	0,0000E+00	3,2637E-02	1,4408E-02	6,3110E-01	9,6900E-01
Vážená odchyška 2.	0,0000E+00	1,7542E-02	7,4989E-05	3,6888E-03	3,8694E-03
Vážená odchyška P1	0,0000E+00	1,6201E-04	1,6187E-04	3,4407E-01	3,9251E-01
Vážená odchyška P2	0,0000E+00	5,0017E-02	1,4321E-02	2,9072E-01	5,8035E-01
Celková váž. odch.	0,0000E+00	5,0179E-02	1,4483E-02	6,3479E-01	9,7287E-01

**Tabulka č. 13 Charakteristická čísla pro signál Pulse1 bez šumu**

sigma	F	P1D	P2D	P2	P3
0,35	'[1.0000e+00, 1.0000e+00, 1.2250e-01]'	'[9.9799e-01, 1.0006e+00, 1.2193e-01]'	'[9.9799e-01, 1.0011e+00, 1.2194e-01]'	'[1.6840e+00, 9.4335e-01, 4.4496e-01]'	'[1.2537e+00, 1.5090e+00, 8.4622e-01]'
0,35	'[1.0000e+00, 1.0000e+00, 1.2250e-01]'	'[1.0086e+00, 1.0721e+00, 1.9603e-01]'	'[9.9181e-01, 1.0736e+00, 1.7164e-01]'	'[1.6338e+00, 9.9517e-01, 4.9534e-01]'	'[1.6304e+00, 1.1119e+00, 4.9971e-01]'
0,40	'[1.0000e+00, 1.0000e+00, 1.6000e-01]'	'[9.9795e-01, 1.0006e+00, 1.5933e-01]'	'[9.9795e-01, 1.0006e+00, 1.5934e-01]'	'[1.5714e+00, 1.0287e+00, 5.2907e-01]'	'[1.1753e+00, 1.3877e+00, 7.1702e-01]'
0,40	'[1.0000e+00, 1.0000e+00, 1.6000e-01]'	'[1.0058e+00, 1.0856e+00, 2.5783e-01]'	'[9.7909e-01, 1.0641e+00, 1.9302e-01]'	'[1.5333e+00, 1.0061e+00, 5.0616e-01]'	'[1.4509e+00, 1.1161e+00, 4.7889e-01]'
0,45	'[1.0000e+00, 1.0000e+00, 2.0250e-01]'	'[9.9793e-01, 1.0006e+00, 2.0174e-01]'	'[9.9793e-01, 1.0008e+00, 2.0175e-01]'	'[1.4436e+00, 1.0511e+00, 5.5241e-01]'	'[1.5636e+00, 9.4838e-01, 3.9559e-01]'
0,45	'[1.0000e+00, 1.0000e+00, 2.0250e-01]'	'[1.0022e+00, 1.0987e+00, 3.2772e-01]'	'[9.7165e-01, 1.0616e+00, 2.3741e-01]'	'[1.3845e+00, 1.0971e+00, 6.0183e-01]'	'[1.3147e+00, 9.6377e-01, 3.1873e-01]'
0,50	'[1.0000e+00, 1.0000e+00, 2.5000e-01]'	'[9.9793e-01, 1.0005e+00, 2.4916e-01]'	'[9.9793e-01, 1.0005e+00, 2.4916e-01]'	'[1.4605e+00, 9.0478e-01, 4.1263e-01]'	'[1.2900e+00, 8.6245e-01, 2.4805e-01]'
0,50	'[1.0000e+00, 1.0000e+00, 2.5000e-01]'	'[9.9788e-01, 1.1103e+00, 4.0467e-01]'	'[9.6972e-01, 1.0560e+00, 2.8302e-01]'	'[1.1900e+00, 1.2432e+00, 7.7279e-01]'	'[1.1746e+00, 9.6882e-01, 3.1299e-01]'
0,55	'[1.0000e+00, 1.0000e+00, 3.0250e-01]'	'[9.9794e-01, 1.0005e+00, 3.0159e-01]'	'[9.9794e-01, 1.0005e+00, 3.0159e-01]'	'[1.3791e+00, 8.9804e-01, 4.0324e-01]'	'[1.2101e+00, 8.7080e-01, 2.6785e-01]'
0,55	'[1.0000e+00, 1.0000e+00, 3.0250e-01]'	'[9.9728e-01, 1.1134e+00, 4.8351e-01]'	'[9.6500e-01, 1.0475e+00, 3.3032e-01]'	'[1.2684e+00, 9.9785e-01, 4.9797e-01]'	'[1.0649e+00, 9.8212e-01, 3.2152e-01]'
0,60	'[1.0000e+00, 1.0000e+00, 3.6000e-01]'	'[9.9796e-01, 1.0005e+00, 3.5902e-01]'	'[9.9797e-01, 1.0005e+00, 3.5902e-01]'	'[1.2855e+00, 9.1961e-01, 4.2316e-01]'	'[1.1681e+00, 8.9276e-01, 3.2813e-01]'
0,60	'[1.0000e+00, 1.0000e+00, 3.6000e-01]'	'[9.9303e-01, 1.1160e+00, 5.5856e-01]'	'[9.6186e-01, 1.0924e+00, 4.4521e-01]'	'[1.1810e+00, 9.9710e-01, 4.9711e-01]'	'[1.0000e+00, 1.0000e+00, 3.6000e-01]'
0,65	'[1.0000e+00, 1.0000e+00, 4.2250e-01]'	'[1.0000e+00, 1.0000e+00, 4.2250e-01]'	'[1.0000e+00, 1.0000e+00, 4.2249e-01]'	'[1.2181e+00, 8.7793e-01, 3.8538e-01]'	'[1.1280e+00, 9.1444e-01, 3.9486e-01]'
0,65	'[1.0000e+00, 1.0000e+00, 4.2250e-01]'	'[9.9126e-01, 1.1106e+00, 6.2951e-01]'	'[9.8886e-01, 1.0182e+00, 4.3474e-01]'	'[1.0936e+00, 1.0177e+00, 5.1790e-01]'	'[1.0000e+00, 1.0000e+00, 4.2250e-01]'
0,70	'[1.0000e+00, 1.0000e+00, 4.9000e-01]'	'[9.9804e-01, 1.0004e+00, 4.8892e-01]'	'[9.9805e-01, 1.0004e+00, 4.8892e-01]'	'[1.1580e+00, 8.9196e-01, 4.3132e-01]'	'[1.0850e+00, 9.3777e-01, 4.6121e-01]'

0,70	'[1.0000e+00, 1.0000e+00, 4.9000e-01]'	'[9.8529e-01, 1.1185e+00, 7.2743e-01]'	'[9.9991e-01, 1.0004e+00, 4.9034e-01]'	'[1.0134e+00, 9.9724e-01, 4.9725e-01]'	'[1.0000e+00, 1.0000e+00, 4.9000e-01]'
0,75	'[1.0000e+00, 1.0000e+00, 5.6250e-01]'	'[9.9810e-01, 1.0004e+00, 5.6138e-01]'	'[9.9812e-01, 1.0004e+00, 5.6139e-01]'	'[1.1185e+00, 9.1923e-01, 5.2116e-01]'	'[1.0626e+00, 9.5200e-01, 5.4209e-01]'
0,75	'[1.0000e+00, 1.0000e+00, 5.6250e-01]'	'[9.8383e-01, 1.0962e+00, 5.7274e-01]'	'[1.0000e+00, 1.0000e+00, 5.6250e-01]'	'[1.0000e+00, 1.0000e+00, 5.6250e-01]'	'[9.9947e+00, 1.0004e+00, 5.6277e-01]'
0,80	'[1.0000e+00, 1.0000e+00, 6.4000e-01]'	'[9.9819e-01, 1.0004e+00, 6.3887e-01]'	'[9.9821e-01, 1.0004e+00, 6.3888e-01]'	'[1.0824e+00, 9.4391e-01, 6.1365e-01]'	'[1.0380e+00, 9.6799e-01, 6.2403e-01]'
0,80	'[1.0000e+00, 1.0000e+00, 6.4000e-01]'	'[9.8204e-01, 1.0679e+00, 7.6476e-01]'	'[1.0000e+00, 1.0000e+00, 6.4000e-01]'	'[1.0000e+00, 1.0000e+00, 6.4000e-01]'	'[9.9945e-01, 1.0004e+00, 6.4028e-01]'
0,85	'[1.0000e+00, 1.0000e+00, 7.2250e-01]'	'[9.9832e-01, 1.0003e+00, 7.2139e-01]'	'[9.9835e-01, 1.0003e+00, 7.2141e-01]'	'[1.0509e+00, 9.6536e-01, 7.0809e-01]'	'[1.0133e+00, 9.8110e-01, 7.0382e-01]'
0,85	'[1.0000e+00, 1.0000e+00, 7.2250e-01]'	'[9.8616e-01, 1.0427e+00, 7.9947e-01]'	'[1.0000e+00, 1.0000e+00, 7.2250e-01]'	'[1.0000e+00, 1.0000e+00, 7.2250e-01]'	'[9.9953e-01, 1.0004e+00, 7.2275e-01]'
0,90	'[1.0000e+00, 1.0000e+00, 8.1000e-01]'	'[9.9852e-01, 1.0003e+00, 8.0897e-01]'	'[9.9859e-01, 1.0003e+00, 8.0902e-01]'	'[1.0252e+00, 9.8275e-01, 8.0390e-01]'	'[1.0010e+00, 9.9117e-01, 7.9497e-01]'
0,90	'[1.0000e+00, 1.0000e+00, 8.1000e-01]'	'[9.8886e-01, 1.0210e+00, 8.4253e-01]'	'[1.0000e+00, 1.0000e+00, 8.1000e-01]'	'[1.0000e+00, 1.0000e+00, 8.1000e-01]'	'[9.9961e-01, 1.0003e+00, 8.1021e-01]'
0,95	'[1.0000e+00, 1.0000e+00, 9.0250e-01]'	'[9.9888e-01, 1.0002e+00, 9.0168e-01]'	'[9.9905e-01, 1.0002e+00, 9.0179e-01]'	'[1.0073e+00, 9.9497e-01, 9.0106e-01]'	'[9.9999e-01, 1.0034e+00, 9.0461e-01]'
0,95	'[1.0000e+00, 1.0000e+00, 9.0250e-01]'	'[9.9500e-01, 1.0060e+00, 9.0967e-01]'	'[1.0000e+00, 1.0000e+00, 9.0250e-01]'	'[1.0000e+00, 1.0000e+00, 9.0250e-01]'	'[9.9977e-01, 1.0002e+00, 9.0263e-01]'
odch 1 pro sigma <=0.65	'[0.0000e+00, 0.0000e+00, 0.0000e+00]'	'[2.7556e-04, 7.2990e-02, 1.6963e-01]'	'[5.0534e-03, 2.7560e-02, 1.4003e-02]'	'[2.4596e+00, 1.1643e-01, 1.1623e+00]'	'[1.3202e+00, 4.9514e-01, 1.1361e+00]'
odch 2 pro sigma >0.65	'[0.0000e+00, 0.0000e+00, 0.0000e+00]'	'[1.1582e-03, 3.0202e-02, 1.1517e-01]'	'[1.6173e-05, 8.7445e-07, 6.3923e-06]'	'[4.9257e-02, 2.2873e-02, 6.1458e-03]'	'[1.2773e-02, 7.6481e-03, 2.0800e-03]'
Celková odchylka	'[0.0000e+00, 0.0000e+00, 0.0000e+00]'	'[1.4337e-03, 1.0319e-01, 2.8480e-01]'	'[5.0696e-03, 2.7561e-02, 1.4009e-02]'	'[2.5088e+00, 1.3930e-01, 1.1685e+00]'	'[1.3330e+00, 5.0279e-01, 1.1382e+00]'
Vážená odchylka 1.	0,0000E+00	9,3314E-02	2,3501E-02	2,9052E+00	1,9465E+00
Vážená odchylka 2.	0,0000E+00	5,4649E-02	1,8741E-05	6,2742E-02	1,7290E-02
Vážená odchylka P1	0,0000E+00	4,6999E-05	4,6631E-05	1,6972E+00	1,1277E+00
Vážená odchylka P2	0,0000E+00	1,4792E-01	2,3473E-02	1,2708E+00	8,3606E-01
Celková váž. odch.	0,0000E+00	1,4796E-01	2,3520E-02	2,9680E+00	1,9638E+00

Tabulka č. 14 Charakteristická čísla pro signál Double Pulse bez šumu

sigma	F	P1D	P2D	P2	P3
0,35	'[1.0000e+00, 1.0000e+00, 1.2250e-01]'	'[1.0000e+00, 1.0000e+00, 1.2250e-01]'	'[1.0000e+00, 1.0000e+00, 1.2250e-01]'	'[1.1969e+00, 1.3967e+00, 9.7545e-01]'	'[1.0761e+00, 1.5312e+00, 8.8067e-01]'
0,35	'[1.0000e+00, 1.0000e+00, 1.2250e-01]'	'[1.0225e+00, 1.1241e+00, 2.4833e-01]'	'[8.1688e-01, 1.1895e+00, 2.5403e-01]'	'[1.2235e+00, 1.3663e+00, 9.3339e-01]'	'[1.0284e+00, 1.6011e+00, 9.5544e-01]'
0,40	'[1.0000e+00, 1.0000e+00, 1.6000e-01]'	'[1.0000e+00, 1.0000e+00, 1.6000e-01]'	'[1.0116e+00, 9.7235e-01, 1.7465e-01]'	'[1.1805e+00, 1.3038e+00, 8.5006e-01]'	'[1.3370e+00, 1.0614e+00, 3.7551e-01]'
0,40	'[1.0000e+00, 1.0000e+00, 1.6000e-01]'	'[1.0275e+00, 1.1512e+00, 3.4209e-01]'	'[7.7253e-01, 1.1885e+00, 3.0659e-01]'	'[1.3503e+00, 1.3349e+00, 8.9126e-01]'	'[1.0165e+00, 1.4699e+00, 8.0371e-01]'
0,45	'[1.0000e+00, 1.0000e+00, 2.0250e-01]'	'[1.0000e+00, 1.0000e+00, 2.0250e-01]'	'[9.3329e-01, 9.5077e-01, 2.1087e-01]'	'[1.1923e+00, 1.1092e+00, 6.1514e-01]'	'[1.0258e+00, 1.6624e+00, 1.5509e+00]'
0,45	'[1.0000e+00, 1.0000e+00, 2.0250e-01]'	'[1.0317e+00, 1.1778e+00, 4.5037e-01]'	'[9.1102e-01, 1.2030e+00, 4.0813e-01]'	'[1.3189e+00, 1.2366e+00, 7.6463e-01]'	'[1.0088e+00, 1.3534e+00, 6.7973e-01]'
0,50	'[1.0000e+00, 1.0000e+00, 2.5000e-01]'	'[1.0000e+00, 1.0000e+00, 2.5000e-01]'	'[1.0532e+00, 9.8452e-01, 3.4154e-01]'	'[1.2960e+00, 1.3037e+00, 8.4981e-01]'	'[1.0305e+00, 1.2527e+00, 6.2741e-01]'
0,50	'[1.0000e+00, 1.0000e+00, 2.5000e-01]'	'[1.0360e+00, 1.2014e+00, 5.7033e-01]'	'[1.0063e+00, 1.1356e+00, 3.9745e-01]'	'[1.2094e+00, 1.1846e+00, 7.0163e-01]'	'[1.0040e+00, 1.2424e+00, 5.7144e-01]'
0,55	'[1.0000e+00, 1.0000e+00, 3.0250e-01]'	'[1.0000e+00, 1.0000e+00, 3.0250e-01]'	'[1.0000e+00, 1.0000e+00, 3.0250e-01]'	'[1.2121e+00, 1.0569e+00, 5.5850e-01]'	'[1.0240e+00, 1.2228e+00, 6.2323e-01]'
0,55	'[1.0000e+00, 1.0000e+00, 3.0250e-01]'	'[1.0412e+00, 1.2087e+00, 6.7496e-01]'	'[1.0080e+00, 1.0924e+00, 4.1048e-01]'	'[1.1280e+00, 1.0494e+00, 5.8038e-01]'	'[1.0428e+00, 1.0178e+00, 3.4551e-01]'
0,60	'[1.0000e+00, 1.0000e+00, 3.6000e-01]'	'[1.0000e+00, 1.0000e+00, 3.6000e-01]'	'[1.0000e+00, 1.0000e+00, 3.6000e-01]'	'[1.2266e+00, 1.0485e+00, 5.5407e-01]'	'[1.0077e+00, 1.0049e+00, 3.6218e-01]'
0,60	'[1.0000e+00, 1.0000e+00, 3.6000e-01]'	'[1.0403e+00, 1.2134e+00, 7.7165e-01]'	'[1.0058e+00, 1.0429e+00, 4.1569e-01]'	'[1.0935e+00, 1.1615e+00, 6.7453e-01]'	'[1.0000e+00, 1.0000e+00, 3.6000e-01]'
0,65	'[1.0000e+00, 1.0000e+00, 4.2250e-01]'	'[1.0000e+00, 1.0000e+00, 4.2250e-01]'	'[1.0000e+00, 1.0000e+00, 4.2250e-01]'	'[1.1495e+00, 1.0018e+00, 5.0178e-01]'	'[1.0088e+00, 1.0423e+00, 4.3003e-01]'
0,65	'[1.0000e+00, 1.0000e+00, 4.2250e-01]'	'[1.0452e+00, 1.2062e+00, 8.5955e-01]'	'[1.0010e+00, 1.0223e+00, 4.5167e-01]'	'[1.0602e+00, 1.0891e+00, 5.9304e-01]'	'[1.0000e+00, 1.0000e+00, 4.2250e-01]'
0,70	'[1.0000e+00, 1.0000e+00, 4.9000e-01]'	'[1.0000e+00, 1.0000e+00, 4.9000e-01]'	'[1.0000e+00, 1.0000e+00, 4.9000e-01]'	'[1.0962e+00, 9.7120e-01, 4.7162e-01]'	'[1.0079e+00, 9.5489e-01, 4.1406e-01]'
0,70	'[1.0000e+00, 1.0000e+00, 4.9000e-01]'	'[1.0494e+00, 1.2208e+00, 1.0033e+00]'	'[1.0000e+00, 1.0003e+00, 4.9032e-01]'	'[1.0064e+00, 1.0147e+00, 5.1478e-01]'	'[1.0000e+00, 1.0000e+00, 4.9000e-01]'
0,75	'[1.0000e+00, 1.0000e+00, 5.6250e-01]'	'[1.0000e+00, 1.0000e+00, 5.6250e-01]'	'[1.0000e+00, 1.0000e+00, 5.6250e-01]'	'[1.0267e+00, 9.0101e-01, 4.0591e-01]'	'[1.0055e+00, 9.3955e-01, 4.7187e-01]'
0,75	'[1.0000e+00, 1.0000e+00, 5.6250e-01]'	'[1.0412e+00, 1.1830e+00, 9.8731e-01]'	'[1.0000e+00, 1.0000e+00, 5.6250e-01]'	'[1.0000e+00, 1.0000e+00, 5.6250e-01]'	'[1.0000e+00, 1.0000e+00, 5.6250e-01]'
0,80	'[1.0000e+00, 1.0000e+00, 6.4000e-01]'	'[1.0000e+00, 1.0000e+00, 6.4000e-01]'	'[1.0000e+00, 1.0000e+00, 6.4000e-01]'	'[1.0065e+00, 9.0687e-01, 4.8165e-01]'	'[9.9979e-01, 9.5903e-01, 5.6115e-01]'
0,80	'[1.0000e+00, 1.0000e+00, 6.4000e-01]'	'[1.0272e+00, 1.1306e+00, 9.3561e-01]'	'[1.0000e+00, 1.0000e+00, 6.4000e-01]'	'[1.0000e+00, 1.0000e+00, 6.4000e-01]'	'[1.0000e+00, 1.0000e+00, 6.4000e-01]'
0,85	'[1.0000e+00, 1.0000e+00, 7.2250e-01]'	'[1.0000e+00, 1.0000e+00, 7.2250e-01]'	'[1.0000e+00, 1.0000e+00, 7.2250e-01]'	'[1.0041e+00, 9.4066e-01, 6.1774e-01]'	'[1.0022e+00, 9.6828e-01, 6.6945e-01]'
0,85	'[1.0000e+00, 1.0000e+00, 7.2250e-01]'	'[1.0195e+00, 1.0855e+00, 9.1598e-01]'	'[1.0000e+00, 1.0000e+00, 7.2250e-01]'	'[1.0000e+00, 1.0000e+00, 7.2250e-01]'	'[1.0000e+00, 1.0000e+00, 7.2250e-01]'

0,90	'[1.0000e+00, 1.0000e+00, 8.1000e-01]'	'[1.0000e+00, 1.0000e+00, 8.1000e-01]'	'[1.0000e+00, 1.0000e+00, 8.1000e-01]'	'[1.0020e+00, 9.6990e-01, 7.5499e-01]'	'[1.2531e+02, 4.7284e+05, 2.2358e+11]'
0,90	'[1.0000e+00, 1.0000e+00, 8.1000e-01]'	'[1.0080e+00, 1.0415e+00, 9.0154e-01]'	'[1.0000e+00, 1.0000e+00, 8.1000e-01]'	'[1.0000e+00, 1.0000e+00, 8.0999e-01]'	'[1.0000e+00, 1.0000e+00, 8.1000e-01]'
0,95	'[1.0000e+00, 1.0000e+00, 9.0250e-01]'	'[1.0000e+00, 1.0000e+00, 9.0250e-01]'	'[1.0000e+00, 1.0000e+00, 9.0250e-01]'	'[1.0005e+00, 9.9132e-01, 8.8615e-01]'	'[1.0705e+00, 1.0750e+00, 1.1556e+00]'
0,95	'[1.0000e+00, 1.0000e+00, 9.0250e-01]'	'[1.0029e+00, 1.0124e+00, 9.3060e-01]'	'[1.0000e+00, 1.0000e+00, 9.0250e-01]'	'[1.0000e+00, 9.9999e-01, 9.0248e-01]'	'[1.0000e+00, 1.0000e+00, 9.0250e-01]'
odch 1 pro sigma <=0.65	'[0.0000e+00, 0.0000e+00, 0.0000e+00]'	'[8.9350e-03, 2.4202e-01, 7.1223e-01]'	'[1.0075e-01, 1.4534e-01, 1.2709e-01]'	'[6.6161e-01, 7.3233e-01, 3.7607e+00]'	'[1.2467e-01, 1.6061e+00, 4.1259e+00]'
odch 2 pro sigma >0.65	'[0.0000e+00, 0.0000e+00, 0.0000e+00]'	'[5.3327e-03, 1.0845e-01, 5.7793e-01]'	'[1.7266e-11, 6.9513e-08, 1.0151e-07]'	'[1.0068e-02, 2.4018e-02, 6.4816e-02]'	'[1.5453e+04, 2.2358e+11, 4.9987e+22]'
Celková odchylka	'[0.0000e+00, 0.0000e+00, 0.0000e+00]'	'[1.4268e-02, 3.5047e-01, 1.2902e+00]'	'[1.0075e-01, 1.4534e-01, 1.2709e-01]'	'[6.7167e-01, 7.5635e-01, 3.8255e+00]'	'[1.5453e+04, 2.2358e+11, 4.9987e+22]'
Vážená odchylka 1.	0,0000E+00	3,6736E-01	2,1579E-01	2,2813E+00	2,3030E+00
Vážená odchylka 2.	0,0000E+00	2,5220E-01	6,8612E-08	4,3682E-02	1,6662E+22
Vážená odchylka P1	0,0000E+00	2,6439E-13	1,2022E-02	1,1521E+00	1,6662E+22
Vážená odchylka P2	0,0000E+00	6,1956E-01	2,0376E-01	1,1729E+00	8,6640E-01
Celková váž. odch.	0,0000E+00	6,1956E-01	2,1579E-01	2,3250E+00	1,6662E+22

Tabulka č. 15 Charakteristická čísla pro signál Pulse10 bez šumu

sigma	F	P1D	P2D	P2	P3
0,35	'[1.0000e+00, 1.0000e+00, 1.2250e-01]'	'[9.9988e-01, 1.0011e+00, 1.2244e-01]'	'[9.9988e-01, 1.0011e+00, 1.2244e-01]'	'[1.0179e+00, 9.8560e-01, 4.8575e-01]'	'[1.0022e+00, 1.3748e+00, 6.9638e-01]'
0,35	'[1.0000e+00, 1.0000e+00, 1.2250e-01]'	'[1.0009e+00, 1.0400e+00, 1.7230e-01]'	'[9.9932e-01, 1.0424e+00, 1.5415e-01]'	'[1.0232e+00, 9.5477e-01, 4.5579e-01]'	'[1.0022e+00, 1.1179e+00, 5.3870e-01]'
0,40	'[1.0000e+00, 1.0000e+00, 1.6000e-01]'	'[9.9988e-01, 1.0010e+00, 1.5992e-01]'	'[9.9988e-01, 1.0010e+00, 1.5993e-01]'	'[1.0178e+00, 1.0114e+00, 5.1147e-01]'	'[1.0018e+00, 1.2826e+00, 6.0705e-01]'
0,40	'[1.0000e+00, 1.0000e+00, 1.6000e-01]'	'[1.0012e+00, 1.0425e+00, 2.2524e-01]'	'[9.9919e-01, 1.0431e+00, 1.9723e-01]'	'[1.0174e+00, 1.0369e+00, 5.4701e-01]'	'[1.0005e+00, 1.3676e+00, 6.9050e-01]'
0,45	'[1.0000e+00, 1.0000e+00, 2.0250e-01]'	'[9.9988e-01, 1.0010e+00, 2.0241e-01]'	'[9.9988e-01, 1.0010e+00, 2.0241e-01]'	'[1.0132e+00, 9.8872e-01, 4.8879e-01]'	'[1.0015e+00, 1.2133e+00, 5.5127e-01]'
0,45	'[1.0000e+00, 1.0000e+00, 2.0250e-01]'	'[1.0012e+00, 1.0451e+00, 2.7975e-01]'	'[9.9920e-01, 1.0374e+00, 2.4040e-01]'	'[1.0089e+00, 1.1465e+00, 6.5726e-01]'	'[1.0003e+00, 1.2770e+00, 5.9816e-01]'
0,50	'[1.0000e+00, 1.0000e+00, 2.5000e-01]'	'[9.9989e-01, 1.0010e+00, 2.4988e-01]'	'[9.9989e-01, 1.0010e+00, 2.4989e-01]'	'[1.0128e+00, 9.7794e-01, 4.7823e-01]'	'[1.0012e+00, 1.1501e+00, 5.1142e-01]'
0,50	'[1.0000e+00, 1.0000e+00, 2.5000e-01]'	'[1.0014e+00, 1.0465e+00, 3.4435e-01]'	'[9.9947e-01, 1.0355e+00, 2.9241e-01]'	'[1.0121e+00, 1.0429e+00, 5.4804e-01]'	'[1.0001e+00, 1.1930e+00, 5.1965e-01]'
0,55	'[1.0000e+00, 1.0000e+00, 3.0250e-01]'	'[9.9989e-01, 1.0009e+00, 3.0236e-01]'	'[9.9989e-01, 1.0009e+00, 3.0237e-01]'	'[1.0095e+00, 9.7905e-01, 4.7933e-01]'	'[1.0009e+00, 1.1064e+00, 4.9874e-01]'
0,55	'[1.0000e+00, 1.0000e+00, 3.0250e-01]'	'[1.0014e+00, 1.0448e+00, 4.0489e-01]'	'[1.0001e+00, 1.0392e+00, 3.5301e-01]'	'[1.0075e+00, 1.0289e+00, 5.2929e-01]'	'[1.0000e+00, 1.0471e+00, 3.9405e-01]'
0,60	'[1.0000e+00, 1.0000e+00, 3.6000e-01]'	'[9.9989e-01, 1.0009e+00, 3.5984e-01]'	'[9.9989e-01, 1.0009e+00, 3.5985e-01]'	'[1.0093e+00, 9.4712e-01, 4.4852e-01]'	'[1.0007e+00, 1.0733e+00, 5.0413e-01]'
0,60	'[1.0000e+00, 1.0000e+00, 3.6000e-01]'	'[1.0014e+00, 1.0438e+00, 4.6887e-01]'	'[9.9997e-01, 1.0261e+00, 3.9508e-01]'	'[1.0043e+00, 1.0702e+00, 5.8578e-01]'	'[1.0000e+00, 1.0000e+00, 3.6000e-01]'
0,65	'[1.0000e+00, 1.0000e+00, 4.2250e-01]'	'[1.0000e+00, 1.0000e+00, 4.2250e-01]'	'[1.0000e+00, 1.0000e+00, 4.2249e-01]'	'[1.0057e+00, 9.5315e-01, 4.5426e-01]'	'[1.0005e+00, 1.0502e+00, 5.2670e-01]'
0,65	'[1.0000e+00, 1.0000e+00, 4.2250e-01]'	'[1.0015e+00, 1.0399e+00, 5.3492e-01]'	'[1.0000e+00, 1.0058e+00, 4.2986e-01]'	'[1.0038e+00, 9.9936e-01, 4.9947e-01]'	'[1.0000e+00, 1.0000e+00, 4.2250e-01]'
0,70	'[1.0000e+00, 1.0000e+00, 4.9000e-01]'	'[9.9990e-01, 1.0008e+00, 4.8981e-01]'	'[9.9990e-01, 1.0008e+00, 4.8982e-01]'	'[1.0019e+00, 9.5985e-01, 4.6065e-01]'	'[1.0004e+00, 1.0327e+00, 5.6242e-01]'
0,70	'[1.0000e+00, 1.0000e+00, 4.9000e-01]'	'[1.0015e+00, 1.0408e+00, 6.1592e-01]'	'[1.0000e+00, 1.0003e+00, 4.9038e-01]'	'[1.0003e+00, 1.0096e+00, 5.0962e-01]'	'[1.0000e+00, 1.0000e+00, 4.9000e-01]'
0,75	'[1.0000e+00, 1.0000e+00, 5.6250e-01]'	'[9.9991e-01, 1.0007e+00, 5.6230e-01]'	'[9.9991e-01, 1.0007e+00, 5.6231e-01]'	'[1.0014e+00, 9.7092e-01, 5.4054e-01]'	'[1.0003e+00, 1.0198e+00, 6.1040e-01]'
0,75	'[1.0000e+00, 1.0000e+00, 5.6250e-01]'	'[1.0011e+00, 1.0320e+00, 6.6246e-01]'	'[1.0000e+00, 1.0000e+00, 5.6250e-01]'	'[1.0000e+00, 1.0000e+00, 5.6250e-01]'	'[1.0000e+00, 1.0001e+00, 5.6265e-01]'
0,80	'[1.0000e+00, 1.0000e+00, 6.4000e-01]'	'[9.9992e-01, 1.0006e+00, 6.3980e-01]'	'[9.9992e-01, 1.0006e+00, 6.3981e-01]'	'[1.0009e+00, 9.8054e-01, 6.2489e-01]'	'[1.0002e+00, 1.0128e+00, 6.6981e-01]'
0,80	'[1.0000e+00, 1.0000e+00, 6.4000e-01]'	'[1.0005e+00, 1.0225e+00, 7.0442e-01]'	'[1.0000e+00, 1.0000e+00, 6.4000e-01]'	'[1.0000e+00, 1.0000e+00, 6.4000e-01]'	'[1.0000e+00, 1.0001e+00, 6.4012e-01]'
0,85	'[1.0000e+00, 1.0000e+00, 7.2250e-01]'	'[9.9993e-01, 1.0005e+00, 7.2231e-01]'	'[9.9994e-01, 1.0005e+00, 7.2231e-01]'	'[1.0005e+00, 9.8850e-01, 7.1333e-01]'	'[1.0002e+00, 9.9502e-01, 7.1962e-01]'
0,85	'[1.0000e+00, 1.0000e+00, 7.2250e-01]'	'[1.0004e+00, 1.0133e+00, 7.6359e-01]'	'[1.0000e+00, 1.0000e+00, 7.2250e-01]'	'[1.0000e+00, 1.0000e+00, 7.2250e-01]'	'[1.0000e+00, 1.0001e+00, 7.2261e-01]'
0,90	'[1.0000e+00, 1.0000e+00, 8.1000e-01]'	'[9.9995e-01, 1.0004e+00, 8.0983e-01]'	'[9.9995e-01, 1.0003e+00, 8.0985e-01]'	'[1.0003e+00, 9.9458e-01, 8.0558e-01]'	'[1.0000e+00, 9.9788e-01, 8.0694e-01]'
0,90	'[1.0000e+00, 1.0000e+00, 8.1000e-01]'	'[1.0001e+00, 1.0064e+00, 8.2840e-01]'	'[1.0000e+00, 1.0000e+00, 8.1000e-01]'	'[1.0000e+00, 1.0000e+00, 8.1000e-01]'	'[1.0000e+00, 1.0001e+00, 8.1009e-01]'
0,95	'[1.0000e+00, 1.0000e+00, 9.0250e-01]'	'[9.9997e-01, 1.0002e+00, 9.0239e-01]'	'[9.9998e-01, 1.0002e+00, 9.0241e-01]'	'[1.0001e+00, 9.9852e-01, 9.0127e-01]'	'[8.2772e-01, 3.0154e+00, 5.5953e+00]'
0,95	'[1.0000e+00, 1.0000e+00, 9.0250e-01]'	'[1.0000e+00, 1.0016e+00, 9.0787e-01]'	'[1.0000e+00, 1.0000e+00, 9.0250e-01]'	'[1.0000e+00, 1.0000e+00, 9.0250e-01]'	'[1.0000e+00, 1.0000e+00, 9.0254e-01]'
odch 1 pro sigma <=0.65	'[0.0000e+00, 0.0000e+00, 0.0000e+00]'	'[1.2046e-05, 1.3129e-02, 5.6580e-02]'	'[2.1217e-06, 8.5705e-03, 9.4591e-03]'	'[2.3381e-03, 3.8849e-02, 1.0945e+00]'	'[1.8544e-05, 5.7285e-01, 1.4816e+00]'
odch 2 pro sigma >0.65	'[0.0000e+00, 0.0000e+00, 0.0000e+00]'	'[4.0049e-06, 3.4180e-03, 3.2055e-02]'	'[2.9333e-08, 1.8746e-06, 3.1654e-07]'	'[6.9713e-06, 3.0919e-03, 2.0618e-03]'	'[2.9679e-02, 4.0636e+00, 2.2031e+01]'
Celková odchylka	'[0.0000e+00, 0.0000e+00, 0.0000e+00]'	'[1.6051e-05, 1.6547e-02, 8.8635e-02]'	'[2.1511e-06, 8.5724e-03, 9.4594e-03]'	'[2.3451e-03, 4.1941e-02, 1.0965e+00]'	'[2.9698e-02, 4.6364e+00, 2.3512e+01]'

Vážená odchylka 1.	0,0000E+00	2,5437E-02	7,4404E-03	3,8659E-01	7,8031E-01
Vážená odchylka 2.	0,0000E+00	1,2398E-02	1,0721E-06	2,2402E-03	9,4050E+00
Vážená odchylka P1	0,0000E+00	4,1237E-06	4,0055E-06	1,4966E-01	9,8220E+00
Vážená odchylka P2	0,0000E+00	3,7831E-02	7,4375E-03	2,3917E-01	3,6339E-01
Celková váž. odch.	0,0000E+00	3,7835E-02	7,4415E-03	3,8883E-01	1,0185E+01

Tabulka č. 16 Charakteristická čísla pro signál Wavemix bez šumu

sigma	F	P1D	P2D	P2	P3
0,35	'[1.0000e+00, 1.0000e+00, 1.2250e-01]'	'[9.9985e-01, 1.0000e+00, 1.2247e-01]'	'[9.9985e-01, 1.0000e+00, 1.2247e-01]'	'[1.6860e+00, 1.9033e+00, 3.6227e+00]'	'[1.0049e+00, 1.3058e+00, 6.3226e-01]'
0,35	'[1.0000e+00, 1.0000e+00, 1.2250e-01]'	'[1.0024e+00, 1.1274e+00, 2.5080e-01]'	'[9.9957e-01, 1.1089e+00, 1.9973e-01]'	'[2.1581e-01, 1.8905e+00, 1.7871e+00]'	'[1.2367e+00, 1.2010e+00, 7.2117e-01]'
0,40	'[1.0000e+00, 1.0000e+00, 1.6000e-01]'	'[9.9985e-01, 1.0000e+00, 1.5998e-01]'	'[9.9985e-01, 1.0018e+00, 1.6001e-01]'	'[1.6586e+00, 1.8598e+00, 3.4589e+00]'	'[1.0122e+00, 1.2134e+00, 5.5041e-01]'
0,40	'[1.0000e+00, 1.0000e+00, 1.6000e-01]'	'[1.0147e+00, 1.1366e+00, 3.3816e-01]'	'[1.0120e+00, 1.0857e+00, 2.3963e-01]'	'[5.7545e-01, 1.4540e+00, 1.0570e+00]'	'[1.0124e+00, 1.4024e+00, 7.2884e-01]'
0,45	'[1.0000e+00, 1.0000e+00, 2.0250e-01]'	'[9.9985e-01, 1.0000e+00, 2.0247e-01]'	'[9.9985e-01, 1.0017e+00, 2.0251e-01]'	'[1.6241e+00, 1.8069e+00, 3.2648e+00]'	'[1.0216e+00, 1.1595e+00, 5.2473e-01]'
0,45	'[1.0000e+00, 1.0000e+00, 2.0250e-01]'	'[1.0339e+00, 1.1456e+00, 4.4431e-01]'	'[7.1261e-01, 1.3227e+00, 5.2290e-01]'	'[1.0026e+00, 1.1191e+00, 6.2628e-01]'	'[1.0075e+00, 1.3027e+00, 6.2821e-01]'
0,50	'[1.0000e+00, 1.0000e+00, 2.5000e-01]'	'[9.9985e-01, 1.0000e+00, 2.4997e-01]'	'[9.9985e-01, 1.0000e+00, 2.4995e-01]'	'[1.5828e+00, 1.7453e+00, 3.0459e+00]'	'[1.0301e+00, 1.1406e+00, 5.3726e-01]'
0,50	'[1.0000e+00, 1.0000e+00, 2.5000e-01]'	'[1.0532e+00, 1.1544e+00, 5.5765e-01]'	'[6.8335e-01, 1.3282e+00, 6.0570e-01]'	'[1.0073e+00, 1.1421e+00, 6.5241e-01]'	'[1.0453e+00, 1.1018e+00, 4.5242e-01]'
0,55	'[1.0000e+00, 1.0000e+00, 3.0250e-01]'	'[9.9984e-01, 1.0000e+00, 3.0246e-01]'	'[9.9984e-01, 1.0001e+00, 3.0244e-01]'	'[3.7181e-01, 1.5134e+00, 1.1479e+00]'	'[1.0356e+00, 1.1305e+00, 5.6153e-01]'
0,55	'[1.0000e+00, 1.0000e+00, 3.0250e-01]'	'[1.0619e+00, 1.1528e+00, 6.4014e-01]'	'[9.8048e-01, 1.0821e+00, 4.0885e-01]'	'[3.9478e-01, 1.5553e+00, 1.2103e+00]'	'[1.0024e+00, 1.0525e+00, 4.0710e-01]'
0,60	'[1.0000e+00, 1.0000e+00, 3.6000e-01]'	'[9.9984e-01, 1.0000e+00, 3.5994e-01]'	'[9.9989e-01, 1.0001e+00, 3.5996e-01]'	'[7.2709e-01, 1.3336e+00, 8.8925e-01]'	'[1.0356e+00, 9.8490e-01, 3.9140e-01]'
0,60	'[1.0000e+00, 1.0000e+00, 3.6000e-01]'	'[1.0688e+00, 1.1553e+00, 7.3073e-01]'	'[1.0099e+00, 1.0501e+00, 4.3330e-01]'	'[6.4784e-01, 1.4061e+00, 9.9596e-01]'	'[1.0000e+00, 1.0000e+00, 3.6000e-01]'
0,65	'[1.0000e+00, 1.0000e+00, 4.2250e-01]'	'[1.0000e+00, 1.0000e+00, 4.2250e-01]'	'[1.0000e+00, 1.0004e+00, 4.2252e-01]'	'[9.6795e-01, 1.1158e+00, 6.2254e-01]'	'[9.8962e-01, 1.0025e+00, 3.9605e-01]'
0,65	'[1.0000e+00, 1.0000e+00, 4.2250e-01]'	'[1.0719e+00, 1.1492e+00, 8.0470e-01]'	'[9.9527e-01, 1.0376e+00, 4.6408e-01]'	'[1.0425e+00, 1.0447e+00, 5.4576e-01]'	'[1.0000e+00, 1.0000e+00, 4.2250e-01]'
0,70	'[1.0000e+00, 1.0000e+00, 4.9000e-01]'	'[9.9982e-01, 1.0000e+00, 4.8990e-01]'	'[9.9982e-01, 9.9999e-01, 4.8987e-01]'	'[1.0287e+00, 9.6748e-01, 4.6800e-01]'	'[9.9605e-01, 9.7361e-01, 4.3639e-01]'
0,70	'[1.0000e+00, 1.0000e+00, 4.9000e-01]'	'[1.0865e+00, 1.1637e+00, 9.4645e-01]'	'[1.0000e+00, 1.0001e+00, 4.9011e-01]'	'[9.9903e-01, 1.0063e+00, 5.0630e-01]'	'[1.0000e+00, 1.0000e+00, 4.9000e-01]'
0,75	'[1.0000e+00, 1.0000e+00, 5.6250e-01]'	'[9.9982e-01, 9.9998e-01, 5.6236e-01]'	'[9.9982e-01, 9.9997e-01, 5.6234e-01]'	'[1.0121e+00, 9.4925e-01, 4.9433e-01]'	'[1.0026e+00, 9.6607e-01, 5.1375e-01]'
0,75	'[1.0000e+00, 1.0000e+00, 5.6250e-01]'	'[1.0650e+00, 1.1330e+00, 9.2686e-01]'	'[1.0000e+00, 1.0000e+00, 5.6250e-01]'	'[1.0000e+00, 1.0000e+00, 5.6250e-01]'	'[1.0000e+00, 1.0000e+00, 5.6250e-01]'
0,80	'[1.0000e+00, 1.0000e+00, 6.4000e-01]'	'[9.9981e-01, 9.9997e-01, 6.3982e-01]'	'[9.9981e-01, 9.9996e-01, 6.3980e-01]'	'[1.0099e+00, 9.6051e-01, 5.8721e-01]'	'[1.0027e+00, 9.6753e-01, 5.9262e-01]'
0,80	'[1.0000e+00, 1.0000e+00, 6.4000e-01]'	'[1.0407e+00, 1.0941e+00, 8.8856e-01]'	'[1.0000e+00, 1.0000e+00, 6.4000e-01]'	'[1.0000e+00, 1.0000e+00, 6.4000e-01]'	'[1.0000e+00, 1.0000e+00, 6.4000e-01]'
0,85	'[1.0000e+00, 1.0000e+00, 7.2250e-01]'	'[9.9980e-01, 9.9995e-01, 7.2228e-01]'	'[9.9984e-01, 1.0000e+00, 7.2231e-01]'	'[1.0058e+00, 9.7171e-01, 6.8166e-01]'	'[1.0013e+00, 9.7974e-01, 6.9041e-01]'
0,85	'[1.0000e+00, 1.0000e+00, 7.2250e-01]'	'[1.0216e+00, 1.0580e+00, 8.6985e-01]'	'[1.0000e+00, 1.0000e+00, 7.2250e-01]'	'[1.0000e+00, 1.0000e+00, 7.2250e-01]'	'[1.0000e+00, 1.0000e+00, 7.2250e-01]'
0,90	'[1.0000e+00, 1.0000e+00, 8.1000e-01]'	'[9.9978e-01, 9.9993e-01, 8.0973e-01]'	'[9.9978e-01, 9.9992e-01, 8.0970e-01]'	'[1.0020e+00, 9.8387e-01, 7.8387e-01]'	'[1.0002e+00, 9.9001e-01, 7.9267e-01]'
0,90	'[1.0000e+00, 1.0000e+00, 8.1000e-01]'	'[1.0074e+00, 1.0265e+00, 8.7327e-01]'	'[1.0000e+00, 1.0000e+00, 8.1000e-01]'	'[1.0000e+00, 1.0000e+00, 8.1000e-01]'	'[1.0000e+00, 1.0000e+00, 8.1000e-01]'
0,95	'[1.0000e+00, 1.0000e+00, 9.0250e-01]'	'[9.9977e-01, 9.9990e-01, 9.0216e-01]'	'[9.9977e-01, 9.9990e-01, 9.0213e-01]'	'[1.0001e+00, 9.9497e-01, 8.9323e-01]'	'[9.9999e-01, 1.0032e+00, 9.0443e-01]'
0,95	'[1.0000e+00, 1.0000e+00, 9.0250e-01]'	'[1.0013e+00, 1.0066e+00, 9.1745e-01]'	'[1.0000e+00, 1.0000e+00, 9.0250e-01]'	'[1.0000e+00, 1.0000e+00, 9.0249e-01]'	'[1.0000e+00, 1.0000e+00, 9.0250e-01]'
odch 1 pro sigma <=0.65	'[0.0000e+00, 0.0000e+00, 0.0000e+00]'	'[1.7935e-02, 1.4963e-01, 5.9884e-01]'	'[1.8350e-01, 2.4171e-01, 2.5990e-01]'	'[3.3910e+00, 4.6589e+00, 4.6524e+01]'	'[6.2456e-02, 5.0860e-01, 1.5825e+00]'
odch 2 pro sigma >0.65	'[0.0000e+00, 0.0000e+00, 0.0000e+00]'	'[1.3881e-02, 5.7443e-02, 4.2883e-01]'	'[2.2787e-07, 3.2176e-08, 3.5706e-07]'	'[1.1074e-03, 6.3187e-03, 1.0620e-02]'	'[3.1227e-05, 3.4222e-03, 8.8296e-03]'
Celková odchylka	'[0.0000e+00, 0.0000e+00, 0.0000e+00]'	'[3.1816e-02, 2.0707e-01, 1.0277e+00]'	'[1.8350e-01, 2.4171e-01, 2.5990e-01]'	'[3.3921e+00, 4.6652e+00, 4.6535e+01]'	'[6.2487e-02, 5.1202e-01, 1.5914e+00]'
Vážená odchylka 1.	0,0000E+00	2,9236E-01	3,9099E-01	2,1229E+01	8,4427E-01
Vážená odchylka 2.	0,0000E+00	1,8555E-01	3,6297E-07	7,8069E-03	4,6855E-03
Vážená odchylka P1	0,0000E+00	4,9942E-07	3,6755E-06	1,7474E+01	3,3210E-01
Vážená odchylka P2	0,0000E+00	4,7790E-01	3,9099E-01	3,7621E+00	5,1685E-01
Celková váž. odch.	0,0000E+00	4,7791E-01	3,9099E-01	2,1236E+01	8,4895E-01

**Tabulka č. 17 Charakteristická čísla pro signál Sinus02 bez šumu**

sigma	F	P1D	P2D	P2	P3
0,35	'[1.0000e+00, 1.0000e+00, 1.2250e-01]'	'[1.0000e+00, 9.9501e-01, 1.2250e-01]'	'[9.9999e-01, 9.9755e-01, 1.3171e-01]'	'[9.9799e-01, 1.1512e+00, 6.6317e-01]'	'[1.0001e+00, 1.1035e+00, 4.4194e-01]'
0,35	'[1.0000e+00, 1.0000e+00, 1.2250e-01]'	'[1.0036e+00, 9.5915e-01, 3.1265e-01]'	'[9.9998e-01, 1.5895e+00, 1.0037e+00]'	'[9.9779e-01, 1.1566e+00, 6.6913e-01]'	'[1.0001e+00, 1.2433e+00, 5.7175e-01]'
0,40	'[1.0000e+00, 1.0000e+00, 1.6000e-01]'	'[1.0000e+00, 9.9501e-01, 1.6000e-01]'	'[9.9999e-01, 9.9934e-01, 1.6528e-01]'	'[9.9819e-01, 1.1452e+00, 6.5598e-01]'	'[2.7651e+04, 8.0878e+05, 6.5413e+11]'
0,40	'[1.0000e+00, 1.0000e+00, 1.6000e-01]'	'[1.0001e+00, 9.9593e-01, 1.6708e-01]'	'[9.9995e-01, 1.6745e+00, 1.2261e+00]'	'[9.9794e-01, 1.1515e+00, 6.6314e-01]'	'[1.0000e+00, 1.1938e+00, 5.2254e-01]'
0,45	'[1.0000e+00, 1.0000e+00, 2.0250e-01]'	'[1.0012e+00, 9.9112e-01, 2.6698e-01]'	'[1.0000e+00, 9.9501e-01, 2.0250e-01]'	'[9.9839e-01, 1.1318e+00, 6.4304e-01]'	'[1.0002e+00, 1.0107e+00, 3.8236e-01]'
0,45	'[1.0000e+00, 1.0000e+00, 2.0250e-01]'	'[1.0028e+00, 9.9099e-01, 3.4926e-01]'	'[1.0022e+00, 9.6671e-01, 3.2045e-01]'	'[9.9813e-01, 1.1398e+00, 6.4976e-01]'	'[1.0000e+00, 1.1524e+00, 4.8352e-01]'
0,50	'[1.0000e+00, 1.0000e+00, 2.5000e-01]'	'[1.0020e+00, 9.9513e-01, 3.5418e-01]'	'[1.0000e+00, 9.9501e-01, 2.5000e-01]'	'[9.9875e-01, 1.1487e+00, 6.5973e-01]'	'[1.0040e+00, 1.0497e+00, 5.5358e-01]'
0,50	'[1.0000e+00, 1.0000e+00, 2.5000e-01]'	'[1.0020e+00, 9.9650e-01, 3.5581e-01]'	'[9.9989e-01, 1.7443e+00, 1.7228e+00]'	'[9.9919e-01, 1.1075e+00, 6.1338e-01]'	'[1.0000e+00, 1.1175e+00, 4.5224e-01]'
0,55	'[1.0000e+00, 1.0000e+00, 3.0250e-01]'	'[1.0000e+00, 9.9501e-01, 3.0250e-01]'	'[1.0000e+00, 9.9500e-01, 3.0250e-01]'	'[9.9978e-01, 1.0135e+00, 5.1364e-01]'	'[1.0021e+00, 9.9549e-01, 4.1007e-01]'
0,55	'[1.0000e+00, 1.0000e+00, 3.0250e-01]'	'[1.0002e+00, 9.9661e-01, 3.1624e-01]'	'[1.0006e+00, 8.8061e-01, 3.3705e-01]'	'[9.9988e-01, 1.1401e+00, 6.4993e-01]'	'[1.0000e+00, 1.0249e+00, 3.7498e-01]'
0,60	'[1.0000e+00, 1.0000e+00, 3.6000e-01]'	'[1.0000e+00, 9.9501e-01, 3.6000e-01]'	'[1.0000e+00, 9.9501e-01, 3.6000e-01]'	'[1.0026e+00, 1.0012e+00, 5.0149e-01]'	'[9.9930e-01, 1.0009e+00, 4.4540e-01]'
0,60	'[1.0000e+00, 1.0000e+00, 3.6000e-01]'	'[1.0002e+00, 9.9675e-01, 3.7510e-01]'	'[1.0002e+00, 9.9676e-01, 3.7510e-01]'	'[9.9952e-01, 1.0848e+00, 5.8845e-01]'	'[1.0000e+00, 9.9503e-01, 3.6006e-01]'
0,65	'[1.0000e+00, 1.0000e+00, 4.2250e-01]'	'[1.0000e+00, 9.9501e-01, 4.2250e-01]'	'[1.0000e+00, 9.9500e-01, 4.2250e-01]'	'[1.0015e+00, 9.9571e-01, 4.9572e-01]'	'[1.0000e+00, 1.0240e+00, 4.9779e-01]'
0,65	'[1.0000e+00, 1.0000e+00, 4.2250e-01]'	'[1.0002e+00, 9.9685e-01, 4.3922e-01]'	'[1.0002e+00, 9.9686e-01, 4.3922e-01]'	'[9.9993e-01, 1.0376e+00, 5.3846e-01]'	'[9.9954e-01, 1.0119e+00, 4.0848e-01]'
0,70	'[1.0000e+00, 1.0000e+00, 4.9000e-01]'	'[1.0000e+00, 9.9501e-01, 4.9000e-01]'	'[1.0000e+00, 9.9500e-01, 4.9000e-01]'	'[1.0002e+00, 9.9339e-01, 4.9341e-01]'	'[1.0000e+00, 1.0069e+00, 5.3998e-01]'
0,70	'[1.0000e+00, 1.0000e+00, 4.9000e-01]'	'[1.0003e+00, 9.9715e-01, 5.0987e-01]'	'[1.0000e+00, 9.9528e-01, 4.9033e-01]'	'[1.0000e+00, 1.0041e+00, 5.0408e-01]'	'[1.0000e+00, 9.9500e-01, 4.9010e-01]'
0,75	'[1.0000e+00, 1.0000e+00, 5.6250e-01]'	'[1.0000e+00, 9.9501e-01, 5.6250e-01]'	'[1.0000e+00, 9.9500e-01, 5.6250e-01]'	'[1.0001e+00, 9.9379e-01, 5.6299e-01]'	'[1.0000e+00, 9.9722e-01, 5.9453e-01]'
0,75	'[1.0000e+00, 1.0000e+00, 5.6250e-01]'	'[1.0002e+00, 9.9663e-01, 5.7637e-01]'	'[1.0000e+00, 9.9991e-01, 5.6252e-01]'	'[1.0000e+00, 9.9506e-01, 5.6267e-01]'	'[1.0000e+00, 9.9506e-01, 5.6267e-01]'
0,80	'[1.0000e+00, 1.0000e+00, 6.4000e-01]'	'[1.0000e+00, 9.9501e-01, 6.4000e-01]'	'[1.0000e+00, 9.9500e-01, 6.4000e-01]'	'[1.0000e+00, 9.9420e-01, 6.3982e-01]'	'[1.0000e+00, 9.9528e-01, 6.5982e-01]'
0,80	'[1.0000e+00, 1.0000e+00, 6.4000e-01]'	'[1.0001e+00, 9.9604e-01, 6.4763e-01]'	'[1.0000e+00, 9.9995e-01, 6.4014e-01]'	'[1.0000e+00, 9.9505e-01, 6.4014e-01]'	'[1.0000e+00, 9.9505e-01, 6.4014e-01]'
0,85	'[1.0000e+00, 1.0000e+00, 7.2250e-01]'	'[1.0000e+00, 9.9500e-01, 7.2250e-01]'	'[1.0000e+00, 9.9589e-01, 7.2350e-01]'	'[1.0000e+00, 9.9453e-01, 7.2210e-01]'	'[1.0000e+00, 9.9614e-01, 7.3352e-01]'
0,85	'[1.0000e+00, 1.0000e+00, 7.2250e-01]'	'[1.0000e+00, 9.9559e-01, 7.2621e-01]'	'[1.0000e+00, 9.9999e-01, 7.2251e-01]'	'[1.0000e+00, 9.9504e-01, 7.2261e-01]'	'[1.0000e+00, 9.9504e-01, 7.2261e-01]'
0,90	'[1.0000e+00, 1.0000e+00, 8.1000e-01]'	'[1.0000e+00, 9.9500e-01, 8.1000e-01]'	'[1.0000e+00, 9.9528e-01, 8.1001e-01]'	'[1.0000e+00, 9.9479e-01, 8.0969e-01]'	'[1.0000e+00, 9.9990e-01, 8.1516e-01]'
0,90	'[1.0000e+00, 1.0000e+00, 8.1000e-01]'	'[1.0000e+00, 9.9527e-01, 8.1136e-01]'	'[9.9977e-01, 1.2674e+00, 7.9896e-01]'	'[1.0000e+00, 9.9502e-01, 8.1008e-01]'	'[1.0000e+00, 9.9502e-01, 8.1008e-01]'
0,95	'[1.0000e+00, 1.0000e+00, 9.0250e-01]'	'[1.0000e+00, 9.9500e-01, 9.0250e-01]'	'[1.0000e+00, 9.9502e-01, 9.0270e-01]'	'[1.0000e+00, 9.9495e-01, 9.0240e-01]'	'[1.0000e+00, 9.9498e-01, 9.0245e-01]'
0,95	'[1.0000e+00, 1.0000e+00, 9.0250e-01]'	'[1.0000e+00, 9.9507e-01, 9.0276e-01]'	'[9.9993e-01, 9.9812e-01, 8.9889e-01]'	'[1.0000e+00, 9.9501e-01, 9.0254e-01]'	'[1.0000e+00, 9.9501e-01, 9.0254e-01]'
odch 1 pro sigma <=0.65	'[0.0000e+00, 0.0000e+00, 0.0000e+00]'	'[3.0728e-05, 2.0377e-03, 8.4650e-02]'	'[5.4534e-06, 1.3581e+00, 4.0977e+00]'	'[3.4210e-05, 1.9045e-01, 2.0406e+00]'	'[7.6454e+08, 6.5413e+11, 4.2788e+23]'
odch 2 pro sigma >0.65	'[0.0000e+00, 0.0000e+00, 0.0000e+00]'	'[1.3128e-07, 2.5103e-04, 6.6126e-04]'	'[5.8096e-08, 1.1664e-02, 1.3600e-04]'	'[3.0682e-08, 3.3831e-04, 2.1036e-04]'	'[2.3073e-10, 2.6597e-04, 4.0648e-03]'
Celková odchyška	'[0.0000e+00, 0.0000e+00, 0.0000e+00]'	'[3.0860e-05, 2.2887e-03, 8.5312e-02]'	'[5.5115e-06, 1.4297e+00, 4.0978e+00]'	'[3.4241e-05, 1.9079e-01, 2.0408e+00]'	'[7.6454e+08, 6.5413e+11, 4.2788e+23]'
Vážená odchyška 1.	0,0000E+00	2,9266E-02	2,0449E+00	7,7547E-01	1,4263E+23
Vážená odchyška 2.	0,0000E+00	3,4607E-04	3,5877E-02	2,3931E-04	1,4879E-03
Vážená odchyška P1	0,0000E+00	5,1977E-03	1,7293E-04	3,6535E-01	1,4263E+23
Vážená odchyška P2	0,0000E+00	2,4415E-02	2,0806E+00	4,1036E-01	2,2022E-01
Celková váž. odch.	0,0000E+00	2,9612E-02	2,0808E+00	7,7571E-01	1,4263E+23

**Tabulka č. 18 Charakteristická čísla pro signál Sinus2 bez šumu**

sigma	F	P1D	P2D	P2	P3
0,35	'[1.0000e+00, 1.0000e+00, 1.2250e-01]'	'[1.1737e+00, 9.5417e-01, 3.0710e-01]'	'[1.0000e+00, 9.9565e-01, 1.2664e+00]'	'[1.6446e+00, 1.5915e+00, 1.2664e+00]'	'[1.0103e+00, 1.1464e+00, 4.8369e-01]'
0,35	'[1.0000e+00, 1.0000e+00, 1.2250e-01]'	'[1.1778e+00, 1.0006e+00, 3.6072e-01]'	'[1.1472e+00, 9.6840e+00, 8.3723e+01]'	'[1.8350e+00, 1.3081e+00, 8.5571e-01]'	'[1.0064e+00, 1.2890e+00, 6.1495e-01]'
0,40	'[1.0000e+00, 1.0000e+00, 1.6000e-01]'	'[1.1438e+00, 9.6415e-01, 3.1827e-01]'	'[2.3521e+06, 4.4287e+06, 1.9613e+13]'	'[1.7490e+00, 1.3462e+00, 9.0741e-01]'	'[1.0080e+00, 1.0879e+00, 4.4081e-01]'
0,40	'[1.0000e+00, 1.0000e+00, 1.6000e-01]'	'[1.1429e+00, 1.0243e+00, 3.8977e-01]'	'[1.0704e+00, 9.6574e-01, 3.2006e-01]'	'[1.6424e+00, 1.3617e+00, 9.4330e-01]'	'[1.0039e+00, 1.2335e+00, 5.6009e-01]'
0,45	'[1.0000e+00, 1.0000e+00, 2.0250e-01]'	'[1.0172e+00, 8.9718e-01, 2.4719e-01]'	'[1.0000e+00, 9.9507e-01, 2.0250e-01]'	'[2.8869e+06, 5.8953e+06, 3.4754e+13]'	'[1.0062e+00, 1.0458e+00, 4.1914e-01]'

0,45	'[1.0000e+00, 1.0000e+00, 2.0250e-01]'	'[1.1197e+00, 1.0613e+00, 4.3728e-01]'	'[1.0590e+00, 8.0126e+00, 5.7526e+01]'	'[1.8107e+00, 1.3953e+00, 9.7346e-01]'	'[1.0022e+00, 1.1868e+00, 5.1634e-01]'
0,50	'[1.0000e+00, 1.0000e+00, 2.5000e-01]'	'[1.0104e+00, 9.2469e-01, 2.7530e-01]'	'[1.0000e+00, 9.9501e-01, 2.5000e-01]'	'[4.4072e+00, 3.5940e+00, 1.2917e+01]'	'[1.2293e+00, 1.0086e+00, 3.3910e-01]'
0,50	'[1.0000e+00, 1.0000e+00, 2.5000e-01]'	'[1.0262e+00, 1.0379e+00, 4.0687e-01]'	'[1.1307e+00, 1.0626e+01, 1.0642e+02]'	'[1.5338e+00, 1.2659e+00, 8.0260e-01]'	'[1.0012e+00, 1.1416e+00, 4.7567e-01]'
0,55	'[1.0000e+00, 1.0000e+00, 3.0250e-01]'	'[1.0147e+00, 9.6790e-01, 3.2251e-01]'	'[9.9999e-01, 9.9562e-01, 3.0266e-01]'	'[4.0259e+00, 3.3668e+00, 1.1335e+01]'	'[1.1333e+00, 9.7145e-01, 3.1457e-01]'
0,55	'[1.0000e+00, 1.0000e+00, 3.0250e-01]'	'[1.0168e+00, 1.0847e+00, 4.6884e-01]'	'[1.0742e+00, 7.3915e+00, 5.0874e+01]'	'[3.8274e+00, 3.6553e+00, 1.3361e+01]'	'[1.0535e+00, 1.0174e+00, 3.4548e-01]'
0,60	'[1.0000e+00, 1.0000e+00, 3.6000e-01]'	'[1.0000e+00, 9.9501e-01, 3.6000e-01]'	'[1.0000e+00, 9.9503e-01, 3.6000e-01]'	'[1.3422e+00, 1.1590e+00, 6.7162e-01]'	'[1.0102e+00, 9.6085e-01, 3.1188e-01]'
0,60	'[1.0000e+00, 1.0000e+00, 3.6000e-01]'	'[1.0134e+00, 1.1120e+00, 5.5157e-01]'	'[9.3685e-01, 3.1572e+00, 7.1156e+00]'	'[3.4324e+00, 3.3739e+00, 1.1383e+01]'	'[1.0000e+00, 9.9656e-01, 3.6190e-01]'
0,65	'[1.0000e+00, 1.0000e+00, 4.2250e-01]'	'[1.0000e+00, 9.9501e-01, 4.2250e-01]'	'[1.0000e+00, 9.9502e-01, 4.2250e-01]'	'[1.2373e+00, 1.0520e+00, 5.5334e-01]'	'[1.0101e+00, 9.2900e-01, 3.3436e-01]'
0,65	'[1.0000e+00, 1.0000e+00, 4.2250e-01]'	'[1.0142e+00, 1.1135e+00, 6.3751e-01]'	'[1.2516e+00, 5.3308e+01, 2.8060e+03]'	'[1.0902e+00, 1.1054e+00, 6.1137e-01]'	'[1.0000e+00, 9.9610e-01, 4.2374e-01]'
0,70	'[1.0000e+00, 1.0000e+00, 4.9000e-01]'	'[1.0000e+00, 9.9501e-01, 4.9000e-01]'	'[1.0000e+00, 9.9500e-01, 4.9000e-01]'	'[1.1197e+00, 9.7490e-01, 4.7607e-01]'	'[1.0029e+00, 9.5031e-01, 4.1972e-01]'
0,70	'[1.0000e+00, 1.0000e+00, 4.9000e-01]'	'[1.0165e+00, 1.1313e+00, 7.6164e-01]'	'[1.2221e+00, 2.5877e+01, 6.6691e+02]'	'[1.0043e+00, 1.0053e+00, 5.0534e-01]'	'[1.0001e+00, 9.9516e-01, 4.9022e-01]'
0,75	'[1.0000e+00, 1.0000e+00, 5.6250e-01]'	'[1.0000e+00, 9.9501e-01, 5.6250e-01]'	'[1.0000e+00, 9.9501e-01, 5.6250e-01]'	'[1.0102e+00, 9.0904e-01, 4.1318e-01]'	'[1.0018e+00, 9.5391e-01, 4.9311e-01]'
0,75	'[1.0000e+00, 1.0000e+00, 5.6250e-01]'	'[1.0114e+00, 1.1016e+00, 7.7598e-01]'	'[9.9996e-01, 9.9998e-01, 5.6260e-01]'	'[1.0000e+00, 9.9928e-01, 5.7113e-01]'	'[1.0000e+00, 9.9928e-01, 5.7114e-01]'
0,80	'[1.0000e+00, 1.0000e+00, 6.4000e-01]'	'[1.0000e+00, 9.9501e-01, 6.4000e-01]'	'[1.0000e+00, 9.9500e-01, 6.4000e-01]'	'[1.0032e+00, 9.3365e-01, 5.2947e-01]'	'[1.0008e+00, 9.6491e-01, 5.8893e-01]'
0,80	'[1.0000e+00, 1.0000e+00, 6.4000e-01]'	'[1.0069e+00, 1.0668e+00, 7.8318e-01]'	'[9.9996e-01, 9.9998e-01, 6.4003e-01]'	'[1.0000e+00, 9.9852e-01, 6.4710e-01]'	'[1.0000e+00, 9.9852e-01, 6.4711e-01]'
0,85	'[1.0000e+00, 1.0000e+00, 7.2250e-01]'	'[1.0000e+00, 9.9500e-01, 7.2250e-01]'	'[1.0000e+00, 9.9539e-01, 7.2251e-01]'	'[1.0015e+00, 9.5927e-01, 6.5599e-01]'	'[1.0004e+00, 9.7732e-01, 6.9099e-01]'
0,85	'[1.0000e+00, 1.0000e+00, 7.2250e-01]'	'[1.0036e+00, 1.0373e+00, 8.0689e-01]'	'[9.9996e-01, 9.9998e-01, 7.2249e-01]'	'[1.0000e+00, 9.9771e-01, 7.2797e-01]'	'[1.0000e+00, 9.9771e-01, 7.2797e-01]'
0,90	'[1.0000e+00, 1.0000e+00, 8.1000e-01]'	'[1.0000e+00, 9.9500e-01, 8.1000e-01]'	'[1.0000e+00, 9.9544e-01, 8.1010e-01]'	'[1.0005e+00, 9.7887e-01, 7.7909e-01]'	'[1.0001e+00, 9.8698e-01, 7.9506e-01]'
0,90	'[1.0000e+00, 1.0000e+00, 8.1000e-01]'	'[1.0011e+00, 1.0143e+00, 8.4845e-01]'	'[9.9996e-01, 1.0000e+00, 8.0996e-01]'	'[1.0000e+00, 9.9685e-01, 8.1373e-01]'	'[1.0000e+00, 9.9685e-01, 8.1373e-01]'
0,95	'[1.0000e+00, 1.0000e+00, 9.0250e-01]'	'[1.0000e+00, 9.9500e-01, 9.0250e-01]'	'[1.0000e+00, 9.9513e-01, 9.0257e-01]'	'[1.0001e+00, 9.9121e-01, 8.9505e-01]'	'[1.0000e+00, 9.9311e-01, 8.8885e-01]'
0,95	'[1.0000e+00, 1.0000e+00, 9.0250e-01]'	'[1.0002e+00, 9.9991e-01, 9.1234e-01]'	'[9.9976e-01, 9.9976e-01, 9.0200e-01]'	'[1.0000e+00, 9.9593e-01, 9.0438e-01]'	'[1.0000e+00, 9.9593e-01, 9.0438e-01]'
odch 1 pro sigma <=0.65	'[0.0000e+00, 0.0000e+00, 0.0000e+00]'	'[1.1918e-01, 5.9104e-02, 3.6203e-01]'	'[5.5322e+12, 1.9613e+13, 3.8469e+26]'	'[8.3343e+12, 3.4754e+13, 1.2078e+27]'	'[7.3711e-02, 2.3202e-01, 8.2826e-01]'
odch 2 pro sigma >0.65	'[0.0000e+00, 0.0000e+00, 0.0000e+00]'	'[4.6181e-04, 3.3773e-02, 1.4856e-01]'	'[4.9306e-02, 6.1887e+02, 4.4411e+05]'	'[1.4464e-02, 1.5551e-02, 4.0548e-02]'	'[1.2814e-05, 6.6141e-03, 1.3765e-02]'
Celková odchylka	'[0.0000e+00, 0.0000e+00, 0.0000e+00]'	'[1.1964e-01, 9.2878e-02, 5.1059e-01]'	'[5.5322e+12, 1.9613e+13, 3.8469e+26]'	'[8.3343e+12, 3.4754e+13, 1.2078e+27]'	'[7.3724e-02, 2.3864e-01, 8.4203e-01]'
Vážená odchylka 1.	0,0000E+00	2,6941E-01	1,2823E+26	4,0261E+26	4,6581E-01
Vážená odchylka 2.	0,0000E+00	6,6868E-02	1,4835E+05	3,5755E-02	7,9083E-03
Vážená odchylka P1	0,0000E+00	8,2616E-02	1,2823E+26	4,0261E+26	1,8944E-01
Vážená odchylka P2	0,0000E+00	2,5366E-01	2,7817E+06	1,2059E+02	2,8428E-01
Celková váž. odch.	0,0000E+00	3,3628E-01	1,2823E+26	4,0261E+26	4,7372E-01

Tabulka č. 19 Charakteristická čísla pro signál Sinus20 bez šumu

sigma	F	P1D	P2D	P2	P3
0,35	'[1.0000e+00, 1.0000e+00, 1.2250e-01]'	'[1.4033e-01, 4.0016e-01, 5.9381e-08]'	'[0.0000e+00, 1.1251e+00, 9.3242e-07]'	'[1.7549e-01, 2.9088e-01, 4.4522e-08]'	'[0.0000e+00, 1.2257e+00, 7.8530e-01]'
0,35	'[1.0000e+00, 1.0000e+00, 1.2250e-01]'	'[2.2560e-02, 1.9851e+00, 3.5416e+00]'	'[3.6104e-02, 7.9479e-01, 2.8422e-01]'	'[0.0000e+00, 1.9741e-02, 1.9864e-04]'	'[3.9949e-02, 1.3256e+00, 6.7369e-01]'
0,40	'[1.0000e+00, 1.0000e+00, 1.6000e-01]'	'[0.0000e+00, 1.7336e+00, 1.8089e+00]'	'[5.1442e-02, 3.3242e-01, 3.0140e-03]'	'[1.2349e-01, 3.9938e-02, 8.1782e-04]'	'[0.0000e+00, 1.0411e+00, 5.9732e-01]'
0,40	'[1.0000e+00, 1.0000e+00, 1.6000e-01]'	'[2.3376e-02, 1.8860e+00, 3.5020e+00]'	'[3.5084e-02, 1.5387e+00, 9.6464e-01]'	'[2.0571e-03, 9.9622e+03, 9.9245e+07]'	'[1.0564e-01, 9.2466e-01, 2.8586e-01]'
0,45	'[1.0000e+00, 1.0000e+00, 2.0250e-01]'	'[0.0000e+00, 1.4654e-01, 5.9263e-05]'	'[1.0912e-01, 3.0094e-01, 9.8985e-10]'	'[1.0293e-01, 4.3265e-05, 1.1087e-09]'	'[0.0000e+00, 1.0403e+00, 5.4826e-01]'
0,45	'[1.0000e+00, 1.0000e+00, 2.0250e-01]'	'[4.1479e-04, 2.3982e+00, 5.4593e+00]'	'[2.6829e-02, 6.8886e+00, 4.4804e+01]'	'[1.9307e-02, 5.7859e+00, 3.1707e+01]'	'[1.0147e-01, 9.3837e-01, 2.9423e-01]'
0,50	'[1.0000e+00, 1.0000e+00, 2.5000e-01]'	'[1.2574e+00, 8.2541e-01, 4.1693e-01]'	'[1.1327e-01, 2.7895e-01, 7.3271e-03]'	'[0.0000e+00, 8.6918e-01, 7.5548e-01]'	'[1.1783e+00, 1.6246e+00, 1.6863e+00]'
0,50	'[1.0000e+00, 1.0000e+00, 2.5000e-01]'	'[6.1798e-04, 2.9027e+00, 8.2897e+00]'	'[1.5352e-03, 2.7038e-01, 1.0965e-06]'	'[3.0957e-02, 1.3283e+00, 8.8280e-01]'	'[1.4584e-01, 9.3591e-01, 2.9198e-01]'
0,55	'[1.0000e+00, 1.0000e+00, 3.0250e-01]'	'[0.0000e+00, 1.6934e+00, 2.0873e+00]'	'[0.0000e+00, 1.0000e+04, 1.0000e+08]'	'[0.0000e+00, 1.3836e-01, 9.5720e-03]'	'[1.7456e+00, 4.9092e-01, 8.8861e-02]'
0,55	'[1.0000e+00, 1.0000e+00, 3.0250e-01]'	'[0.0000e+00, 1.6646e+00, 2.7363e+00]'	'[5.0577e+09, 1.0000e+04, 1.0000e+08]'	'[3.2331e-04, 6.5518e-04, 4.2054e-07]'	'[1.0500e+00, 1.2043e+00, 5.4383e-01]'
0,60	'[1.0000e+00, 1.0000e+00, 3.6000e-01]'	'[1.2501e+00, 8.5052e-01, 5.9380e-01]'	'[0.0000e+00, 1.0000e+04, 1.0000e+08]'	'[1.6556e+01, 7.9542e+02, 6.3268e+05]'	'[2.0416e+00, 4.2443e-01, 1.0475e-01]'
0,60	'[1.0000e+00, 1.0000e+00, 3.6000e-01]'	'[0.0000e+00, 1.6130e+00, 2.6017e+00]'	'[4.3617e-01, 4.4578e+00, 1.6125e+01]'	'[5.3671e-01, 1.9671e+00, 1.9909e+00]'	'[1.0029e+00, 1.0061e+00, 3.7267e-01]'

0,65	'[1.0000e+00, 1.0000e+00, 4.2250e-01]'	'[1.2455e+00, 8.6194e-01, 6.9212e-01]'	'[1.0000e+00, 9.9501e-01, 4.2250e-01]'	'[4.4854e-01, 2.6620e-01, 5.0286e-02]'	'[0.0000e+00, 1.4177e+00, 9.5703e-01]'
0,65	'[1.0000e+00, 1.0000e+00, 4.2250e-01]'	'[0.0000e+00, 1.2723e+00, 9.0677e-01]'	'[1.3117e-01, 1.5204e+00, 7.0211e-01]'	'[1.3167e+04, 2.0000e+04, 2.0000e+08]'	'[8.6620e-01, 9.9005e-01, 4.2705e-01]'
0,70	'[1.0000e+00, 1.0000e+00, 4.9000e-01]'	'[1.2634e+00, 9.8839e-01, 9.7691e-01]'	'[4.7353e-01, 4.6745e+03, 2.1851e+07]'	'[9.8686e-01, 8.4522e-01, 7.1439e-01]'	'[0.0000e+00, 1.1908e+00, 7.7626e-01]'
0,70	'[1.0000e+00, 1.0000e+00, 4.9000e-01]'	'[2.9780e-01, 1.5471e+00, 2.1654e+00]'	'[0.0000e+00, 1.4918e-02, 5.5944e-05]'	'[1.3280e+02, 4.7483e+03, 2.2547e+07]'	'[9.8647e-01, 9.9490e-01, 4.8994e-01]'
0,75	'[1.0000e+00, 1.0000e+00, 5.6250e-01]'	'[6.9952e-01, 3.2231e+00, 1.0388e+01]'	'[6.3672e-02, 1.1684e-02, 1.8627e-05]'	'[6.5886e-02, 5.0425e-03, 1.2713e-05]'	'[0.0000e+00, 1.0635e+00, 7.0855e-01]'
0,75	'[1.0000e+00, 1.0000e+00, 5.6250e-01]'	'[2.7938e-01, 1.5986e+00, 1.4890e+00]'	'[9.9651e-01, 1.0000e+00, 5.6250e-01]'	'[1.0018e+00, 1.0654e+00, 7.0687e-01]'	'[1.0018e+00, 1.0654e+00, 7.0687e-01]'
0,80	'[1.0000e+00, 1.0000e+00, 6.4000e-01]'	'[0.0000e+00, 1.6164e+00, 2.5212e+00]'	'[0.0000e+00, 7.7980e-01, 4.5788e-01]'	'[0.0000e+00, 7.8069e-01, 4.5981e-01]'	'[0.0000e+00, 9.9936e-01, 7.0822e-01]'
0,80	'[1.0000e+00, 1.0000e+00, 6.4000e-01]'	'[0.0000e+00, 1.2141e+00, 8.9121e-01]'	'[9.9648e-01, 1.0000e+00, 6.4000e-01]'	'[1.0010e+00, 1.1011e+00, 8.6282e-01]'	'[7.8083e-01, 1.0436e+00, 8.1490e-01]'
0,85	'[1.0000e+00, 1.0000e+00, 7.2250e-01]'	'[0.0000e+00, 1.2981e+00, 1.6849e+00]'	'[1.0000e+00, 9.9502e-01, 7.2250e-01]'	'[0.0000e+00, 1.0000e+04, 1.0000e+08]'	'[1.8909e+00, 5.2482e-01, 9.1821e-02]'
0,85	'[1.0000e+00, 1.0000e+00, 7.2250e-01]'	'[8.5825e-01, 2.4099e+00, 5.5366e+00]'	'[9.9642e-01, 1.0000e+00, 7.2250e-01]'	'[9.9938e-01, 1.1403e+00, 1.0341e+00]'	'[8.0303e-01, 1.0284e+00, 8.4261e-01]'
0,90	'[1.0000e+00, 1.0000e+00, 8.1000e-01]'	'[0.0000e+00, 1.0672e+00, 1.1388e+00]'	'[1.0000e+00, 9.9500e-01, 8.1000e-01]'	'[1.7534e+00, 6.5764e-01, 2.1625e-01]'	'[8.6878e-01, 3.8824e-01, 6.5527e-02]'
0,90	'[1.0000e+00, 1.0000e+00, 8.1000e-01]'	'[0.0000e+00, 1.1753e+00, 8.3759e-01]'	'[1.0027e+00, 1.0025e+00, 8.1363e-01]'	'[9.9925e-01, 1.1411e+00, 1.1233e+00]'	'[9.9925e-01, 1.1411e+00, 1.1233e+00]'
0,95	'[1.0000e+00, 1.0000e+00, 9.0250e-01]'	'[1.0000e+00, 9.9500e-01, 9.0250e-01]'	'[1.0000e+00, 9.9500e-01, 9.0250e-01]'	'[9.5296e-01, 6.1408e-01, 3.0392e-01]'	'[9.9066e-01, 8.1142e-01, 5.8244e-01]'
0,95	'[1.0000e+00, 1.0000e+00, 9.0250e-01]'	'[9.8612e-01, 1.3615e+00, 1.7617e+00]'	'[7.2990e-01, 1.2970e+00, 8.9782e-01]'	'[1.0018e+00, 1.0831e+00, 1.0859e+00]'	'[1.0018e+00, 1.0831e+00, 1.0859e+00]'
odch 1 pro sigma <=0.65	'[0.0000e+00, 0.0000e+00, 0.0000e+00]'	'[1.0835e+01, 1.0401e+01, 1.3243e+02]'	'[2.5580e+19, 2.9995e+08, 3.0000e+16]'	'[1.7334e+08, 4.9982e+08, 4.9850e+16]'	'[8.9517e+00, 1.3707e+00, 3.5978e+00]'
odch 2 pro sigma >0.65	'[0.0000e+00, 0.0000e+00, 0.0000e+00]'	'[6.1923e+00, 8.2683e+00, 1.2900e+02]'	'[3.2269e+00, 2.1842e+07, 4.7747e+14]'	'[1.7374e+04, 1.2252e+08, 1.0508e+16]'	'[3.8980e+00, 7.0989e-01, 1.3601e+00]'
Celková odchyška	'[0.0000e+00, 0.0000e+00, 0.0000e+00]'	'[1.7028e+01, 1.8670e+01, 2.6143e+02]'	'[2.5580e+19, 3.2179e+08, 3.0477e+16]'	'[1.7336e+08, 6.2233e+08, 6.0358e+16]'	'[1.2850e+01, 2.0806e+00, 4.9578e+00]'
Vážená odchyška 1.	0,0000E+00	6,0179E+01	2,5590E+19	1,6617E+16	1,0836E+01
Vážená odchyška 2.	0,0000E+00	5,3327E+01	1,5916E+14	3,5028E+15	4,7063E+00
Vážená odchyška P1	0,0000E+00	4,6710E+01	6,8258E+15	3,3335E+15	1,1884E+01
Vážená odchyška P2	0,0000E+00	6,6796E+01	2,5584E+19	1,6786E+16	3,6589E+00
Celková váž. odch.	0,0000E+00	1,1351E+02	2,5590E+19	2,0119E+16	1,5543E+01

Tabulka č. 20 Charakteristická čísla pro signál Step s 5% šumem

sigma	F	P1D	P2D	P2	P3
0,35	'[1.0000e+00, 1.0000e+00, 1.2250e-01]'	'[9.9965e-01, 9.9776e-01, 1.2739e-01]'	'[9.9979e-01, 1.0154e+00, 1.3151e-01]'	'[1.0003e+00, 1.0694e+00, 5.7183e-01]'	'[1.0011e+00, 1.3384e+00, 6.5817e-01]'
0,35	'[1.0000e+00, 1.0000e+00, 1.2250e-01]'	'[1.0039e+00, 1.0422e+00, 1.7287e-01]'	'[9.9736e-01, 1.0642e+00, 2.0753e-01]'	'[1.0134e+00, 1.0607e+00, 5.6258e-01]'	'[1.0015e+00, 1.4681e+00, 8.0123e-01]'
0,40	'[1.0000e+00, 1.0000e+00, 1.6000e-01]'	'[9.9955e-01, 9.9812e-01, 1.5638e-01]'	'[9.9958e-01, 9.9953e-01, 1.5708e-01]'	'[9.5119e-01, 1.3192e+00, 8.7184e-01]'	'[1.0009e+00, 1.3687e+00, 6.9256e-01]'
0,40	'[1.0000e+00, 1.0000e+00, 1.6000e-01]'	'[1.0042e+00, 1.0428e+00, 2.2520e-01]'	'[1.0008e+00, 1.0340e+00, 1.9006e-01]'	'[1.0123e+00, 1.0309e+00, 5.3148e-01]'	'[9.9538e-01, 1.0923e+00, 5.1567e-01]'
0,45	'[1.0000e+00, 1.0000e+00, 2.0250e-01]'	'[9.9934e-01, 9.9723e-01, 2.0442e-01]'	'[9.9933e-01, 9.9732e-01, 2.0420e-01]'	'[9.9998e-01, 9.9388e-01, 4.9417e-01]'	'[9.9718e-01, 8.5845e+00, 3.1967e+01]'
0,45	'[1.0000e+00, 1.0000e+00, 2.0250e-01]'	'[1.0045e+00, 1.0511e+00, 2.9738e-01]'	'[1.0006e+00, 1.0355e+00, 2.4883e-01]'	'[1.0102e+00, 1.0371e+00, 5.3782e-01]'	'[1.7142e+03, 2.0663e+06, 4.2697e+12]'
0,50	'[1.0000e+00, 1.0000e+00, 2.5000e-01]'	'[1.0006e+00, 9.9133e-01, 2.4870e-01]'	'[1.0005e+00, 9.8935e-01, 2.4653e-01]'	'[9.7752e-01, 1.2466e+00, 7.7697e-01]'	'[1.0014e+00, 1.1957e+00, 5.4739e-01]'
0,50	'[1.0000e+00, 1.0000e+00, 2.5000e-01]'	'[1.0060e+00, 1.0501e+00, 3.6066e-01]'	'[1.0058e+00, 1.0506e+00, 3.5561e-01]'	'[1.0013e+00, 1.1258e+00, 6.3394e-01]'	'[1.0090e+00, 1.0583e+00, 5.5996e-01]'
0,55	'[1.0000e+00, 1.0000e+00, 3.0250e-01]'	'[1.0016e+00, 1.0039e+00, 3.1207e-01]'	'[1.0015e+00, 1.0022e+00, 3.1025e-01]'	'[1.0069e+00, 1.0009e+00, 5.0095e-01]'	'[1.0025e+00, 1.1126e+00, 5.1003e-01]'
0,55	'[1.0000e+00, 1.0000e+00, 3.0250e-01]'	'[1.0042e+00, 1.0484e+00, 4.1478e-01]'	'[1.0002e+00, 1.0249e+00, 3.3571e-01]'	'[1.0010e+00, 1.0194e+00, 5.1958e-01]'	'[8.7649e-01, 9.7292e+00, 5.7671e-01]'
0,60	'[1.0000e+00, 1.0000e+00, 3.6000e-01]'	'[9.9951e-01, 9.9054e-01, 3.5750e-01]'	'[9.9950e-01, 9.9027e-01, 3.5763e-01]'	'[1.0027e+00, 9.7899e-01, 4.7921e-01]'	'[1.0003e+00, 1.1015e+00, 5.2439e-01]'
0,60	'[1.0000e+00, 1.0000e+00, 3.6000e-01]'	'[1.0042e+00, 1.0439e+00, 4.6477e-01]'	'[9.9963e-01, 1.0599e+00, 4.2854e-01]'	'[9.9511e-01, 1.1892e+00, 7.0709e-01]'	'[9.9997e-01, 1.0008e+00, 3.6279e-01]'
0,65	'[1.0000e+00, 1.0000e+00, 4.2250e-01]'	'[9.9936e-01, 9.8486e-01, 4.1180e-01]'	'[9.9936e-01, 9.8678e-01, 4.1185e-01]'	'[1.0003e+00, 9.6406e-01, 4.6471e-01]'	'[9.9728e-01, 9.7452e-01, 3.8770e-01]'
0,65	'[1.0000e+00, 1.0000e+00, 4.2250e-01]'	'[1.0030e+00, 1.0469e+00, 5.4830e-01]'	'[9.9673e-01, 1.0386e+00, 4.6478e-01]'	'[1.0155e+00, 1.0809e+00, 1.1683e+00]'	'[9.9867e-01, 1.0076e+00, 4.1844e-01]'
0,70	'[1.0000e+00, 1.0000e+00, 4.9000e-01]'	'[9.9874e-01, 9.9088e-01, 4.7633e-01]'	'[9.9872e-01, 9.9073e-01, 4.7577e-01]'	'[9.9773e-01, 9.6244e-01, 4.6314e-01]'	'[9.9698e-01, 9.6695e-01, 4.3706e-01]'
0,70	'[1.0000e+00, 1.0000e+00, 4.9000e-01]'	'[1.0062e+00, 1.0464e+00, 6.4598e-01]'	'[1.0015e+00, 1.0098e+00, 5.0987e-01]'	'[1.0017e+00, 1.0036e+00, 5.0364e-01]'	'[1.0017e+00, 1.0052e+00, 5.0193e-01]'
0,75	'[1.0000e+00, 1.0000e+00, 5.6250e-01]'	'[9.9973e-01, 9.9043e-01, 5.5477e-01]'	'[9.9964e-01, 9.8959e-01, 5.5196e-01]'	'[9.9777e-01, 9.6197e-01, 5.0688e-01]'	'[1.0000e+00, 1.0103e+00, 6.0449e-01]'
0,75	'[1.0000e+00, 1.0000e+00, 5.6250e-01]'	'[1.0029e+00, 1.0248e+00, 6.8347e-01]'	'[9.9854e-01, 1.0118e+00, 5.4008e-01]'	'[9.9903e-01, 9.9027e-01, 5.5405e-01]'	'[9.9217e-01, 9.2083e+00, 7.0379e+01]'
0,80	'[1.0000e+00, 1.0000e+00, 6.4000e-01]'	'[9.9923e-01, 9.9117e-01, 6.4895e-01]'	'[9.9928e-01, 9.9489e-01, 6.5133e-01]'	'[9.9817e-01, 9.7477e-01, 6.2484e-01]'	'[9.9863e-01, 9.8226e-01, 6.3643e-01]'



0,80	'[1.0000e+00, 1.0000e+00, 6.4000e-01]'	'[1.0000e+00, 1.0268e+00, 7.0838e-01]'	'[9.9743e-01, 1.0012e+00, 6.2664e-01]'	'[9.9741e-01, 1.0010e+00, 6.2615e-01]'	'[9.9469e-01, 2.6917e+00, 3.8566e+00]'
0,85	'[1.0000e+00, 1.0000e+00, 7.2250e-01]'	'[1.0013e+00, 9.9702e-01, 7.3085e-01]'	'[1.0013e+00, 9.9932e-01, 7.3362e-01]'	'[1.0080e+00, 1.0200e+00, 1.0404e+00]'	'[1.0010e+00, 9.9175e-01, 7.2601e-01]'
0,85	'[1.0000e+00, 1.0000e+00, 7.2250e-01]'	'[1.0033e+00, 1.0225e+00, 7.9693e-01]'	'[1.0022e+00, 1.0122e+00, 7.6118e-01]'	'[1.0020e+00, 1.0105e+00, 7.5719e-01]'	'[1.0022e+00, 1.0123e+00, 7.6155e-01]'
0,90	'[1.0000e+00, 1.0000e+00, 8.1000e-01]'	'[1.0002e+00, 9.8706e-01, 7.8657e-01]'	'[8.8203e-01, 5.4241e+00, 2.7154e+01]'	'[2.2414e+00, 2.8519e+05, 8.1332e+10]'	'[9.9929e-01, 9.8367e-01, 7.5390e-01]'
0,90	'[1.0000e+00, 1.0000e+00, 8.1000e-01]'	'[9.9837e-01, 9.9995e-01, 8.1543e-01]'	'[9.9774e-01, 9.9491e-01, 2.7154e+01]'	'[9.9755e-01, 9.9249e-01, 7.8724e-01]'	'[9.9773e-01, 9.9474e-01, 7.9254e-01]'
0,95	'[1.0000e+00, 1.0000e+00, 9.0250e-01]'	'[1.0009e+00, 9.9866e-01, 9.1903e-01]'	'[1.0009e+00, 1.0004e+00, 9.1912e-01]'	'[1.0009e+00, 9.9806e-01, 9.2168e-01]'	'[1.0010e+00, 1.0135e+00, 9.2900e-01]'
0,95	'[1.0000e+00, 1.0000e+00, 9.0250e-01]'	'[1.0004e+00, 9.9737e-01, 9.0289e-01]'	'[1.0001e+00, 1.0116e+00, 8.8573e-01]'	'[1.0026e+00, 1.0042e+00, 1.0084e+00]'	'[1.0001e+00, 9.9493e-01, 8.8666e-01]'
odch 1 pro sigma <=0.65	'[0.0000e+00, 0.0000e+00, 0.0000e+00]'	'[1.3727e-04, 1.5629e-02, 6.7700e-02]'	'[5.6519e-05, 1.5414e-02, 2.9037e-02]'	'[3.6454e-03, 2.3383e-01, 2.4420e+00]'	'[2.9350e+06, 4.2697e+12, 1.8231e+25]'
odch 2 pro sigma >0.65	'[0.0000e+00, 0.0000e+00, 0.0000e+00]'	'[6.5658e-05, 4.4383e-03, 5.0428e-02]'	'[1.3943e-02, 1.9573e+01, 6.9402e+02]'	'[1.5413e+00, 8.1332e+10, 6.6149e+21]'	'[1.1571e-04, 7.0240e+01, 4.8846e+03]'
Celková odchylka	'[0.0000e+00, 0.0000e+00, 0.0000e+00]'	'[2.0293e-04, 2.0067e-02, 1.1813e-01]'	'[1.4000e-02, 1.9589e+01, 6.9404e+02]'	'[1.5449e+00, 8.1332e+10, 6.6149e+21]'	'[2.9350e+06, 4.2697e+12, 1.8231e+25]'
Vážená odchylka 1.	0,0000E+00	3,0518E-02	1,7442E-02	9,3457E-01	6,0769E+24
Vážená odchylka 2.	0,0000E+00	1,9094E-02	2,4114E+02	2,2050E+21	1,6633E+03
Vážená odchylka P1	0,0000E+00	9,2820E-04	2,4114E+02	2,2050E+21	3,6550E+02
Vážená odchylka P2	0,0000E+00	4,8684E-02	1,8376E-02	4,7604E-01	6,0769E+24
Celková váž. odch.	0,0000E+00	4,9612E-02	2,4116E+02	2,2050E+21	6,0769E+24

Tabulka č. 21 Charakteristická čísla pro signál Pulse1 s 5% šumem

sigma	F	P1D	P2D	P2	P3
0,35	'[1.0000e+00, 1.0000e+00, 1.2250e-01]'	'[9.9359e-01, 9.9940e-01, 1.1929e-01]'	'[9.9367e-01, 9.9926e-01, 1.1927e-01]'	'[1.6030e+00, 1.0382e+00, 5.3890e-01]'	'[1.5855e+00, 8.6426e-01, 2.4898e-01]'
0,35	'[1.0000e+00, 1.0000e+00, 1.2250e-01]'	'[1.0131e+00, 1.0723e+00, 1.9808e-01]'	'[9.9101e-01, 1.0489e+00, 1.5201e-01]'	'[1.1568e+00, 1.1004e+00, 6.0544e-01]'	'[1.3997e+00, 1.2323e+00, 5.2319e-01]'
0,40	'[1.0000e+00, 1.0000e+00, 1.6000e-01]'	'[1.0016e+00, 1.0035e+00, 1.6368e-01]'	'[1.0012e+00, 1.0021e+00, 1.6202e-01]'	'[1.5716e+00, 9.0475e-01, 4.0928e-01]'	'[1.4784e+00, 8.6377e-01, 2.4936e-01]'
0,40	'[1.0000e+00, 1.0000e+00, 1.6000e-01]'	'[1.0052e+00, 1.0837e+00, 2.5547e-01]'	'[9.8535e-01, 1.0489e+00, 1.9118e-01]'	'[1.5263e+00, 1.0366e+00, 5.5196e-01]'	'[1.4426e+00, 1.0718e+00, 4.2286e-01]'
0,45	'[1.0000e+00, 1.0000e+00, 2.0250e-01]'	'[1.0024e+00, 1.0002e+00, 2.0631e-01]'	'[1.0028e+00, 1.0010e+00, 2.0668e-01]'	'[1.5401e+00, 9.2353e-01, 4.2684e-01]'	'[1.5326e+00, 9.2622e-01, 3.4907e-01]'
0,45	'[1.0000e+00, 1.0000e+00, 2.0250e-01]'	'[1.0044e+00, 1.0977e+00, 3.2651e-01]'	'[9.7515e-01, 1.0633e+00, 2.4202e-01]'	'[1.4549e+00, 9.8532e-01, 4.8552e-01]'	'[1.2894e+00, 9.7346e-01, 3.2319e-01]'
0,50	'[1.0000e+00, 1.0000e+00, 2.5000e-01]'	'[9.9256e-01, 9.9816e-01, 2.4371e-01]'	'[9.9154e-01, 9.9560e-01, 2.3960e-01]'	'[1.4194e+00, 9.3308e-01, 4.3532e-01]'	'[1.2877e+00, 8.5976e-01, 2.4639e-01]'
0,50	'[1.0000e+00, 1.0000e+00, 2.5000e-01]'	'[9.9341e-01, 1.1084e+00, 4.0138e-01]'	'[9.5043e-01, 1.0687e+00, 2.7830e-01]'	'[1.3375e+00, 1.0328e+00, 5.3338e-01]'	'[1.1794e+00, 9.6577e-01, 3.1090e-01]'
0,55	'[1.0000e+00, 1.0000e+00, 3.0250e-01]'	'[9.9122e-01, 9.9859e-01, 2.9902e-01]'	'[9.9078e-01, 9.9981e-01, 2.9881e-01]'	'[1.3769e+00, 9.0441e-01, 4.1523e-01]'	'[1.1862e+00, 5.0844e+00, 2.5330e+01]'
0,55	'[1.0000e+00, 1.0000e+00, 3.0250e-01]'	'[9.9418e-01, 1.1097e+00, 4.8000e-01]'	'[9.7012e-01, 1.0399e+00, 3.2903e-01]'	'[1.2607e+00, 9.9083e-01, 4.9087e-01]'	'[1.0629e+00, 9.7682e-01, 3.1806e-01]'
0,60	'[1.0000e+00, 1.0000e+00, 3.6000e-01]'	'[9.9467e-01, 9.9212e-01, 3.4626e-01]'	'[9.9345e-01, 9.9165e-01, 3.492e-01]'	'[1.2948e+00, 8.8189e-01, 3.8958e-01]'	'[1.1790e+00, 8.8306e-01, 3.2162e-01]'
0,60	'[1.0000e+00, 1.0000e+00, 3.6000e-01]'	'[9.9147e-01, 1.1229e+00, 5.6093e-01]'	'[9.7206e-01, 1.0414e+00, 3.8374e-01]'	'[1.1707e+00, 1.0403e+00, 5.4111e-01]'	'[1.1542e+00, 5.6086e+00, 2.0756e+01]'
0,65	'[1.0000e+00, 1.0000e+00, 4.2250e-01]'	'[9.9833e-01, 1.0004e+00, 4.1982e-01]'	'[9.9586e-01, 1.0057e+00, 4.2084e-01]'	'[1.2159e+00, 8.8046e-01, 3.8761e-01]'	'[1.1311e+00, 9.2859e-01, 4.0399e-01]'
0,65	'[1.0000e+00, 1.0000e+00, 4.2250e-01]'	'[9.9321e-01, 1.1143e+00, 6.3998e-01]'	'[1.0115e+00, 1.0131e+00, 4.5008e-01]'	'[1.1005e+00, 9.9393e-01, 4.9399e-01]'	'[9.9368e-01, 1.0061e+00, 4.3321e-01]'
0,70	'[1.0000e+00, 1.0000e+00, 4.9000e-01]'	'[9.9817e-01, 9.9679e-01, 4.8241e-01]'	'[9.9972e-01, 9.9662e-01, 4.8412e-01]'	'[1.1594e+00, 8.8918e-01, 4.2791e-01]'	'[1.0830e+00, 9.3249e-01, 4.5795e-01]'
0,70	'[1.0000e+00, 1.0000e+00, 4.9000e-01]'	'[9.8198e-01, 1.1233e+00, 7.3378e-01]'	'[1.0025e+00, 1.0117e+00, 5.1729e-01]'	'[1.0014e+00, 1.0053e+00, 5.0526e-01]'	'[8.4603e-01, 6.3457e+00, 3.0199e+01]'
0,75	'[1.0000e+00, 1.0000e+00, 5.6250e-01]'	'[9.9821e-01, 1.0012e+00, 5.6171e-01]'	'[9.9768e-01, 1.0011e+00, 5.6130e-01]'	'[1.1111e+00, 9.1933e-01, 5.1446e-01]'	'[1.1565e+00, 9.0783e+00, 7.0353e+01]'
0,75	'[1.0000e+00, 1.0000e+00, 5.6250e-01]'	'[1.0135e+00, 1.0939e+00, 7.8696e-01]'	'[1.0063e+00, 1.0056e+00, 5.6113e-01]'	'[9.9885e-01, 1.0021e+00, 5.6560e-01]'	'[9.9588e-01, 1.0052e+00, 5.6777e-01]'
0,80	'[1.0000e+00, 1.0000e+00, 6.4000e-01]'	'[9.9065e-01, 1.0083e+00, 6.4706e-01]'	'[9.8972e-01, 1.0084e+00, 6.4634e-01]'	'[1.0733e+00, 9.5120e-01, 6.2039e-01]'	'[1.0326e+00, 9.7524e-01, 6.3322e-01]'
0,80	'[1.0000e+00, 1.0000e+00, 6.4000e-01]'	'[1.0158e+00, 1.0638e+00, 7.8724e-01]'	'[1.0040e+00, 9.9731e-01, 6.1329e-01]'	'[1.0040e+00, 9.9480e-01, 6.1881e-01]'	'[1.0015e+00, 9.9530e-01, 6.1776e-01]'
0,85	'[1.0000e+00, 1.0000e+00, 7.2250e-01]'	'[9.9861e-01, 9.9927e-01, 7.2141e-01]'	'[9.9934e-01, 1.0060e+00, 7.2483e-01]'	'[1.0502e+00, 9.6651e-01, 7.1325e-01]'	'[9.9967e-01, 1.0271e+00, 7.5403e-01]'
0,85	'[1.0000e+00, 1.0000e+00, 7.2250e-01]'	'[1.0129e+00, 1.0375e+00, 8.1708e-01]'	'[1.0135e+00, 1.0044e+00, 7.1951e-01]'	'[1.0065e+00, 9.9834e-01, 7.2211e-01]'	'[1.0139e+00, 1.0235e+00, 7.2228e-01]'
0,90	'[1.0000e+00, 1.0000e+00, 8.1000e-01]'	'[9.9466e-01, 1.0022e+00, 8.1000e-01]'	'[9.9522e-01, 1.0119e+00, 8.0894e-01]'	'[1.0271e+00, 9.8320e-01, 8.0003e-01]'	'[9.9528e-01, 9.9364e-01, 7.8785e-01]'
0,90	'[1.0000e+00, 1.0000e+00, 8.1000e-01]'	'[1.0035e+00, 1.0225e+00, 8.6240e-01]'	'[1.0066e+00, 1.0104e+00, 8.0930e-01]'	'[1.0007e+00, 1.0033e+00, 8.1589e-01]'	'[9.9336e-01, 1.0042e+00, 8.1001e-01]'
0,95	'[1.0000e+00, 1.0000e+00, 9.0250e-01]'	'[1.0023e+00, 9.9203e-01, 8.8742e-01]'	'[1.0039e+00, 9.9236e-01, 8.9088e-01]'	'[9.9412e-01, 9.8959e-01, 8.7518e-01]'	'[9.8818e-01, 5.3512e+00, 2.0171e+01]'
0,95	'[1.0000e+00, 1.0000e+00, 9.0250e-01]'	'[9.9872e-01, 1.0063e+00, 9.1272e-01]'	'[1.0012e+00, 1.0034e+00, 9.0886e-01]'	'[1.0011e+00, 1.0008e+00, 9.0338e-01]'	'[1.0012e+00, 1.0025e+00, 9.0699e-01]'



odch 1 pro sigma <=0.65	'[0.0000e+00, 0.0000e+00, 0.0000e+00]'	'[6.2718e-04, 7.3814e-02, 1.7258e-01]'	'[5.4423e-03, 1.7103e-02, 6.6179e-03]'	'[2.1632e+00, 7.2685e-02, 9.5567e-01]'	'[1.5212e+00, 3.8064e+01, 1.0427e+03]'
odch 2 pro sigma >0.65	'[0.0000e+00, 0.0000e+00, 0.0000e+00]'	'[1.0661e-03, 3.0209e-02, 1.4369e-01]'	'[3.9564e-04, 6.3344e-04, 1.7277e-03]'	'[4.6470e-02, 2.2756e-02, 8.2064e-03]'	'[5.6560e-02, 1.1277e+02, 6.1246e+03]'
Celková odchylka	'[0.0000e+00, 0.0000e+00, 0.0000e+00]'	'[1.6932e-03, 1.0402e-01, 3.1627e-01]'	'[5.8379e-03, 1.7736e-02, 8.3456e-03]'	'[2.2096e+00, 9.5441e-02, 9.6388e-01]'	'[1.5778e+00, 1.5084e+02, 7.1673e+03]'
Vážená odchylka 1.	0,0000E+00	9,5061E-02	1,6200E-02	2,5181E+00	3,6811E+02
Vážená odchylka 2.	0,0000E+00	6,4068E-02	1,2883E-03	6,0584E-02	2,0980E+03
Vážená odchylka P1	0,0000E+00	6,8824E-04	8,3992E-04	1,6346E+00	2,0077E+03
Vážená odchylka P2	0,0000E+00	1,5844E-01	1,6648E-02	9,4402E-01	4,5841E+02
Celková váž. odch.	0,0000E+00	1,5913E-01	1,7488E-02	2,5787E+00	2,4661E+03

Tabulka č. 22 Charakteristická čísla pro signál Double Pulse s 5% šumem

sigma	F	P1D	P2D	P2	P3
0,35	'[1.0000e+00, 1.0000e+00, 1.2250e-01]'	'[1.0086e+00, 1.0057e+00, 1.2747e-01]'	'[9.6298e-01, 2.1352e+00, 1.9862e+00]'	'[6.9391e-01, 1.6260e+00, 1.3220e+00]'	'[5.9232e-01, 6.3901e+00, 3.5975e+01]'
0,35	'[1.0000e+00, 1.0000e+00, 1.2250e-01]'	'[1.0133e+00, 1.1226e+00, 2.3791e-01]'	'[9.3056e-01, 1.0880e+00, 1.9128e-01]'	'[1.3861e+00, 1.3630e+00, 9.3686e-01]'	'[1.4792e+00, 1.3337e+00, 8.9094e-01]'
0,40	'[1.0000e+00, 1.0000e+00, 1.6000e-01]'	'[1.0063e+00, 1.0045e+00, 1.6385e-01]'	'[1.0061e+00, 1.0044e+00, 1.6369e-01]'	'[1.1992e+00, 1.2810e+00, 8.2046e-01]'	'[1.1442e+00, 1.3115e+01, 1.5356e+02]'
0,40	'[1.0000e+00, 1.0000e+00, 1.6000e-01]'	'[1.0317e+00, 1.1526e+00, 3.4127e-01]'	'[9.8451e-01, 1.0888e+00, 2.3542e-01]'	'[1.3484e+00, 1.2421e+00, 7.9087e-01]'	'[1.0231e+00, 1.4765e+00, 8.1060e-01]'
0,45	'[1.0000e+00, 1.0000e+00, 2.0250e-01]'	'[9.9746e-01, 1.0011e+00, 2.0728e-01]'	'[9.9944e-01, 1.0136e+00, 2.1194e-01]'	'[1.1856e+00, 1.2174e+00, 7.4105e-01]'	'[8.1698e-01, 2.5806e+01, 6.5492e+02]'
0,45	'[1.0000e+00, 1.0000e+00, 2.0250e-01]'	'[1.0403e+00, 1.1813e+00, 4.5598e-01]'	'[8.3282e-01, 1.2104e+00, 4.0404e-01]'	'[1.1440e+00, 1.2727e+00, 8.0992e-01]'	'[1.0154e+00, 1.3006e+00, 6.2555e-01]'
0,50	'[1.0000e+00, 1.0000e+00, 2.5000e-01]'	'[1.0042e+00, 1.0056e+00, 2.5790e-01]'	'[1.0034e+00, 1.0049e+00, 2.5673e-01]'	'[1.4712e+00, 1.8654e+00, 3.4798e+00]'	'[1.1501e+00, 1.0223e+00, 3.4854e-01]'
0,50	'[1.0000e+00, 1.0000e+00, 2.5000e-01]'	'[1.0358e+00, 1.2021e+00, 5.6869e-01]'	'[9.9807e-01, 1.1004e+00, 3.5348e-01]'	'[1.1366e+00, 1.3058e+00, 8.7847e-01]'	'[1.0041e+00, 1.2398e+00, 5.6918e-01]'
0,55	'[1.0000e+00, 1.0000e+00, 3.0250e-01]'	'[9.9425e-01, 9.9825e-01, 2.9960e-01]'	'[9.9450e-01, 1.0033e+00, 3.0193e-01]'	'[1.1812e+00, 1.1750e+00, 6.9032e-01]'	'[1.0144e+00, 1.1934e+00, 5.9614e-01]'
0,55	'[1.0000e+00, 1.0000e+00, 3.0250e-01]'	'[1.0439e+00, 1.2043e+00, 6.6824e-01]'	'[1.0164e+00, 1.0624e+00, 3.7626e-01]'	'[1.1000e+00, 1.1314e+00, 6.4013e-01]'	'[1.1938e+00, 1.1582e+00, 6.8958e-01]'
0,60	'[1.0000e+00, 1.0000e+00, 3.6000e-01]'	'[9.8812e-01, 9.9744e-01, 3.5531e-01]'	'[9.8752e-01, 1.0001e+00, 3.5564e-01]'	'[1.0250e+00, 1.2700e+00, 8.0649e-01]'	'[1.0084e+00, 1.1869e+00, 6.2156e-01]'
0,60	'[1.0000e+00, 1.0000e+00, 3.6000e-01]'	'[1.0349e+00, 1.2054e+00, 7.5925e-01]'	'[9.9395e-01, 1.0465e+00, 4.2637e-01]'	'[1.0989e+00, 1.1755e+00, 6.9107e-01]'	'[9.9385e-01, 9.9266e-01, 3.5263e-01]'
0,65	'[1.0000e+00, 1.0000e+00, 4.2250e-01]'	'[1.0026e+00, 9.9575e-01, 4.1752e-01]'	'[1.0018e+00, 9.9432e-01, 4.1506e-01]'	'[1.1656e+00, 9.9473e-01, 4.9872e-01]'	'[1.0260e+00, 1.0091e+00, 4.2201e-01]'
0,65	'[1.0000e+00, 1.0000e+00, 4.2250e-01]'	'[1.0294e+00, 1.1911e+00, 8.2639e-01]'	'[9.8062e-01, 1.0363e+00, 4.6455e-01]'	'[1.0543e+00, 1.0764e+00, 5.7971e-01]'	'[9.8514e-01, 4.1487e+00, 1.4693e+01]'
0,70	'[1.0000e+00, 1.0000e+00, 4.9000e-01]'	'[1.0091e+00, 1.0031e+00, 4.9414e-01]'	'[1.0088e+00, 1.0014e+00, 4.9134e-01]'	'[1.1072e+00, 9.5116e-01, 4.5235e-01]'	'[1.0279e+00, 9.5768e-01, 4.3911e-01]'
0,70	'[1.0000e+00, 1.0000e+00, 4.9000e-01]'	'[1.0426e+00, 1.2091e+00, 9.7232e-01]'	'[9.9959e-01, 9.9692e-01, 4.8756e-01]'	'[1.0104e+00, 1.0015e+00, 5.0153e-01]'	'[9.9972e-01, 9.9708e-01, 4.8813e-01]'
0,75	'[1.0000e+00, 1.0000e+00, 5.6250e-01]'	'[9.9535e-01, 9.9547e-01, 5.5569e-01]'	'[9.9527e-01, 9.9672e-01, 5.5564e-01]'	'[1.0256e+00, 8.9379e-01, 3.9944e-01]'	'[1.0030e+00, 9.3538e-01, 4.6975e-01]'
0,75	'[1.0000e+00, 1.0000e+00, 5.6250e-01]'	'[1.0430e+00, 1.1814e+00, 9.7383e-01]'	'[1.0050e+00, 9.9805e-01, 5.5054e-01]'	'[1.0050e+00, 9.9809e-01, 5.5450e-01]'	'[1.0050e+00, 9.9810e-01, 5.5450e-01]'
0,80	'[1.0000e+00, 1.0000e+00, 6.4000e-01]'	'[1.0097e+00, 1.0075e+00, 6.5403e-01]'	'[1.0107e+00, 1.0125e+00, 6.5925e-01]'	'[1.0173e+00, 9.1620e-01, 4.9865e-01]'	'[7.3963e-01, 1.3387e+00, 1.3872e+00]'
0,80	'[1.0000e+00, 1.0000e+00, 6.4000e-01]'	'[1.0275e+00, 1.1298e+00, 9.3438e-01]'	'[1.0023e+00, 1.0020e+00, 6.4559e-01]'	'[1.0021e+00, 1.0016e+00, 6.4668e-01]'	'[1.0021e+00, 1.0016e+00, 6.4668e-01]'
0,85	'[1.0000e+00, 1.0000e+00, 7.2250e-01]'	'[9.9147e-01, 1.0012e+00, 7.2060e-01]'	'[9.9191e-01, 1.0050e+00, 7.2257e-01]'	'[9.9225e-01, 9.3560e-01, 6.0197e-01]'	'[9.9035e-01, 9.6324e-01, 6.5315e-01]'
0,85	'[1.0000e+00, 1.0000e+00, 7.2250e-01]'	'[1.0192e+00, 1.0808e+00, 9.0283e-01]'	'[1.0043e+00, 1.0008e+00, 7.2159e-01]'	'[1.0043e+00, 1.0004e+00, 7.2465e-01]'	'[1.0043e+00, 1.0004e+00, 7.2465e-01]'
0,90	'[1.0000e+00, 1.0000e+00, 8.1000e-01]'	'[9.9191e-01, 9.9222e-01, 7.9475e-01]'	'[9.9132e-01, 9.9387e-01, 7.9454e-01]'	'[9.9357e-01, 9.6180e-01, 7.3934e-01]'	'[9.9076e-01, 1.0177e+00, 8.1342e-01]'
0,90	'[1.0000e+00, 1.0000e+00, 8.1000e-01]'	'[9.9657e-01, 1.0330e+00, 8.8387e-01]'	'[9.8674e-01, 9.9061e-01, 7.7763e-01]'	'[9.8683e-01, 9.8852e-01, 7.8518e-01]'	'[9.8683e-01, 9.8852e-01, 7.8518e-01]'
0,95	'[1.0000e+00, 1.0000e+00, 9.0250e-01]'	'[1.0013e+00, 1.0032e+00, 9.1098e-01]'	'[1.0013e+00, 1.0032e+00, 9.1082e-01]'	'[1.0034e+00, 9.9691e-01, 9.0115e-01]'	'[1.0027e+00, 1.0002e+00, 9.0678e-01]'
0,95	'[1.0000e+00, 1.0000e+00, 9.0250e-01]'	'[1.0046e+00, 1.0192e+00, 9.4197e-01]'	'[1.0010e+00, 1.0095e+00, 9.0574e-01]'	'[1.0011e+00, 1.0057e+00, 9.1058e-01]'	'[1.0011e+00, 1.0057e+00, 9.1058e-01]'
odch 1 pro sigma <=0.65	'[0.0000e+00, 0.0000e+00, 0.0000e+00]'	'[8.4189e-03, 2.3255e-01, 6.6847e-01]'	'[3.5303e-02, 1.3662e+00, 3.5464e+00]'	'[7.8327e-01, 1.7828e+00, 1.5025e+01]'	'[5.1225e-01, 8.0168e+02, 4.5368e+05]'
odch 2 pro sigma >0.65	'[0.0000e+00, 0.0000e+00, 0.0000e+00]'	'[5.1603e-03, 1.0163e-01, 5.2859e-01]'	'[5.8254e-04, 4.3619e-04, 1.9670e-03]'	'[1.2891e-02, 2.6476e-02, 6.8436e-02]'	'[6.8987e-02, 1.2252e-01, 5.7518e-01]'
Celková odchylka	'[0.0000e+00, 0.0000e+00, 0.0000e+00]'	'[1.3579e-02, 3.3418e-01, 1.1971e+00]'	'[3.5886e-02, 1.3667e+00, 3.5484e+00]'	'[7.9616e-01, 1.8092e+00, 1.5094e+01]'	'[5.8124e-01, 8.0180e+02, 4.5368e+05]'
Vážená odchylka 1.	0,0000E+00	3,4752E-01	1,9006E+00	6,6831E+00	1,5163E+05
Vážená odchylka 2.	0,0000E+00	2,3217E-01	1,4563E-03	4,8941E-02	3,2197E-01
Vážená odchylka P1	0,0000E+00	1,0432E-03	1,8046E+00	5,5016E+00	1,5155E+05
Vážená odchylka P2	0,0000E+00	5,7865E-01	9,7440E-02	1,2305E+00	7,3848E+01

Celková váž. odch.	0,0000E+00	5,7969E-01	1,9020E+00	6,7320E+00	1,5163E+05
--------------------	------------	------------	------------	------------	------------

**Tabulka č. 23 Charakteristická čísla pro signál Pulse10 s 5% šumem**

sigma	F	P1D	P2D	P2	P3
0,35	'[1.0000e+00, 1.0000e+00, 1.2250e-01]'	'[9.9954e-01, 1.0039e+00, 1.2525e-01]'	'[9.9953e-01, 1.0053e+00, 1.2523e-01]'	'[1.0219e+00, 1.0351e+00, 5.9009e-01]'	'[1.0011e+00, 1.3370e+00, 6.5742e-01]'
0,35	'[1.0000e+00, 1.0000e+00, 1.2250e-01]'	'[1.0019e+00, 1.0390e+00, 1.7591e-01]'	'[1.0004e+00, 1.0353e+00, 1.5332e-01]'	'[1.0241e+00, 9.6515e-01, 4.8029e-01]'	'[1.0117e+00, 1.1683e+00, 6.8241e-01]'
0,40	'[1.0000e+00, 1.0000e+00, 1.6000e-01]'	'[9.9880e-01, 9.9839e-01, 1.5440e-01]'	'[1.0255e+00, 3.4991e+01, 1.1634e+03]'	'[1.0184e+00, 9.7271e-01, 4.7309e-01]'	'[1.0004e+00, 1.3184e+00, 6.4121e-01]'
0,40	'[1.0000e+00, 1.0000e+00, 1.6000e-01]'	'[1.0011e+00, 1.0475e+00, 2.1407e-01]'	'[9.9971e-01, 1.0401e+00, 1.8826e-01]'	'[1.0176e+00, 1.0564e+00, 5.6145e-01]'	'[1.0010e+00, 1.2766e+00, 5.9790e-01]'
0,45	'[1.0000e+00, 1.0000e+00, 2.0250e-01]'	'[9.9906e-01, 1.0018e+00, 2.0745e-01]'	'[9.9906e-01, 1.0018e+00, 2.0743e-01]'	'[1.0129e+00, 9.6808e-01, 4.6859e-01]'	'[1.0000e+00, 1.2494e+00, 5.8475e-01]'
0,45	'[1.0000e+00, 1.0000e+00, 2.0250e-01]'	'[1.0019e+00, 1.0434e+00, 2.7989e-01]'	'[1.0001e+00, 1.0365e+00, 2.3398e-01]'	'[1.0121e+00, 1.0260e+00, 5.2634e-01]'	'[1.0003e+00, 1.1948e+00, 5.2133e-01]'
0,50	'[1.0000e+00, 1.0000e+00, 2.5000e-01]'	'[1.0003e+00, 1.0022e+00, 2.5368e-01]'	'[1.0004e+00, 1.0048e+00, 2.5471e-01]'	'[1.0146e+00, 9.5968e-01, 4.6846e-01]'	'[1.0023e+00, 1.1434e+00, 5.0946e-01]'
0,50	'[1.0000e+00, 1.0000e+00, 2.5000e-01]'	'[1.0027e+00, 1.0429e+00, 3.4046e-01]'	'[1.0005e+00, 1.1048e+00, 3.8336e-01]'	'[1.0140e+00, 1.0109e+00, 5.1362e-01]'	'[1.0019e+00, 1.1393e+00, 4.7397e-01]'
0,55	'[1.0000e+00, 1.0000e+00, 3.0250e-01]'	'[9.9918e-01, 1.0002e+00, 2.9898e-01]'	'[9.9913e-01, 1.0001e+00, 2.9819e-01]'	'[1.0110e+00, 9.8736e-01, 5.0828e-01]'	'[1.0000e+00, 1.1200e+00, 5.0808e-01]'
0,55	'[1.0000e+00, 1.0000e+00, 3.0250e-01]'	'[1.0006e+00, 1.0461e+00, 4.0799e-01]'	'[9.9894e-01, 1.0224e+00, 3.3477e-01]'	'[1.0032e+00, 1.1554e+00, 6.6746e-01]'	'[1.0103e+00, 9.7789e-01, 4.7814e-01]'
0,60	'[1.0000e+00, 1.0000e+00, 3.6000e-01]'	'[9.9929e-01, 9.9446e-01, 3.5123e-01]'	'[9.9932e-01, 9.9359e-01, 3.5022e-01]'	'[1.0072e+00, 9.6938e-01, 4.6989e-01]'	'[1.0052e+00, 1.0171e+00, 5.1722e-01]'
0,60	'[1.0000e+00, 1.0000e+00, 3.6000e-01]'	'[9.9989e-01, 1.0471e+00, 4.7515e-01]'	'[9.9764e-01, 1.0932e+00, 4.7292e-01]'	'[9.9718e-01, 1.2036e+00, 7.2438e-01]'	'[9.9799e-01, 3.1270e+00, 5.4847e+00]'
0,65	'[1.0000e+00, 1.0000e+00, 4.2250e-01]'	'[1.0013e+00, 9.9813e-01, 4.2116e-01]'	'[1.0013e+00, 9.9796e-01, 4.2123e-01]'	'[1.0068e+00, 9.5280e-01, 4.5392e-01]'	'[1.0014e+00, 9.9620e-01, 4.5650e-01]'
0,65	'[1.0000e+00, 1.0000e+00, 4.2250e-01]'	'[1.0022e+00, 1.0369e+00, 5.5209e-01]'	'[1.0011e+00, 9.9722e-01, 4.4412e-01]'	'[1.0038e+00, 9.9009e-01, 4.9014e-01]'	'[1.0001e+00, 2.1288e+00, 2.2458e+00]'
0,70	'[1.0000e+00, 1.0000e+00, 4.9000e-01]'	'[1.0012e+00, 1.0064e+00, 4.9485e-01]'	'[1.0013e+00, 1.0056e+00, 4.9406e-01]'	'[1.0035e+00, 9.6615e-01, 4.7253e-01]'	'[1.0017e+00, 9.9078e-01, 4.9253e-01]'
0,70	'[1.0000e+00, 1.0000e+00, 4.9000e-01]'	'[1.0015e+00, 1.0386e+00, 6.0082e-01]'	'[1.0001e+00, 9.9887e-01, 4.8123e-01]'	'[1.0010e+00, 9.9589e-01, 4.9589e-01]'	'[1.0002e+00, 9.9821e-01, 4.8179e-01]'
0,75	'[1.0000e+00, 1.0000e+00, 5.6250e-01]'	'[1.0018e+00, 1.0012e+00, 5.6960e-01]'	'[1.0018e+00, 1.0008e+00, 5.6740e-01]'	'[1.0037e+00, 9.7079e-01, 5.5329e-01]'	'[9.8703e-01, 2.1925e+01, 4.0619e+02]'
0,75	'[1.0000e+00, 1.0000e+00, 5.6250e-01]'	'[1.0016e+00, 1.0324e+00, 6.5788e-01]'	'[1.0005e+00, 1.0029e+00, 5.5789e-01]'	'[1.0005e+00, 1.0006e+00, 5.5891e-01]'	'[1.0004e+00, 1.0239e+00, 5.8428e-01]'
0,80	'[1.0000e+00, 1.0000e+00, 6.4000e-01]'	'[9.9946e-01, 1.0017e+00, 6.4896e-01]'	'[9.9944e-01, 1.0004e+00, 6.4598e-01]'	'[1.0002e+00, 9.8167e-01, 6.2744e-01]'	'[9.9920e-01, 1.0072e+00, 6.6449e-01]'
0,80	'[1.0000e+00, 1.0000e+00, 6.4000e-01]'	'[1.0005e+00, 1.0177e+00, 7.2074e-01]'	'[9.9950e-01, 9.9998e-01, 6.5482e-01]'	'[9.9950e-01, 9.9970e-01, 6.5424e-01]'	'[9.9920e-01, 1.2158e+00, 7.9228e-01]'
0,85	'[1.0000e+00, 1.0000e+00, 7.2250e-01]'	'[9.9988e-01, 9.9265e-01, 7.1430e-01]'	'[9.9976e-01, 9.9315e-01, 7.1274e-01]'	'[1.0005e+00, 9.8359e-01, 7.1359e-01]'	'[9.9990e-01, 9.9045e-01, 7.1637e-01]'
0,85	'[1.0000e+00, 1.0000e+00, 7.2250e-01]'	'[1.0004e+00, 1.0197e+00, 7.8357e-01]'	'[9.9987e-01, 1.0171e+00, 7.3498e-01]'	'[1.0001e+00, 1.0056e+00, 7.4105e-01]'	'[9.9678e-01, 7.1155e+00, 3.6351e+01]'
0,90	'[1.0000e+00, 1.0000e+00, 8.1000e-01]'	'[1.0010e+00, 1.0072e+00, 8.2307e-01]'	'[1.0011e+00, 1.0082e+00, 8.2267e-01]'	'[1.0016e+00, 1.0007e+00, 8.2254e-01]'	'[1.0014e+00, 1.0342e+00, 8.5512e-01]'
0,90	'[1.0000e+00, 1.0000e+00, 8.1000e-01]'	'[9.9938e-01, 1.0089e+00, 8.3009e-01]'	'[9.9868e-01, 1.0091e+00, 8.0585e-01]'	'[1.0050e+00, 1.0147e+00, 1.0296e+00]'	'[9.9852e-01, 1.0879e+00, 8.2557e-01]'
0,95	'[1.0000e+00, 1.0000e+00, 9.0250e-01]'	'[9.9865e-01, 9.9983e-01, 9.1005e-01]'	'[9.9907e-01, 1.0065e+00, 9.1571e-01]'	'[9.9880e-01, 9.9908e-01, 9.1335e-01]'	'[9.9877e-01, 9.9947e-01, 9.1320e-01]'
0,95	'[1.0000e+00, 1.0000e+00, 9.0250e-01]'	'[1.0001e+00, 1.0092e+00, 9.1718e-01]'	'[9.9996e-01, 1.0086e+00, 9.1227e-01]'	'[9.9995e-01, 1.0077e+00, 9.1009e-01]'	'[9.9996e-01, 1.0084e+00, 9.1185e-01]'
odch 1 pro sigma <=0.65	'[0.0000e+00, 0.0000e+00, 0.0000e+00]'	'[2.6486e-05, 1.3264e-02, 6.1299e-02]'	'[6.6112e-04, 1.1554e+03, 1.3532e+06]'	'[2.6750e-03, 7.8853e-02, 1.2247e+00]'	'[2.8644e-04, 6.2734e+00, 3.1074e+01]'
odch 2 pro sigma >0.65	'[0.0000e+00, 0.0000e+00, 0.0000e+00]'	'[1.3814e-05, 3.5525e-03, 3.2693e-02]'	'[9.5007e-06, 6.4763e-04, 1.0929e-03]'	'[5.6656e-05, 9.2927e-03, 4.9782e-02]'	'[1.8861e-04, 4.7530e+02, 1.6580e+05]'
Celková odchylka	'[0.0000e+00, 0.0000e+00, 0.0000e+00]'	'[4.0301e-05, 1.6817e-02, 9.3992e-02]'	'[6.7062e-04, 1.1554e+03, 1.3532e+06]'	'[2.7317e-03, 8.1783e-02, 1.2745e+00]'	'[4.7505e-04, 4.8157e+02, 1.6583e+05]'
Vážená odchylka 1.	0,0000E+00	2,7092E-02	4,5165E+05	4,5033E-01	1,3495E+01
Vážená odchylka 2.	0,0000E+00	1,2688E-02	6,9763E-04	1,8116E-02	5,5504E+04
Vážená odchylka P1	0,0000E+00	3,2540E-04	4,5165E+05	1,7055E-01	5,5063E+04
Vážená odchylka P2	0,0000E+00	3,9454E-02	2,4545E-02	2,9789E-01	4,5493E+02
Celková váž. odch.	0,0000E+00	3,9779E-02	4,5165E+05	4,6844E-01	5,5518E+04

**Tabulka č. 24 Charakteristická čísla pro signál Wavemix s 5% šumem**

sigma	F	P1D	P2D	P2	P3
0,35	'[1.0000e+00, 1.0000e+00, 1.2250e-01]'	'[1.0028e+00, 9.9946e-01, 1.2215e-01]'	'[1.0028e+00, 1.0002e+00, 1.2218e-01]'	'[3.6240e-01, 1.4396e+00, 1.0363e+00]'	'[9.8416e-01, 1.3425e+00, 6.7036e-01]'
0,35	'[1.0000e+00, 1.0000e+00, 1.2250e-01]'	'[1.0012e+00, 1.1262e+00, 2.4912e-01]'	'[9.9949e-01, 1.0793e+00, 1.7677e-01]'	'[2.0300e-01, 1.6319e+00, 1.3315e+00]'	'[1.1357e+00, 1.1059e+00, 4.0764e-01]'

0,40	'[1.0000e+00, 1.0000e+00, 1.6000e-01]'	'[9.9848e-01, 9.9780e-01, 1.5775e-01]'	'[9.9879e-01, 1.0161e+00, 1.6175e-01]'	'[1.9444e-01, 1.7444e+00, 1.5216e+00]'	'[5.2335e+03, 8.8786e+03, 7.8829e+07]'
0,40	'[1.0000e+00, 1.0000e+00, 1.6000e-01]'	'[1.0141e+00, 1.1356e+00, 3.3705e-01]'	'[9.9165e-01, 1.0804e+00, 2.2925e-01]'	'[2.0266e-01, 1.6845e+00, 1.4187e+00]'	'[1.2731e+00, 1.3310e+00, 8.8575e-01]'
0,45	'[1.0000e+00, 1.0000e+00, 2.0250e-01]'	'[1.0052e+00, 1.0014e+00, 2.0544e-01]'	'[1.0053e+00, 1.0075e+00, 2.0686e-01]'	'[8.5202e-01, 1.1293e+00, 6.3795e-01]'	'[1.0297e+00, 1.2429e+00, 6.0352e-01]'
0,45	'[1.0000e+00, 1.0000e+00, 2.0250e-01]'	'[1.0298e+00, 1.1445e+00, 4.4367e-01]'	'[1.0013e+00, 1.0664e+00, 2.7476e-01]'	'[8.0821e-01, 1.4073e+00, 9.9419e-01]'	'[1.0401e+00, 1.1934e+00, 5.0780e-01]'
0,50	'[1.0000e+00, 1.0000e+00, 2.5000e-01]'	'[1.0016e+00, 1.0041e+00, 2.5336e-01]'	'[1.0015e+00, 1.0028e+00, 2.5191e-01]'	'[1.5913e+00, 1.7565e+00, 3.0851e+00]'	'[1.3234e+00, 1.5641e+00, 1.1984e+00]'
0,50	'[1.0000e+00, 1.0000e+00, 2.5000e-01]'	'[1.0534e+00, 1.1528e+00, 5.5498e-01]'	'[9.9742e-01, 1.1063e+00, 3.7000e-01]'	'[9.6131e-01, 1.0696e+00, 5.7201e-01]'	'[1.0851e+00, 1.1488e+00, 5.0808e-01]'
0,55	'[1.0000e+00, 1.0000e+00, 3.0250e-01]'	'[9.9644e-01, 9.9793e-01, 2.9925e-01]'	'[9.9636e-01, 9.9615e-01, 2.9721e-01]'	'[3.8956e-01, 1.5161e+00, 1.1497e+00]'	'[1.0430e+00, 9.5910e-01, 3.0662e-01]'
0,55	'[1.0000e+00, 1.0000e+00, 3.0250e-01]'	'[1.0650e+00, 1.1539e+00, 6.4338e-01]'	'[1.0061e+00, 1.0648e+00, 3.8809e-01]'	'[3.8456e-01, 1.5463e+00, 1.1981e+00]'	'[5.9162e+03, 1.0000e+04, 1.0000e+08]'
0,60	'[1.0000e+00, 1.0000e+00, 3.6000e-01]'	'[9.9988e-01, 1.0009e+00, 3.5989e-01]'	'[9.9989e-01, 1.0025e+00, 3.5999e-01]'	'[6.9091e-01, 1.3273e+00, 8.8089e-01]'	'[1.1336e+00, 1.2551e+00, 7.5149e-01]'
0,60	'[1.0000e+00, 1.0000e+00, 3.6000e-01]'	'[1.0720e+00, 1.1537e+00, 7.2828e-01]'	'[1.0028e+00, 1.0485e+00, 4.2605e-01]'	'[6.5149e-01, 1.4462e+00, 1.0859e+00]'	'[8.2170e-01, 2.0700e+00, 2.6307e+00]'
0,65	'[1.0000e+00, 1.0000e+00, 4.2250e-01]'	'[9.9686e-01, 9.9675e-01, 4.1833e-01]'	'[9.9686e-01, 9.9674e-01, 4.1826e-01]'	'[1.0018e+00, 1.0636e+00, 5.6573e-01]'	'[8.7477e-01, 2.7278e+00, 6.4292e+00]'
0,65	'[1.0000e+00, 1.0000e+00, 4.2250e-01]'	'[1.0733e+00, 1.1514e+00, 8.1153e-01]'	'[4.8845e-01, 1.7891e+00, 1.1299e-01]'	'[8.5674e-01, 1.1835e+00, 7.0028e-01]'	'[9.9795e-01, 1.0164e+00, 4.4241e-01]'
0,70	'[1.0000e+00, 1.0000e+00, 4.9000e-01]'	'[9.9993e-01, 9.9868e-01, 4.8760e-01]'	'[9.9993e-01, 9.9880e-01, 4.8749e-01]'	'[1.0246e+00, 9.8209e-01, 4.8225e-01]'	'[1.0515e+00, 1.1422e+00, 6.9847e-01]'
0,70	'[1.0000e+00, 1.0000e+00, 4.9000e-01]'	'[1.0838e+00, 1.1636e+00, 9.4250e-01]'	'[1.0018e+00, 1.0739e+00, 4.8931e-01]'	'[3.6482e+05, 6.3224e+05, 3.9973e+11]'	'[9.9716e-01, 1.0002e+00, 4.8675e-01]'
0,75	'[1.0000e+00, 1.0000e+00, 5.6250e-01]'	'[1.0015e+00, 9.9902e-01, 5.6222e-01]'	'[1.0024e+00, 1.0096e+00, 5.6701e-01]'	'[1.0130e+00, 9.4728e-01, 4.9147e-01]'	'[1.0113e+00, 9.7257e-01, 5.2752e-01]'
0,75	'[1.0000e+00, 1.0000e+00, 5.6250e-01]'	'[1.0720e+00, 1.1381e+00, 9.4392e-01]'	'[9.8198e-01, 1.0641e+00, 4.7474e-01]'	'[1.0032e+00, 1.0020e+00, 5.6643e-01]'	'[1.0032e+00, 1.0020e+00, 5.6643e-01]'
0,80	'[1.0000e+00, 1.0000e+00, 6.4000e-01]'	'[1.0032e+00, 1.0014e+00, 6.4015e-01]'	'[9.7847e-01, 1.1072e+00, 5.3762e-01]'	'[1.0129e+00, 9.6090e-01, 5.8501e-01]'	'[5.8366e-01, 1.2517e+00, 6.9602e-01]'
0,80	'[1.0000e+00, 1.0000e+00, 6.4000e-01]'	'[1.0438e+00, 1.0970e+00, 8.9579e-01]'	'[9.5884e-01, 1.0552e+00, 4.6364e-01]'	'[1.0036e+00, 1.0040e+00, 6.4966e-01]'	'[5.2699e+03, 1.0000e+04, 1.0000e+08]'
0,85	'[1.0000e+00, 1.0000e+00, 7.2250e-01]'	'[1.0008e+00, 1.0030e+00, 7.2743e-01]'	'[9.5453e-01, 1.1015e+00, 5.3190e-01]'	'[1.0073e+00, 9.7562e-01, 6.8898e-01]'	'[5.1199e+03, 1.0000e+04, 1.0000e+08]'
0,85	'[1.0000e+00, 1.0000e+00, 7.2250e-01]'	'[1.0197e+00, 1.0553e+00, 8.6229e-01]'	'[9.3538e-01, 1.0504e+00, 4.5714e-01]'	'[1.0002e+00, 9.9958e-01, 7.2326e-01]'	'[1.0004e+00, 1.0021e+00, 7.2847e-01]'
0,90	'[1.0000e+00, 1.0000e+00, 8.1000e-01]'	'[9.9469e-01, 9.9534e-01, 8.0134e-01]'	'[9.2118e-01, 1.0687e+00, 4.8162e-01]'	'[9.9766e-01, 9.8026e-01, 7.7865e-01]'	'[9.9546e-01, 9.8584e-01, 7.8571e-01]'
0,90	'[1.0000e+00, 1.0000e+00, 8.1000e-01]'	'[1.0090e+00, 1.0289e+00, 8.8466e-01]'	'[9.0997e-01, 1.0395e+00, 4.3399e-01]'	'[1.0008e+00, 1.0027e+00, 8.2029e-01]'	'[1.0008e+00, 1.0027e+00, 8.2029e-01]'
0,95	'[1.0000e+00, 1.0000e+00, 9.0250e-01]'	'[9.9960e-01, 9.9764e-01, 8.9842e-01]'	'[8.9036e-01, 1.0183e+00, 4.1477e-01]'	'[1.0001e+00, 9.9304e-01, 8.9055e-01]'	'[9.9974e-01, 9.9511e-01, 8.9389e-01]'
0,95	'[1.0000e+00, 1.0000e+00, 9.0250e-01]'	'[1.0028e+00, 1.0078e+00, 9.2170e-01]'	'[8.8350e-01, 1.0194e+00, 4.0091e-01]'	'[1.0010e+00, 1.0008e+00, 9.0492e-01]'	'[1.0010e+00, 1.0008e+00, 9.0492e-01]'
odch 1 pro sigma <=0.65	'[0.0000e+00, 0.0000e+00, 0.0000e+00]'	'[1.8792e-02, 1.4881e-01, 6.0178e-01]'	'[2.6187e-01, 6.5810e-01, 1.3492e-01]'	'[3.7252e+00, 3.2835e+00, 1.7109e+01]'	'[6.2369e+07, 1.7879e+08, 1.6214e+16]'
odch 2 pro sigma >0.65	'[0.0000e+00, 0.0000e+00, 0.0000e+00]'	'[1.4645e-02, 5.9255e-02, 4.4127e-01]'	'[4.8646e-02, 4.4033e-02, 8.9475e-01]'	'[1.3309e+11, 3.9973e+11, 1.5978e+23]'	'[5.3964e+07, 1.9996e+08, 2.0000e+16]'
Celková odchyška	'[0.0000e+00, 0.0000e+00, 0.0000e+00]'	'[3.3437e-02, 2.0806e-01, 1.0431e+00]'	'[3.1051e-01, 7.0213e-01, 1.0297e+00]'	'[1.3309e+11, 3.9973e+11, 1.5978e+23]'	'[1.1633e+08, 3.7876e+08, 3.6214e+16]'
Vážená odchyška 1	0,0000E+00	2,9379E-01	6,3589E-01	1,1070E+01	5,4047E+15
Vážená odchyška 2	0,0000E+00	1,9136E-01	3,6891E-01	5,3261E+22	6,6667E+15
Vážená odchyška P1	0,0000E+00	2,0220E-04	1,6536E-01	6,7348E+00	5,4047E+15
Vážená odchyška P2	0,0000E+00	4,8495E-01	8,3944E-01	5,3261E+22	6,6667E+15
Celková váž. odch.	0,0000E+00	4,8515E-01	1,0048E+00	5,3261E+22	1,2071E+16

Tabulka č. 25 Charakteristická čísla pro signál Sinus02 s 5% šumem

sigma	F	P1D	P2D	P2	P3
0,35	'[1.0000e+00, 1.0000e+00, 1.2250e-01]'	'[9.9890e-01, 9.9073e-01, 1.9036e-01]'	'[1.0007e+00, 9.3472e-01, 2.8586e-01]'	'[1.0146e+00, 1.0129e+00, 1.0260e+00]'	'[9.9615e-01, 1.3843e+00, 9.2994e-01]'
0,35	'[1.0000e+00, 1.0000e+00, 1.2250e-01]'	'[1.0031e+00, 1.0062e+00, 1.6796e-01]'	'[1.0067e+00, 9.9826e-01, 3.5783e-01]'	'[1.0024e+00, 1.3107e+00, 8.5894e-01]'	'[1.0059e+00, 1.0299e+00, 5.1953e-01]'
0,40	'[1.0000e+00, 1.0000e+00, 1.6000e-01]'	'[9.9573e-01, 9.9615e-01, 5.3669e-02]'	'[9.9862e-01, 9.8183e-01, 2.0207e-01]'	'[9.9353e-01, 1.1448e+00, 6.9695e-01]'	'[9.6240e-01, 3.6165e+00, 8.5912e+00]'
0,40	'[1.0000e+00, 1.0000e+00, 1.6000e-01]'	'[1.0034e+00, 1.0092e+00, 3.2775e-01]'	'[1.0042e+00, 1.0075e+00, 3.6904e-01]'	'[1.0039e+00, 1.0652e+00, 5.6733e-01]'	'[1.4024e+02, 4.4412e+03, 1.9724e+07]'
0,45	'[1.0000e+00, 1.0000e+00, 2.0250e-01]'	'[1.0005e+00, 9.9761e-01, 1.9753e-01]'	'[1.0034e+00, 1.0030e+00, 5.0283e-01]'	'[1.0163e+00, 1.0171e+00, 1.0345e+00]'	'[4.1836e-01, 3.7998e+00, 1.4439e+01]'
0,45	'[1.0000e+00, 1.0000e+00, 2.0250e-01]'	'[9.9909e-01, 9.9715e-01, 1.8847e-01]'	'[9.9883e-01, 9.9785e-01, 1.7952e-01]'	'[1.0052e+00, 1.0022e+00, 5.0223e-01]'	'[8.2601e-01, 6.1137e+00, 3.7377e+01]'
0,50	'[1.0000e+00, 1.0000e+00, 2.5000e-01]'	'[1.0029e+00, 9.9124e-01, 3.4957e-01]'	'[9.9996e-01, 1.0134e+00, 3.3950e-01]'	'[1.0034e+00, 1.0403e+00, 5.4127e-01]'	'[1.4870e+01, 1.5716e+07, 2.4699e+14]'
0,50	'[1.0000e+00, 1.0000e+00, 2.5000e-01]'	'[1.0007e+00, 9.9360e-01, 3.4061e-01]'	'[1.0004e+00, 1.0761e+00, 4.6618e-01]'	'[1.0003e+00, 1.0104e+00, 5.1048e-01]'	'[1.0008e+00, 1.0004e+00, 5.0599e-01]'
0,55	'[1.0000e+00, 1.0000e+00, 3.0250e-01]'	'[9.9899e-01, 9.9154e-01, 2.8232e-01]'	'[9.9983e-01, 9.7135e-01, 3.2633e-01]'	'[1.0030e+00, 1.0086e+00, 5.2415e-01]'	'[9.9244e-01, 1.1509e+00, 6.4863e-01]'

0,55	'[1.0000e+00, 1.0000e+00, 3.0250e-01]'	'[1.0019e+00, 9.8743e-01, 3.4163e-01]'	'[1.0020e+00, 9.8596e-01, 3.4329e-01]'	'[1.0048e+00, 9.8935e-01, 4.8941e-01]'	'[1.0022e+00, 1.0045e+00, 3.7260e-01]'
0,60	'[1.0000e+00, 1.0000e+00, 3.6000e-01]'	'[9.9930e-01, 9.9574e-01, 3.9131e-01]'	'[9.9947e-01, 1.0075e+00, 4.6481e-01]'	'[1.0014e+00, 9.9652e-01, 4.9653e-01]'	'[3.0033e+01, 9.5678e+02, 9.1543e+05]'
0,60	'[1.0000e+00, 1.0000e+00, 3.6000e-01]'	'[9.9853e-01, 9.9081e-01, 3.5111e-01]'	'[9.9853e-01, 9.9081e-01, 3.5104e-01]'	'[9.9771e-01, 1.0313e+00, 5.3175e-01]'	'[9.9930e-01, 2.1808e+00, 3.4368e+00]'
0,65	'[1.0000e+00, 1.0000e+00, 4.2250e-01]'	'[1.0042e+00, 9.9487e-01, 4.7331e-01]'	'[1.0042e+00, 9.9487e-01, 4.7340e-01]'	'[1.0144e+00, 1.0088e+00, 1.0176e+00]'	'[0.0000e+00, 2.5066e+01, 3.9395e+02]'
0,65	'[1.0000e+00, 1.0000e+00, 4.2250e-01]'	'[9.9971e-01, 1.0060e+00, 3.8367e-01]'	'[9.9971e-01, 1.0060e+00, 3.8380e-01]'	'[1.0121e+00, 1.0224e+00, 1.0452e+00]'	'[1.1714e+02, 4.0107e+03, 1.6086e+07]'
0,70	'[1.0000e+00, 1.0000e+00, 4.9000e-01]'	'[1.0009e+00, 9.8822e-01, 5.3948e-01]'	'[1.0009e+00, 9.8823e-01, 5.3947e-01]'	'[1.0010e+00, 9.8694e-01, 5.3983e-01]'	'[9.7212e-01, 1.8665e+00, 3.3940e+00]'
0,70	'[1.0000e+00, 1.0000e+00, 4.9000e-01]'	'[9.9574e-01, 9.8874e-01, 3.7356e-01]'	'[9.9574e-01, 1.0240e+00, 4.4058e-01]'	'[9.9543e-01, 1.0501e+00, 5.5132e-01]'	'[1.0938e+02, 3.6982e+03, 1.3676e+07]'
0,75	'[1.0000e+00, 1.0000e+00, 5.6250e-01]'	'[9.9803e-01, 9.9334e-01, 4.9529e-01]'	'[1.0090e+00, 1.8139e+01, 3.2630e+02]'	'[9.9915e-01, 9.9342e-01, 5.5107e-01]'	'[9.9871e-01, 9.9349e-01, 5.2934e-01]'
0,75	'[1.0000e+00, 1.0000e+00, 5.6250e-01]'	'[1.0030e+00, 1.0033e+00, 7.0072e-01]'	'[1.0030e+00, 1.0033e+00, 7.0061e-01]'	'[1.0020e+00, 1.0011e+00, 6.4550e-01]'	'[1.0090e+00, 1.0118e+00, 1.0237e+00]'
0,80	'[1.0000e+00, 1.0000e+00, 6.4000e-01]'	'[1.0021e+00, 9.9044e-01, 6.7017e-01]'	'[9.9961e-01, 1.5718e+00, 1.2535e+00]'	'[1.0015e+00, 9.8884e-01, 6.3626e-01]'	'[1.0029e+00, 1.0811e+00, 6.6489e-01]'
0,80	'[1.0000e+00, 1.0000e+00, 6.4000e-01]'	'[2.5572e-01, 1.9370e+02, 3.7519e+04]'	'[9.9989e-01, 9.9687e-01, 6.3653e-01]'	'[1.0002e+00, 9.9096e-01, 5.7821e-01]'	'[9.7192e-01, 3.7073e+00, 1.0939e+01]'
0,85	'[1.0000e+00, 1.0000e+00, 7.2250e-01]'	'[9.9947e-01, 9.9937e-01, 6.8765e-01]'	'[9.9897e-01, 1.0075e+00, 9.1574e-01]'	'[9.9937e-01, 9.9854e-01, 6.8054e-01]'	'[9.9889e-01, 1.0110e+00, 8.9523e-01]'
0,85	'[1.0000e+00, 1.0000e+00, 7.2250e-01]'	'[1.0026e+00, 1.0011e+00, 7.7297e-01]'	'[1.0027e+00, 1.0038e+00, 7.4006e-01]'	'[1.0028e+00, 1.0011e+00, 7.8279e-01]'	'[1.0968e+01, 8.7894e+04, 6.1675e+09]'
0,90	'[1.0000e+00, 1.0000e+00, 8.1000e-01]'	'[1.0030e+00, 9.9053e-01, 8.3352e-01]'	'[1.0033e+00, 1.1254e+00, 9.5747e-01]'	'[1.0032e+00, 9.9065e-01, 8.4230e-01]'	'[1.0039e+00, 1.2625e+00, 1.1032e+00]'
0,90	'[1.0000e+00, 1.0000e+00, 8.1000e-01]'	'[1.0016e+00, 1.0005e+00, 9.2515e-01]'	'[1.0023e+00, 1.2848e+00, 1.1511e+00]'	'[1.0031e+00, 1.0027e+00, 1.0055e+00]'	'[8.1565e-01, 2.7712e+00, 4.2826e+00]'
0,95	'[1.0000e+00, 1.0000e+00, 9.0250e-01]'	'[9.9758e-01, 9.8845e-01, 7.3432e-01]'	'[9.9711e-01, 1.0427e+00, 9.3054e-01]'	'[9.9814e-01, 9.8894e-01, 7.6326e-01]'	'[9.1308e-01, 2.2011e+00, 2.1861e+00]'
0,95	'[1.0000e+00, 1.0000e+00, 9.0250e-01]'	'[9.9766e-01, 1.0010e+00, 8.5377e-01]'	'[9.9916e-01, 1.4747e+00, 1.5108e+00]'	'[1.0005e+00, 1.0054e+00, 1.0107e+00]'	'[1.0005e+00, 1.0054e+00, 1.0107e+00]'
odch 1 pro sigma <=0.65	'[0.0000e+00, 0.0000e+00, 0.0000e+00]'	'[7.5494e-05, 7.5014e-04, 7.1549e-02]'	'[1.0247e-04, 1.1854e-02, 2.9039e-01]'	'[9.7542e-04, 1.2570e-01, 3.6219e+00]'	'[3.3913e+04, 2.4699e+14, 6.1004e+28]'
odch 2 pro sigma >0.65	'[0.0000e+00, 0.0000e+00, 0.0000e+00]'	'[5.5402e-01, 3.7133e+04, 1.4077e+09]'	'[1.4607e-04, 2.9439e+02, 1.0611e+05]'	'[6.0704e-05, 3.1770e-03, 9.2853e-02]'	'[1.1845e+04, 7.7389e+09, 3.8038e+19]'
Celková odchyška	'[0.0000e+00, 0.0000e+00, 0.0000e+00]'	'[5.5410e-01, 3.7133e+04, 1.4077e+09]'	'[2.4854e-04, 2.9440e+02, 1.0611e+05]'	'[1.0361e-03, 1.2887e-01, 3.7148e+00]'	'[4.5758e+04, 2.4770e+14, 6.1004e+28]'
Vážená odchyška 1.	0,0000E+00	2,4300E+02	1,0283E-01	1,2711E+00	2,0335E+28
Vážená odchyška 2.	0,0000E+00	4,6924E+08	3,5516E+04	3,2600E-02	1,2679E+19
Vážená odchyška P1	0,0000E+00	2,3053E-02	3,5516E+04	7,8884E-01	2,0335E+28
Vážená odchyška P2	0,0000E+00	4,6924E+08	3,7600E-01	5,1489E-01	1,2680E+19
Celková váž. odch.	0,0000E+00	4,6924E+08	3,5517E+04	1,3037E+00	2,0335E+28

**Tabulka č. 26 Charakteristická čísla pro signál Sinus2 s 5% šumem**

sigma	F	P1D	P2D	P2	P3
0,35	'[1.0000e+00, 1.0000e+00, 1.2250e-01]'	'[1.2025e+00, 9.7111e-01, 3.2617e-01]'	'[1.2761e+00, 4.7882e+01, 2.2575e+03]'	'[1.9852e+00, 1.2692e+00, 8.0706e-01]'	'[3.8520e+03, 7.0158e+03, 4.9220e+07]'
0,35	'[1.0000e+00, 1.0000e+00, 1.2250e-01]'	'[1.1928e+00, 1.0110e+00, 3.7336e-01]'	'[1.0806e+00, 5.4272e+01, 2.9003e+03]'	'[1.9430e+00, 1.3695e+00, 9.3774e-01]'	'[1.5013e+00, 1.1540e+00, 4.5758e-01]'
0,40	'[1.0000e+00, 1.0000e+00, 1.6000e-01]'	'[1.0673e+00, 9.0406e-01, 2.5407e-01]'	'[9.9899e-01, 1.0296e+00, 1.6674e-01]'	'[1.9671e+00, 1.4214e+00, 1.0996e+00]'	'[1.4379e+00, 1.0734e+00, 3.8403e-01]'
0,40	'[1.0000e+00, 1.0000e+00, 1.6000e-01]'	'[1.1521e+00, 1.0316e+00, 3.9891e-01]'	'[1.0351e+00, 9.8789e-01, 2.5770e-01]'	'[2.0174e+00, 1.6071e+00, 1.3334e+00]'	'[1.3298e+00, 1.2431e+00, 5.5524e-01]'
0,45	'[1.0000e+00, 1.0000e+00, 2.0250e-01]'	'[1.0332e+00, 9.6290e-01, 2.3861e-01]'	'[1.0105e+00, 9.9773e-01, 2.0972e-01]'	'[1.7029e+00, 1.3378e+00, 9.2542e-01]'	'[1.3315e+00, 1.0435e+00, 3.6295e-01]'
0,45	'[1.0000e+00, 1.0000e+00, 2.0250e-01]'	'[1.0474e+00, 9.9726e-01, 3.5671e-01]'	'[1.0715e+00, 1.0160e+00, 3.7949e-01]'	'[1.6515e+00, 1.5164e+00, 1.1497e+00]'	'[1.8390e+00, 1.4264e+00, 1.0173e+00]'
0,50	'[1.0000e+00, 1.0000e+00, 2.5000e-01]'	'[1.0114e+00, 9.8581e-01, 2.6152e-01]'	'[1.0154e+00, 9.9539e-01, 2.6537e-01]'	'[1.6396e+00, 1.2014e+00, 7.2168e-01]'	'[3.4984e+03, 7.4094e+03, 5.4898e+07]'
0,50	'[1.0000e+00, 1.0000e+00, 2.5000e-01]'	'[1.0177e+00, 1.0321e+00, 3.9949e-01]'	'[1.0368e+00, 1.1852e+01, 1.3048e+02]'	'[1.4614e+00, 1.4356e+00, 1.0305e+00]'	'[1.1629e+00, 1.0598e+00, 3.7467e-01]'
0,55	'[1.0000e+00, 1.0000e+00, 3.0250e-01]'	'[1.0136e+00, 9.6662e-01, 3.2106e-01]'	'[1.0013e+00, 1.0429e+00, 3.2949e-01]'	'[1.3802e+00, 1.2046e+00, 7.2559e-01]'	'[1.0604e+00, 9.9846e-01, 4.9950e-01]'
0,55	'[1.0000e+00, 1.0000e+00, 3.0250e-01]'	'[1.0103e+00, 1.1011e+00, 4.5976e-01]'	'[1.1217e+00, 1.0461e+01, 1.0499e+02]'	'[3.8264e+00, 3.6589e+00, 1.3387e+01]'	'[1.0536e+00, 1.0145e+00, 3.4308e-01]'
0,60	'[1.0000e+00, 1.0000e+00, 3.6000e-01]'	'[9.9666e-01, 9.9397e-01, 3.5706e-01]'	'[9.9666e-01, 9.9323e-01, 3.5606e-01]'	'[1.3228e+00, 1.1561e+00, 6.6837e-01]'	'[6.3238e-01, 1.3303e+00, 9.4339e-01]'
0,60	'[1.0000e+00, 1.0000e+00, 3.6000e-01]'	'[1.0153e+00, 1.1131e+00, 5.5354e-01]'	'[9.7136e-01, 1.0061e+00, 3.6053e-01]'	'[3.4508e+00, 3.3903e+00, 1.1494e+01]'	'[1.0013e+00, 1.0282e+00, 4.0238e-01]'
0,65	'[1.0000e+00, 1.0000e+00, 4.2250e-01]'	'[9.8421e-01, 9.8332e-01, 3.9940e-01]'	'[9.8424e-01, 9.9333e-01, 4.0133e-01]'	'[1.2285e+00, 1.0631e+00, 5.6510e-01]'	'[9.8814e-01, 9.4324e-01, 3.2934e-01]'
0,65	'[1.0000e+00, 1.0000e+00, 4.2250e-01]'	'[1.0064e+00, 1.1093e+00, 6.2761e-01]'	'[1.2169e+00, 1.5949e+01, 2.5024e+02]'	'[9.0589e-01, 1.1835e+00, 7.0029e-01]'	'[1.1527e+00, 1.1283e+01, 1.2054e+02]'
0,70	'[1.0000e+00, 1.0000e+00, 4.9000e-01]'	'[9.9560e-01, 9.9249e-01, 4.8200e-01]'	'[9.9508e-01, 9.8826e-01, 4.7552e-01]'	'[1.1103e+00, 9.6301e-01, 4.6374e-01]'	'[9.9467e-01, 9.7312e-01, 4.2627e-01]'
0,70	'[1.0000e+00, 1.0000e+00, 4.9000e-01]'	'[1.0209e+00, 1.1341e+00, 7.6937e-01]'	'[1.0041e+00, 1.0015e+00, 5.0411e-01]'	'[1.0091e+00, 9.9874e-01, 4.9875e-01]'	'[1.0225e+00, 2.7190e+00, 6.0843e+00]'

0,75	'[1.0000e+00, 1.0000e+00, 5.6250e-01]'	'[1.0218e+00, 1.0083e+00, 5.9492e-01]'	'[1.0217e+00, 1.0316e+00, 6.0243e-01]'	'[2.4545e+00, 2.2619e+00, 5.1160e+00]'	'[3.2571e+03, 8.5679e+03, 7.3408e+07]'
0,75	'[1.0000e+00, 1.0000e+00, 5.6250e-01]'	'[1.0157e+00, 1.1059e+00, 7.9014e-01]'	'[1.0029e+00, 1.0079e+00, 5.4919e-01]'	'[1.0031e+00, 1.0046e+00, 5.8575e-01]'	'[9.7315e-01, 1.0787e+00, 6.8313e-01]'
0,80	'[1.0000e+00, 1.0000e+00, 6.4000e-01]'	'[1.0002e+00, 9.9380e-01, 6.3975e-01]'	'[9.9925e-01, 9.8448e-01, 6.2344e-01]'	'[1.0010e+00, 9.3087e-01, 5.2588e-01]'	'[1.0050e+00, 1.0094e+00, 6.6914e-01]'
0,80	'[1.0000e+00, 1.0000e+00, 6.4000e-01]'	'[1.0194e+00, 1.0800e+00, 8.1335e-01]'	'[1.0081e+00, 1.0226e+00, 6.0519e-01]'	'[1.0091e+00, 1.0097e+00, 6.7027e-01]'	'[1.0091e+00, 1.0097e+00, 6.7028e-01]'
0,85	'[1.0000e+00, 1.0000e+00, 7.2250e-01]'	'[1.0044e+00, 9.9802e-01, 7.3245e-01]'	'[1.0039e+00, 9.8893e-01, 7.1574e-01]'	'[1.0039e+00, 9.6151e-01, 6.6351e-01]'	'[1.0041e+00, 9.8021e-01, 7.0018e-01]'
0,85	'[1.0000e+00, 1.0000e+00, 7.2250e-01]'	'[1.0009e+00, 1.0340e+00, 7.9977e-01]'	'[9.9728e-01, 9.9731e-01, 7.1328e-01]'	'[9.9731e-01, 9.9416e-01, 7.2051e-01]'	'[9.9731e-01, 9.9416e-01, 7.2051e-01]'
0,90	'[1.0000e+00, 1.0000e+00, 8.1000e-01]'	'[1.0068e+00, 1.0015e+00, 8.2514e-01]'	'[1.0065e+00, 9.9267e-01, 8.0821e-01]'	'[1.0068e+00, 9.8547e-01, 7.9413e-01]'	'[1.0068e+00, 9.8547e-01, 7.9413e-01]'
0,90	'[1.0000e+00, 1.0000e+00, 8.1000e-01]'	'[1.0082e+00, 1.0184e+00, 8.6139e-01]'	'[1.0278e+00, 2.5089e+00, 5.1946e+00]'	'[1.0079e+00, 1.0027e+00, 8.3004e-01]'	'[1.4234e+00, 1.4222e+00, 2.0226e+00]'
0,95	'[1.0000e+00, 1.0000e+00, 9.0250e-01]'	'[1.0003e+00, 9.9680e-01, 9.0676e-01]'	'[1.0003e+00, 9.9343e-01, 9.0012e-01]'	'[1.0003e+00, 9.9303e-01, 8.9933e-01]'	'[1.0003e+00, 9.9303e-01, 8.9933e-01]'
0,95	'[1.0000e+00, 1.0000e+00, 9.0250e-01]'	'[9.9483e-01, 9.9609e-01, 8.9989e-01]'	'[9.7586e-01, 1.0330e+00, 8.1943e-01]'	'[1.1841e+00, 1.1824e+00, 1.3981e+00]'	'[2.5564e+03, 8.7440e+03, 7.6456e+07]'
odch 1 pro sigma <=0.65	'[0.0000e+00, 0.0000e+00, 0.0000e+00]'	'[1.1043e-01, 5.0173e-02, 3.2305e-01]'	'[1.5372e-01, 5.4666e+03, 1.3597e+07]'	'[1.9676e+01, 1.4253e+01, 3.0119e+02]'	'[2.7062e+07, 1.0409e+08, 5.4364e+15]'
odch 2 pro sigma >0.65	'[0.0000e+00, 0.0000e+00, 0.0000e+00]'	'[1.7176e-03, 3.7278e-02, 1.7000e-01]'	'[2.0066e-03, 2.2802e+00, 1.9236e+01]'	'[2.1620e+00, 1.6336e+00, 2.0999e+01]'	'[1.7132e+07, 1.4983e+08, 1.1234e+16]'
Celková odchyška	'[0.0000e+00, 0.0000e+00, 0.0000e+00]'	'[1.1214e-01, 8.7451e-02, 4.9305e-01]'	'[1.5572e-01, 5.4688e+03, 1.3597e+07]'	'[2.1838e+01, 1.5887e+01, 3.2219e+02]'	'[4.4195e+07, 2.5392e+08, 1.6671e+16]'
Vážená odchyška 1.	0,0000E+00	2,4320E-01	4,5351E+06	1,2720E+02	1,8121E+15
Vážená odchyška 2.	0,0000E+00	7,7023E-02	7,5540E+00	9,9787E+00	3,7447E+15
Vážená odchyška P1	0,0000E+00	7,2411E-02	1,6997E+06	1,3990E+01	3,6084E+15
Vážená odchyška P2	0,0000E+00	2,4781E-01	2,8354E+06	1,2319E+02	1,9485E+15
Celková váž. odch.	0,0000E+00	3,2022E-01	4,5351E+06	1,3718E+02	5,5569E+15

Tabulka č. 27 Charakteristická čísla pro signál Sinus20 s 5% šumem

sigma	F	P1D	P2D	P2	P3
0,35	'[1.0000e+00, 1.0000e+00, 1.2250e-01]'	'[1.4049e-01, 4.0012e-01, 3.3797e-08]'	'[1.6154e-01, 1.0110e-01, 2.8440e-03]'	'[2.6113e-01, 1.1903e-01, 7.1556e-03]'	'[0.0000e+00, 2.0000e+04, 2.0000e+08]'
0,35	'[1.0000e+00, 1.0000e+00, 1.2250e-01]'	'[2.2185e-02, 2.0050e+00, 3.6158e+00]'	'[1.6415e-01, 1.4031e+00, 5.9747e-01]'	'[3.1327e-02, 1.4829e+00, 1.0995e+00]'	'[1.9102e+01, 5.9666e+03, 2.0148e+07]'
0,40	'[1.0000e+00, 1.0000e+00, 1.6000e-01]'	'[1.0577e-01, 3.6019e-01, 3.2354e-06]'	'[1.0429e+00, 1.0133e+00, 1.7514e-01]'	'[1.5313e-01, 6.3781e-02, 3.2628e-03]'	'[5.6519e-01, 2.6396e+00, 2.3225e+00]'
0,40	'[1.0000e+00, 1.0000e+00, 1.6000e-01]'	'[1.6683e-03, 4.8141e-01, 2.0682e-01]'	'[5.2367e-03, 1.5574e+00, 1.0027e+00]'	'[7.2874e-03, 1.3954e+00, 9.7354e-01]'	'[2.0993e+02, 1.0137e+04, 1.0002e+08]'
0,45	'[1.0000e+00, 1.0000e+00, 2.0250e-01]'	'[1.1072e-01, 9.3021e-01, 1.0280e-07]'	'[0.0000e+00, 1.0266e+00, 7.8696e-01]'	'[1.0291e-01, 4.0208e-04, 1.4231e-07]'	'[5.0910e+04, 3.0696e+03, 3.3980e+06]'
0,45	'[1.0000e+00, 1.0000e+00, 2.0250e-01]'	'[8.2312e-01, 7.8365e+03, 6.1411e+07]'	'[7.7758e-02, 1.9040e+00, 1.8536e+00]'	'[8.8007e-04, 1.9963e-02, 1.9931e-04]'	'[1.2732e-02, 1.0001e+04, 1.0000e+08]'
0,50	'[1.0000e+00, 1.0000e+00, 2.5000e-01]'	'[1.2720e+00, 8.3482e-01, 4.2908e-01]'	'[1.0281e+00, 1.0094e+00, 2.7609e-01]'	'[0.0000e+00, 8.6972e-01, 7.5642e-01]'	'[8.4290e-01, 1.9492e+00, 2.5071e+00]'
0,50	'[1.0000e+00, 1.0000e+00, 2.5000e-01]'	'[6.6542e-04, 7.1832e+00, 4.4313e+01]'	'[1.9748e-01, 1.3191e+00, 7.3942e-01]'	'[3.4934e-02, 1.3210e+00, 8.7290e-01]'	'[6.3347e-02, 1.0001e+04, 1.0000e+08]'
0,55	'[1.0000e+00, 1.0000e+00, 3.0250e-01]'	'[0.0000e+00, 1.4382e+00, 1.3293e+00]'	'[2.9702e-01, 1.0051e+00, 2.3971e-01]'	'[0.0000e+00, 1.3809e-01, 9.5340e-03]'	'[1.7195e+00, 4.4831e-01, 7.0153e-02]'
0,55	'[1.0000e+00, 1.0000e+00, 3.0250e-01]'	'[5.6398e-01, 9.6341e+03, 9.2816e+07]'	'[0.0000e+00, 1.0689e-01, 9.0161e-05]'	'[3.8469e-02, 1.2742e+00, 8.1395e-01]'	'[8.8936e+02, 8.5915e+03, 6.5500e+07]'
0,60	'[1.0000e+00, 1.0000e+00, 3.6000e-01]'	'[9.9816e-01, 9.9540e-01, 3.6064e-01]'	'[1.5730e+03, 3.2585e+03, 1.0611e+07]'	'[2.2496e+00, 5.6163e-01, 1.5800e-01]'	'[1.2317e+00, 5.1819e-01, 1.6264e-01]'
0,60	'[1.0000e+00, 1.0000e+00, 3.6000e-01]'	'[0.0000e+00, 1.3927e+00, 1.2861e+00]'	'[3.5218e-01, 1.0222e+00, 4.6239e-01]'	'[0.0000e+00, 1.6185e+00, 2.5696e+00]'	'[7.9217e-01, 1.0064e+00, 4.0088e-01]'
0,65	'[1.0000e+00, 1.0000e+00, 4.2250e-01]'	'[7.3505e-02, 4.0038e-01, 1.6507e-08]'	'[1.0018e+00, 9.7673e-01, 3.9873e-01]'	'[2.4614e-01, 2.1815e-01, 2.9338e-02]'	'[1.6134e+03, 3.7038e+03, 1.3718e+07]'
0,65	'[1.0000e+00, 1.0000e+00, 4.2250e-01]'	'[0.0000e+00, 1.3669e+00, 1.2506e+00]'	'[4.9816e-03, 3.9144e+00, 1.2221e+01]'	'[1.5606e+04, 2.0000e+04, 2.0000e+00]'	'[1.0359e+00, 1.4199e+01, 1.0156e+02]'
0,70	'[1.0000e+00, 1.0000e+00, 4.9000e-01]'	'[1.0031e+00, 9.9747e-01, 4.9333e-01]'	'[1.3531e-02, 5.0507e+02, 2.5479e+05]'	'[1.5813e-01, 1.0117e-01, 1.0236e-02]'	'[1.0220e+00, 2.0000e+04, 2.0000e+08]'
0,70	'[1.0000e+00, 1.0000e+00, 4.9000e-01]'	'[2.9735e-01, 1.5432e+00, 2.1548e+00]'	'[5.1108e-01, 1.3807e+02, 1.8973e+04]'	'[1.0250e+00, 1.0146e+00, 5.1472e-01]'	'[4.5972e-01, 2.9092e+00, 4.8294e+00]'
0,75	'[1.0000e+00, 1.0000e+00, 5.6250e-01]'	'[9.9800e-01, 9.9208e-01, 5.5798e-01]'	'[2.4220e+02, 8.2660e+03, 6.8323e+07]'	'[0.0000e+00, 1.0001e+04, 1.0000e+08]'	'[2.6900e+02, 3.6813e+03, 1.3552e+07]'
0,75	'[1.0000e+00, 1.0000e+00, 5.6250e-01]'	'[2.8144e-01, 1.6097e+00, 1.5165e+00]'	'[7.7436e+01, 1.8816e+03, 3.5403e+06]'	'[1.0054e+00, 1.0794e+00, 7.3450e-01]'	'[2.3799e-01, 6.8389e+00, 3.5964e+01]'
0,80	'[1.0000e+00, 1.0000e+00, 6.4000e-01]'	'[1.5007e-01, 3.9702e-01, 3.2357e-02]'	'[0.0000e+00, 1.0000e+04, 1.0000e+08]'	'[0.0000e+00, 2.8015e+00, 4.0250e+00]'	'[4.3645e+01, 1.0001e+04, 1.0000e+08]'
0,80	'[1.0000e+00, 1.0000e+00, 6.4000e-01]'	'[3.7006e-01, 1.4092e+00, 1.8145e+00]'	'[8.3647e+01, 1.7827e+03, 3.1780e+06]'	'[8.0968e-01, 1.0476e+00, 8.1284e-01]'	'[1.0035e+00, 1.1046e+00, 8.6926e-01]'
0,85	'[1.0000e+00, 1.0000e+00, 7.2250e-01]'	'[0.0000e+00, 3.5673e-01, 6.5868e-05]'	'[0.0000e+00, 1.1794e+00, 7.6970e-01]'	'[0.0000e+00, 2.7166e-01, 3.8562e-02]'	'[1.2287e+00, 7.6421e-01, 1.9681e-01]'
0,85	'[1.0000e+00, 1.0000e+00, 7.2250e-01]'	'[6.6351e-01, 2.2258e+00, 3.4388e+00]'	'[9.8871e-01, 9.9434e-01, 7.1378e-01]'	'[9.9490e-01, 1.1355e+00, 1.0247e+00]'	'[7.9266e-01, 1.0220e+00, 8.3251e-01]'
0,90	'[1.0000e+00, 1.0000e+00, 8.1000e-01]'	'[1.0041e+00, 8.9070e-01, 6.3235e-01]'	'[1.2356e+09, 1.0002e+04, 1.0000e+08]'	'[1.6637e+00, 6.5562e-01, 2.1519e-01]'	'[7.7447e+01, 1.0088e+03, 1.0175e+06]'

0,90	'[1.0000e+00, 1.0000e+00, 8.1000e-01]'	'[0.0000e+00, 1.1537e+00, 9.5084e-01]'	'[0.0000e+00, 1.2155e+00, 8.1378e-01]'	'[1.0121e+00, 1.1509e+00, 1.1431e+00]'	'[9.2542e-02, 6.1296e+00, 1.5635e+01]'
0,95	'[1.0000e+00, 1.0000e+00, 9.0250e-01]'	'[7.2981e-01, 1.0592e+00, 4.8860e-01]'	'[0.0000e+00, 1.1801e+00, 9.5500e-01]'	'[9.8027e-01, 6.3199e-01, 3.2416e-01]'	'[1.0295e+00, 8.5364e-01, 6.4910e-01]'
0,95	'[1.0000e+00, 1.0000e+00, 9.0250e-01]'	'[7.3548e-01, 1.3507e+00, 1.0036e+00]'	'[5.8087e-01, 2.7409e+00, 4.2784e+00]'	'[1.0113e+00, 1.0938e+00, 1.1083e+00]'	'[1.0113e+00, 1.0938e+00, 1.1083e+00]'
odch 1 pro sigma <=0.65	'[0.0000e+00, 0.0000e+00, 0.0000e+00]'	'[9.4345e+00, 1.5419e+08, 1.2386e+16]'	'[2.4711e+06, 1.0611e+07, 1.1259e+14]'	'[2.4352e+08, 3.9996e+08, 4.0000e+16]'	'[2.5952e+09, 8.3520e+08, 7.4900e+16]'
odch 2 pro sigma >0.65	'[0.0000e+00, 0.0000e+00, 0.0000e+00]'	'[4.3855e+00, 3.2764e+00, 1.3564e+01]'	'[1.5266e+18, 2.7531e+08, 2.4691e+16]'	'[4.1868e+00, 1.0001e+08, 1.0000e+16]'	'[7.9488e+04, 5.1452e+08, 5.0185e+16]'
Celková odchylka	'[0.0000e+00, 0.0000e+00, 0.0000e+00]'	'[1.3820e+01, 1.5419e+08, 1.2386e+16]'	'[1.5266e+18, 2.8592e+08, 2.4803e+16]'	'[2.4352e+08, 4.9997e+08, 5.0000e+16]'	'[2.5953e+09, 1.3497e+09, 1.2508e+17]'
Vážená odchylka 1.	0,0000E+00	4,1287E+15	3,7531E+13	1,3333E+16	2,4967E+16
Vážená odchylka 2.	0,0000E+00	1,0545E+01	1,5349E+18	3,3333E+15	1,6728E+16
Vážená odchylka P1	0,0000E+00	7,9435E+00	1,5349E+18	3,3333E+15	3,0128E+16
Vážená odchylka P2	0,0000E+00	4,1287E+15	7,5445E+12	1,3333E+16	1,1567E+16
Celková váž. odch.	0,0000E+00	4,1287E+15	1,5349E+18	1,6667E+16	4,1695E+16

**Tabulka č. 28 Charakteristická čísla pro signál Step s 10% šumem**

sigma	F	P1D	P2D	P2	P3
0,35	'[1.0000e+00, 1.0000e+00, 1.2250e-01]'	'[1.0011e+00, 1.0071e+00, 1.2818e-01]'	'[1.0012e+00, 1.0279e+00, 1.5444e-01]'	'[9.9860e-01, 1.1004e+00, 6.0556e-01]'	'[6.6671e+00, 8.8289e+04, 7.6274e+09]'
0,35	'[1.0000e+00, 1.0000e+00, 1.2250e-01]'	'[1.0065e+00, 1.0406e+00, 1.7812e-01]'	'[1.0034e+00, 1.0385e+00, 1.6544e-01]'	'[9.9989e-01, 1.1008e+00, 6.0705e-01]'	'[1.0128e+00, 1.0345e+00, 5.3512e-01]'
0,40	'[1.0000e+00, 1.0000e+00, 1.6000e-01]'	'[9.9716e-01, 9.8480e-01, 1.5212e-01]'	'[9.9657e-01, 9.7966e-01, 1.4164e-01]'	'[9.3542e-01, 1.3069e+00, 8.5442e-01]'	'[9.9775e-01, 1.2989e+00, 6.2047e-01]'
0,40	'[1.0000e+00, 1.0000e+00, 1.6000e-01]'	'[9.9851e-01, 1.0395e+00, 2.1511e-01]'	'[9.9158e-01, 1.0535e+00, 2.4410e-01]'	'[9.9430e-01, 1.0395e+00, 5.4103e-01]'	'[9.8915e-01, 1.1168e+00, 4.9201e-01]'
0,45	'[1.0000e+00, 1.0000e+00, 2.0250e-01]'	'[1.0006e+00, 9.9719e-01, 1.9792e-01]'	'[1.0004e+00, 9.9498e-01, 1.9523e-01]'	'[9.7023e-01, 1.2356e+00, 7.6340e-01]'	'[1.0053e+00, 4.5612e+00, 1.0540e+01]'
0,45	'[1.0000e+00, 1.0000e+00, 2.0250e-01]'	'[1.0027e+00, 1.0546e+00, 2.9325e-01]'	'[9.9846e-01, 1.0426e+00, 2.5158e-01]'	'[9.9750e-01, 1.0461e+00, 5.4741e-01]'	'[9.1948e-01, 1.9263e+00, 2.1966e+00]'
0,50	'[1.0000e+00, 1.0000e+00, 2.5000e-01]'	'[1.0012e+00, 9.8989e-01, 2.5439e-01]'	'[1.0012e+00, 9.9057e-01, 2.5449e-01]'	'[9.7966e-01, 1.2243e+00, 7.4953e-01]'	'[1.0028e+00, 1.2285e+00, 5.8311e-01]'
0,50	'[1.0000e+00, 1.0000e+00, 2.5000e-01]'	'[1.0074e+00, 1.0543e+00, 3.7995e-01]'	'[1.0024e+00, 1.0356e+00, 3.1448e-01]'	'[1.0015e+00, 1.1535e+00, 6.6548e-01]'	'[1.0012e+00, 1.1041e+00, 4.1125e-01]'
0,55	'[1.0000e+00, 1.0000e+00, 3.0250e-01]'	'[1.0016e+00, 1.0003e+00, 2.9377e-01]'	'[1.0015e+00, 1.0000e+00, 2.9209e-01]'	'[9.9241e-01, 1.2315e+00, 7.5832e-01]'	'[1.0073e+00, 1.0000e+00, 5.0001e-01]'
0,55	'[1.0000e+00, 1.0000e+00, 3.0250e-01]'	'[1.0023e+00, 1.0446e+00, 4.0648e-01]'	'[9.9878e-01, 1.0541e+00, 3.4964e-01]'	'[9.9826e-01, 1.0623e+00, 5.6444e-01]'	'[9.9872e-01, 1.9263e+00, 3.2640e-01]'
0,60	'[1.0000e+00, 1.0000e+00, 3.6000e-01]'	'[1.0028e+00, 1.0000e+00, 3.6885e-01]'	'[1.0025e+00, 9.9628e-01, 3.6255e-01]'	'[1.0059e+00, 9.8727e-01, 4.8735e-01]'	'[1.0379e+00, 7.5890e+00, 5.1024e+01]'
0,60	'[1.0000e+00, 1.0000e+00, 3.6000e-01]'	'[1.0043e+00, 1.0318e+00, 4.8960e-01]'	'[4.2063e-01, 7.1556e+00, 5.0552e+01]'	'[9.9488e-01, 1.1700e+00, 6.8441e-01]'	'[1.0110e+00, 9.6382e+00, 4.9201e+01]'
0,65	'[1.0000e+00, 1.0000e+00, 4.2250e-01]'	'[1.0004e+00, 9.9044e-01, 4.1743e-01]'	'[1.0002e+00, 9.8884e-01, 4.1155e-01]'	'[1.0014e+00, 9.7048e-01, 4.7093e-01]'	'[9.2070e+00, 5.7215e+04, 3.2735e+09]'
0,65	'[1.0000e+00, 1.0000e+00, 4.2250e-01]'	'[1.0043e+00, 1.0456e+00, 5.3344e-01]'	'[1.0035e+00, 1.0609e+00, 5.0017e-01]'	'[1.0029e+00, 1.0110e+00, 5.1104e-01]'	'[1.0025e+00, 1.0137e+00, 5.1381e-01]'
0,70	'[1.0000e+00, 1.0000e+00, 4.9000e-01]'	'[1.0025e+00, 9.9608e-01, 5.1096e-01]'	'[1.0027e+00, 1.0053e+00, 5.1793e-01]'	'[1.0006e+00, 9.6393e-01, 4.6947e-01]'	'[1.0007e+00, 9.5844e-01, 4.7219e-01]'
0,70	'[1.0000e+00, 1.0000e+00, 4.9000e-01]'	'[1.0054e+00, 1.0372e+00, 6.1202e-01]'	'[1.0007e+00, 9.9423e-01, 4.7130e-01]'	'[9.9989e-01, 1.0080e+00, 5.0803e-01]'	'[1.0009e+00, 9.9375e-01, 4.7703e-01]'
0,75	'[1.0000e+00, 1.0000e+00, 5.6250e-01]'	'[1.0000e+00, 9.7743e-01, 5.4380e-01]'	'[1.0001e+00, 9.8125e-01, 5.4602e-01]'	'[4.0277e+00, 1.0187e+04, 1.0003e+08]'	'[9.9832e-01, 9.5043e-01, 5.0723e-01]'
0,75	'[1.0000e+00, 1.0000e+00, 5.6250e-01]'	'[1.0055e+00, 1.0482e+00, 7.3125e-01]'	'[1.0023e+00, 1.0212e+00, 6.2692e-01]'	'[1.0020e+00, 1.0166e+00, 6.1822e-01]'	'[1.0023e+00, 1.0211e+00, 6.2718e-01]'
0,80	'[1.0000e+00, 1.0000e+00, 6.4000e-01]'	'[1.0001e+00, 9.8862e-01, 6.3460e-01]'	'[1.0001e+00, 9.9067e-01, 6.3682e-01]'	'[9.9902e-01, 9.7110e-01, 6.1115e-01]'	'[1.0003e+00, 1.0249e+00, 6.7011e-01]'
0,80	'[1.0000e+00, 1.0000e+00, 6.4000e-01]'	'[1.0014e+00, 1.0111e+00, 7.0858e-01]'	'[9.9839e-01, 9.9666e-01, 6.0989e-01]'	'[9.9860e-01, 9.8615e-01, 6.1556e-01]'	'[1.0028e+00, 2.2921e+00, 3.1441e+00]'
0,85	'[1.0000e+00, 1.0000e+00, 7.2250e-01]'	'[9.9663e-01, 9.8956e-01, 6.8175e-01]'	'[9.9663e-01, 9.8955e-01, 6.8175e-01]'	'[9.9563e-01, 9.7539e-01, 6.5617e-01]'	'[9.9637e-01, 9.9695e-01, 6.8533e-01]'
0,85	'[1.0000e+00, 1.0000e+00, 7.2250e-01]'	'[1.0016e+00, 1.0273e+00, 8.0666e-01]'	'[9.9935e-01, 1.0372e+00, 7.2905e-01]'	'[9.9980e-01, 1.0125e+00, 7.4272e-01]'	'[9.9980e-01, 1.0125e+00, 7.4275e-01]'
0,90	'[1.0000e+00, 1.0000e+00, 8.1000e-01]'	'[1.0022e+00, 1.0194e+00, 8.6371e-01]'	'[1.0024e+00, 1.0226e+00, 8.7057e-01]'	'[1.0022e+00, 1.0164e+00, 8.6820e-01]'	'[1.0022e+00, 1.0121e+00, 8.6827e-01]'
0,90	'[1.0000e+00, 1.0000e+00, 8.1000e-01]'	'[9.9675e-01, 9.8456e-01, 7.7696e-01]'	'[9.9490e-01, 1.0142e+00, 7.1440e-01]'	'[9.9551e-01, 9.7476e-01, 7.3194e-01]'	'[9.9551e-01, 9.7476e-01, 7.3198e-01]'
0,95	'[1.0000e+00, 1.0000e+00, 9.0250e-01]'	'[9.9788e-01, 9.7749e-01, 8.8401e-01]'	'[9.9795e-01, 9.8414e-01, 8.8755e-01]'	'[9.9786e-01, 9.8040e-01, 8.8434e-01]'	'[9.9767e-01, 1.5546e+00, 1.2331e+00]'
0,95	'[1.0000e+00, 1.0000e+00, 9.0250e-01]'	'[1.0014e+00, 9.9097e-01, 8.7890e-01]'	'[1.0016e+00, 1.0116e+00, 8.9101e-01]'	'[1.0014e+00, 9.8966e-01, 8.7971e-01]'	'[1.0016e+00, 1.0101e+00, 8.9110e-01]'
odch 1 pro sigma <=0.65	'[0.0000e+00, 0.0000e+00, 0.0000e+00]'	'[1.7066e-04, 1.4703e-02, 7.1487e-02]'	'[3.3579e-01, 3.7907e+01, 2.5193e+03]'	'[5.6452e-03, 3.3507e-01, 2.3593e+00]'	'[9.9479e+01, 1.1068e+10, 6.8894e+19]'
odch 2 pro sigma >0.65	'[0.0000e+00, 0.0000e+00, 0.0000e+00]'	'[1.0274e-04, 6.5417e-03, 6.2506e-02]'	'[6.5777e-05, 3.5484e-03, 2.1359e-02]'	'[9.1670e+00, 1.0376e+08, 1.0007e+16]'	'[6.3422e-05, 1.9835e+00, 6.4000e+00]'
Celková odchylka	'[0.0000e+00, 0.0000e+00, 0.0000e+00]'	'[2.7340e-04, 2.1244e-02, 1.3399e-01]'	'[3.3586e-01, 3.7910e+01, 2.5193e+03]'	'[9.1727e+00, 1.0376e+08, 1.0007e+16]'	'[9.9479e+01, 1.1068e+10, 6.8894e+19]'
Vážená odchylka 1.	0,0000E+00	3,1351E-02	8,5906E+02	9,5962E-01	2,2965E+19

Vážená odchylka 2.	0,0000E+00	2,4209E-02	8,9597E-03	3,3357E+15	3,1252E+00
Vážená odchylka P1	0,0000E+00	3,1199E-03	4,2023E-03	3,3357E+15	2,2965E+19
Vážená odchylka P2	0,0000E+00	5,2440E-02	8,5906E+02	3,2408E-01	8,3726E+02
Celková váž. odch.	0,0000E+00	5,5560E-02	8,5907E+02	3,3357E+15	2,2965E+19

Tabulka č. 29 Charakteristická čísla pro signál Pulse1 s 10% šumem

sigma	F	P1D	P2D	P2	P3
0,35	'[1.0000e+00, 1.0000e+00, 1.2250e-01]'	'[1.0093e+00, 1.0100e+00, 1.3307e-01]'	'[1.0109e+00, 1.0091e+00, 1.3351e-01]'	'[1.6784e+00, 9.1450e-01, 4.1816e-01]'	'[1.1940e+00, 1.3822e+00, 7.0631e-01]'
0,35	'[1.0000e+00, 1.0000e+00, 1.2250e-01]'	'[9.9858e-01, 1.0648e+00, 1.9265e-01]'	'[9.8607e-01, 1.0316e+00, 1.4103e-01]'	'[1.5858e+00, 1.0113e+00, 5.1450e-01]'	'[1.4439e+00, 1.1224e+00, 5.2488e-01]'
0,40	'[1.0000e+00, 1.0000e+00, 1.6000e-01]'	'[9.9980e-01, 9.9912e-01, 1.6033e-01]'	'[1.0009e+00, 1.0099e+00, 1.6258e-01]'	'[1.5486e+00, 1.0050e+00, 5.0504e-01]'	'[1.5729e+00, 9.9757e-01, 4.2299e-01]'
0,40	'[1.0000e+00, 1.0000e+00, 1.6000e-01]'	'[9.9259e-01, 1.0772e+00, 2.4268e-01]'	'[9.7276e-01, 1.0840e+00, 2.1495e-01]'	'[1.5370e+00, 9.8425e-01, 4.8989e-01]'	'[1.4584e+00, 1.1017e+00, 4.6088e-01]'
0,45	'[1.0000e+00, 1.0000e+00, 2.0250e-01]'	'[9.9683e-01, 1.0029e+00, 2.0660e-01]'	'[9.9459e-01, 9.9894e-01, 2.0036e-01]'	'[1.4302e+00, 1.0575e+00, 5.5910e-01]'	'[1.4843e+00, 6.3373e+00, 2.7033e+01]'
0,45	'[1.0000e+00, 1.0000e+00, 2.0250e-01]'	'[9.9282e-01, 1.0941e+00, 3.1473e-01]'	'[9.4424e-01, 1.1486e+00, 3.4496e-01]'	'[1.4355e+00, 1.0002e+00, 5.0150e-01]'	'[9.4821e-01, 1.1523e+00, 4.8502e-01]'
0,50	'[1.0000e+00, 1.0000e+00, 2.5000e-01]'	'[1.0118e+00, 1.0124e+00, 2.5877e-01]'	'[1.0137e+00, 1.0120e+00, 2.6036e-01]'	'[1.4789e+00, 9.2032e-01, 4.3657e-01]'	'[1.1130e+00, 1.2842e+00, 6.4630e-01]'
0,50	'[1.0000e+00, 1.0000e+00, 2.5000e-01]'	'[9.9449e-01, 1.1086e+00, 4.0328e-01]'	'[9.5663e-01, 1.0550e+00, 2.7894e-01]'	'[1.3479e+00, 9.9238e-01, 4.9241e-01]'	'[1.1391e+00, 1.2421e+00, 7.9375e-01]'
0,55	'[1.0000e+00, 1.0000e+00, 3.0250e-01]'	'[9.9979e-01, 9.9444e-01, 2.8695e-01]'	'[1.0000e+00, 9.9321e-01, 2.8595e-01]'	'[1.3783e+00, 8.7392e-01, 3.8230e-01]'	'[1.0526e+00, 9.5119e-01, 3.0158e-01]'
0,55	'[1.0000e+00, 1.0000e+00, 3.0250e-01]'	'[9.9494e-01, 1.1212e+00, 4.9365e-01]'	'[9.6201e-01, 1.0544e+00, 3.3293e-01]'	'[1.2600e+00, 1.0087e+00, 5.0874e-01]'	'[1.0591e+00, 9.9259e-01, 3.2841e-01]'
0,60	'[1.0000e+00, 1.0000e+00, 3.6000e-01]'	'[9.9760e-01, 9.8670e-01, 3.4432e-01]'	'[9.9871e-01, 9.8422e-01, 3.4223e-01]'	'[1.2834e+00, 8.9448e-01, 4.0005e-01]'	'[1.4884e+00, 2.2458e+00, 3.6222e+00]'
0,60	'[1.0000e+00, 1.0000e+00, 3.6000e-01]'	'[1.0016e+00, 1.1175e+00, 5.5822e-01]'	'[9.9116e-01, 1.0308e+00, 3.8612e-01]'	'[1.1824e+00, 1.0254e+00, 5.2579e-01]'	'[1.0025e+00, 1.0144e+00, 3.8212e-01]'
0,65	'[1.0000e+00, 1.0000e+00, 4.2250e-01]'	'[1.0124e+00, 1.0230e+00, 4.5370e-01]'	'[1.0124e+00, 1.0181e+00, 4.4620e-01]'	'[1.2244e+00, 9.1204e-01, 4.1591e-01]'	'[1.1391e+00, 9.4975e-01, 4.3002e-01]'
0,65	'[1.0000e+00, 1.0000e+00, 4.2250e-01]'	'[9.8739e-01, 1.1087e+00, 6.2028e-01]'	'[9.9891e-01, 1.0806e+00, 5.3249e-01]'	'[1.1011e+00, 9.8925e-01, 4.9435e-01]'	'[1.2106e+00, 2.1561e+00, 3.6275e+00]'
0,70	'[1.0000e+00, 1.0000e+00, 4.9000e-01]'	'[9.9280e-01, 1.0034e+00, 4.8682e-01]'	'[9.9398e-01, 1.0187e+00, 4.9678e-01]'	'[1.1626e+00, 8.9330e-01, 4.3378e-01]'	'[1.0707e+00, 9.3847e-01, 4.5842e-01]'
0,70	'[1.0000e+00, 1.0000e+00, 4.9000e-01]'	'[1.0026e+00, 1.0941e+00, 7.1039e-01]'	'[9.4798e-01, 1.0006e+00, 4.5649e-01]'	'[1.0005e+00, 9.9627e-01, 4.9628e-01]'	'[9.5589e-01, 9.9622e-01, 4.5610e-01]'
0,75	'[1.0000e+00, 1.0000e+00, 5.6250e-01]'	'[1.0069e+00, 1.0262e+00, 6.1362e-01]'	'[1.0089e+00, 1.0154e+00, 5.9703e-01]'	'[1.1060e+00, 9.4584e-01, 5.5480e-01]'	'[1.1393e+00, 4.5985e+00, 1.5468e+01]'
0,75	'[1.0000e+00, 1.0000e+00, 5.6250e-01]'	'[1.0134e+00, 1.1082e+00, 8.0498e-01]'	'[9.7953e-01, 1.0531e+00, 6.4644e-01]'	'[1.0049e+00, 1.0267e+00, 6.1764e-01]'	'[6.8920e-01, 2.4564e+00, 4.6159e+00]'
0,80	'[1.0000e+00, 1.0000e+00, 6.4000e-01]'	'[1.0058e+00, 1.0172e+00, 6.7654e-01]'	'[1.0039e+00, 1.0186e+00, 6.7522e-01]'	'[1.0812e+00, 9.6226e-01, 6.4483e-01]'	'[1.0194e+00, 1.0290e+00, 6.8365e-01]'
0,80	'[1.0000e+00, 1.0000e+00, 6.4000e-01]'	'[1.0238e+00, 1.0935e+00, 8.3871e-01]'	'[1.0131e+00, 1.0262e+00, 6.7358e-01]'	'[1.0131e+00, 1.0250e+00, 6.7113e-01]'	'[9.7658e-01, 1.0413e+00, 6.7064e-01]'
0,85	'[1.0000e+00, 1.0000e+00, 7.2250e-01]'	'[9.8905e-01, 9.9432e-01, 6.9449e-01]'	'[9.8955e-01, 9.8115e-01, 6.7118e-01]'	'[9.8934e-01, 9.5598e-01, 6.2499e-01]'	'[1.0045e+00, 9.7005e-01, 6.6540e-01]'
0,85	'[1.0000e+00, 1.0000e+00, 7.2250e-01]'	'[9.9812e-01, 1.0392e+00, 8.0312e-01]'	'[9.7556e-01, 1.0131e+00, 7.2492e-01]'	'[9.9582e-01, 1.0022e+00, 7.2453e-01]'	'[9.8835e-01, 1.0031e+00, 7.1934e-01]'
0,90	'[1.0000e+00, 1.0000e+00, 8.1000e-01]'	'[9.9364e-01, 1.0005e+00, 7.9795e-01]'	'[9.9280e-01, 9.9527e-01, 7.8578e-01]'	'[9.9374e-01, 9.8235e-01, 7.6347e-01]'	'[9.9316e-01, 9.9020e-01, 7.7745e-01]'
0,90	'[1.0000e+00, 1.0000e+00, 8.1000e-01]'	'[9.9533e-01, 1.0073e+00, 8.2981e-01]'	'[9.9360e-01, 9.9384e-01, 7.6620e-01]'	'[9.9089e-01, 9.8480e-01, 7.7318e-01]'	'[9.9089e-01, 9.8480e-01, 7.7318e-01]'
0,95	'[1.0000e+00, 1.0000e+00, 9.0250e-01]'	'[9.9394e-01, 1.0020e+00, 8.8933e-01]'	'[7.8898e-01, 1.1481e+00, 6.6536e-01]'	'[9.9571e-01, 9.9852e-01, 8.8826e-01]'	'[9.9494e-01, 1.0005e+00, 8.8933e-01]'
0,95	'[1.0000e+00, 1.0000e+00, 9.0250e-01]'	'[9.9109e-01, 1.0119e+00, 9.0226e-01]'	'[8.7831e-01, 1.0896e+00, 7.2390e-01]'	'[1.0043e+00, 1.0039e+00, 9.0114e-01]'	'[1.0045e+00, 1.0106e+00, 9.1210e-01]'
odch 1 pro sigma <= 0.65	'[0.0000e+00, 0.0000e+00, 0.0000e+00]'	'[7.2137e-04, 7.2129e-02, 1.6446e-01]'	'[7.9410e-03, 4.4521e-02, 3.9592e-02]'	'[2.5028e+00, 5.3020e-02, 8.6229e-01]'	'[1.3510e+00, 3.1715e+01, 7.4196e+02]'
odch 2 pro sigma > 0.65	'[0.0000e+00, 0.0000e+00, 0.0000e+00]'	'[1.1895e-03, 3.2056e-02, 1.5881e-01]'	'[6.3564e-02, 3.4973e-02, 1.0505e-01]'	'[4.4735e-02, 1.9595e-02, 2.0529e-02]'	'[1.2420e-01, 1.5078e+01, 2.3861e+02]'
Celková odchylka	'[0.0000e+00, 0.0000e+00, 0.0000e+00]'	'[1.9109e-03, 1.0418e-01, 3.2326e-01]'	'[7.1505e-02, 7.9494e-02, 1.4464e-01]'	'[2.5475e+00, 7.2615e-02, 8.8282e-01]'	'[1.4752e+00, 4.6793e+01, 9.8057e+02]'
Vážená odchylka 1.	0,0000E+00	9,1604E-02	4,3399E-02	2,8167E+00	2,6453E+02
Vážená odchylka 2.	0,0000E+00	7,0154E-02	1,1607E-01	6,1376E-02	8,7199E+01
Vážená odchylka P1	0,0000E+00	3,9817E-03	7,8508E-02	1,6592E+00	3,4026E+02
Vážená odchylka P2	0,0000E+00	1,5778E-01	8,0958E-02	1,2188E+00	1,1471E+01
Celková váž. odch.	0,0000E+00	1,6176E-01	1,5947E-01	2,8781E+00	3,5173E+02



**Tabulka č. 30 Charakteristická čísla pro signál Double Pulse s 10% šumem**

sigma	F	P1D	P2D	P2	P3
0,35	'[1.0000e+00, 1.0000e+00, 1.2250e-01]'	'[1.0233e+00, 1.0062e+00, 1.2950e-01]'	'[1.0233e+00, 1.0062e+00, 1.2950e-01]'	'[1.4528e+00, 1.2154e+00, 7.3857e-01]'	'[1.0967e+00, 1.4544e+00, 7.9615e-01]'
0,35	'[1.0000e+00, 1.0000e+00, 1.2250e-01]'	'[1.0399e+00, 1.1340e+00, 2.5533e-01]'	'[8.1759e-01, 1.1855e+00, 2.4701e-01]'	'[0.0000e+00, 2.4209e-02, 4.0544e-04]'	'[4.4475e-01, 1.1330e+00, 5.8449e-01]'
0,40	'[1.0000e+00, 1.0000e+00, 1.6000e-01]'	'[1.0138e+00, 1.0129e+00, 1.7052e-01]'	'[1.0140e+00, 1.0155e+00, 1.7082e-01]'	'[1.2716e+02, 7.4408e+02, 5.5362e+05]'	'[1.0959e+00, 1.4420e+00, 7.9709e-01]'
0,40	'[1.0000e+00, 1.0000e+00, 1.6000e-01]'	'[1.0343e+00, 1.1637e+00, 3.6620e-01]'	'[8.5023e-01, 1.2190e+00, 3.5520e-01]'	'[1.4531e+00, 2.0764e+00, 4.3113e+00]'	'[1.3883e+00, 1.2916e+00, 8.3416e-01]'
0,45	'[1.0000e+00, 1.0000e+00, 2.0250e-01]'	'[9.9595e-01, 1.0004e+00, 2.0546e-01]'	'[9.9601e-01, 1.0009e+00, 2.0552e-01]'	'[8.9801e+02, 5.3781e+03, 2.8924e+07]'	'[1.1981e+00, 1.9016e+00, 2.1276e+00]'
0,45	'[1.0000e+00, 1.0000e+00, 2.0250e-01]'	'[1.0267e+00, 1.1764e+00, 4.4503e-01]'	'[9.1761e-01, 1.0715e+00, 2.8665e-01]'	'[1.1962e+00, 1.2432e+00, 7.7311e-01]'	'[1.0194e+00, 1.1965e+00, 5.9800e-01]'
0,50	'[1.0000e+00, 1.0000e+00, 2.5000e-01]'	'[1.0164e+00, 1.0125e+00, 2.6719e-01]'	'[1.0164e+00, 1.0125e+00, 2.6719e-01]'	'[1.3604e+00, 1.1359e+00, 6.4589e-01]'	'[1.0455e+00, 1.2696e+00, 6.4819e-01]'
0,50	'[1.0000e+00, 1.0000e+00, 2.5000e-01]'	'[1.0357e+00, 1.1910e+00, 5.6678e-01]'	'[1.0099e+00, 1.0834e+00, 3.5160e-01]'	'[1.2584e+00, 1.1820e+00, 6.9852e-01]'	'[1.4857e+00, 1.8618e+01, 3.2780e+02]'
0,55	'[1.0000e+00, 1.0000e+00, 3.0250e-01]'	'[9.8064e-01, 9.9749e-01, 2.9038e-01]'	'[9.8130e-01, 9.9493e-01, 2.8786e-01]'	'[1.2727e+00, 1.2527e+00, 7.8463e-01]'	'[1.1296e+00, 9.5997e-01, 3.0718e-01]'
0,55	'[1.0000e+00, 1.0000e+00, 3.0250e-01]'	'[1.0388e+00, 1.2120e+00, 6.7510e-01]'	'[9.5662e-01, 1.1665e+00, 5.0005e-01]'	'[1.1346e+00, 1.1102e+00, 6.1631e-01]'	'[1.0424e+00, 1.0205e+00, 3.4715e-01]'
0,60	'[1.0000e+00, 1.0000e+00, 3.6000e-01]'	'[1.0022e+00, 9.9136e-01, 3.4450e-01]'	'[1.0002e+00, 9.9150e-01, 3.4283e-01]'	'[9.1170e-01, 1.2632e+00, 7.9780e-01]'	'[5.2568e-01, 1.7972e+00, 2.3997e+00]'
0,60	'[1.0000e+00, 1.0000e+00, 3.6000e-01]'	'[1.0469e+00, 1.2193e+00, 7.8639e-01]'	'[1.0029e+00, 1.0526e+00, 4.2351e-01]'	'[1.3487e+00, 1.7131e+00, 2.9346e+00]'	'[1.0022e+00, 1.0533e+00, 4.1330e-01]'
0,65	'[1.0000e+00, 1.0000e+00, 4.2250e-01]'	'[1.0171e+00, 1.0097e+00, 4.3557e-01]'	'[1.0193e+00, 1.0134e+00, 4.4028e-01]'	'[1.1541e+00, 1.0190e+00, 5.1963e-01]'	'[1.0504e+00, 9.9304e-01, 4.4058e-01]'
0,65	'[1.0000e+00, 1.0000e+00, 4.2250e-01]'	'[1.0339e+00, 1.1984e+00, 8.3373e-01]'	'[9.9134e-01, 1.0066e+00, 4.2605e-01]'	'[1.0769e+00, 1.0510e+00, 5.5303e-01]'	'[9.9465e-01, 1.0067e+00, 4.3862e-01]'
0,70	'[1.0000e+00, 1.0000e+00, 4.9000e-01]'	'[1.0105e+00, 1.0002e+00, 4.8741e-01]'	'[1.0124e+00, 1.0134e+00, 5.0538e-01]'	'[1.1050e+00, 9.5375e-01, 4.5482e-01]'	'[1.0302e+00, 9.5666e-01, 4.2851e-01]'
0,70	'[1.0000e+00, 1.0000e+00, 4.9000e-01]'	'[1.0670e+00, 1.2439e+00, 1.0642e+00]'	'[1.0175e+00, 1.0205e+00, 5.2073e-01]'	'[1.0171e+00, 1.0144e+00, 5.1989e-01]'	'[1.0172e+00, 1.0217e+00, 5.2198e-01]'
0,75	'[1.0000e+00, 1.0000e+00, 5.6250e-01]'	'[1.0155e+00, 1.0112e+00, 5.8193e-01]'	'[1.0153e+00, 1.0105e+00, 5.8063e-01]'	'[1.0373e+00, 9.0119e-01, 4.0607e-01]'	'[6.7407e-01, 1.4413e+00, 1.5795e+00]'
0,75	'[1.0000e+00, 1.0000e+00, 5.6250e-01]'	'[1.0421e+00, 1.1893e+00, 9.8867e-01]'	'[9.9835e-01, 9.9251e-01, 5.0022e-01]'	'[9.9840e-01, 9.9304e-01, 5.3070e-01]'	'[9.9840e-01, 9.9304e-01, 5.3070e-01]'
0,80	'[1.0000e+00, 1.0000e+00, 6.4000e-01]'	'[9.7929e-01, 9.8071e-01, 6.0959e-01]'	'[9.8166e-01, 9.9472e-01, 6.1903e-01]'	'[9.8565e-01, 8.8815e-01, 4.5499e-01]'	'[9.8369e-01, 9.3263e-01, 5.3134e-01]'
0,80	'[1.0000e+00, 1.0000e+00, 6.4000e-01]'	'[1.0016e+00, 1.1122e+00, 8.9782e-01]'	'[9.6608e-01, 9.6705e-01, 5.4530e-01]'	'[9.6621e-01, 9.6631e-01, 5.7039e-01]'	'[4.3358e-01, 1.2774e+00, 1.4865e+00]'
0,85	'[1.0000e+00, 1.0000e+00, 7.2250e-01]'	'[9.9835e-01, 9.9759e-01, 7.2250e-01]'	'[9.9941e-01, 1.0036e+00, 7.1402e-01]'	'[1.0012e+00, 9.3197e-01, 5.9250e-01]'	'[9.6407e-01, 1.0317e+00, 7.6058e-01]'
0,85	'[1.0000e+00, 1.0000e+00, 7.2250e-01]'	'[1.0048e+00, 1.0818e+00, 9.0276e-01]'	'[9.9026e-01, 1.0057e+00, 7.3542e-01]'	'[9.9037e-01, 1.0012e+00, 7.2677e-01]'	'[9.9028e-01, 1.0056e+00, 7.3544e-01]'
0,90	'[1.0000e+00, 1.0000e+00, 8.1000e-01]'	'[9.8201e-01, 9.9357e-01, 7.8649e-01]'	'[9.8050e-01, 9.9088e-01, 7.7991e-01]'	'[9.7983e-01, 9.5430e-01, 7.1070e-01]'	'[9.7816e-01, 9.6995e-01, 7.3942e-01]'
0,90	'[1.0000e+00, 1.0000e+00, 8.1000e-01]'	'[1.0023e+00, 1.0468e+00, 9.0553e-01]'	'[9.9734e-01, 1.0095e+00, 8.1201e-01]'	'[9.9717e-01, 1.0068e+00, 8.1950e-01]'	'[9.9717e-01, 1.0068e+00, 8.1950e-01]'
0,95	'[1.0000e+00, 1.0000e+00, 9.0250e-01]'	'[9.8478e-01, 9.7554e-01, 8.5107e-01]'	'[9.8523e-01, 9.7282e-01, 8.4653e-01]'	'[9.8530e-01, 9.6577e-01, 8.3310e-01]'	'[9.8600e-01, 9.7316e-01, 8.4680e-01]'
0,95	'[1.0000e+00, 1.0000e+00, 9.0250e-01]'	'[9.9763e-01, 1.0011e+00, 9.0612e-01]'	'[9.9680e-01, 9.9381e-01, 8.9096e-01]'	'[9.9714e-01, 9.9118e-01, 8.8621e-01]'	'[9.9713e-01, 9.9118e-01, 8.8620e-01]'
odch 1 pro sigma <=0.65	'[0.0000e+00, 0.0000e+00, 0.0000e+00]'	'[1.1295e-02, 2.4528e-01, 7.1010e-01]'	'[6.6301e-02, 1.2570e-01, 1.1538e-01]'	'[8.2054e+05, 2.9466e+07, 8.3693e+14]'	'[1.0013e+00, 3.1245e+02, 1.0730e+05]'
odch 2 pro sigma >0.65	'[0.0000e+00, 0.0000e+00, 0.0000e+00]'	'[7.6345e-03, 1.1796e-01, 6.2406e-01]'	'[2.8938e-03, 2.8743e-03, 1.9210e-02]'	'[1.4792e-02, 3.3817e-02, 9.8635e-02]'	'[4.3061e-01, 2.8137e-01, 1.7786e+00]'
Celková odchyška	'[0.0000e+00, 0.0000e+00, 0.0000e+00]'	'[1.8929e-02, 3.6324e-01, 1.3342e+00]'	'[6.9195e-02, 1.2857e-01, 1.3459e-01]'	'[8.2054e+05, 2.9466e+07, 8.3693e+14]'	'[1.4319e+00, 3.1274e+02, 1.0730e+05]'
Vážená odchyška 1.	0,0000E+00	3,7064E-01	1,6761E-01	2,7898E+14	3,5923E+04
Vážená odchyška 2.	0,0000E+00	2,7463E-01	1,0734E-02	6,4579E-02	1,1642E+00
Vážená odchyška P1	0,0000E+00	5,7648E-03	6,1361E-03	2,7898E+14	4,7925E+00
Vážená odchyška P2	0,0000E+00	6,3951E-01	1,7221E-01	1,0997E+01	3,5919E+04
Celková váž. odch.	0,0000E+00	6,4527E-01	1,7834E-01	2,7898E+14	3,5924E+04

**Tabulka č. 31 Charakteristická čísla pro signál Pulse10 s 10% šumem**

sigma	F	P1D	P2D	P2	P3
0,35	'[1.0000e+00, 1.0000e+00, 1.2250e-01]'	'[9.9828e-01, 9.9857e-01, 1.2294e-01]'	'[9.9818e-01, 9.9651e-01, 1.2005e-01]'	'[1.0164e+00, 9.6561e-01, 4.6620e-01]'	'[9.9237e-01, 1.2618e+01, 1.3210e+02]'
0,35	'[1.0000e+00, 1.0000e+00, 1.2250e-01]'	'[1.0023e+00, 1.0364e+00, 1.6726e-01]'	'[9.9931e-01, 1.0587e+00, 1.7472e-01]'	'[1.0204e+00, 1.0347e+00, 5.3528e-01]'	'[1.0261e+00, 9.2665e-01, 4.2934e-01]'
0,40	'[1.0000e+00, 1.0000e+00, 1.6000e-01]'	'[1.0031e+00, 1.0006e+00, 1.6561e-01]'	'[1.0030e+00, 1.0044e+00, 1.6567e-01]'	'[1.0212e+00, 9.9740e-01, 4.9741e-01]'	'[1.0024e+00, 1.1678e+00, 5.0246e-01]'
0,40	'[1.0000e+00, 1.0000e+00, 1.6000e-01]'	'[1.0009e+00, 1.0439e+00, 2.3546e-01]'	'[9.9872e-01, 1.0397e+00, 1.9923e-01]'	'[1.0169e+00, 1.0305e+00, 5.3181e-01]'	'[1.0199e+00, 9.5581e-01, 4.5678e-01]'
0,45	'[1.0000e+00, 1.0000e+00, 2.0250e-01]'	'[9.9829e-01, 1.0044e+00, 2.0698e-01]'	'[9.9836e-01, 1.0039e+00, 2.0726e-01]'	'[1.0142e+00, 1.0166e+00, 5.2252e-01]'	'[9.9918e-01, 1.1622e+00, 5.0639e-01]'



0,45	'[1.0000e+00, 1.0000e+00, 2.0250e-01]'	'[1.0030e+00, 1.0540e+00, 2.8046e-01]'	'[1.0035e+00, 1.0798e+00, 3.0021e-01]'	'[1.0127e+00, 1.0673e+00, 5.7118e-01]'	'[1.0108e+00, 9.9586e-01, 3.3119e-01]'
0,50	'[1.0000e+00, 1.0000e+00, 2.5000e-01]'	'[1.0031e+00, 9.9526e-01, 2.4164e-01]'	'[1.0030e+00, 9.9257e-01, 2.3755e-01]'	'[1.0142e+00, 9.8938e-01, 4.8944e-01]'	'[1.0030e+00, 1.0910e+00, 4.5398e-01]'
0,50	'[1.0000e+00, 1.0000e+00, 2.5000e-01]'	'[1.0003e+00, 1.0507e+00, 3.5059e-01]'	'[9.9959e-01, 1.0677e+00, 3.1574e-01]'	'[1.0227e+00, 1.0589e+00, 1.1213e+00]'	'[9.9730e-01, 1.1864e+00, 4.7897e-01]'
0,55	'[1.0000e+00, 1.0000e+00, 3.0250e-01]'	'[1.0011e+00, 1.0012e+00, 3.1153e-01]'	'[1.0011e+00, 1.0006e+00, 3.1009e-01]'	'[1.0138e+00, 9.4364e-01, 4.4532e-01]'	'[1.0019e+00, 1.2041e+00, 5.8249e-01]'
0,55	'[1.0000e+00, 1.0000e+00, 3.0250e-01]'	'[1.0000e+00, 1.0520e+00, 4.0505e-01]'	'[9.9572e-01, 1.0680e+00, 4.1851e-01]'	'[1.0031e+00, 1.1631e+00, 6.7644e-01]'	'[1.0010e+00, 1.0005e+00, 3.3365e-01]'
0,60	'[1.0000e+00, 1.0000e+00, 3.6000e-01]'	'[1.0019e+00, 1.0056e+00, 3.5970e-01]'	'[1.0017e+00, 1.0051e+00, 3.5673e-01]'	'[1.0109e+00, 9.5808e-01, 4.5895e-01]'	'[1.0026e+00, 1.1713e+00, 5.7745e-01]'
0,60	'[1.0000e+00, 1.0000e+00, 3.6000e-01]'	'[9.9863e-01, 1.0480e+00, 4.6897e-01]'	'[9.9773e-01, 1.0473e+00, 4.0555e-01]'	'[1.0057e+00, 9.8321e-01, 4.8337e-01]'	'[1.0028e+00, 2.7950e+00, 5.8232e+00]'
0,65	'[1.0000e+00, 1.0000e+00, 4.2250e-01]'	'[9.9937e-01, 9.9687e-01, 4.2181e-01]'	'[9.9940e-01, 9.9608e-01, 4.2087e-01]'	'[1.0041e+00, 9.5832e-01, 4.5919e-01]'	'[9.9862e-01, 4.4577e+00, 1.5726e+01]'
0,65	'[1.0000e+00, 1.0000e+00, 4.2250e-01]'	'[9.9949e-01, 1.0517e+00, 5.3060e-01]'	'[9.9927e-01, 1.0108e+00, 4.3771e-01]'	'[9.9763e-01, 1.0626e+00, 5.6457e-01]'	'[9.9689e-01, 6.5430e+00, 3.0884e+01]'
0,70	'[1.0000e+00, 1.0000e+00, 4.9000e-01]'	'[9.9867e-01, 1.0117e+00, 4.8912e-01]'	'[9.9848e-01, 1.0110e+00, 4.8469e-01]'	'[1.0154e+00, 1.0320e+00, 1.0651e+00]'	'[9.9848e-01, 1.3694e+00, 6.9961e-01]'
0,70	'[1.0000e+00, 1.0000e+00, 4.9000e-01]'	'[1.0020e+00, 1.0446e+00, 6.1942e-01]'	'[1.0005e+00, 1.0048e+00, 4.9764e-01]'	'[1.0008e+00, 1.0039e+00, 5.0395e-01]'	'[1.0005e+00, 1.0048e+00, 4.9731e-01]'
0,75	'[1.0000e+00, 1.0000e+00, 5.6250e-01]'	'[9.9808e-01, 1.0002e+00, 5.6275e-01]'	'[9.9863e-01, 1.0300e+00, 5.8774e-01]'	'[9.9959e-01, 9.7498e-01, 5.5336e-01]'	'[9.9879e-01, 9.8617e-01, 5.5612e-01]'
0,75	'[1.0000e+00, 1.0000e+00, 5.6250e-01]'	'[9.9680e-01, 1.0397e+00, 6.5478e-01]'	'[9.9591e-01, 1.0032e+00, 5.4910e-01]'	'[9.9591e-01, 1.0030e+00, 5.4913e-01]'	'[9.9592e-01, 1.0083e+00, 5.5151e-01]'
0,80	'[1.0000e+00, 1.0000e+00, 6.4000e-01]'	'[9.9672e-01, 9.9930e-01, 6.2541e-01]'	'[9.9691e-01, 9.9809e-01, 6.2679e-01]'	'[9.9716e-01, 9.8009e-01, 5.9821e-01]'	'[9.9699e-01, 1.0278e+00, 6.5065e-01]'
0,80	'[1.0000e+00, 1.0000e+00, 6.4000e-01]'	'[9.9827e-01, 1.0173e+00, 6.9062e-01]'	'[9.9745e-01, 1.0056e+00, 6.4837e-01]'	'[9.9777e-01, 9.9858e-01, 6.3813e-01]'	'[9.9784e-01, 1.0035e+00, 6.5026e-01]'
0,85	'[1.0000e+00, 1.0000e+00, 7.2250e-01]'	'[1.0017e+00, 1.0051e+00, 7.1770e-01]'	'[1.0102e+00, 1.7842e+00, 2.6037e+00]'	'[1.0012e+00, 9.9708e-01, 6.9473e-01]'	'[1.0008e+00, 1.0173e+00, 7.1512e-01]'
0,85	'[1.0000e+00, 1.0000e+00, 7.2250e-01]'	'[9.9801e-01, 9.9585e-01, 7.2405e-01]'	'[9.9788e-01, 9.8258e-01, 6.8959e-01]'	'[9.9791e-01, 9.8041e-01, 6.8614e-01]'	'[9.9790e-01, 9.8288e-01, 6.9058e-01]'
0,90	'[1.0000e+00, 1.0000e+00, 8.1000e-01]'	'[9.9998e-01, 1.0083e+00, 8.4030e-01]'	'[1.0000e+00, 1.0105e+00, 8.4253e-01]'	'[1.0002e+00, 1.0050e+00, 8.3941e-01]'	'[1.0001e+00, 1.0309e+00, 8.6322e-01]'
0,90	'[1.0000e+00, 1.0000e+00, 8.1000e-01]'	'[9.9999e-01, 1.0030e+00, 8.0811e-01]'	'[9.9979e-01, 1.0003e+00, 7.9697e-01]'	'[9.9985e-01, 9.9737e-01, 7.9333e-01]'	'[9.9986e-01, 1.0068e+00, 8.0238e-01]'
0,95	'[1.0000e+00, 1.0000e+00, 9.0250e-01]'	'[1.0022e+00, 1.0034e+00, 8.9576e-01]'	'[1.0023e+00, 1.0065e+00, 8.9737e-01]'	'[1.0022e+00, 1.0019e+00, 8.9387e-01]'	'[1.0022e+00, 1.4429e+00, 1.1442e+00]'
0,95	'[1.0000e+00, 1.0000e+00, 9.0250e-01]'	'[9.9981e-01, 1.0020e+00, 9.1791e-01]'	'[9.9881e-01, 1.0749e+00, 9.1446e-01]'	'[9.9966e-01, 1.0008e+00, 9.1095e-01]'	'[9.9910e-01, 1.2368e+00, 9.8244e-01]'
odch 1 pro sigma <=0.65	'[0.0000e+00, 0.0000e+00, 0.0000e+00]'	'[4.6670e-05, 1.6506e-02, 5.8173e-02]'	'[6.7534e-05, 2.3081e-02, 3.4185e-02]'	'[2.8764e-03, 4.9180e-02, 1.8022e+00]'	'[1.3092e-03, 1.8107e+02, 1.8612e+04]'
odch 2 pro sigma >0.65	'[0.0000e+00, 0.0000e+00, 0.0000e+00]'	'[4.4692e-05, 4.1374e-03, 2.9271e-02]'	'[1.5230e-04, 6.2214e-01, 3.4635e+00]'	'[2.7721e-04, 2.5042e-03, 3.3635e-01]'	'[4.5248e-05, 3.9132e-01, 1.1316e-01]'
Celková odchyška	'[0.0000e+00, 0.0000e+00, 0.0000e+00]'	'[9.1362e-05, 2.0643e-02, 8.7444e-02]'	'[2.1983e-04, 6.4522e-01, 3.5767e+00]'	'[3.1536e-03, 5.1684e-02, 2.1386e+00]'	'[1.3545e-03, 1.8146e+02, 1.8612e+04]'
Vážená odchyška 1.	0,0000E+00	2,7691E-02	2,3003E-02	6,2821E-01	6,2944E+03
Vážená odchyška 2.	0,0000E+00	1,1870E-02	1,4921E+00	1,1364E-01	2,3343E-01
Vážená odchyška P1	0,0000E+00	6,8599E-04	1,4887E+00	2,5938E-01	5,9583E+03
Vážená odchyška P2	0,0000E+00	3,8875E-02	2,6389E-02	4,8247E-01	3,3636E+02
Celková váž. odch.	0,0000E+00	3,9561E-02	1,5151E+00	7,4186E-01	6,2946E+03

Tabulka č. 32 Charakteristická čísla pro signál Wavemix s 10% šumem

sigma	F	P1D	P2D	P2	P3
0,35	'[1.0000e+00, 1.0000e+00, 1.2250e-01]'	'[1.0091e+00, 1.0042e+00, 1.2728e-01]'	'[1.0084e+00, 9.9645e-01, 1.2094e-01]'	'[6.2634e-01, 7.5574e-01, 4.3209e-01]'	'[1.3517e+00, 1.5662e+00, 1.1827e+00]'
0,35	'[1.0000e+00, 1.0000e+00, 1.2250e-01]'	'[1.0056e+00, 1.1338e+00, 2.5603e-01]'	'[9.9749e-01, 1.1074e+00, 1.9869e-01]'	'[7.0528e-01, 1.3791e+00, 9.5105e-01]'	'[1.0393e+00, 2.2450e+00, 1.9837e+00]'
0,40	'[1.0000e+00, 1.0000e+00, 1.6000e-01]'	'[9.9809e-01, 9.9854e-01, 1.5727e-01]'	'[9.9794e-01, 9.9696e-01, 1.5586e-01]'	'[1.9370e-01, 1.6854e+00, 1.4204e+00]'	'[1.3423e+00, 1.3875e+00, 9.2229e-01]'
0,40	'[1.0000e+00, 1.0000e+00, 1.6000e-01]'	'[1.0121e+00, 1.1391e+00, 3.5072e-01]'	'[9.7723e-01, 1.1199e+00, 2.6487e-01]'	'[9.4741e-01, 1.2790e+00, 8.2011e-01]'	'[4.8639e+03, 7.7835e+03, 6.0583e+07]'
0,45	'[1.0000e+00, 1.0000e+00, 2.0250e-01]'	'[9.9808e-01, 9.9771e-01, 1.9944e-01]'	'[9.9782e-01, 9.9328e-01, 1.9511e-01]'	'[1.1205e-01, 7.9550e-04, 3.6386e-01]'	'[4.9124e+03, 8.1380e+03, 6.6227e+07]'
0,45	'[1.0000e+00, 1.0000e+00, 2.0250e-01]'	'[1.0331e+00, 1.1426e+00, 4.3296e-01]'	'[1.0171e+00, 1.0649e+00, 2.7630e-01]'	'[7.6568e-01, 1.3549e+00, 9.1811e-01]'	'[1.1258e+00, 1.2011e+00, 5.6068e-01]'
0,50	'[1.0000e+00, 1.0000e+00, 2.5000e-01]'	'[9.9607e-01, 9.9106e-01, 2.3699e-01]'	'[9.9649e-01, 1.0035e+00, 2.4168e-01]'	'[3.6743e+05, 6.0781e+05, 3.6943e+11]'	'[1.1572e+00, 1.1905e+00, 7.0863e-01]'
0,50	'[1.0000e+00, 1.0000e+00, 2.5000e-01]'	'[1.0466e+00, 1.1505e+00, 5.5023e-01]'	'[1.0016e+00, 1.0605e+00, 3.2160e-01]'	'[1.0628e+00, 1.0562e+00, 5.9468e-01]'	'[1.0188e+00, 1.1511e+00, 5.1123e-01]'
0,55	'[1.0000e+00, 1.0000e+00, 3.0250e-01]'	'[9.9370e-01, 9.9320e-01, 2.9310e-01]'	'[9.9365e-01, 9.9349e-01, 2.9309e-01]'	'[8.7691e-02, 1.4862e+00, 1.1071e+00]'	'[7.6663e-01, 1.9451e+00, 1.7655e+00]'
0,55	'[1.0000e+00, 1.0000e+00, 3.0250e-01]'	'[1.0629e+00, 1.1509e+00, 6.3961e-01]'	'[9.9407e-01, 1.0937e+00, 4.1763e-01]'	'[3.4607e-01, 1.6205e+00, 1.3144e+00]'	'[4.8732e+03, 8.0031e+03, 6.4050e+07]'
0,60	'[1.0000e+00, 1.0000e+00, 3.6000e-01]'	'[9.9504e-01, 9.9918e-01, 3.5643e-01]'	'[9.9488e-01, 9.9757e-01, 3.5434e-01]'	'[6.8211e-01, 1.3388e+00, 8.9625e-01]'	'[1.1737e+00, 1.4156e+00, 9.8420e-01]'
0,60	'[1.0000e+00, 1.0000e+00, 3.6000e-01]'	'[1.0591e+00, 1.1554e+00, 7.2455e-01]'	'[9.8888e-01, 1.0551e+00, 4.2475e-01]'	'[6.5878e-01, 1.4007e+00, 9.8094e-01]'	'[5.7446e+03, 1.0000e+04, 1.0000e+08]'

0,65	'[1.0000e+00, 1.0000e+00, 4.2250e-01]'	'[1.0028e+00, 9.9876e-01, 4.2144e-01]'	'[1.0025e+00, 9.9662e-01, 4.1825e-01]'	'[6.2953e-01, 1.0578e+00, 5.5950e-01]'	'[1.0680e+00, 1.1545e+00, 7.0203e-01]'
0,65	'[1.0000e+00, 1.0000e+00, 4.2250e-01]'	'[1.0671e+00, 1.1498e+00, 7.9932e-01]'	'[9.9893e-01, 1.1029e+00, 4.6054e-01]'	'[7.1475e-01, 1.0616e+00, 5.6352e-01]'	'[5.5200e+03, 1.0000e+04, 1.0000e+08]'
0,70	'[1.0000e+00, 1.0000e+00, 4.9000e-01]'	'[9.9893e-01, 1.0068e+00, 4.9334e-01]'	'[3.6418e-01, 1.0230e+00, 7.5257e-01]'	'[1.0271e+00, 9.8763e-01, 4.8825e-01]'	'[1.1108e+00, 1.6014e+00, 2.0770e+00]'
0,70	'[1.0000e+00, 1.0000e+00, 4.9000e-01]'	'[1.0801e+00, 1.1623e+00, 9.4012e-01]'	'[9.9728e-01, 1.0689e+00, 4.8416e-01]'	'[9.9889e-01, 1.0165e+00, 5.1927e-01]'	'[9.9414e-01, 9.9909e-01, 4.8614e-01]'
0,75	'[1.0000e+00, 1.0000e+00, 5.6250e-01]'	'[9.9061e-01, 9.9391e-01, 5.5070e-01]'	'[9.9093e-01, 1.0024e+00, 5.5347e-01]'	'[1.0039e+00, 9.4404e-01, 4.8634e-01]'	'[5.2653e+03, 1.0000e+04, 1.0000e+08]'
0,75	'[1.0000e+00, 1.0000e+00, 5.6250e-01]'	'[1.0581e+00, 1.1257e+00, 9.1130e-01]'	'[9.9076e-01, 9.8928e-01, 5.3651e-01]'	'[9.9078e-01, 9.8874e-01, 5.3732e-01]'	'[5.0449e+03, 1.0000e+04, 1.0000e+08]'
0,80	'[1.0000e+00, 1.0000e+00, 6.4000e-01]'	'[9.9474e-01, 9.9308e-01, 6.3007e-01]'	'[9.7284e-01, 1.1158e+00, 5.5043e-01]'	'[1.0075e+00, 9.5772e-01, 5.8895e-01]'	'[1.0005e+00, 9.6641e-01, 5.9538e-01]'
0,80	'[1.0000e+00, 1.0000e+00, 6.4000e-01]'	'[1.0470e+00, 1.0989e+00, 9.0579e-01]'	'[9.5704e-01, 1.0474e+00, 4.5215e-01]'	'[9.9916e-01, 9.9715e-01, 6.2989e-01]'	'[9.9897e-01, 9.9706e-01, 6.2963e-01]'
0,85	'[1.0000e+00, 1.0000e+00, 7.2250e-01]'	'[9.9713e-01, 9.9917e-01, 7.1739e-01]'	'[9.5284e-01, 1.1054e+00, 5.3395e-01]'	'[1.0046e+00, 9.7237e-01, 6.8183e-01]'	'[9.9966e-01, 9.8174e-01, 6.9249e-01]'
0,85	'[1.0000e+00, 1.0000e+00, 7.2250e-01]'	'[1.0147e+00, 1.0607e+00, 6.8384e-01]'	'[9.3226e-01, 1.0555e+00, 4.6119e-01]'	'[9.9369e-01, 1.0009e+00, 7.1418e-01]'	'[4.9067e+03, 1.0000e+04, 1.0000e+08]'
0,90	'[1.0000e+00, 1.0000e+00, 8.1000e-01]'	'[9.9975e-01, 9.9984e-01, 8.2052e-01]'	'[9.2020e-01, 1.0645e+00, 4.7433e-01]'	'[1.0012e+00, 9.8479e-01, 7.9518e-01]'	'[9.9973e-01, 9.9063e-01, 8.0389e-01]'
0,90	'[1.0000e+00, 1.0000e+00, 8.1000e-01]'	'[1.0157e+00, 1.0380e+00, 8.9818e-01]'	'[9.1562e-01, 1.0344e+00, 4.3471e-01]'	'[1.0065e+00, 1.0098e+00, 8.2785e-01]'	'[1.0065e+00, 1.0098e+00, 8.2786e-01]'
0,95	'[1.0000e+00, 1.0000e+00, 9.0250e-01]'	'[9.9768e-01, 9.9671e-01, 8.8795e-01]'	'[8.9048e-01, 1.0169e+00, 4.1406e-01]'	'[9.9776e-01, 9.9066e-01, 8.7663e-01]'	'[9.9750e-01, 9.9336e-01, 8.8138e-01]'
0,95	'[1.0000e+00, 1.0000e+00, 9.0250e-01]'	'[1.0071e+00, 1.0198e+00, 9.4504e-01]'	'[8.8659e-01, 1.0085e+00, 4.0173e-01]'	'[1.0047e+00, 1.0122e+00, 9.2607e-01]'	'[1.0047e+00, 1.0122e+00, 9.2608e-01]'
odch 1 pro sigma <=0.65	'[0.0000e+00, 0.0000e+00, 0.0000e+00]'	'[1.5574e-02, 1.4979e-01, 5.8630e-01]'	'[1.1432e-03, 5.6312e-02, 4.6550e-02]'	'[1.3500e+11, 3.6943e+11, 1.3648e+23]'	'[1.3496e+08, 3.9077e+08, 3.2159e+16]'
odch 2 pro sigma >0.65	'[0.0000e+00, 0.0000e+00, 0.0000e+00]'	'[1.2644e-02, 5.7566e-02, 4.2507e-01]'	'[4.5219e-01, 4.0939e-02, 9.5974e-01]'	'[1.0231e-03, 6.8095e-03, 1.3488e-02]'	'[7.7221e+07, 2.9995e+08, 3.0000e+16]'
Celková odchylka	'[0.0000e+00, 0.0000e+00, 0.0000e+00]'	'[2.8218e-02, 2.0735e-01, 1.0114e+00]'	'[4.5333e-01, 9.7251e-02, 1.0063e+00]'	'[1.3500e+11, 3.6943e+11, 1.3648e+23]'	'[2.1218e+08, 6.9072e+08, 6.2159e+16]'
Vážená odchylka 1.	0,0000E+00	2,8590E-01	4,4816E-02	4,5494E+22	1,0720E+16
Vážená odchylka 2.	0,0000E+00	1,8312E-01	7,9257E-01	8,9240E-03	1,0000E+16
Vážená odchylka P1	0,0000E+00	7,5920E-04	5,9537E-01	4,5494E+22	4,7953E+15
Vážená odchylka P2	0,0000E+00	4,6826E-01	2,4202E-01	2,2861E+00	1,5924E+16
Celková váž. odch.	0,0000E+00	4,6902E-01	8,3739E-01	4,5494E+22	2,0720E+16

Tabulka č. 33 Charakteristická čísla pro signál Sinus02 s 10% šumem

sigma	F	P1D	P2D	P2	P3
0,35	'[1.0000e+00, 1.0000e+00, 1.2250e-01]'	'[6.8320e-01, 2.5861e+03, 6.6877e+06]'	'[1.0081e+00, 9.8518e-01, 3.4243e-01]'	'[1.0022e+00, 1.0752e+00, 5.7806e-01]'	'[1.0016e+00, 1.0737e+00, 4.5185e-01]'
0,35	'[1.0000e+00, 1.0000e+00, 1.2250e-01]'	'[1.0002e+00, 9.7429e-01, 3.2981e-01]'	'[9.9750e-01, 9.7358e-01, 1.9050e-01]'	'[9.9736e-01, 1.1846e+00, 7.0159e-01]'	'[9.9906e-01, 1.0481e+00, 4.2220e-01]'
0,40	'[1.0000e+00, 1.0000e+00, 1.6000e-01]'	'[1.0042e+00, 9.9995e-01, 3.5994e-01]'	'[1.0046e+00, 1.0149e+00, 4.3463e-01]'	'[1.0170e+00, 1.0185e+00, 1.0373e+00]'	'[1.0044e+00, 1.0007e+00, 3.6761e-01]'
0,40	'[1.0000e+00, 1.0000e+00, 1.6000e-01]'	'[1.0081e+00, 1.0087e+00, 4.6797e-01]'	'[1.0077e+00, 1.1008e+00, 6.1030e-01]'	'[1.0089e+00, 1.0090e+00, 5.0906e-01]'	'[1.0074e+00, 3.4670e+00, 4.9802e+00]'
0,45	'[1.0000e+00, 1.0000e+00, 2.0250e-01]'	'[1.0011e+00, 1.0044e+00, 3.5069e-01]'	'[1.0011e+00, 1.1193e+00, 5.1434e-01]'	'[1.0016e+00, 1.0615e+00, 5.6577e-01]'	'[5.2718e+01, 3.6891e+03, 1.3610e+07]'
0,45	'[1.0000e+00, 1.0000e+00, 2.0250e-01]'	'[1.0037e+00, 9.7983e-01, 3.9521e-01]'	'[1.0037e+00, 9.7983e-01, 3.9516e-01]'	'[1.0054e+00, 9.8024e-01, 4.8044e-01]'	'[1.0035e+00, 1.0223e+00, 4.7444e-01]'
0,50	'[1.0000e+00, 1.0000e+00, 2.5000e-01]'	'[9.9623e-01, 1.0161e+00, 1.3278e-01]'	'[1.0006e+00, 1.0010e+00, 3.5933e-01]'	'[1.0028e+00, 1.0441e+00, 5.4504e-01]'	'[9.9485e-01, 1.0276e+00, 4.0570e-01]'
0,50	'[1.0000e+00, 1.0000e+00, 2.5000e-01]'	'[9.9989e-01, 8.9271e-01, 1.1444e-01]'	'[1.0036e+00, 9.4965e-01, 3.0057e-01]'	'[1.0167e+00, 9.9851e-01, 9.9700e-01]'	'[9.9490e-01, 1.0357e+00, 3.9490e-01]'
0,55	'[1.0000e+00, 1.0000e+00, 3.0250e-01]'	'[9.9634e-01, 9.7035e-01, 7.1004e-02]'	'[1.0005e+00, 9.4959e-01, 2.8859e-01]'	'[1.0136e+00, 9.9038e-01, 9.8086e-01]'	'[9.9502e-01, 1.0895e+00, 5.5134e-01]'
0,55	'[1.0000e+00, 1.0000e+00, 3.0250e-01]'	'[9.9521e-01, 9.9161e-01, 7.9268e-02]'	'[9.9926e-01, 9.4028e-01, 2.9191e-01]'	'[1.0033e+00, 9.9752e-01, 4.9752e-01]'	'[1.0130e+00, 1.0115e+00, 1.0231e+00]'
0,60	'[1.0000e+00, 1.0000e+00, 3.6000e-01]'	'[9.9442e-01, 1.0156e+00, 1.1790e-01]'	'[1.0125e+00, 5.1981e+00, 2.6137e+01]'	'[9.9411e-01, 1.1816e+00, 7.0823e-01]'	'[9.9479e-01, 1.0268e+00, 3.7042e-01]'
0,60	'[1.0000e+00, 1.0000e+00, 3.6000e-01]'	'[9.9400e-01, 5.5461e-01, 1.0747e-08]'	'[1.0048e+00, 1.2770e+01, 1.6159e+02]'	'[4.5258e-01, 5.8285e+02, 3.3971e+05]'	'[1.0076e+00, 1.0904e+00, 6.2610e-01]'
0,65	'[1.0000e+00, 1.0000e+00, 4.2250e-01]'	'[1.0041e+00, 9.9974e-01, 5.8918e-01]'	'[1.0028e+00, 1.2570e+00, 9.1788e-01]'	'[1.0118e+00, 1.0278e+00, 1.0563e+00]'	'[0.0000e+00, 3.1774e+01, 7.6747e+02]'
0,65	'[1.0000e+00, 1.0000e+00, 4.2250e-01]'	'[9.9827e-01, 9.8668e-01, 4.2252e-01]'	'[9.9826e-01, 9.8667e-01, 4.2245e-01]'	'[9.9935e-01, 9.9187e-01, 4.9190e-01]'	'[6.4148e-01, 3.1502e+00, 5.9437e+00]'
0,70	'[1.0000e+00, 1.0000e+00, 4.9000e-01]'	'[1.0011e+00, 9.7958e-01, 6.2348e-01]'	'[1.0004e+00, 9.8710e-01, 7.1909e-01]'	'[1.0013e+00, 9.7905e-01, 6.3077e-01]'	'[1.0077e+00, 9.8905e-01, 9.7822e-01]'
0,70	'[1.0000e+00, 1.0000e+00, 4.9000e-01]'	'[1.0004e+00, 1.0004e+00, 4.6615e-01]'	'[1.0008e+00, 1.0163e+00, 5.3417e-01]'	'[1.0014e+00, 9.9992e-01, 5.1296e-01]'	'[8.7420e+01, 2.8171e+03, 7.9363e+06]'
0,75	'[1.0000e+00, 1.0000e+00, 5.6250e-01]'	'[1.0079e+00, 1.0310e+00, 1.0630e+00]'	'[1.0078e+00, 1.0400e+00, 1.0561e+00]'	'[5.1664e+06, 8.3875e+07, 7.0351e+15]'	'[6.2840e+01, 1.9321e+03, 3.7329e+06]'
0,75	'[1.0000e+00, 1.0000e+00, 5.6250e-01]'	'[9.9579e-01, 9.8218e-01, 3.5114e-01]'	'[9.9578e-01, 9.8218e-01, 3.5093e-01]'	'[9.9165e-01, 1.1740e+00, 1.3473e+00]'	'[9.7120e-01, 1.3066e+00, 1.6237e+00]'
0,80	'[1.0000e+00, 1.0000e+00, 6.4000e-01]'	'[9.9269e-01, 1.0011e+00, 5.6494e-01]'	'[9.9268e-01, 1.0010e+00, 5.6406e-01]'	'[9.9386e-01, 1.0017e+00, 6.2486e-01]'	'[9.7951e-01, 3.8050e+00, 1.3426e+01]'

0,80	'[1.0000e+00, 1.0000e+00, 6.4000e-01]'	'[1.0044e+00, 1.0075e+00, 1.0151e+00]'	'[1.0052e+00, 1.0183e+00, 1.0370e+00]'	'[1.0041e+00, 1.0002e+00, 1.0003e+00]'	'[9.9759e-01, 9.0258e+00, 4.0683e+01]'
0,85	'[1.0000e+00, 1.0000e+00, 7.2250e-01]'	'[9.9663e-01, 9.7770e-01, 4.7299e-01]'	'[9.9651e-01, 1.0246e+00, 5.9004e-01]'	'[9.9631e-01, 9.7656e-01, 4.7684e-01]'	'[9.9655e-01, 9.8827e-01, 4.6136e-01]'
0,85	'[1.0000e+00, 1.0000e+00, 7.2250e-01]'	'[1.0060e+00, 9.9289e-01, 9.8583e-01]'	'[1.0068e+00, 1.2757e+00, 1.5985e+00]'	'[1.0058e+00, 9.8784e-01, 9.7583e-01]'	'[1.0048e+00, 9.9730e-01, 9.2181e-01]'
0,90	'[1.0000e+00, 1.0000e+00, 8.1000e-01]'	'[9.9148e-01, 9.7757e-01, 4.3289e-01]'	'[9.9148e-01, 9.7757e-01, 4.3289e-01]'	'[9.9135e-01, 1.0198e+00, 5.3821e-01]'	'[9.9340e-01, 1.0573e+00, 6.1463e-01]'
0,90	'[1.0000e+00, 1.0000e+00, 8.1000e-01]'	'[1.0010e+00, 1.0142e+00, 1.0286e+00]'	'[9.9513e-01, 1.0070e+00, 7.0693e-01]'	'[1.0007e+00, 1.0043e+00, 1.0087e+00]'	'[1.8550e+02, 5.6548e+03, 3.1975e+07]'
0,95	'[1.0000e+00, 1.0000e+00, 9.0250e-01]'	'[1.0052e+00, 1.0747e+00, 1.1549e+00]'	'[1.0069e+00, 1.5573e+00, 2.1527e+00]'	'[1.0018e+00, 9.7904e-01, 9.5849e-01]'	'[2.1374e+00, 1.4543e+04, 2.1145e+08]'
0,95	'[1.0000e+00, 1.0000e+00, 9.0250e-01]'	'[9.9492e-01, 9.8608e-01, 7.0351e-01]'	'[9.9379e-01, 1.0215e+00, 6.4077e-01]'	'[1.0001e+00, 9.9342e-01, 9.8689e-01]'	'[5.1606e+01, 1.6396e+03, 2.6882e+06]'
odch 1 pro sigma <=0.65	'[0.0000e+00, 0.0000e+00, 0.0000e+00]'	'[1.0060e-01, 6.6825e+06, 4.4726e+13]'	'[3.7115e-04, 1.5626e+02, 2.6659e+04]'	'[3.0074e-01, 3.3855e+05, 1.1540e+11]'	'[2.6759e+03, 1.3603e+07, 1.8522e+14]'
odch 2 pro sigma >0.65	'[0.0000e+00, 0.0000e+00, 0.0000e+00]'	'[3.2859e-04, 8.7774e-03, 8.8477e-01]'	'[4.0018e-04, 3.9090e-01, 3.0754e+00]'	'[2.6692e+13, 7.0351e+15, 4.9492e+31]'	'[4.7894e+04, 2.5777e+08, 4.5820e+16]'
Celková odchylka	'[0.0000e+00, 0.0000e+00, 0.0000e+00]'	'[1.0093e-01, 6.6825e+06, 4.4726e+13]'	'[7.7133e-04, 1.5665e+02, 2.6662e+04]'	'[2.6692e+13, 7.0351e+15, 4.9492e+31]'	'[5.0570e+04, 2.7137e+08, 4.6005e+16]'
Vážená odchylka 1.	0,0000E+00	1,4909E+13	8,9645E+03	3,8468E+10	6,1740E+13
Vážená odchylka 2.	0,0000E+00	2,9964E-01	1,2210E+00	1,6497E+31	1,5273E+16
Vážená odchylka P1	0,0000E+00	1,4909E+13	2,3133E+02	1,6497E+31	1,4971E+16
Vážená odchylka P2	0,0000E+00	3,4476E-01	8,7344E+03	3,8468E+10	3,6421E+14
Celková váž. odch.	0,0000E+00	1,4909E+13	8,9657E+03	1,6497E+31	1,5335E+16

Tabulka č. 34 Charakteristická čísla pro signál Sinus2 s 10% šumem

sigma	F	P1D	P2D	P2	P3
0,35	'[1.0000e+00, 1.0000e+00, 1.2250e-01]'	'[1.1889e+00, 9.6837e-01, 3.2304e-01]'	'[1.2290e+00, 3.7581e+01, 1.3798e+03]'	'[4.9345e-01, 1.5924e+00, 1.2679e+00]'	'[1.0495e+00, 1.0776e+00, 3.9705e-01]'
0,35	'[1.0000e+00, 1.0000e+00, 1.2250e-01]'	'[1.2117e+00, 1.0202e+00, 3.8464e-01]'	'[1.2722e+00, 3.6253e+01, 1.2835e+03]'	'[2.1487e+00, 1.5977e+00, 1.2764e+00]'	'[1.9449e+00, 1.4174e+00, 1.0055e+00]'
0,40	'[1.0000e+00, 1.0000e+00, 1.6000e-01]'	'[9.9823e-01, 9.9725e-01, 1.5796e-01]'	'[1.0007e+00, 1.0826e+00, 2.1138e-01]'	'[5.1477e+00, 4.0004e+00, 1.6003e+01]'	'[1.0354e+00, 1.3014e+00, 6.3440e-01]'
0,40	'[1.0000e+00, 1.0000e+00, 1.6000e-01]'	'[1.0215e+00, 1.0553e+00, 2.2726e-01]'	'[1.2630e+00, 4.2374e+01, 1.7669e+03]'	'[1.5913e+00, 1.3090e+00, 8.5680e-01]'	'[1.0823e+00, 1.1823e+00, 5.5252e-01]'
0,45	'[1.0000e+00, 1.0000e+00, 2.0250e-01]'	'[1.0771e+00, 9.4882e-01, 3.0120e-01]'	'[9.5836e-01, 1.0302e+00, 1.8783e-01]'	'[1.8052e+00, 1.4207e+00, 1.0092e+00]'	'[9.6490e-01, 1.2408e+00, 5.7602e-01]'
0,45	'[1.0000e+00, 1.0000e+00, 2.0250e-01]'	'[1.0142e+00, 1.0219e+00, 2.9975e-01]'	'[4.7181e+00, 1.9955e+01, 3.8247e+02]'	'[7.0725e-01, 1.5716e+00, 1.2350e+00]'	'[1.2923e+00, 1.0939e+00, 3.9886e-01]'
0,50	'[1.0000e+00, 1.0000e+00, 2.5000e-01]'	'[9.9711e-01, 9.7363e-01, 2.4921e-01]'	'[9.7466e-01, 1.0617e+00, 2.5923e-01]'	'[1.4901e+00, 1.1613e+00, 6.8024e-01]'	'[1.2330e+00, 1.0145e+00, 3.4355e-01]'
0,50	'[1.0000e+00, 1.0000e+00, 3.0250e-01]'	'[1.0088e+00, 1.0164e+00, 3.7994e-01]'	'[1.1326e+00, 3.8353e+01, 1.4410e+03]'	'[1.5892e+00, 1.3018e+00, 8.7666e-01]'	'[1.9828e+05, 4.5578e+05, 2.0774e+11]'
0,55	'[1.0000e+00, 1.0000e+00, 3.0250e-01]'	'[0.0000e+00, 2.8601e-02, 1.0000e-12]'	'[1.0070e+00, 9.8139e-01, 2.8828e-01]'	'[1.4165e+00, 1.1920e+00, 7.1330e-01]'	'[1.1348e+00, 9.7153e-01, 3.1523e-01]'
0,55	'[1.0000e+00, 1.0000e+00, 3.0250e-01]'	'[1.0491e+00, 1.1235e+00, 5.0483e-01]'	'[1.1980e+00, 1.0112e+01, 9.6622e+01]'	'[1.0482e+00, 1.1742e+00, 6.8934e-01]'	'[2.6824e-01, 1.3934e+00, 1.3008e+00]'
0,60	'[1.0000e+00, 1.0000e+00, 3.6000e-01]'	'[1.0203e+00, 1.0079e+00, 3.8422e-01]'	'[1.0203e+00, 1.0075e+00, 3.8360e-01]'	'[1.3064e+00, 1.1800e+00, 6.9695e-01]'	'[1.0251e+00, 9.5231e-01, 3.3932e-01]'
0,60	'[1.0000e+00, 1.0000e+00, 3.6000e-01]'	'[1.0203e+00, 1.1173e+00, 5.6626e-01]'	'[1.0070e+00, 1.0187e+00, 3.9168e-01]'	'[1.2749e+00, 1.1647e+00, 6.7957e-01]'	'[1.0240e+00, 1.0697e+00, 4.7717e-01]'
0,65	'[1.0000e+00, 1.0000e+00, 4.2250e-01]'	'[1.0124e+00, 1.0017e+00, 4.4246e-01]'	'[1.0125e+00, 9.9820e-01, 4.3751e-01]'	'[1.2227e+00, 1.0485e+00, 5.4974e-01]'	'[1.6529e-01, 1.0964e+00, 9.4181e-01]'
0,65	'[1.0000e+00, 1.0000e+00, 4.2250e-01]'	'[5.1064e-03, 2.8601e-02, 1.0000e-12]'	'[9.6518e-01, 1.0084e+00, 4.4034e-01]'	'[8.9539e-01, 1.1839e+00, 7.0082e-01]'	'[9.6864e-01, 9.9568e-01, 4.2738e-01]'
0,70	'[1.0000e+00, 1.0000e+00, 4.9000e-01]'	'[1.0175e+00, 1.0080e+00, 5.2004e-01]'	'[1.0175e+00, 1.0080e+00, 5.2004e-01]'	'[1.1095e+00, 9.6587e-01, 4.6646e-01]'	'[1.0157e+00, 9.4757e-01, 4.2421e-01]'
0,70	'[1.0000e+00, 1.0000e+00, 4.9000e-01]'	'[1.0475e+00, 1.1551e+00, 8.2314e-01]'	'[1.0366e+00, 1.0585e+00, 6.2526e-01]'	'[1.0369e+00, 1.0263e+00, 5.5890e-01]'	'[1.0372e+00, 1.0615e+00, 6.3285e-01]'
0,75	'[1.0000e+00, 1.0000e+00, 5.6250e-01]'	'[1.0098e+00, 9.9790e-01, 5.7385e-01]'	'[1.0125e+00, 1.0450e+00, 6.1025e-01]'	'[1.0195e+00, 9.1260e-01, 4.2537e-01]'	'[9.2416e-01, 1.0780e+00, 7.6901e-01]'
0,75	'[1.0000e+00, 1.0000e+00, 5.6250e-01]'	'[1.0068e+00, 1.0944e+00, 7.6455e-01]'	'[7.4550e-01, 2.2254e+00, 3.0328e+00]'	'[1.0091e+00, 1.0073e+00, 5.9297e-01]'	'[1.0047e+00, 1.0728e+00, 7.2113e-01]'
0,80	'[1.0000e+00, 1.0000e+00, 6.4000e-01]'	'[9.9402e-01, 9.8921e-01, 6.2778e-01]'	'[1.2387e+00, 1.3481e+01, 1.7653e+02]'	'[9.9721e-01, 9.2710e-01, 5.1680e-01]'	'[1.2282e+00, 1.0736e+01, 1.0926e+02]'
0,80	'[1.0000e+00, 1.0000e+00, 6.4000e-01]'	'[1.0286e+00, 1.0879e+00, 8.3570e-01]'	'[1.0239e+00, 1.0299e+00, 6.8977e-01]'	'[2.0118e+00, 2.0480e+00, 4.1942e+00]'	'[1.0238e+00, 1.0255e+00, 7.0815e-01]'
0,85	'[1.0000e+00, 1.0000e+00, 7.2250e-01]'	'[1.0165e+00, 1.0074e+00, 7.5289e-01]'	'[1.0194e+00, 1.0506e+00, 8.1640e-01]'	'[1.9042e+00, 1.8231e+00, 3.3236e+00]'	'[1.0193e+00, 9.9669e-01, 7.3124e-01]'
0,85	'[1.0000e+00, 1.0000e+00, 7.2250e-01]'	'[1.0318e+00, 1.0617e+00, 8.6407e-01]'	'[1.0273e+00, 1.0335e+00, 7.6407e-01]'	'[1.7257e+00, 1.7344e+00, 3.0080e+00]'	'[1.4353e+03, 4.4312e+03, 1.9635e+07]'
0,90	'[1.0000e+00, 1.0000e+00, 8.1000e-01]'	'[1.0035e+00, 1.0003e+00, 8.2296e-01]'	'[9.9257e-01, 1.0863e+00, 6.5613e-01]'	'[1.4209e+00, 1.3992e+00, 1.9576e+00]'	'[9.9936e-01, 9.8013e-01, 7.8212e-01]'
0,90	'[1.0000e+00, 1.0000e+00, 8.1000e-01]'	'[9.9381e-01, 1.0037e+00, 8.3002e-01]'	'[8.3649e-01, 1.0294e+02, 1.0562e+04]'	'[9.9324e-01, 9.8718e-01, 7.9757e-01]'	'[9.9324e-01, 9.8718e-01, 7.9757e-01]'
0,95	'[1.0000e+00, 1.0000e+00, 9.0250e-01]'	'[9.4301e-01, 9.3707e-01, 7.6140e-01]'	'[9.4008e-01, 9.6661e-01, 7.7329e-01]'	'[9.4359e-01, 9.3032e-01, 7.4924e-01]'	'[9.4359e-01, 9.3032e-01, 7.4924e-01]'
0,95	'[1.0000e+00, 1.0000e+00, 9.0250e-01]'	'[1.0091e+00, 1.0080e+00, 9.3006e-01]'	'[9.9178e-01, 1.0434e+00, 8.5773e-01]'	'[1.1864e+00, 1.1827e+00, 1.3988e+00]'	'[7.2792e+02, 3.6458e+03, 1.3290e+07]'

odch 1 pro sigma <=0.65	'[0.0000e+00, 0.0000e+00, 0.0000e+00]'	'[2.0804e+00, 1.9248e+00, 5.0403e-01]'	'[1.4081e+01, 6.1303e+03, 8.9031e+06]'	'[2.0856e+01, 1.0590e+01, 2.5706e+02]'	'[3.9316e+10, 2.0774e+11, 4.3155e+22]'
odch 2 pro sigma >0.65	'[0.0000e+00, 0.0000e+00, 0.0000e+00]'	'[8.2268e-03, 4.8798e-02, 2.3349e-01]'	'[1.5568e-01, 1.0549e+04, 1.1158e+08]'	'[2.5970e+00, 2.5276e+00, 2.6249e+01]'	'[2.5856e+06, 3.2911e+07, 5.6218e+14]'
Celková odchylka	'[0.0000e+00, 0.0000e+00, 0.0000e+00]'	'[2.0886e+00, 1.9736e+00, 7.3752e-01]'	'[1.4237e+01, 1.6679e+04, 1.2048e+08]'	'[2.3453e+01, 1.3117e+01, 2.8331e+02]'	'[3.9319e+10, 2.0777e+11, 4.3155e+22]'
Vážená odchylka 1.	0,0000E+00	3,2108E+00	2,9708E+06	1,1184E+02	1,4385E+22
Vážená odchylka 2.	0,0000E+00	1,1046E-01	3,7198E+07	1,2610E+01	1,8739E+14
Vážená odchylka P1	0,0000E+00	1,5771E+00	6,4553E+05	1,1212E+02	3,9812E+03
Vážená odchylka P2	0,0000E+00	1,7441E+00	3,9523E+07	1,2332E+01	1,4385E+22
Celková váž. odch.	0,0000E+00	3,3213E+00	4,0168E+07	1,2445E+02	1,4385E+22

Tabulka č. 35 Charakteristická čísla pro signál Sinus20 s 10% šumem

sigma	F	P1D	P2D	P2	P3
0,35	'[1.0000e+00, 1.0000e+00, 1.2250e-01]'	'[1.4150e-01, 4.0046e-01, 5.3676e-07]'	'[9.1772e-01, 9.6372e-01, 1.0132e-01]'	'[2.3617e-01, 1.6788e-01, 1.4097e-02]'	'[0.0000e+00, 1.2634e+00, 8.3188e-01]'
0,35	'[1.0000e+00, 1.0000e+00, 1.2250e-01]'	'[2.0381e-02, 1.9946e+00, 3.5931e+00]'	'[1.2068e+02, 4.1232e+03, 1.7000e+07]'	'[0.0000e+00, 1.0554e-02, 6.7505e-05]'	'[1.0631e+00, 5.3190e+00, 1.1659e+01]'
0,40	'[1.0000e+00, 1.0000e+00, 1.6000e-01]'	'[0.0000e+00, 1.8023e-01, 1.0007e-03]'	'[1.2987e-01, 3.6226e-01, 1.5527e-03]'	'[1.3498e-01, 4.1441e-02, 8.5866e-04]'	'[0.0000e+00, 1.4295e+00, 7.9210e-01]'
0,40	'[1.0000e+00, 1.0000e+00, 1.6000e-01]'	'[0.0000e+00, 2.0748e-01, 1.5120e-03]'	'[4.8000e-04, 1.0572e-01, 1.5226e-08]'	'[2.7213e-04, 1.3702e+00, 9.4136e-01]'	'[4.8517e-03, 2.3387e+01, 2.7561e+02]'
0,45	'[1.0000e+00, 1.0000e+00, 2.0250e-01]'	'[1.0993e-01, 9.3865e-01, 3.6408e-10]'	'[1.0316e+00, 1.0104e+00, 2.1652e-01]'	'[1.0285e-01, 3.8730e-05, 1.4117e-09]'	'[0.0000e+00, 1.0000e+04, 1.0000e+08]'
0,45	'[1.0000e+00, 1.0000e+00, 2.0250e-01]'	'[4.2436e-02, 1.2412e+01, 1.4763e+02]'	'[8.9502e-04, 9.0959e-03, 7.1008e-07]'	'[8.9906e-04, 9.0982e-03, 4.1403e-05]'	'[7.7323e-02, 3.8792e+00, 5.2819e+00]'
0,50	'[1.0000e+00, 1.0000e+00, 2.5000e-01]'	'[0.0000e+00, 3.8798e-01, 2.4387e-03]'	'[0.0000e+00, 1.8891e+00, 3.4625e+00]'	'[0.0000e+00, 1.8900e+00, 3.4630e+00]'	'[2.3698e+00, 7.4822e-01, 2.0327e-01]'
0,50	'[1.0000e+00, 1.0000e+00, 2.5000e-01]'	'[6.3939e-04, 2.6075e+00, 6.6365e+00]'	'[2.2370e+02, 7.5465e+03, 5.6945e+07]'	'[2.9342e-02, 1.3377e+00, 8.9954e-01]'	'[2.9460e+02, 1.3451e+04, 1.7392e+08]'
0,55	'[1.0000e+00, 1.0000e+00, 3.0250e-01]'	'[0.0000e+00, 3.2860e-01, 1.0000e-12]'	'[1.1713e+00, 1.6526e+00, 2.2737e+00]'	'[0.0000e+00, 1.3905e-01, 9.6678e-03]'	'[1.4434e+00, 9.3211e-01, 5.9976e-01]'
0,55	'[1.0000e+00, 1.0000e+00, 3.0250e-01]'	'[0.0000e+00, 8.9729e-02, 9.6900e-04]'	'[7.7931e-01, 9.6036e+03, 9.2226e+07]'	'[3.7976e-02, 1.2523e+00, 7.8435e-01]'	'[7.0830e+02, 8.7297e+03, 7.0217e+07]'
0,60	'[1.0000e+00, 1.0000e+00, 3.6000e-01]'	'[1.2549e+00, 8.5481e-01, 6.0053e-01]'	'[1.0203e+00, 1.0221e+00, 3.9000e-01]'	'[5.4396e+01, 2.6703e+03, 7.1305e+05]'	'[1.8742e+00, 7.1156e-01, 3.4622e-01]'
0,60	'[1.0000e+00, 1.0000e+00, 3.6000e-01]'	'[4.2456e-01, 8.8702e+03, 7.8552e+07]'	'[0.0000e+00, 1.3883e+00, 1.2423e+00]'	'[0.0000e+00, 1.4220e-01, 1.8114e-02]'	'[1.3939e+00, 5.7653e+00, 1.4894e+01]'
0,65	'[1.0000e+00, 1.0000e+00, 4.2250e-01]'	'[1.0177e+00, 1.0054e+00, 4.3655e-01]'	'[1.4620e+00, 1.1194e+00, 1.1485e+00]'	'[1.3242e+00, 7.6747e-01, 5.3964e-01]'	'[1.3242e+00, 7.6748e-01, 5.3966e-01]'
0,65	'[1.0000e+00, 1.0000e+00, 4.2250e-01]'	'[1.9052e-01, 1.6775e+00, 2.4335e+00]'	'[0.0000e+00, 1.0000e+04, 1.0000e+08]'	'[3.4082e+04, 2.0000e+04, 2.0000e+08]'	'[8.6552e-01, 9.9754e-01, 4.3505e-01]'
0,70	'[1.0000e+00, 1.0000e+00, 4.9000e-01]'	'[1.0227e+00, 1.0107e+00, 5.1194e-01]'	'[1.0229e+00, 1.0177e+00, 5.1972e-01]'	'[9.6319e-02, 6.2376e-02, 1.9454e-03]'	'[0.0000e+00, 1.3528e+00, 7.7758e-01]'
0,70	'[1.0000e+00, 1.0000e+00, 4.9000e-01]'	'[0.0000e+00, 1.3123e+00, 1.1744e+00]'	'[1.1928e+02, 6.8830e+03, 4.7365e+07]'	'[7.0569e+00, 4.7418e+02, 2.2484e+05]'	'[5.5909e-01, 4.6194e+00, 1.3746e+01]'
0,75	'[1.0000e+00, 1.0000e+00, 5.6250e-01]'	'[1.0177e+00, 1.0054e+00, 5.7813e-01]'	'[1.0176e+00, 1.0109e+00, 5.8434e-01]'	'[9.1924e+03, 2.0000e+04, 2.0000e+08]'	'[1.4364e+04, 2.0000e+04, 2.0000e+08]'
0,75	'[1.0000e+00, 1.0000e+00, 5.6250e-01]'	'[2.8067e-01, 1.6064e+00, 1.5074e+00]'	'[3.6399e-01, 1.2363e+00, 6.8521e-01]'	'[1.0068e+00, 1.0714e+00, 7.1753e-01]'	'[1.0069e+00, 1.0719e+00, 7.1572e-01]'
0,80	'[1.0000e+00, 1.0000e+00, 6.4000e-01]'	'[9.5270e-01, 9.5617e-01, 5.7983e-01]'	'[8.4605e-01, 1.0000e+04, 1.0000e+08]'	'[0.0000e+00, 1.7723e+00, 2.4169e+00]'	'[1.0004e+04, 1.9863e+04, 1.9726e+08]'
0,80	'[1.0000e+00, 1.0000e+00, 6.4000e-01]'	'[3.0577e-01, 1.5020e+00, 1.2665e+00]'	'[0.0000e+00, 1.2176e+00, 9.6944e-01]'	'[1.0041e+00, 1.0851e+00, 8.2226e-01]'	'[4.4022e-02, 4.7766e+00, 8.4276e+00]'
0,85	'[1.0000e+00, 1.0000e+00, 7.2250e-01]'	'[8.4475e-01, 9.4817e-01, 6.3535e-01]'	'[1.0030e+00, 9.1971e-01, 5.9806e-01]'	'[0.0000e+00, 2.7037e-01, 3.8380e-02]'	'[0.0000e+00, 5.5270e-02, 1.1223e-03]'
0,85	'[1.0000e+00, 1.0000e+00, 7.2250e-01]'	'[8.7335e-01, 2.4573e+00, 5.7629e+00]'	'[1.0140e+00, 1.0180e+00, 7.5303e-01]'	'[1.0104e+00, 1.1617e+00, 1.0802e+00]'	'[8.6797e+02, 8.5122e+03, 7.2458e+07]'
0,90	'[1.0000e+00, 1.0000e+00, 8.1000e-01]'	'[9.5121e-01, 9.4457e-01, 7.2151e-01]'	'[6.5313e-01, 1.2694e+00, 7.3572e-01]'	'[0.0000e+00, 1.1905e-01, 1.3150e-02]'	'[8.4506e-01, 3.8552e-01, 6.3628e-02]'
0,90	'[1.0000e+00, 1.0000e+00, 8.1000e-01]'	'[7.1267e-01, 1.8265e+00, 2.1375e+00]'	'[6.3019e+01, 6.7129e+02, 4.5059e+05]'	'[1.0060e+00, 1.1454e+00, 1.1331e+00]'	'[1.0093e+00, 1.1948e+00, 1.2369e+00]'
0,95	'[1.0000e+00, 1.0000e+00, 9.0250e-01]'	'[0.0000e+00, 2.5580e-01, 5.1432e-05]'	'[7.4203e+02, 3.2024e+03, 1.0255e+07]'	'[9.6477e-01, 6.1905e-01, 3.0933e-01]'	'[9.6474e-01, 6.1905e-01, 3.0932e-01]'
0,95	'[1.0000e+00, 1.0000e+00, 9.0250e-01]'	'[7.4654e-01, 1.3624e+00, 1.0279e+00]'	'[1.0194e+00, 1.0413e+00, 9.8673e-01]'	'[1.0169e+00, 1.1071e+00, 1.1382e+00]'	'[1.0169e+00, 1.1071e+00, 1.1382e+00]'
odch 1 pro sigma <=0.65	'[0.0000e+00, 0.0000e+00, 0.0000e+00]'	'[1.0456e+01, 7.8663e+07, 6.1862e+15]'	'[6.3927e+04, 2.6612e+08, 2.2037e+16]'	'[1.1615e+09, 4.0709e+08, 4.0051e+16]'	'[5.8647e+05, 3.5707e+08, 4.5178e+16]'
odch 2 pro sigma >0.65	'[0.0000e+00, 0.0000e+00, 0.0000e+00]'	'[3.1918e+00, 4.2171e+00, 2.9771e+01]'	'[5.6696e+05, 1.5804e+08, 1.2349e+16]'	'[8.4481e+07, 4.0018e+08, 4.0000e+16]'	'[3.0712e+08, 8.6689e+08, 8.4163e+16]'
Celková odchylka	'[0.0000e+00, 0.0000e+00, 0.0000e+00]'	'[1.3648e+01, 7.8663e+07, 6.1862e+15]'	'[6.3089e+05, 4.2416e+08, 3.4386e+16]'	'[1.2460e+09, 8.0727e+08, 8.0051e+16]'	'[3.0770e+08, 1.2240e+09, 1.2934e+17]'
Vážená odchylka 1.	0,0000E+00	2,0621E+15	7,3458E+15	1,3350E+16	1,5059E+16
Vážená odchylka 2.	0,0000E+00	1,5224E+01	4,1163E+15	1,3333E+16	2,8054E+16
Vážená odchylka P1	0,0000E+00	7,2212E+00	3,3684E+15	1,3350E+16	2,9638E+16
Vážená odchylka P2	0,0000E+00	2,0621E+15	8,0936E+15	1,3333E+16	1,3476E+16

Celková váž. odch.	0,0000E+00	2,0621E+15	1,1462E+16	2,6684E+16	4,3114E+16
--------------------	------------	------------	------------	------------	------------

Tabulka č. 36 Charakteristická čísla pro signál Step s 20% šumem

sigma	F	P1D	P2D	P2	P3
0,35	'[1.0000e+00, 1.0000e+00, 1.2250e-01]'	'[9.9938e-01, 9.9062e-01, 1.3145e-01]'	'[9.9884e-01, 9.8634e-01, 1.2266e-01]'	'[1.0032e+00, 1.0154e+00, 5.1553e-01]'	'[1.0011e+00, 1.3336e+00, 6.5471e-01]'
0,35	'[1.0000e+00, 1.0000e+00, 1.2250e-01]'	'[9.9884e-01, 1.0380e+00, 1.9691e-01]'	'[9.9630e-01, 1.0288e+00, 1.7578e-01]'	'[9.9440e-01, 1.0098e+00, 5.0989e-01]'	'[9.9490e-01, 1.1930e+00, 5.3063e-01]'
0,40	'[1.0000e+00, 1.0000e+00, 1.6000e-01]'	'[9.9457e-01, 9.9428e-01, 1.4881e-01]'	'[9.9474e-01, 9.9396e-01, 1.5317e-01]'	'[9.3615e-01, 1.3295e+00, 8.8435e-01]'	'[9.9062e-01, 1.1780e+00, 6.5530e-01]'
0,40	'[1.0000e+00, 1.0000e+00, 1.6000e-01]'	'[1.0012e+00, 1.0281e+00, 1.9686e-01]'	'[9.6170e-01, 2.2889e+00, 3.1361e+00]'	'[1.0103e+00, 1.0277e+00, 5.2827e-01]'	'[1.0135e+00, 1.2568e+00, 7.8170e-01]'
0,45	'[1.0000e+00, 1.0000e+00, 2.0250e-01]'	'[1.0023e+00, 1.0052e+00, 2.1107e-01]'	'[1.0028e+00, 1.0283e+00, 2.2491e-01]'	'[1.0037e+00, 9.8812e-01, 4.8820e-01]'	'[9.9951e-01, 1.1969e+00, 6.6306e-01]'
0,45	'[1.0000e+00, 1.0000e+00, 2.0250e-01]'	'[1.0102e+00, 1.0528e+00, 2.7701e-01]'	'[1.0065e+00, 1.0371e+00, 2.3228e-01]'	'[1.0165e+00, 1.0459e+00, 5.4699e-01]'	'[9.9717e-01, 1.0745e+00, 4.5334e-01]'
0,50	'[1.0000e+00, 1.0000e+00, 2.5000e-01]'	'[9.9717e-01, 1.0140e+00, 2.7462e-01]'	'[9.9723e-01, 1.0359e+00, 2.7705e-01]'	'[1.0046e+00, 1.0227e+00, 5.2794e-01]'	'[9.9914e-01, 1.1570e+00, 5.3731e-01]'
0,50	'[1.0000e+00, 1.0000e+00, 2.5000e-01]'	'[1.0062e+00, 1.0337e+00, 3.1184e-01]'	'[9.8738e-01, 1.6441e+00, 7.1620e-01]'	'[1.0097e+00, 1.0579e+00, 5.5964e-01]'	'[1.0064e+00, 1.0035e+00, 3.3565e-01]'
0,55	'[1.0000e+00, 1.0000e+00, 3.0250e-01]'	'[1.0077e+00, 1.0036e+00, 3.0475e-01]'	'[1.0080e+00, 1.0308e+00, 3.1502e-01]'	'[3.5793e-02, 1.0000e+04, 1.0000e+08]'	'[1.0071e+00, 1.0471e+00, 4.2493e-01]'
0,55	'[1.0000e+00, 1.0000e+00, 3.0250e-01]'	'[1.0176e+00, 1.0695e+00, 3.8803e-01]'	'[1.0145e+00, 1.0854e+00, 3.5156e-01]'	'[1.0122e+00, 1.0349e+00, 5.3555e-01]'	'[1.0140e+00, 1.0698e+00, 3.8206e-01]'
0,60	'[1.0000e+00, 1.0000e+00, 3.6000e-01]'	'[1.0010e+00, 9.8730e-01, 3.1046e-01]'	'[1.0007e+00, 9.8539e-01, 3.0244e-01]'	'[1.0013e+00, 1.0225e+00, 5.2421e-01]'	'[1.0002e+00, 9.9597e-01, 3.0681e-01]'
0,60	'[1.0000e+00, 1.0000e+00, 3.6000e-01]'	'[1.0120e+00, 1.0682e+00, 5.0714e-01]'	'[1.0103e+00, 1.0450e+00, 4.6960e-01]'	'[1.0119e+00, 1.0361e+00, 5.3677e-01]'	'[1.0209e+00, 2.9864e+00, 6.2653e+00]'
0,65	'[1.0000e+00, 1.0000e+00, 4.2250e-01]'	'[1.0004e+00, 9.9560e-01, 4.7005e-01]'	'[1.0008e+00, 1.0736e+00, 4.8887e-01]'	'[1.0000e+00, 9.7249e-01, 4.7287e-01]'	'[9.9787e-01, 9.6846e-01, 4.0469e-01]'
0,65	'[1.0000e+00, 1.0000e+00, 4.2250e-01]'	'[1.0026e+00, 1.0092e+00, 5.4476e-01]'	'[9.9819e-01, 1.0000e+00, 4.6208e-01]'	'[9.9981e-01, 9.7027e-01, 4.7071e-01]'	'[9.9904e-01, 9.7482e-01, 4.4147e-01]'
0,70	'[1.0000e+00, 1.0000e+00, 4.9000e-01]'	'[9.9371e-01, 9.4906e-01, 4.2114e-01]'	'[9.9470e-01, 1.0531e+00, 4.6233e-01]'	'[9.9353e-01, 9.2665e-01, 4.2934e-01]'	'[9.9320e-01, 9.5766e-01, 4.4909e-01]'
0,70	'[1.0000e+00, 1.0000e+00, 4.9000e-01]'	'[1.0038e+00, 1.0337e+00, 5.9240e-01]'	'[1.0037e+00, 1.0320e+00, 5.8655e-01]'	'[1.0006e+00, 9.9616e-01, 4.9617e-01]'	'[9.9980e-01, 9.9927e-01, 4.6656e-01]'
0,75	'[1.0000e+00, 1.0000e+00, 5.6250e-01]'	'[1.0031e+00, 9.8616e-01, 5.7178e-01]'	'[1.0030e+00, 9.8854e-01, 5.6899e-01]'	'[1.0019e+00, 9.6444e-01, 5.4552e-01]'	'[1.0023e+00, 9.7317e-01, 5.5495e-01]'
0,75	'[1.0000e+00, 1.0000e+00, 5.6250e-01]'	'[1.0070e+00, 1.0481e+00, 7.1097e-01]'	'[1.0052e+00, 1.0284e+00, 6.5552e-01]'	'[1.0047e+00, 1.0215e+00, 6.4104e-01]'	'[1.0057e+00, 1.0382e+00, 6.7225e-01]'
0,80	'[1.0000e+00, 1.0000e+00, 6.4000e-01]'	'[1.0090e+00, 1.0187e+00, 6.7875e-01]'	'[1.0091e+00, 1.0282e+00, 6.8378e-01]'	'[1.0072e+00, 9.9725e-01, 6.3236e-01]'	'[1.0078e+00, 1.0050e+00, 6.4684e-01]'
0,80	'[1.0000e+00, 1.0000e+00, 6.4000e-01]'	'[1.0024e+00, 1.0303e+00, 6.8521e-01]'	'[9.9993e-01, 1.0045e+00, 6.0809e-01]'	'[9.9966e-01, 1.0008e+00, 6.0068e-01]'	'[9.9039e-01, 4.1040e+00, 9.7217e+00]'
0,85	'[1.0000e+00, 1.0000e+00, 7.2250e-01]'	'[1.0089e+00, 1.0069e+00, 7.6529e-01]'	'[1.0091e+00, 1.0286e+00, 7.7377e-01]'	'[1.0085e+00, 9.9872e-01, 7.5536e-01]'	'[1.0087e+00, 1.0025e+00, 7.6071e-01]'
0,85	'[1.0000e+00, 1.0000e+00, 7.2250e-01]'	'[1.0046e+00, 1.0687e+00, 8.5369e-01]'	'[1.0032e+00, 1.0546e+00, 8.0927e-01]'	'[1.0032e+00, 1.0537e+00, 8.0987e-01]'	'[9.6860e-01, 1.9568e+00, 1.4193e+00]'
0,90	'[1.0000e+00, 1.0000e+00, 8.1000e-01]'	'[9.9409e-01, 9.7921e-01, 7.2595e-01]'	'[9.9409e-01, 9.7077e-01, 7.2459e-01]'	'[9.9317e-01, 9.6963e-01, 6.9662e-01]'	'[9.9360e-01, 9.9599e-01, 7.2152e-01]'
0,90	'[1.0000e+00, 1.0000e+00, 8.1000e-01]'	'[1.0031e+00, 1.0001e+00, 8.3053e-01]'	'[1.0013e+00, 1.0472e+00, 7.7228e-01]'	'[1.0019e+00, 9.9183e-01, 7.8763e-01]'	'[1.0019e+00, 9.9184e-01, 7.8770e-01]'
0,95	'[1.0000e+00, 1.0000e+00, 9.0250e-01]'	'[1.0011e+00, 1.0052e+00, 9.2034e-01]'	'[1.0013e+00, 1.0183e+00, 9.2987e-01]'	'[1.0011e+00, 1.0043e+00, 9.2138e-01]'	'[1.0011e+00, 1.0043e+00, 9.2134e-01]'
0,95	'[1.0000e+00, 1.0000e+00, 9.0250e-01]'	'[9.9971e-01, 9.8848e-01, 8.3216e-01]'	'[1.0003e+00, 1.0211e+00, 8.6308e-01]'	'[9.9985e-01, 9.8679e-01, 8.4192e-01]'	'[5.9803e-01, 1.0000e+04, 1.0000e+08]'
odch 1 pro sigma <=0.65	'[0.0000e+00, 0.0000e+00, 0.0000e+00]'	'[7.1059e-04, 1.6263e-02, 6.5788e-02]'	'[2.1122e-03, 2.0965e+00, 9.1037e+00]'	'[9.3462e-01, 9.9980e+07, 1.0000e+16]'	'[1.0360e-03, 4.2714e+00, 6.3444e+01]'
odch 2 pro sigma >0.65	'[0.0000e+00, 0.0000e+00, 0.0000e+00]'	'[3.4600e-04, 1.2860e-02, 7.2696e-02]'	'[2.9116e-04, 1.3251e-02, 4.2893e-02]'	'[2.5287e-04, 1.1202e-02, 3.7876e-02]'	'[1.6292e-01, 9.9981e+07, 1.0000e+16]'
Celková odchylka	'[0.0000e+00, 0.0000e+00, 0.0000e+00]'	'[1.0566e-03, 2.9122e-02, 1.3848e-01]'	'[2.4033e-03, 2.1097e+00, 9.1465e+00]'	'[9.3487e-01, 9.9980e+07, 1.0000e+16]'	'[1.6396e-01, 9.9981e+07, 1.0000e+16]'
Vážená odchylka 1.	0,0000E+00	3,0771E-02	4,0849E+00	3,3333E+15	1,4251E+01
Vážená odchylka 2.	0,0000E+00	3,1008E-02	2,1214E-02	1,8479E-02	3,3333E+15
Vážená odchylka P1	0,0000E+00	9,4887E-03	1,5184E-02	3,3333E+15	3,9156E-01
Vážená odchylka P2	0,0000E+00	5,2290E-02	4,0909E+00	2,1007E-01	3,3333E+15
Celková váž. odch.	0,0000E+00	6,1779E-02	4,1061E+00	3,3333E+15	3,3333E+15

Tabulka č. 37 Charakteristická čísla pro signál Pulse1 s 20% šumem

sigma	F	P1D	P2D	P2	P3
0,35	'[1.0000e+00, 1.0000e+00, 1.2250e-01]'	'[1.0223e+00, 1.0237e+00, 1.4335e-01]'	'[1.0249e+00, 1.0233e+00, 1.4466e-01]'	'[1.7249e+00, 9.5567e-01, 4.5665e-01]'	'[1.6103e+00, 9.2740e-01, 3.0689e-01]'
0,35	'[1.0000e+00, 1.0000e+00, 1.2250e-01]'	'[1.0163e+00, 1.0774e+00, 2.0054e-01]'	'[1.0140e+00, 1.0424e+00, 1.6080e-01]'	'[9.1158e-01, 1.5010e+00, 1.1265e+00]'	'[1.4843e+00, 9.3321e-01, 2.9029e-01]'

0,40	'[1.0000e+00, 1.0000e+00, 1.6000e-01]'	'[9.9319e-01, 9.8867e-01, 1.4642e-01]'	'[9.9088e-01, 9.8690e-01, 1.4302e-01]'	'[1.6103e+00, 9.2403e-01, 4.2692e-01]'	'[1.0740e+00, 1.0273e+00, 3.7071e-01]'
0,40	'[1.0000e+00, 1.0000e+00, 1.6000e-01]'	'[9.9133e-01, 1.1009e+00, 2.7841e-01]'	'[9.4795e-01, 1.0673e+00, 1.8503e-01]'	'[1.4513e+00, 1.0389e+00, 5.3969e-01]'	'[1.2837e+00, 1.2715e+00, 6.9426e-01]'
0,45	'[1.0000e+00, 1.0000e+00, 2.0250e-01]'	'[1.0011e+00, 1.0107e+00, 2.0474e-01]'	'[1.0019e+00, 1.0191e+00, 2.0689e-01]'	'[1.4783e+00, 9.6726e-01, 4.6780e-01]'	'[1.3267e+00, 9.7381e-01, 3.1858e-01]'
0,45	'[1.0000e+00, 1.0000e+00, 2.0250e-01]'	'[1.0252e+00, 1.1138e+00, 3.6629e-01]'	'[1.0120e+00, 1.0526e+00, 2.5584e-01]'	'[1.2343e+00, 1.4109e+00, 1.9908e+00]'	'[2.0270e+00, 8.1706e+00, 6.531e+01]'
0,50	'[1.0000e+00, 1.0000e+00, 2.5000e-01]'	'[9.8145e-01, 1.0057e+00, 2.4461e-01]'	'[9.7953e-01, 1.0078e+00, 2.4210e-01]'	'[1.4418e+00, 9.3411e-01, 4.5078e-01]'	'[4.4270e+00, 2.4808e+08, 6.1543e+16]'
0,50	'[1.0000e+00, 1.0000e+00, 2.5000e-01]'	'[9.9425e-01, 1.0975e+00, 4.3354e-01]'	'[4.0453e+02, 3.0350e+05, 9.2111e+10]'	'[1.2746e+00, 9.7476e-01, 4.7508e-01]'	'[1.1672e+00, 1.0785e+00, 5.2524e-01]'
0,55	'[1.0000e+00, 1.0000e+00, 3.0250e-01]'	'[9.9693e-01, 1.0424e+00, 3.6351e-01]'	'[9.9739e-01, 1.0348e+00, 3.5081e-01]'	'[1.2980e+00, 1.0076e+00, 5.0767e-01]'	'[2.3856e+00, 7.3029e+03, 3.5530e+07]'
0,55	'[1.0000e+00, 1.0000e+00, 3.0250e-01]'	'[1.0164e+00, 1.1073e+00, 4.7233e-01]'	'[9.9032e-01, 1.0384e+00, 3.1978e-01]'	'[1.3066e+00, 9.7978e-01, 4.7999e-01]'	'[1.3441e+00, 6.2951e+00, 2.6365e+01]'
0,60	'[1.0000e+00, 1.0000e+00, 3.6000e-01]'	'[9.8718e-01, 9.8006e-01, 3.4694e-01]'	'[9.8680e-01, 9.8666e-01, 3.5041e-01]'	'[1.0614e+00, 9.8115e-01, 4.8133e-01]'	'[9.5278e-01, 1.1427e+00, 5.6359e-01]'
0,60	'[1.0000e+00, 1.0000e+00, 3.6000e-01]'	'[9.8566e-01, 1.1125e+00, 5.6592e-01]'	'[9.9906e-01, 1.0192e+00, 4.0168e-01]'	'[1.1461e+00, 1.0273e+00, 5.2775e-01]'	'[1.3315e+00, 1.9227e+01, 3.3014e+02]'
0,65	'[1.0000e+00, 1.0000e+00, 4.2250e-01]'	'[9.8787e-01, 1.0219e+00, 4.2916e-01]'	'[1.0062e+00, 1.0102e+00, 4.3016e-01]'	'[1.0552e+00, 9.9726e-01, 4.9726e-01]'	'[1.1765e+00, 9.3297e-01, 4.4256e-01]'
0,65	'[1.0000e+00, 1.0000e+00, 4.2250e-01]'	'[1.0127e+00, 1.0954e+00, 6.1629e-01]'	'[9.8290e-01, 1.0670e+00, 4.4875e-01]'	'[1.1236e+00, 9.9004e-01, 4.9018e-01]'	'[9.6941e-01, 1.0320e+00, 4.4978e-01]'
0,70	'[1.0000e+00, 1.0000e+00, 4.9000e-01]'	'[9.9962e-01, 9.8913e-01, 4.5407e-01]'	'[1.0022e+00, 9.8864e-01, 4.5581e-01]'	'[1.1882e+00, 8.8150e-01, 4.2383e-01]'	'[1.0068e+00, 9.5815e-01, 4.2389e-01]'
0,70	'[1.0000e+00, 1.0000e+00, 4.9000e-01]'	'[1.0430e+00, 1.1255e+00, 8.2312e-01]'	'[1.0197e+00, 1.0107e+00, 5.3079e-01]'	'[1.0197e+00, 1.0097e+00, 5.2869e-01]'	'[1.1321e+00, 4.1956e+00, 1.1528e+01]'
0,75	'[1.0000e+00, 1.0000e+00, 5.6250e-01]'	'[9.6752e-01, 9.9319e-01, 5.2357e-01]'	'[9.6894e-01, 9.9006e-01, 5.2176e-01]'	'[9.7898e-01, 9.2234e-01, 4.2536e-01]'	'[9.8833e-01, 9.4500e-01, 4.8067e-01]'
0,75	'[1.0000e+00, 1.0000e+00, 5.6250e-01]'	'[1.0007e+00, 1.0712e+00, 7.6571e-01]'	'[9.9389e-01, 9.9061e-01, 5.5615e-01]'	'[9.9382e-01, 9.8710e-01, 5.6403e-01]'	'[9.9382e-01, 9.8711e-01, 5.6403e-01]'
0,80	'[1.0000e+00, 1.0000e+00, 6.4000e-01]'	'[1.0051e+00, 1.0043e+00, 6.4821e-01]'	'[1.0006e+00, 9.8113e-01, 5.9747e-01]'	'[1.0023e+00, 9.4260e-01, 5.3138e-01]'	'[1.5071e-01, 1.4285e+00, 6.8038e-01]'
0,80	'[1.0000e+00, 1.0000e+00, 6.4000e-01]'	'[9.8994e-01, 1.0594e+00, 8.0433e-01]'	'[9.8217e-01, 1.0177e+00, 7.0104e-01]'	'[9.8213e-01, 1.0043e+00, 6.7438e-01]'	'[9.8227e-01, 1.0153e+00, 6.9683e-01]'
0,85	'[1.0000e+00, 1.0000e+00, 7.2250e-01]'	'[9.8597e-01, 9.6704e-01, 6.5275e-01]'	'[1.0419e+00, 9.3524e-01, 6.4517e-01]'	'[9.8684e-01, 9.3185e-01, 5.9172e-01]'	'[9.8532e-01, 9.4715e-01, 6.1707e-01]'
0,85	'[1.0000e+00, 1.0000e+00, 7.2250e-01]'	'[1.0015e+00, 1.0159e+00, 7.6728e-01]'	'[1.0734e+00, 9.9432e-01, 7.3086e-01]'	'[9.9945e-01, 9.8123e-01, 6.9698e-01]'	'[9.9597e-01, 3.8029e+00, 9.1924e+00]'
0,90	'[1.0000e+00, 1.0000e+00, 8.1000e-01]'	'[9.9767e-01, 1.0026e+00, 8.0985e-01]'	'[9.9838e-01, 1.0201e+00, 8.1946e-01]'	'[9.9597e-01, 9.8390e-01, 7.6857e-01]'	'[9.9729e-01, 9.9383e-01, 7.9218e-01]'
0,90	'[1.0000e+00, 1.0000e+00, 8.1000e-01]'	'[1.0163e+00, 1.0100e+00, 8.3369e-01]'	'[1.0147e+00, 9.9408e-01, 7.9832e-01]'	'[1.0148e+00, 9.9204e-01, 7.9439e-01]'	'[1.0147e+00, 9.9439e-01, 7.9901e-01]'
0,95	'[1.0000e+00, 1.0000e+00, 9.0250e-01]'	'[1.0029e+00, 1.0115e+00, 9.2584e-01]'	'[1.0016e+00, 1.0502e+00, 8.9443e-01]'	'[1.0028e+00, 1.0070e+00, 9.1636e-01]'	'[9.8633e-02, 2.1516e+00, 1.6079e+00]'
0,95	'[1.0000e+00, 1.0000e+00, 9.0250e-01]'	'[9.7691e-01, 1.0384e+00, 9.3634e-01]'	'[9.9234e-01, 1.0308e+00, 9.3635e-01]'	'[1.0168e+00, 1.0253e+00, 9.5520e-01]'	'[1.0168e+00, 1.0253e+00, 9.5520e-01]'
odch 1 pro sigma <=0.65	'[0.0000e+00, 0.0000e+00, 0.0000e+00]'	'[2.8580e-03, 7.5437e-02, 1.9401e-01]'	'[1.6284e+05, 9.2110e+10, 8.4844e+21]'	'[1.8898e+00, 4.3685e-01, 4.8210e+00]'	'[1.5809e+01, 6.1543e+16, 3.7875e+33]'
odch 2 pro sigma >0.65	'[0.0000e+00, 0.0000e+00, 0.0000e+00]'	'[4.1021e-03, 2.7599e-02, 1.9126e-01]'	'[9.1395e-03, 9.2334e-03, 1.7555e-02]'	'[3.7300e-02, 2.9652e-02, 6.0352e-02]'	'[1.5525e+00, 1.9587e+01, 1.9410e+02]'
Celková odchyška	'[0.0000e+00, 0.0000e+00, 0.0000e+00]'	'[6.9602e-03, 1.0304e-01, 3.8528e-01]'	'[1.6284e+05, 9.2110e+10, 8.4844e+21]'	'[1.9271e+00, 4.6650e-01, 4.8813e+00]'	'[1.7362e+00, 6.1543e+16, 3.7875e+33]'
Vážená odchyška 1	0,0000E+00	1,0525E-01	2,8281E+21	3,7152E+00	1,2625E+33
Vážená odchyška 2	0,0000E+00	8,1656E-02	1,9608E-02	7,2244E-02	7,6046E+01
Vážená odchyška P1	0,0000E+00	9,2530E-03	1,3947E-02	1,6111E+00	1,2625E+33
Vážená odchyška P2	0,0000E+00	1,7765E-01	2,8281E+21	2,1763E+00	3,8096E+04
Celková váž. odch.	0,0000E+00	1,8690E-01	2,8281E+21	3,7875E+00	1,2625E+33

Tabulka č. 38 Charakteristická čísla pro signál Double Pulse s 20% šumem

sigma	F	P1D	P2D	P2	P3
0,35	'[1.0000e+00, 1.0000e+00, 1.2250e-01]'	'[1.0205e+00, 9.7085e-01, 1.4170e-01]'	'[1.0321e+03, 5.4201e+03, 2.9376e+07]'	'[0.0000e+00, 8.4263e-03, 3.5683e-05]'	'[3.2128e-01, 1.5657e+02, 2.3959e+04]'
0,35	'[1.0000e+00, 1.0000e+00, 1.2250e-01]'	'[9.9016e-01, 1.0914e+00, 2.2730e-01]'	'[7.2162e-02, 3.7861e-01, 4.1962e-11]'	'[0.0000e+00, 1.6015e-01, 2.0221e-02]'	'[9.7383e-01, 1.5802e+00, 9.3216e-01]'
0,40	'[1.0000e+00, 1.0000e+00, 1.6000e-01]'	'[1.0382e+00, 1.0231e+00, 1.9229e-01]'	'[1.0306e+00, 1.0109e+00, 1.7752e-01]'	'[1.4538e+00, 1.1965e+00, 7.1630e-01]'	'[1.0765e+00, 1.2252e+00, 5.6942e-01]'
0,40	'[1.0000e+00, 1.0000e+00, 1.6000e-01]'	'[1.1596e+00, 1.2138e+00, 6.6227e-01]'	'[9.9735e-01, 1.0765e+00, 2.2991e-01]'	'[0.0000e+00, 4.8420e-02, 2.0481e-03]'	'[9.1734e-01, 1.4441e+00, 7.0433e-01]'
0,45	'[1.0000e+00, 1.0000e+00, 2.0250e-01]'	'[0.0000e+00, 3.6598e-02, 1.3350e-03]'	'[1.0144e+00, 1.0086e+00, 2.1625e-01]'	'[9.2541e+05, 3.9628e+06, 1.5704e+13]'	'[1.8088e+00, 6.1889e+00, 3.1897e+01]'
0,45	'[1.0000e+00, 1.0000e+00, 2.0250e-01]'	'[1.0582e+00, 1.1763e+00, 4.5294e-01]'	'[1.0181e+00, 1.1272e+00, 3.3204e-01]'	'[4.0974e+05, 1.9996e+04, 1.9993e+08]'	'[1.0620e+00, 1.2959e+00, 7.2178e-01]'
0,50	'[1.0000e+00, 1.0000e+00, 2.5000e-01]'	'[9.9296e-01, 9.8719e-01, 2.2551e-01]'	'[1.0138e+00, 8.2320e+01, 6.6997e+03]'	'[6.8509e+02, 4.3526e+03, 1.8945e+07]'	'[1.2129e+00, 9.8978e-01, 3.2669e-01]'
0,50	'[1.0000e+00, 1.0000e+00, 2.5000e-01]'	'[1.0734e+00, 1.2104e+00, 5.8217e-01]'	'[1.0344e+00, 1.1144e+00, 3.6310e-01]'	'[1.2044e+00, 1.3215e+00, 8.7313e-01]'	'[1.4757e+06, 6.0752e+06, 3.6908e+13]'
0,55	'[1.0000e+00, 1.0000e+00, 3.0250e-01]'	'[1.0431e+00, 1.0383e+00, 3.4498e-01]'	'[1.0417e+00, 1.0495e+00, 3.5126e-01]'	'[1.0568e+03, 5.6908e+03, 3.2385e+07]'	'[1.1177e+00, 1.0311e+00, 3.6919e-01]'

0,55	'[1.0000e+00, 1.0000e+00, 3.0250e-01]'	'[1.0486e+00, 1.2211e+00, 7.1928e-01]'	'[1.0248e+00, 1.1207e+00, 4.7900e-01]'	'[1.1805e+00, 1.1562e+00, 6.6843e-01]'	'[9.7747e-01, 1.0961e+00, 4.1642e-01]'
0,60	'[1.0000e+00, 1.0000e+00, 3.6000e-01]'	'[1.0448e+00, 1.0072e+00, 3.6882e-01]'	'[1.0414e+00, 1.0041e+00, 3.6271e-01]'	'[1.2698e+00, 1.0671e+00, 5.8536e-01]'	'[1.0444e+00, 1.1029e+00, 5.1933e-01]'
0,60	'[1.0000e+00, 1.0000e+00, 3.6000e-01]'	'[1.0131e+00, 1.1705e+00, 6.9237e-01]'	'[9.8283e-01, 1.0070e+00, 3.7655e-01]'	'[1.1277e+00, 1.0785e+00, 5.8157e-01]'	'[9.7784e-01, 9.9727e-01, 3.6134e-01]'
0,65	'[1.0000e+00, 1.0000e+00, 4.2250e-01]'	'[9.8903e-01, 1.0173e+00, 4.3207e-01]'	'[9.8832e-01, 1.0193e+00, 4.3161e-01]'	'[1.1577e+00, 1.0229e+00, 5.2320e-01]'	'[9.8349e-01, 9.7320e-01, 3.2556e-01]'
0,65	'[1.0000e+00, 1.0000e+00, 4.2250e-01]'	'[1.0323e+00, 1.1853e+00, 7.9747e-01]'	'[9.9161e-01, 1.0047e+00, 4.1483e-01]'	'[1.0732e+00, 1.0884e+00, 5.9235e-01]'	'[4.0832e+02, 2.6645e+03, 7.0986e+06]'
0,70	'[1.0000e+00, 1.0000e+00, 4.9000e-01]'	'[9.6068e-01, 9.8567e-01, 4.5976e-01]'	'[9.6329e-01, 9.9703e-01, 4.6282e-01]'	'[1.0654e+00, 9.4683e-01, 4.4824e-01]'	'[9.5756e-01, 9.4925e-01, 3.6588e-01]'
0,70	'[1.0000e+00, 1.0000e+00, 4.9000e-01]'	'[1.0133e+00, 1.1940e+00, 9.7830e-01]'	'[1.0133e+00, 1.1939e+00, 9.7810e-01]'	'[9.7287e-01, 9.9043e-01, 5.0124e-01]'	'[9.7287e-01, 9.9043e-01, 5.0125e-01]'
0,75	'[1.0000e+00, 1.0000e+00, 5.6250e-01]'	'[1.0383e+00, 1.0359e+00, 6.3843e-01]'	'[1.0375e+00, 1.0302e+00, 6.2832e-01]'	'[1.0565e+00, 9.2778e-01, 4.5972e-01]'	'[1.0433e+00, 9.9622e-01, 5.5119e-01]'
0,75	'[1.0000e+00, 1.0000e+00, 5.6250e-01]'	'[1.0011e+00, 1.1152e+00, 8.6294e-01]'	'[9.7332e-01, 9.7471e-01, 5.6093e-01]'	'[9.7388e-01, 9.6386e-01, 5.4068e-01]'	'[9.7344e-01, 9.7705e-01, 5.6573e-01]'
0,80	'[1.0000e+00, 1.0000e+00, 6.4000e-01]'	'[1.0322e+00, 1.0137e+00, 6.7854e-01]'	'[9.0049e-01, 2.2707e+01, 5.0536e+02]'	'[1.0456e+00, 9.4279e-01, 5.5985e-01]'	'[4.1794e-01, 2.3724e+00, 4.7956e+00]'
0,80	'[1.0000e+00, 1.0000e+00, 6.4000e-01]'	'[1.0902e+00, 1.2004e+00, 1.1204e+00]'	'[1.0528e+00, 1.0731e+00, 7.3018e-01]'	'[1.0541e+00, 1.0716e+00, 7.9169e-01]'	'[1.0614e+00, 1.9523e+07, 3.8115e+14]'
0,85	'[1.0000e+00, 1.0000e+00, 7.2250e-01]'	'[9.9351e-01, 9.9570e-01, 7.2038e-01]'	'[9.8819e-01, 9.8662e-01, 6.9899e-01]'	'[9.9118e-01, 9.2928e-01, 5.9740e-01]'	'[9.8029e-01, 9.7252e-01, 6.5932e-01]'
0,85	'[1.0000e+00, 1.0000e+00, 7.2250e-01]'	'[1.0065e+00, 1.0764e+00, 8.8559e-01]'	'[9.8404e-01, 9.8988e-01, 6.9344e-01]'	'[1.1770e+00, 1.2847e+00, 1.6505e+00]'	'[9.8415e-01, 9.9027e-01, 6.9442e-01]'
0,90	'[1.0000e+00, 1.0000e+00, 8.1000e-01]'	'[9.8307e-01, 9.7117e-01, 7.4699e-01]'	'[9.7957e-01, 9.6081e-01, 7.2487e-01]'	'[9.8545e-01, 9.3726e-01, 6.8740e-01]'	'[9.8674e-01, 1.0429e+00, 8.6116e-01]'
0,90	'[1.0000e+00, 1.0000e+00, 8.1000e-01]'	'[1.0379e+00, 1.0837e+00, 9.8750e-01]'	'[1.0242e+00, 1.0383e+00, 8.7702e-01]'	'[1.0242e+00, 1.0353e+00, 8.7077e-01]'	'[1.0242e+00, 1.0383e+00, 8.7701e-01]'
0,95	'[1.0000e+00, 1.0000e+00, 9.0250e-01]'	'[1.0195e+00, 1.0286e+00, 9.7343e-01]'	'[1.0261e+00, 1.0738e+00, 1.0230e+00]'	'[1.0243e+00, 1.0277e+00, 9.7770e-01]'	'[1.0229e+00, 1.0289e+00, 9.7844e-01]'
0,95	'[1.0000e+00, 1.0000e+00, 9.0250e-01]'	'[9.8349e-01, 9.8155e-01, 8.5970e-01]'	'[9.7859e-01, 9.6635e-01, 8.1803e-01]'	'[9.7855e-01, 9.6422e-01, 8.2057e-01]'	'[9.7855e-01, 9.6422e-01, 8.2057e-01]'
odch 1 pro sigma <=0.65	'[0.0000e+00, 0.0000e+00, 0.0000e+00]'	'[1.0438e+00, 1.1732e+00, 9.0555e-01]'	'[1.0631e+06, 2.9373e+07, 8.6295e+14]'	'[1.0243e+12, 1.5704e+13, 2.4662e+26]'	'[2.1776e+12, 3.6908e+13, 1.3622e+27]'
odch 2 pro sigma >0.65	'[0.0000e+00, 0.0000e+00, 0.0000e+00]'	'[1.4825e-02, 1.0764e-01, 6.3660e-01]'	'[1.8869e-02, 4.7125e+02, 2.5475e+05]'	'[4.7156e-02, 1.1114e-01, 9.5028e-01]'	'[3.5008e-01, 3.8115e+14, 1.4528e+29]'
Celková odchylka	'[0.0000e+00, 0.0000e+00, 0.0000e+00]'	'[1.0587e+00, 1.2809e+00, 1.5422e+00]'	'[1.0631e+06, 2.9374e+07, 8.6295e+14]'	'[1.0243e+12, 1.5704e+13, 2.4662e+26]'	'[2.1776e+12, 4.1806e+14, 1.4664e+29]'
Vážená odchylka 1.	0,0000E+00	1,9323E+00	2,8765E+14	8,2205E+25	4,5407E+26
Vážená odchylka 2.	0,0000E+00	2,8084E-01	8,5151E+04	4,1949E-01	4,8426E+28
Vážená odchylka P1	0,0000E+00	1,4986E+00	2,8765E+14	8,2205E+25	1,9136E+08
Vážená odchylka P2	0,0000E+00	7,1450E-01	1,2227E+00	1,3324E+16	4,8880E+28
Celková váž. odch.	0,0000E+00	2,2131E+00	2,8765E+14	8,2205E+25	4,8880E+28

**Tabulka č. 39 Charakteristická čísla pro signál Pulse10 s 20% šumem**

sigma	F	P1D	P2D	P2	P3
0,35	'[1.0000e+00, 1.0000e+00, 1.2250e-01]'	'[1.0036e+00, 1.0026e+00, 1.2651e-01]'	'[1.0038e+00, 1.0132e+00, 1.3019e-01]'	'[1.0219e+00, 9.8716e-01, 4.8724e-01]'	'[1.0153e+00, 1.0131e+00, 3.4217e-01]'
0,35	'[1.0000e+00, 1.0000e+00, 1.2250e-01]'	'[1.0022e+00, 1.0428e+00, 1.8308e-01]'	'[1.0016e+00, 1.0300e+00, 1.6265e-01]'	'[1.0228e+00, 9.5472e-01, 4.5575e-01]'	'[9.9968e-01, 1.5053e+00, 1.0269e+00]'
0,40	'[1.0000e+00, 1.0000e+00, 1.6000e-01]'	'[9.9937e-01, 1.0042e+00, 1.7559e-01]'	'[9.9851e-01, 9.9851e-01, 1.5794e-01]'	'[1.0136e+00, 9.8006e-01, 4.8025e-01]'	'[1.0100e+00, 9.6503e-01, 3.1043e-01]'
0,40	'[1.0000e+00, 1.0000e+00, 1.6000e-01]'	'[1.0015e+00, 1.0390e+00, 2.0332e-01]'	'[1.0010e+00, 1.0316e+00, 1.8610e-01]'	'[1.0224e+00, 9.4739e-01, 4.4878e-01]'	'[9.9862e-01, 1.3545e+00, 9.1670e-01]'
0,45	'[1.0000e+00, 1.0000e+00, 2.0250e-01]'	'[9.9911e-01, 9.9722e-01, 2.0609e-01]'	'[9.9876e-01, 9.9626e-01, 2.0003e-01]'	'[1.0056e+00, 1.0620e+00, 5.6394e-01]'	'[9.9891e-01, 1.2756e+00, 6.0546e-01]'
0,45	'[1.0000e+00, 1.0000e+00, 2.0250e-01]'	'[9.9591e-01, 1.0398e+00, 2.6556e-01]'	'[1.0047e+00, 9.8609e+00, 2.0424e+01]'	'[1.0113e+00, 9.8594e-01, 4.9166e-01]'	'[1.0013e+00, 1.1564e+00, 5.5549e-01]'
0,50	'[1.0000e+00, 1.0000e+00, 2.5000e-01]'	'[9.9965e-01, 1.0106e+00, 2.6072e-01]'	'[9.9970e-01, 1.0100e+00, 2.5982e-01]'	'[1.0126e+00, 9.8130e-01, 4.8148e-01]'	'[9.9948e-01, 1.1558e+01, 1.1841e+02]'
0,50	'[1.0000e+00, 1.0000e+00, 2.5000e-01]'	'[1.0044e+00, 1.0467e+00, 3.7124e-01]'	'[1.0023e+00, 1.0828e+00, 3.2515e-01]'	'[1.0107e+00, 1.0277e+00, 5.2811e-01]'	'[1.0054e+00, 1.0316e+00, 3.5473e-01]'
0,55	'[1.0000e+00, 1.0000e+00, 3.0250e-01]'	'[9.9715e-01, 9.9940e-01, 3.1293e-01]'	'[9.9797e-01, 1.0027e+00, 3.1869e-01]'	'[1.0046e+00, 9.9479e-01, 4.9480e-01]'	'[9.9759e-01, 1.0765e+00, 4.9106e-01]'
0,55	'[1.0000e+00, 1.0000e+00, 3.0250e-01]'	'[1.0022e+00, 1.0463e+00, 4.3908e-01]'	'[9.9946e-01, 1.0859e+00, 3.8789e-01]'	'[1.0096e+00, 9.9001e-01, 4.9123e-01]'	'[1.0020e+00, 9.9420e-01, 3.2948e-01]'
0,60	'[1.0000e+00, 1.0000e+00, 3.6000e-01]'	'[9.9192e-01, 9.9785e-01, 3.3533e-01]'	'[9.9195e-01, 9.9551e-01, 3.3264e-01]'	'[1.0032e+00, 9.3252e-01, 4.3480e-01]'	'[9.9718e-01, 1.0659e+00, 5.4214e-01]'
0,60	'[1.0000e+00, 1.0000e+00, 3.6000e-01]'	'[9.9549e-01, 1.0422e+00, 4.9274e-01]'	'[9.9292e-01, 1.0125e+00, 3.7790e-01]'	'[9.9856e-01, 1.0167e+00, 5.1683e-01]'	'[9.9294e-01, 1.0108e+00, 3.7828e-01]'
0,65	'[1.0000e+00, 1.0000e+00, 4.2250e-01]'	'[1.0011e+00, 1.0010e+00, 4.5631e-01]'	'[1.0003e+00, 1.0041e+00, 4.4700e-01]'	'[1.0035e+00, 9.8513e-01, 4.8524e-01]'	'[9.9937e-01, 9.9840e-01, 4.2391e-01]'
0,65	'[1.0000e+00, 1.0000e+00, 4.2250e-01]'	'[1.0047e+00, 1.0410e+00, 5.0628e-01]'	'[1.0027e+00, 1.0373e+00, 4.2726e-01]'	'[1.0075e+00, 1.0040e+00, 5.0401e-01]'	'[1.0043e+00, 9.9717e-01, 4.0853e-01]'
0,70	'[1.0000e+00, 1.0000e+00, 4.9000e-01]'	'[9.9519e-01, 1.0116e+00, 4.9555e-01]'	'[9.9525e-01, 1.0111e+00, 4.9563e-01]'	'[9.9639e-01, 9.9149e-01, 4.9153e-01]'	'[9.9500e-01, 1.1120e+00, 6.2986e-01]'
0,70	'[1.0000e+00, 1.0000e+00, 4.9000e-01]'	'[1.0083e+00, 1.0459e+00, 6.7945e-01]'	'[1.0048e+00, 1.0168e+00, 5.2003e-01]'	'[1.0047e+00, 1.0133e+00, 5.2065e-01]'	'[1.0047e+00, 1.0133e+00, 5.2064e-01]'



0,75	'[1.0000e+00, 1.0000e+00, 5.6250e-01]'	'[1.0018e+00, 9.7067e-01, 5.3862e-01]'	'[1.0018e+00, 9.7134e-01, 5.3700e-01]'	'[1.0029e+00, 9.5261e-01, 5.3637e-01]'	'[1.0019e+00, 1.0582e+00, 6.1429e-01]'
0,75	'[1.0000e+00, 1.0000e+00, 5.6250e-01]'	'[9.9464e-01, 1.0169e+00, 6.9533e-01]'	'[9.9226e-01, 1.0199e+00, 5.6785e-01]'	'[9.9226e-01, 9.9164e-01, 5.7806e-01]'	'[9.9226e-01, 9.9163e-01, 5.7801e-01]'
0,80	'[1.0000e+00, 1.0000e+00, 6.4000e-01]'	'[9.9921e-01, 1.0005e+00, 6.7533e-01]'	'[9.9861e-01, 9.9317e-01, 6.4452e-01]'	'[9.9835e-01, 9.8332e-01, 6.1828e-01]'	'[9.9852e-01, 9.8947e-01, 6.3515e-01]'
0,80	'[1.0000e+00, 1.0000e+00, 6.4000e-01]'	'[9.9912e-01, 1.0052e+00, 6.9608e-01]'	'[1.0170e+00, 6.8898e+00, 4.4771e+01]'	'[9.9921e-01, 9.9145e-01, 6.7278e-01]'	'[9.9678e-01, 9.6736e+00, 7.5936e+01]'
0,85	'[1.0000e+00, 1.0000e+00, 7.2250e-01]'	'[1.0010e+00, 1.0117e+00, 7.8981e-01]'	'[1.0007e+00, 1.0079e+00, 7.7361e-01]'	'[1.0006e+00, 1.0035e+00, 7.6319e-01]'	'[1.0007e+00, 1.0072e+00, 7.7327e-01]'
0,85	'[1.0000e+00, 1.0000e+00, 7.2250e-01]'	'[9.9745e-01, 9.9158e-01, 7.7693e-01]'	'[9.9649e-01, 1.0316e+00, 7.2278e-01]'	'[9.9661e-01, 9.8299e-01, 7.3518e-01]'	'[9.9661e-01, 9.8300e-01, 7.3522e-01]'
0,90	'[1.0000e+00, 1.0000e+00, 8.1000e-01]'	'[1.0048e+00, 9.7137e-01, 7.6287e-01]'	'[1.0052e+00, 9.9581e-01, 7.9018e-01]'	'[1.0053e+00, 9.6851e-01, 7.7177e-01]'	'[1.0051e+00, 9.6970e-01, 7.6717e-01]'
0,90	'[1.0000e+00, 1.0000e+00, 8.1000e-01]'	'[9.9817e-01, 1.0350e+00, 8.9196e-01]'	'[2.5018e-01, 9.7698e+00, 5.9363e+01]'	'[9.9970e-01, 1.0223e+00, 8.9550e-01]'	'[9.9834e-01, 1.0453e+00, 9.0848e-01]'
0,95	'[1.0000e+00, 1.0000e+00, 9.0250e-01]'	'[9.9192e-01, 9.8173e-01, 8.8072e-01]'	'[9.9197e-01, 1.0000e+00, 8.8967e-01]'	'[9.9195e-01, 9.8094e-01, 8.8019e-01]'	'[9.9181e-01, 9.9398e-01, 8.8053e-01]'
0,95	'[1.0000e+00, 1.0000e+00, 9.0250e-01]'	'[1.0038e+00, 9.9109e-01, 9.4312e-01]'	'[1.0017e+00, 1.2463e+00, 9.2514e-01]'	'[9.8490e-01, 2.2293e+00, 4.9580e+00]'	'[1.0039e+00, 9.9099e-01, 9.4537e-01]'
odch 1 pro sigma <=0.65	'[0.0000e+00, 0.0000e+00, 0.0000e+00]'	'[1.7868e-04, 1.2877e-02, 6.9765e-02]'	'[1.7567e-04, 1.4924e+01, 4.0892e+02]'	'[2.3129e-03, 1.5738e-02, 8.8859e-01]'	'[4.5547e-04, 1.1196e+02, 1.3964e+04]'
odch 2 pro sigma >0.65	'[0.0000e+00, 0.0000e+00, 0.0000e+00]'	'[2.4019e-04, 6.0742e-03, 7.7084e-02]'	'[5.6273e-01, 8.3332e+01, 5.3760e+03]'	'[4.3998e-04, 1.5163e+00, 1.6462e+01]'	'[2.4597e-04, 7.5250e+01, 5.6695e+03]'
Celková odchylka	'[0.0000e+00, 0.0000e+00, 0.0000e+00]'	'[4.1886e-04, 1.8951e-02, 1.4685e-01]'	'[5.6290e-01, 9.8256e+01, 5.7850e+03]'	'[2.7529e-03, 1.5320e+00, 1.7350e+01]'	'[7.0144e-04, 1.8721e+02, 1.9634e+04]'
Vážená odchylka 1	0,0000E+00	2,9872E-02	1,4377E+02	3,0638E-01	4,7107E+03
Vážená odchylka 2	0,0000E+00	2,8972E-02	1,8342E+03	6,2458E+00	1,9274E+03
Vážená odchylka P1	0,0000E+00	5,1983E-03	2,7914E-03	1,6481E-01	4,7100E+03
Vážená odchylka P2	0,0000E+00	5,3645E-02	1,9780E+03	6,3874E+00	1,9281E+03
Celková váž. odch.	0,0000E+00	5,8844E-02	1,9780E+03	6,5522E+00	6,6381E+03

Tabulka č. 40 Charakteristická čísla pro signál Wavemix s 20% šumem

sigma	F	P1D	P2D	P2	P3
0,35	'[1.0000e+00, 1.0000e+00, 1.2250e-01]'	'[9.8657e-01, 9.9386e-01, 1.1817e-01]'	'[9.9286e-01, 1.0672e+00, 1.6264e-01]'	'[5.7858e-02, 1.6885e+00, 1.4256e+00]'	'[2.6065e-01, 1.0795e+00, 4.2918e-01]'
0,35	'[1.0000e+00, 1.0000e+00, 1.2250e-01]'	'[9.9486e-01, 1.1249e+00, 2.5150e-01]'	'[9.8979e-01, 1.0929e+00, 1.8973e-01]'	'[1.6801e+00, 1.7857e+00, 3.1887e+00]'	'[1.1587e+00, 1.3094e+00, 8.2605e-01]'
0,40	'[1.0000e+00, 1.0000e+00, 1.6000e-01]'	'[9.9230e-01, 1.0019e+00, 1.6326e-01]'	'[9.9331e-01, 1.0235e+00, 1.7088e-01]'	'[1.3073e+00, 1.2764e+00, 8.1464e-01]'	'[9.9140e-01, 1.2310e+00, 5.4348e-01]'
0,40	'[1.0000e+00, 1.0000e+00, 1.6000e-01]'	'[1.0175e+00, 1.1353e+00, 3.3608e-01]'	'[9.8824e-01, 1.1207e+00, 2.6039e-01]'	'[1.9456e-01, 7.7897e-09, 4.9674e-17]'	'[8.0838e-01, 2.6661e+00, 5.5469e+00]'
0,45	'[1.0000e+00, 1.0000e+00, 2.0250e-01]'	'[9.9328e-01, 1.0027e+00, 2.0439e-01]'	'[9.9262e-01, 9.9684e-01, 1.9828e-01]'	'[1.1257e-01, 4.6166e-04, 1.1088e-07]'	'[1.0325e+00, 1.2868e+00, 6.4352e-01]'
0,45	'[1.0000e+00, 1.0000e+00, 2.0250e-01]'	'[1.0237e+00, 1.1375e+00, 4.1254e-01]'	'[9.9599e-01, 1.0803e+00, 2.7589e-01]'	'[9.9427e-01, 1.1603e+00, 6.7713e-01]'	'[1.1599e+00, 1.1465e+00, 6.2608e-01]'
0,50	'[1.0000e+00, 1.0000e+00, 2.5000e-01]'	'[1.0034e+00, 1.0180e+00, 2.7130e-01]'	'[1.0029e+00, 1.0142e+00, 2.6671e-01]'	'[9.5506e-02, 9.6783e-06, 5.4596e-11]'	'[1.3286e+00, 1.5496e+00, 1.2055e+00]'
0,50	'[1.0000e+00, 1.0000e+00, 2.5000e-01]'	'[1.0477e+00, 1.1452e+00, 5.4673e-01]'	'[9.9390e-01, 1.0797e+00, 3.4514e-01]'	'[7.5835e-01, 1.3872e+00, 9.6221e-01]'	'[1.1051e+00, 1.2730e+00, 6.8897e-01]'
0,55	'[1.0000e+00, 1.0000e+00, 3.0250e-01]'	'[1.0213e+00, 1.0158e+00, 3.2497e-01]'	'[1.0202e+00, 1.0071e+00, 3.1349e-01]'	'[1.0438e+00, 1.0703e+00, 5.7273e-01]'	'[1.2369e+00, 1.3394e+00, 9.5034e-01]'
0,55	'[1.0000e+00, 1.0000e+00, 3.0250e-01]'	'[1.0696e+00, 1.1621e+00, 6.5759e-01]'	'[1.0210e+00, 1.0491e+00, 3.8033e-01]'	'[1.1189e+00, 1.1117e+00, 6.1791e-01]'	'[9.8723e-01, 1.0986e+00, 4.0431e-01]'
0,60	'[1.0000e+00, 1.0000e+00, 3.6000e-01]'	'[1.0129e+00, 1.0034e+00, 3.6935e-01]'	'[1.0150e+00, 1.0298e+00, 3.8638e-01]'	'[1.0496e+00, 1.1087e+00, 6.4742e-01]'	'[4.2294e+03, 7.0596e+03, 4.9838e+07]'
0,60	'[1.0000e+00, 1.0000e+00, 3.6000e-01]'	'[1.0886e+00, 1.1673e+00, 7.9777e-01]'	'[1.0050e+00, 1.0551e+00, 4.5177e-01]'	'[7.0470e-01, 1.2716e+00, 8.0854e-01]'	'[9.4240e-01, 1.1106e+00, 4.9883e-01]'
0,65	'[1.0000e+00, 1.0000e+00, 4.2250e-01]'	'[9.9754e-01, 1.0016e+00, 4.1803e-01]'	'[9.9711e-01, 9.9974e-01, 4.1508e-01]'	'[9.9516e-01, 1.0815e+00, 5.8485e-01]'	'[1.0128e+00, 9.5601e-01, 3.7547e-01]'
0,65	'[1.0000e+00, 1.0000e+00, 4.2250e-01]'	'[1.0710e+00, 1.1533e+00, 8.2432e-01]'	'[9.9242e-01, 1.0335e+00, 4.6469e-01]'	'[1.4089e+00, 1.5127e+00, 2.2882e+00]'	'[0.0000e+00, 1.0002e+04, 1.0000e+08]'
0,70	'[1.0000e+00, 1.0000e+00, 4.9000e-01]'	'[9.9874e-01, 9.8780e-01, 4.7827e-01]'	'[9.9870e-01, 9.8680e-01, 4.7688e-01]'	'[1.0279e+00, 9.4869e-01, 4.5001e-01]'	'[9.9266e-01, 9.7967e-01, 4.6208e-01]'
0,70	'[1.0000e+00, 1.0000e+00, 4.9000e-01]'	'[1.0936e+00, 1.1701e+00, 9.6739e-01]'	'[1.0065e+00, 1.0839e+00, 5.0226e-01]'	'[1.3578e+00, 1.4538e+00, 2.1134e+00]'	'[1.0140e+00, 1.0193e+00, 5.4409e-01]'
0,75	'[1.0000e+00, 1.0000e+00, 5.6250e-01]'	'[9.9340e-01, 9.8614e-01, 5.4165e-01]'	'[9.9654e-01, 1.0136e+00, 5.6740e-01]'	'[1.0093e+00, 9.4154e-01, 4.8949e-01]'	'[1.0062e+00, 9.6451e-01, 5.2601e-01]'
0,75	'[1.0000e+00, 1.0000e+00, 5.6250e-01]'	'[1.0742e+00, 1.1506e+00, 9.5859e-01]'	'[9.8631e-01, 1.0891e+00, 5.0176e-01]'	'[1.0130e+00, 1.0226e+00, 6.0664e-01]'	'[1.0132e+00, 1.0247e+00, 6.1112e-01]'
0,80	'[1.0000e+00, 1.0000e+00, 6.4000e-01]'	'[1.0167e+00, 1.0083e+00, 6.5437e-01]'	'[1.0165e+00, 1.0059e+00, 6.5019e-01]'	'[1.0262e+00, 9.6800e-01, 5.9855e-01]'	'[1.0190e+00, 9.7568e-01, 6.0498e-01]'
0,80	'[1.0000e+00, 1.0000e+00, 6.4000e-01]'	'[1.0223e+00, 1.0716e+00, 8.4177e-01]'	'[9.2610e-01, 1.0801e+00, 4.5581e-01]'	'[9.8207e-01, 9.7630e-01, 5.9496e-01]'	'[9.8215e-01, 9.7744e-01, 5.9723e-01]'
0,85	'[1.0000e+00, 1.0000e+00, 7.2250e-01]'	'[9.9661e-01, 9.9522e-01, 7.1336e-01]'	'[9.4672e-01, 1.0922e+00, 5.2020e-01]'	'[1.0018e+00, 9.6566e-01, 6.6934e-01]'	'[1.0056e+00, 1.0144e+00, 7.5031e-01]'
0,85	'[1.0000e+00, 1.0000e+00, 7.2250e-01]'	'[1.0242e+00, 1.0580e+00, 8.5941e-01]'	'[9.4017e-01, 1.0391e+00, 4.4207e-01]'	'[9.9910e-01, 9.9324e-01, 6.9361e-01]'	'[9.9910e-01, 9.9324e-01, 6.9361e-01]'
0,90	'[1.0000e+00, 1.0000e+00, 8.1000e-01]'	'[9.9978e-01, 9.9267e-01, 8.0271e-01]'	'[9.1135e-01, 1.0784e+00, 4.7268e-01]'	'[9.9957e-01, 9.7435e-01, 7.6875e-01]'	'[1.4346e+03, 3.3261e+03, 1.1062e+07]'



0,90	'[1.0000e+00, 1.0000e+00, 8.1000e-01]'	'[4.3278e-01, 4.2197e-01, 1.0000e-12]'	'[9.0607e-01, 1.0168e+00, 4.1095e-01]'	'[9.8740e-01, 9.7594e-01, 7.5663e-01]'	'[9.8740e-01, 9.7594e-01, 7.5663e-01]'
0,95	'[1.0000e+00, 1.0000e+00, 9.0250e-01]'	'[9.7110e-01, 9.8313e-01, 8.5630e-01]'	'[9.7032e-01, 1.0040e+00, 8.6725e-01]'	'[9.7151e-01, 9.7671e-01, 8.4508e-01]'	'[9.7151e-01, 9.7670e-01, 8.4507e-01]'
0,95	'[1.0000e+00, 1.0000e+00, 9.0250e-01]'	'[1.0011e+00, 9.9872e-01, 9.0997e-01]'	'[9.9868e-01, 1.0083e+00, 8.8498e-01]'	'[9.9933e-01, 9.9235e-01, 8.9465e-01]'	'[9.9933e-01, 9.9236e-01, 8.9466e-01]'
odch 1 pro sigma <=0.65	'[0.0000e+00, 0.0000e+00, 0.0000e+00]'	'[2.1836e-02, 1.5231e-01, 6.6011e-01]'	'[1.6200e-03, 4.8793e-02, 4.8192e-02]'	'[4.0303e+00, 4.7149e+00, 1.6353e+01]'	'[1.7880e+07, 1.4984e+08, 1.2484e+16]'
odch 2 pro sigma >0.65	'[0.0000e+00, 0.0000e+00, 0.0000e+00]'	'[3.3826e-01, 3.9499e-01, 1.1034e+00]'	'[2.9957e-02, 3.8323e-02, 4.3147e-01]'	'[1.3105e-02, 2.1711e-01, 2.6597e+00]'	'[2.0551e+06, 1.1057e+07, 1.2238e+14]'
Celková odchylka	'[0.0000e+00, 0.0000e+00, 0.0000e+00]'	'[3.6010e-01, 5.4729e-01, 1.7636e+00]'	'[3.1577e-02, 8.7115e-02, 4.7967e-01]'	'[4.1614e+00, 4.9320e+00, 1.9013e+01]'	'[1.9935e+07, 1.6089e+08, 1.2606e+16]'
Vážená odchylka 1.	0,0000E+00	3,1802E-01	4,2080E-02	1,1839E+01	4,1613E+15
Vážená odchylka 2.	0,0000E+00	9,0357E-01	1,9294E-01	1,1262E+00	4,0793E+13
Vážená odchylka P1	0,0000E+00	4,1755E-03	7,6106E-02	4,6951E+00	8,6873E+14
Vážená odchylka P2	0,0000E+00	1,2174E+00	1,5892E-01	8,2697E+00	3,3333E+15
Celková váž. odch.	0,0000E+00	1,2216E+00	2,3502E-01	1,2965E+01	4,2021E+15

Tabulka č. 41 Charakteristická čísla pro signál Sinus02 s 20% šumem

sigma	F	P1D	P2D	P2	P3
0,35	'[1.0000e+00, 1.0000e+00, 1.2250e-01]'	'[9.9482e-01, 9.1879e-01, 2.6914e-01]'	'[9.9813e-01, 9.0281e+00, 7.4738e+01]'	'[9.9155e-01, 9.9984e-01, 5.0055e-01]'	'[9.9099e-01, 9.9930e-01, 5.0536e-01]'
0,35	'[1.0000e+00, 1.0000e+00, 1.2250e-01]'	'[1.0127e+00, 9.9283e-01, 6.7200e-01]'	'[1.0127e+00, 9.9285e-01, 6.7228e-01]'	'[1.0133e+00, 9.9345e-01, 7.0325e-01]'	'[1.0163e+00, 1.9540e+00, 2.2796e+00]'
0,40	'[1.0000e+00, 1.0000e+00, 1.6000e-01]'	'[1.0047e+00, 9.8137e-01, 6.1675e-02]'	'[1.0059e+00, 1.0195e+00, 2.0315e-01]'	'[1.0118e+00, 1.0145e+00, 5.1465e-01]'	'[1.0227e+00, 1.0026e+00, 1.0052e+00]'
0,40	'[1.0000e+00, 1.0000e+00, 1.6000e-01]'	'[9.9180e-01, 1.3946e+00, 1.8175e-08]'	'[9.9924e-01, 9.2795e-01, 2.7862e-01]'	'[9.9836e-01, 1.2849e+00, 8.2550e-01]'	'[0.0000e+00, 3.8732e+01, 7.5194e+02]'
0,45	'[1.0000e+00, 1.0000e+00, 2.0250e-01]'	'[9.8584e-01, 1.0282e+00, 2.4076e-03]'	'[9.8651e-01, 1.1086e+00, 5.7170e-01]'	'[1.0112e+00, 1.0223e+00, 1.0450e+00]'	'[9.9802e-01, 1.0023e+00, 3.3485e-01]'
0,45	'[1.0000e+00, 1.0000e+00, 2.0250e-01]'	'[1.0022e+00, 1.0137e+00, 1.5285e-01]'	'[1.0053e+00, 9.5977e-01, 3.1330e-01]'	'[9.8903e-01, 1.0903e+00, 5.9454e-01]'	'[1.0079e+00, 1.0175e+00, 4.4003e-01]'
0,50	'[1.0000e+00, 1.0000e+00, 2.5000e-01]'	'[9.9377e-01, 1.0173e+00, 1.4592e-02]'	'[1.0003e+00, 9.8400e-01, 3.4026e-01]'	'[1.0037e+00, 1.0143e+00, 5.1437e-01]'	'[1.0009e+00, 1.0199e+00, 3.8285e-01]'
0,50	'[1.0000e+00, 1.0000e+00, 2.5000e-01]'	'[9.9471e-01, 9.7754e-01, 2.9849e-01]'	'[9.9625e-01, 9.9667e-01, 4.0966e-01]'	'[1.0076e+00, 9.9184e-01, 9.8374e-01]'	'[9.9410e-01, 1.0346e+00, 3.5738e-01]'
0,55	'[1.0000e+00, 1.0000e+00, 3.0250e-01]'	'[9.8443e-01, 1.0111e+00, 7.8068e-02]'	'[9.8704e-01, 9.8959e-01, 2.1434e-01]'	'[9.8851e-01, 1.1568e+00, 6.9236e-01]'	'[4.8424e+01, 1.5049e+03, 2.2647e+06]'
0,55	'[1.0000e+00, 1.0000e+00, 3.0250e-01]'	'[1.0002e+00, 1.0145e+00, 8.1223e-01]'	'[1.0002e+00, 1.0145e+00, 8.1248e-01]'	'[1.0044e+00, 1.0207e+00, 1.0418e+00]'	'[1.0011e+00, 1.0188e+00, 8.6434e-01]'
0,60	'[1.0000e+00, 1.0000e+00, 3.6000e-01]'	'[9.9334e-01, 9.9094e-01, 2.1005e-01]'	'[9.9441e-01, 1.1005e+00, 5.7272e-01]'	'[9.9887e-01, 9.9616e-01, 4.9617e-01]'	'[8.8952e-01, 2.2133e+00, 2.6636e+00]'
0,60	'[1.0000e+00, 1.0000e+00, 3.6000e-01]'	'[1.0047e+00, 9.8822e-01, 3.7159e-01]'	'[1.0051e+00, 9.8770e-01, 3.9103e-01]'	'[1.0070e+00, 9.8821e-01, 4.8828e-01]'	'[9.8320e-01, 1.0874e+00, 5.7953e-01]'
0,65	'[1.0000e+00, 1.0000e+00, 4.2250e-01]'	'[9.9702e-01, 9.7626e-01, 2.3937e-01]'	'[9.9277e-01, 1.1428e+00, 5.3248e-01]'	'[9.8896e-01, 1.2725e+00, 8.0962e-01]'	'[1.0110e+00, 9.9137e-01, 9.8281e-01]'
0,65	'[1.0000e+00, 1.0000e+00, 4.2250e-01]'	'[1.0097e+00, 1.0500e+00, 7.5167e-01]'	'[1.0048e+00, 1.2275e+00, 1.0033e+00]'	'[1.0115e+00, 1.0521e+00, 8.4758e-01]'	'[1.0106e+00, 1.0529e+00, 7.9806e-01]'
0,70	'[1.0000e+00, 1.0000e+00, 4.9000e-01]'	'[1.0201e+00, 1.2824e+00, 1.6447e+00]'	'[1.0216e+00, 1.3617e+00, 1.6979e+00]'	'[1.0105e+00, 1.0262e+00, 1.0532e+00]'	'[2.2997e-01, 3.6265e+01, 6.7367e+02]'
0,70	'[1.0000e+00, 1.0000e+00, 4.9000e-01]'	'[9.8395e-01, 1.0053e+00, 1.8811e-08]'	'[9.8738e-01, 9.6628e-01, 1.8043e-01]'	'[9.9120e-01, 1.0085e+00, 5.0854e-01]'	'[9.8891e-01, 1.2584e+00, 8.5512e-01]'
0,75	'[1.0000e+00, 1.0000e+00, 5.6250e-01]'	'[9.8557e-01, 1.1544e+00, 8.9264e-14]'	'[9.9536e-01, 1.0323e+00, 5.7183e-01]'	'[9.9554e-01, 9.8547e-01, 5.0597e-01]'	'[5.0894e-01, 3.2915e+00, 1.0834e+01]'
0,75	'[1.0000e+00, 1.0000e+00, 5.6250e-01]'	'[1.0005e+00, 9.9061e-01, 6.4632e-01]'	'[1.0211e+00, 3.3835e+01, 1.1394e+03]'	'[9.9759e-01, 9.8535e-01, 4.8546e-01]'	'[9.7333e-01, 1.1151e+00, 7.3454e-01]'
0,80	'[1.0000e+00, 1.0000e+00, 6.4000e-01]'	'[9.8793e-01, 9.8715e-01, 2.0150e-01]'	'[9.8725e-01, 1.1587e+00, 8.7733e-01]'	'[9.9264e-01, 1.0529e+00, 5.5429e-01]'	'[9.8072e-01, 1.2283e+00, 5.7266e-01]'
0,80	'[1.0000e+00, 1.0000e+00, 6.4000e-01]'	'[9.8857e-01, 9.4155e-01, 3.7703e-01]'	'[9.8994e-01, 1.0381e+00, 5.4274e-01]'	'[9.9851e-01, 9.5484e-01, 9.1172e-01]'	'[0.0000e+00, 2.3910e+04, 5.7159e+08]'
0,85	'[1.0000e+00, 1.0000e+00, 7.2250e-01]'	'[9.7722e-01, 1.1576e+00, 1.6217e-05]'	'[9.9415e-01, 9.9365e-01, 4.1695e-01]'	'[9.9569e-01, 9.9332e-01, 4.9335e-01]'	'[9.9001e-01, 2.2549e+00, 5.0834e+00]'
0,85	'[1.0000e+00, 1.0000e+00, 7.2250e-01]'	'[1.0039e+00, 1.0021e+00, 1.0041e+00]'	'[1.0001e+00, 1.3919e+00, 9.6873e-01]'	'[1.0029e+00, 9.7854e-01, 9.5753e-01]'	'[9.7396e-01, 1.0356e+00, 6.9229e-01]'
0,90	'[1.0000e+00, 1.0000e+00, 8.1000e-01]'	'[9.9476e-01, 9.6765e-01, 8.2246e-01]'	'[9.9322e-01, 1.4202e+00, 1.0153e+00]'	'[9.9436e-01, 9.6700e-01, 8.0043e-01]'	'[9.9434e-01, 9.7134e-01, 8.0579e-01]'
0,90	'[1.0000e+00, 1.0000e+00, 8.1000e-01]'	'[1.0036e+00, 1.0191e+00, 9.3070e-01]'	'[1.0013e+00, 1.3509e+00, 9.1240e-01]'	'[1.0057e+00, 1.0222e+00, 1.0449e+00]'	'[1.0023e+00, 1.3701e+00, 1.0606e+00]'
0,95	'[1.0000e+00, 1.0000e+00, 9.0250e-01]'	'[9.9316e-01, 9.7387e-01, 7.9586e-01]'	'[9.9118e-01, 1.5199e+00, 1.7007e+00]'	'[9.9396e-01, 9.7527e-01, 8.3950e-01]'	'[9.6420e-01, 1.3971e+00, 1.1318e+00]'
0,95	'[1.0000e+00, 1.0000e+00, 9.0250e-01]'	'[9.8429e-01, 1.3945e+00, 2.2769e-09]'	'[1.0046e+00, 1.5938e+00, 1.2702e+00]'	'[1.0056e+00, 1.0165e+00, 9.9473e-01]'	'[0.0000e+00, 1.2424e+04, 1.5420e+08]'
odch 1 pro sigma <=0.65	'[0.0000e+00, 0.0000e+00, 0.0000e+00]'	'[9.6044e-04, 1.6807e-01, 9.3370e-01]'	'[7.2529e-04, 6.4553e+01, 5.5687e+03]'	'[1.1657e-03, 1.9247e-01, 3.5848e+00]'	'[2.2500e+03, 2.2631e+06, 5.1289e+12]'
odch 2 pro sigma >0.65	'[0.0000e+00, 0.0000e+00, 0.0000e+00]'	'[2.0144e-03, 2.8986e-01, 3.6001e+00]'	'[1.5338e-03, 1.0805e+03, 1.2970e+06]'	'[4.2970e-04, 8.9933e-03, 5.8329e-01]'	'[2.8374e+00, 7.2598e+08, 3.5050e+17]'
Celková odchylka	'[0.0000e+00, 0.0000e+00, 0.0000e+00]'	'[2.9748e-03, 4.5793e-01, 4.5338e+00]'	'[2.2591e-03, 1.1451e+03, 1.3026e+06]'	'[1.5954e-03, 2.0146e-01, 4.1681e+00]'	'[2.2529e+03, 7.2825e+08, 3.5050e+17]'
Vážená odchylka 1.	0,0000E+00	3,9623E-01	1,8885E+03	1,2923E+00	1,7096E+12

Vážená odchylka 2.	0,0000E+00	1,3470E+00	4,3289E+05	1,9936E-01	1,1683E+17
Vážená odchylka P1	0,0000E+00	9,4099E-01	1,8893E+03	6,3784E-01	1,7096E+12
Vážená odchylka P2	0,0000E+00	8,0221E-01	4,3289E+05	8,5387E-01	1,1683E+17
Celková váž. odch.	0,0000E+00	1,7432E+00	4,3478E+05	1,4917E+00	1,1683E+17

Tabulka č. 42 Charakteristická čísla pro signál Sinus2 s 20% šumem

sigma	F	P1D	P2D	P2	P3
0,35	'[1.0000e+00, 1.0000e+00, 1.2250e-01]'	'[1.2283e+00, 1.0048e+00, 3.6581e-01]'	'[1.2311e+00, 1.5354e+01, 2.2886e+02]'	'[1.9878e+00, 1.4679e+00, 1.2384e+00]'	'[1.1495e+00, 1.6022e+00, 1.5557e+00]'
0,35	'[1.0000e+00, 1.0000e+00, 1.2250e-01]'	'[1.1055e+00, 9.5359e-01, 3.0646e-01]'	'[1.0969e+00, 4.4549e+01, 1.9506e+03]'	'[1.6834e+00, 1.3253e+00, 8.8965e-01]'	'[1.5240e+00, 1.1445e+00, 4.3665e-01]'
0,40	'[1.0000e+00, 1.0000e+00, 1.6000e-01]'	'[1.1370e+00, 9.5703e-01, 3.1028e-01]'	'[1.1114e+00, 2.4793e+01, 5.9637e+02]'	'[1.6908e+00, 1.2649e+00, 8.0095e-01]'	'[9.4526e-01, 1.0874e+00, 4.5968e-01]'
0,40	'[1.0000e+00, 1.0000e+00, 1.6000e-01]'	'[1.0325e+00, 9.8148e-01, 2.5711e-01]'	'[1.0162e+00, 1.0244e+00, 1.8967e-01]'	'[1.7873e+00, 1.4519e+00, 1.0594e+00]'	'[1.0713e+00, 1.1094e+00, 4.6164e-01]'
0,45	'[1.0000e+00, 1.0000e+00, 2.0250e-01]'	'[1.1337e+00, 9.8404e-01, 3.4110e-01]'	'[9.9684e-01, 9.7671e-01, 1.8398e-01]'	'[1.6995e+00, 1.2429e+00, 7.8810e-01]'	'[1.7551e+00, 1.2547e+00, 7.8723e-01]'
0,45	'[1.0000e+00, 1.0000e+00, 2.0250e-01]'	'[0.0000e+00, 5.7706e-02, 3.1139e-04]'	'[9.4904e-01, 1.0518e+00, 2.4928e-01]'	'[1.5978e+00, 1.3804e+00, 9.6868e-01]'	'[8.6693e-01, 1.1245e+00, 4.7388e-01]'
0,50	'[1.0000e+00, 1.0000e+00, 2.5000e-01]'	'[1.1045e+00, 1.0134e+00, 3.7626e-01]'	'[1.0849e+00, 1.0437e+00, 3.4893e-01]'	'[1.6668e+00, 1.2110e+00, 7.4166e-01]'	'[0.0000e+00, 7.8969e-02, 2.5419e-03]'
0,50	'[1.0000e+00, 1.0000e+00, 2.5000e-01]'	'[1.0119e+00, 1.0344e+00, 4.0250e-01]'	'[1.1696e+00, 2.8165e+01, 7.6932e+02]'	'[1.4616e+00, 1.6200e+00, 1.3122e+00]'	'[1.4817e+02, 9.7121e+03, 9.4324e+07]'
0,55	'[1.0000e+00, 1.0000e+00, 3.0250e-01]'	'[9.6498e-01, 9.2226e-01, 2.7276e-01]'	'[9.4942e-01, 1.0212e+00, 2.9570e-01]'	'[1.2287e+00, 1.2748e+00, 8.1254e-01]'	'[2.9723e+03, 6.7865e+03, 4.6054e+07]'
0,55	'[1.0000e+00, 1.0000e+00, 3.0250e-01]'	'[1.0451e+00, 1.1113e+00, 5.0599e-01]'	'[1.0391e+00, 1.1205e+00, 4.9654e-01]'	'[9.0843e-01, 1.4020e+00, 9.8282e-01]'	'[7.2194e-01, 1.4018e+00, 9.8588e-01]'
0,60	'[1.0000e+00, 1.0000e+00, 3.6000e-01]'	'[1.0375e+00, 1.0127e+00, 4.0817e-01]'	'[1.0243e+00, 9.4398e-01, 3.0057e-01]'	'[1.3126e+00, 1.1526e+00, 6.6420e-01]'	'[1.0230e+00, 9.6312e-01, 3.1660e-01]'
0,60	'[1.0000e+00, 1.0000e+00, 3.6000e-01]'	'[1.0084e+00, 1.1107e+00, 5.5335e-01]'	'[9.3742e-01, 7.4316e+00, 5.1442e+01]'	'[1.1846e+00, 1.2339e+00, 7.6129e-01]'	'[6.5198e-01, 1.1258e+00, 9.8206e-01]'
0,65	'[1.0000e+00, 1.0000e+00, 4.2250e-01]'	'[9.8111e-01, 9.8693e-01, 3.9697e-01]'	'[9.7913e-01, 9.7439e-01, 3.7871e-01]'	'[9.5939e-01, 1.1489e+00, 6.6001e-01]'	'[9.8912e-01, 9.4368e-01, 3.4261e-01]'
0,65	'[1.0000e+00, 1.0000e+00, 4.2250e-01]'	'[9.9050e-01, 1.1042e+00, 5.9620e-01]'	'[9.8531e-01, 1.0037e+00, 4.1544e-01]'	'[1.1393e+00, 1.1117e+00, 6.1800e-01]'	'[3.5793e+03, 9.6187e+03, 9.2518e+07]'
0,70	'[1.0000e+00, 1.0000e+00, 4.9000e-01]'	'[9.8132e-01, 9.8882e-01, 4.7978e-01]'	'[9.8525e-01, 1.0531e+00, 5.5192e-01]'	'[1.0967e+00, 9.6183e-01, 4.6256e-01]'	'[1.0096e+00, 9.7596e-01, 4.8646e-01]'
0,70	'[1.0000e+00, 1.0000e+00, 4.9000e-01]'	'[1.0429e+00, 1.1626e+00, 8.2866e-01]'	'[8.1408e-01, 2.4622e+00, 3.9173e+00]'	'[1.0225e+00, 1.0189e+00, 5.3252e-01]'	'[1.0225e+00, 1.0219e+00, 5.3863e-01]'
0,75	'[1.0000e+00, 1.0000e+00, 5.6250e-01]'	'[9.4590e-01, 9.4964e-01, 4.6209e-01]'	'[9.4194e-01, 9.9633e-01, 5.0640e-01]'	'[1.0158e+00, 9.0410e-01, 4.0908e-01]'	'[9.4417e-01, 8.9788e-01, 3.8450e-01]'
0,75	'[1.0000e+00, 1.0000e+00, 5.6250e-01]'	'[1.0347e+00, 1.1123e+00, 8.0378e-01]'	'[1.0341e+00, 1.0959e+00, 7.7196e-01]'	'[1.0365e+00, 1.0264e+00, 6.3117e-01]'	'[2.6452e+03, 7.7143e+03, 5.9509e+07]'
0,80	'[1.0000e+00, 1.0000e+00, 6.4000e-01]'	'[1.0097e+00, 1.0013e+00, 6.5359e-01]'	'[1.0232e+00, 1.1045e+00, 8.0026e-01]'	'[1.0268e+00, 9.5406e-01, 5.7159e-01]'	'[1.0177e+00, 9.7781e-01, 6.1620e-01]'
0,80	'[1.0000e+00, 1.0000e+00, 6.4000e-01]'	'[9.7075e-01, 1.0305e+00, 7.0977e-01]'	'[7.2898e-01, 2.1667e+00, 2.8334e+00]'	'[9.6172e-01, 9.5856e-01, 5.7149e-01]'	'[9.6172e-01, 9.5856e-01, 5.7150e-01]'
0,85	'[1.0000e+00, 1.0000e+00, 7.2250e-01]'	'[1.0253e+00, 1.0201e+00, 7.8090e-01]'	'[1.0114e+00, 9.7981e-01, 6.6915e-01]'	'[1.7244e+00, 1.6723e+00, 2.7965e+00]'	'[2.8900e+03, 8.6874e+03, 7.5469e+07]'
0,85	'[1.0000e+00, 1.0000e+00, 7.2250e-01]'	'[1.0651e+00, 1.0887e+00, 9.3909e-01]'	'[1.0477e+00, 1.0503e+00, 8.2169e-01]'	'[1.7125e+00, 1.7175e+00, 2.9498e+00]'	'[1.0606e+00, 1.0557e+00, 8.6865e-01]'
0,90	'[1.0000e+00, 1.0000e+00, 8.1000e-01]'	'[9.9770e-01, 9.9754e-01, 8.0784e-01]'	'[1.0004e+00, 1.0834e+00, 9.0893e-01]'	'[1.0010e+00, 9.8296e-01, 7.8102e-01]'	'[9.7836e-01, 9.9745e-01, 8.0759e-01]'
0,90	'[1.0000e+00, 1.0000e+00, 8.1000e-01]'	'[1.0851e+00, 1.0911e+00, 1.0441e+00]'	'[1.0154e+00, 1.0578e+00, 8.0293e-01]'	'[1.4264e+00, 1.4254e+00, 2.0318e+00]'	'[3.9748e+02, 1.3089e+03, 1.7132e+06]'
0,95	'[1.0000e+00, 1.0000e+00, 9.0250e-01]'	'[1.0276e+00, 1.0139e+00, 9.5292e-01]'	'[3.0495e+03, 9.9840e+03, 9.9681e+07]'	'[1.0245e+00, 1.0080e+00, 9.3946e-01]'	'[1.1806e+00, 1.1629e+00, 1.3523e+00]'
0,95	'[1.0000e+00, 1.0000e+00, 9.0250e-01]'	'[1.0293e+00, 1.0304e+00, 9.8469e-01]'	'[1.0293e+00, 1.0304e+00, 9.8459e-01]'	'[1.0316e+00, 1.0298e+00, 9.8454e-01]'	'[7.8205e+02, 2.6035e+03, 6.7780e+06]'
odch 1 pro sigma <=0.65	'[0.0000e+00, 0.0000e+00, 0.0000e+00]'	'[1.1172e+00, 9.3578e-01, 3.3716e-01]'	'[1.2328e-01, 3.4480e+03, 4.8062e+06]'	'[4.2578e+00, 1.5815e+00, 6.4246e+00]'	'[2.1654e+07, 2.3285e+08, 1.9578e+16]'
odch 2 pro sigma >0.65	'[0.0000e+00, 0.0000e+00, 0.0000e+00]'	'[2.1009e-02, 6.0339e-02, 3.0259e-01]'	'[9.2936e+06, 9.9661e+07, 9.9362e+15]'	'[1.2295e+00, 1.1645e+00, 1.0805e+01]'	'[1.6105e+07, 1.4343e+08, 9.2858e+15]'
Celková odchylka	'[0.0000e+00, 0.0000e+00, 0.0000e+00]'	'[1.1382e+00, 9.9612e-01, 6.3975e-01]'	'[9.2936e+06, 9.9664e+07, 9.9362e+15]'	'[5.4873e+00, 2.7461e+00, 1.7229e+01]'	'[3.7760e+07, 3.7628e+08, 2.8863e+16]'
Vážená odchylka 1.	0,0000E+00	1,6975E+00	1,6038E+06	7,1901E+00	6,5258E+15
Vážená odchylka 2.	0,0000E+00	1,5204E-01	3,3121E+15	5,4133E+00	3,0953E+15
Vážená odchylka P1	0,0000E+00	1,5913E-01	3,3121E+15	5,8913E+00	2,6055E+15
Vážená odchylka P2	0,0000E+00	1,6904E+00	1,4675E+06	6,7121E+00	7,0156E+15
Celková váž. odch.	0,0000E+00	1,8495E+00	3,3121E+15	1,2603E+01	9,6211E+15

Tabulka č. 43 Charakteristická čísla pro signál Sinus20 s 20% šumem

sigma	F	P1D	P2D	P2	P3
0,35	'[1.0000e+00, 1.0000e+00, 1.2250e-01]'	'[1.3746e-01, 7.0059e-01, 1.3075e-10]'	'[0.0000e+00, 1.9127e+02, 3.5773e+04]'	'[3.3713e-01, 1.2700e-01, 8.0643e-03]'	'[0.0000e+00, 1.1379e+00, 6.7258e-01]'
0,35	'[1.0000e+00, 1.0000e+00, 1.2250e-01]'	'[3.4463e-02, 1.9333e+00, 3.3801e+00]'	'[1.5101e-01, 1.2921e+00, 4.4833e-01]'	'[4.8996e-01, 2.0587e+00, 2.1192e+00]'	'[7.4312e+01, 1.0452e+04, 1.0020e+08]'
0,40	'[1.0000e+00, 1.0000e+00, 1.6000e-01]'	'[1.3363e+00, 8.2699e-01, 3.0086e-01]'	'[1.0702e+00, 1.0227e+00, 1.8387e-01]'	'[1.0020e-01, 5.7808e-02, 1.7332e-03]'	'[5.4195e-01, 2.5083e+00, 2.0972e+00]'
0,40	'[1.0000e+00, 1.0000e+00, 1.6000e-01]'	'[5.1365e-01, 8.8946e+00, 7.9042e+01]'	'[4.8353e+01, 1.7410e+03, 3.0308e+06]'	'[5.1261e-01, 8.9344e+00, 7.9823e+01]'	'[8.5696e-01, 1.4551e+00, 8.6601e-01]'
0,45	'[1.0000e+00, 1.0000e+00, 2.0250e-01]'	'[0.0000e+00, 4.6269e-01, 1.1621e-03]'	'[0.0000e+00, 7.8709e-01, 1.4539e-01]'	'[1.0393e-01, 2.0214e-04, 2.6635e-08]'	'[1.0687e+00, 1.4848e+00, 7.9545e-01]'
0,45	'[1.0000e+00, 1.0000e+00, 2.0250e-01]'	'[0.0000e+00, 1.5624e-01, 7.6371e-04]'	'[9.2392e-04, 1.2312e-02, 1.4624e-12]'	'[1.9094e-01, 1.5431e+01, 1.1905e+02]'	'[6.0430e+01, 2.0251e+03, 4.1002e+06]'
0,50	'[1.0000e+00, 1.0000e+00, 2.5000e-01]'	'[0.0000e+00, 3.8402e-01, 2.0634e-03]'	'[0.0000e+00, 1.6863e-01, 5.7286e-10]'	'[0.0000e+00, 9.6581e-01, 7.6007e-01]'	'[2.6446e+00, 6.9475e-01, 1.6089e-01]'
0,50	'[1.0000e+00, 1.0000e+00, 2.5000e-01]'	'[4.2357e-01, 5.5959e+00, 2.9268e+01]'	'[9.2554e+01, 3.0064e+03, 9.0367e+06]'	'[1.2908e-02, 1.7597e+00, 2.0647e+00]'	'[2.0436e+02, 9.0221e+03, 8.1394e+07]'
0,55	'[1.0000e+00, 1.0000e+00, 3.0250e-01]'	'[0.0000e+00, 3.6279e-01, 5.8425e-04]'	'[4.8273e-02, 2.5864e-01, 6.4920e-10]'	'[0.0000e+00, 3.9133e-02, 7.6770e-04]'	'[1.9848e+00, 5.1043e-01, 9.9880e-02]'
0,55	'[1.0000e+00, 1.0000e+00, 3.0250e-01]'	'[0.0000e+00, 1.3517e+00, 1.0493e+00]'	'[6.8894e+01, 2.2606e+03, 5.1081e+06]'	'[1.6572e-05, 1.2408e+00, 7.6979e-01]'	'[5.3396e-12, 3.8903e-01, 7.5621e-02]'
0,60	'[1.0000e+00, 1.0000e+00, 3.6000e-01]'	'[7.2332e-02, 1.8086e-01, 2.1531e-06]'	'[0.0000e+00, 1.8616e+00, 1.5285e+00]'	'[2.3047e+00, 5.9758e-01, 1.7855e-01]'	'[1.3003e+00, 4.8019e-01, 1.1546e-01]'
0,60	'[1.0000e+00, 1.0000e+00, 3.6000e-01]'	'[0.0000e+00, 1.3104e+00, 1.0411e+00]'	'[2.9175e-01, 1.2384e+00, 3.7194e-01]'	'[0.0000e+00, 4.8664e-02, 1.2124e-03]'	'[5.9235e+00, 8.1109e+03, 6.5738e+07]'
0,65	'[1.0000e+00, 1.0000e+00, 4.2250e-01]'	'[1.1600e+00, 1.0904e+00, 5.5679e-01]'	'[1.1595e+00, 1.0688e+00, 6.4920e-10]'	'[1.4836e+00, 8.5213e-01, 6.7180e-01]'	'[1.7085e+00, 2.4946e+02, 6.2205e+04]'
0,65	'[1.0000e+00, 1.0000e+00, 4.2250e-01]'	'[1.8124e-01, 1.8757e+00, 2.0851e+00]'	'[6.0974e-01, 7.2372e+03, 5.2369e+07]'	'[7.1839e+04, 2.0000e+04, 2.0000e+08]'	'[0.0000e+00, 8.3700e-02, 3.9183e-03]'
0,70	'[1.0000e+00, 1.0000e+00, 4.9000e-01]'	'[9.7658e-01, 9.7807e-01, 4.6685e-01]'	'[3.2660e-01, 1.1558e+00, 5.0831e-02]'	'[4.4407e-01, 3.4604e-01, 1.1974e-01]'	'[0.0000e+00, 5.1063e-01, 1.3707e-01]'
0,70	'[1.0000e+00, 1.0000e+00, 4.9000e-01]'	'[2.6174e-01, 1.7052e+00, 1.7309e+00]'	'[0.0000e+00, 1.5005e+00, 1.2240e+00]'	'[8.1608e-01, 1.0167e+00, 5.1690e-01]'	'[2.0470e-01, 1.1672e+00, 8.8084e-01]'
0,75	'[1.0000e+00, 1.0000e+00, 5.6250e-01]'	'[0.0000e+00, 1.6365e-01, 5.3651e-04]'	'[5.9454e-01, 1.0069e+00, 1.9853e-01]'	'[6.6125e-02, 4.9435e-03, 1.2219e-05]'	'[0.0000e+00, 7.1281e-01, 1.8687e-01]'
0,75	'[1.0000e+00, 1.0000e+00, 5.6250e-01]'	'[2.7459e-01, 1.5914e+00, 1.4729e+00]'	'[2.7119e+02, 8.5741e+03, 7.3503e+07]'	'[9.8417e-01, 1.0455e+00, 6.6873e-01]'	'[1.5819e+02, 2.1695e+03, 4.7064e+06]'
0,80	'[1.0000e+00, 1.0000e+00, 6.4000e-01]'	'[0.0000e+00, 3.9324e-01, 2.1471e-05]'	'[0.0000e+00, 1.0000e+04, 1.0000e+08]'	'[0.0000e+00, 6.2447e-01, 3.2714e-01]'	'[5.1211e-01, 6.9398e+01, 3.5930e+03]'
0,80	'[1.0000e+00, 1.0000e+00, 6.4000e-01]'	'[0.0000e+00, 2.6988e-01, 1.2651e-04]'	'[3.0554e+01, 9.0867e+03, 8.2367e+07]'	'[7.5166e-01, 9.8453e-01, 7.0859e-01]'	'[9.7533e-01, 3.2939e+07, 1.0850e+15]'
0,85	'[1.0000e+00, 1.0000e+00, 7.2250e-01]'	'[0.0000e+00, 3.5935e-01, 1.1545e-04]'	'[9.1432e-01, 8.8419e-01, 5.4519e-01]'	'[0.0000e+00, 2.0806e-01, 3.5489e-02]'	'[1.8729e+00, 5.2160e-01, 9.0841e-02]'
0,85	'[1.0000e+00, 1.0000e+00, 7.2250e-01]'	'[7.1678e-01, 2.3566e+00, 3.9430e+00]'	'[4.3610e+02, 4.3884e+03, 1.9258e+07]'	'[8.4504e-01, 4.7303e+00, 2.2376e+01]'	'[3.9874e-02, 2.7554e-01, 4.7626e-02]'
0,90	'[1.0000e+00, 1.0000e+00, 8.1000e-01]'	'[0.0000e+00, 3.1860e-01, 1.0000e-12]'	'[5.3488e-01, 1.2053e+00, 2.3083e-01]'	'[0.0000e+00, 2.4628e-02, 3.0328e-04]'	'[1.1003e+00, 1.8145e+00, 2.9968e+00]'
0,90	'[1.0000e+00, 1.0000e+00, 8.1000e-01]'	'[6.6642e-01, 1.7192e+00, 1.8347e+00]'	'[9.2141e+01, 9.9160e+02, 9.8325e+05]'	'[2.1795e+04, 1.3745e+05, 1.8891e+10]'	'[9.5568e-01, 1.0771e+00, 9.9081e-01]'
0,95	'[1.0000e+00, 1.0000e+00, 9.0250e-01]'	'[6.6651e-01, 9.9211e-01, 3.9898e-01]'	'[3.5030e-01, 1.0073e+00, 1.0825e-01]'	'[9.8159e-01, 6.2689e-01, 3.1826e-01]'	'[1.0038e+00, 8.1594e-01, 5.8945e-01]'
0,95	'[1.0000e+00, 1.0000e+00, 9.0250e-01]'	'[7.9242e-01, 1.4238e+00, 1.1557e+00]'	'[2.8964e+02, 1.6119e+03, 2.5983e+06]'	'[1.0621e+00, 1.1430e+00, 1.2149e+00]'	'[1.0621e+00, 1.1430e+00, 1.2149e+00]'
odch 1 pro sigma <=0.65	'[0.0000e+00, 0.0000e+00, 0.0000e+00]'	'[9.9147e+00, 8.7890e+01, 7.0793e+03]'	'[1.5241e+04, 6.9565e+07, 2.8594e+15]'	'[5.1607e+09, 3.9996e+08, 4.0000e+16]'	'[5.0293e+04, 2.6054e+08, 2.1004e+16]'
odch 2 pro sigma >0.65	'[0.0000e+00, 0.0000e+00, 0.0000e+00]'	'[6.4176e+00, 5.8604e+00, 1.6421e+01]'	'[3.5481e+05, 2.7885e+08, 2.2599e+16]'	'[4.7496e+08, 1.8891e+10, 3.5688e+20]'	'[2.4714e+04, 1.0850e+15, 1.1772e+30]'
Celková odchyška	'[0.0000e+00, 0.0000e+00, 0.0000e+00]'	'[1.6332e+01, 9.3751e+01, 7.0957e+03]'	'[3.7005e+05, 3.4842e+08, 2.5458e+16]'	'[5.6357e+09, 1.9291e+10, 3.5692e+20]'	'[7.5008e+04, 1.0850e+15, 1.1772e+30]'
Vážená odchyška 1.	0,0000E+00	2,4136E+03	9,5314E+14	1,3333E+16	7,0014E+15
Vážená odchyška 2.	0,0000E+00	1,4822E+01	7,5329E+15	1,1896E+20	3,9240E+29
Vážená odchyška P1	0,0000E+00	1,1607E+01	3,3333E+15	1,4535E+01	1,2941E+09
Vážená odchyška P2	0,0000E+00	2,4168E+03	5,1527E+15	1,1897E+20	3,9240E+29
Celková váž. odch.	0,0000E+00	2,4284E+03	8,4860E+15	1,1897E+20	3,9240E+29

## Vysvětlivky k příloze C

$$\left[ \begin{matrix} 0,35 \\ 0,35 \end{matrix} \right] - \left[ \begin{matrix} \text{hraniční systém P1} \\ \text{hraniční systém P2} \end{matrix} \right]$$

$$[1.0000e + 00, 1.0000e + 00, 1.2250e - 01] - [\sigma_0, \sigma_1, \sigma_2]$$